



UNIVERSIDAD NACIONAL
AUTONOMA DE MEXICO

Escuela Nacional de Estudios Profesionales
"ACATLÁN"



**ANALISIS Y DISEÑO ESTRUCTURAL DE UNA
CUBIERTA DE REVOLUCION EN
ACERO-CONCRETO**

T E S I S
QUE PARA OBTENER EL TITULO DE
INGENIERO CIVIL
P R E S E N T A

Oscar Miguel Jaso Gómez

Acatlán, Edo. de México

1986



UNAM – Dirección General de Bibliotecas Tesis Digitales Restricciones de uso

DERECHOS RESERVADOS © PROHIBIDA SU REPRODUCCIÓN TOTAL O PARCIAL

Todo el material contenido en esta tesis está protegido por la Ley Federal del Derecho de Autor (LFDA) de los Estados Unidos Mexicanos (México).

El uso de imágenes, fragmentos de videos, y demás material que sea objeto de protección de los derechos de autor, será exclusivamente para fines educativos e informativos y deberá citar la fuente donde la obtuvo mencionando el autor o autores. Cualquier uso distinto como el lucro, reproducción, edición o modificación, será perseguido y sancionado por el respectivo titular de los Derechos de Autor.



ESCUELA NACIONAL DE ESTUDIOS PROFESIONALES ACATLÁN
COORDINACIÓN DEL PROGRAMA DE INGENIERÍA

UNIVERSIDAD NACIONAL
AUTÓNOMA DE
MÉXICO

CI/181/1985.

SR. OSCAR MIGUEL JASO GOMEZ
Alumno de la carrera de Ingeniería
Civil.
P r e s e n t e .

De acuerdo a su solicitud presentada con fecha 15 de enero de 1985, me complace notificarle que esta Coordinación tuvo a bien asignarle el siguiente tema de tesis: "Análisis y Diseño Estructural de una Cubierta de Revolución en Acero-Concreto", el cual se desarrollará como sigue:

- Introducción.
- I.- Descripción de la estructura.
- II.- Análisis y diseño preliminar.
- III.- Análisis y diseño definitivo.
- IV.- Recomendaciones para la construcción de la estructura.
- Conclusiones. Anexos.
- Bibliografía.

Asimismo fue designado como Asesor de Tesis el señor M. en C. Enrique Martínez Romero.

Ruego a usted tomar nota que en cumplimiento de lo especificado en la Ley de Profesiones, deberá prestar servicio social durante un tiempo mínimo de seis meses como requisito básico para sus tentar examen profesional, así como de la disposición de la Dirección General de Servicios Escolares en el sentido de que se imprima en lugar visible de los ejemplares de la tesis, el título del trabajo realizado. Esta comunicación deberá imprimirse en el interior de la tesis.

A t e n t a m e n t e ,
"POR MI RAZA HABLARA EL ESPÍRITU"
Acatlán, Edo. de Méx., a 16 de diciembre de 1985.

ING. HERMENEGILDO ARCOS SERRANO
Coordinador del Programa de
Ingeniería.

HAS/rsm.

EL 17 DE DICIEMBRE
DE 1985
MARTÍNEZ ROMERO

I N D ' I C E

	Página
INTRODUCCION	
CAPITULO I. Descripción de la estructura.	1
I-a. Localización geográfica, geometría y requisitos arquitectónicos.	1
I-b. Planteamiento y elección entre las soluciones estructurales posibles.	3
CAPITULO II. Análisis y Diseño preliminar.	12
II-a. Modelo simplificado de la estruc- tura.	12
II-b. Análisis por Carga Muerta.	22
II-c. Diseño preliminar.	28
II-d. Cubicación preliminar de materia- les de la cubierta y del sistema estructural.	55
CAPITULO III. Análisis y Diseño definitivo.	65
III-a. Modelo matemático tridimensional.	65
III-b. Valuación de cargas definitivas de gravedad, sismo y viento.	71
III-c. Análisis estructural definitivo.	92
III-d. Revisión de secciones propues-- tas.	94
III-e. Diseño de conexiones y anclajes.	146
III-f. Cubicación de materiales de la cubierta y del sistema estruc- tural definitivo.	168
III-g. Diseño de cimentaciones.	172
CAPITULO IV. Recomendaciones para la construcción de la estructura.	183

CONCLUSIONES

ANEXOS

BIBLIOGRAFIA

INTRODUCCION

Una de las partes integrantes del proyecto arquitectónico para la construcción de un restaurante, que quedará ubicado en el centro comercial "Villa Vallarta" en Puerto Vallarta Jalisco, pide cubrir un área circular de 38 metros - de diámetro, la cual debe quedar libre de columnas; para ello se marca la construcción de una cubierta de revolución que semeje la forma de un "volcán" de tal manera que vaya de acuerdo a la decoración de tipo Polinesio que llevará este restaurante; así mismo, esta cubierta debe de ser resistente, impermeable y de rápida y fácil construcción.

Después de analizar las ventajas y desventajas de diferentes sistemas estructurales, tales como los cascarones o las retículas tridimensionales, se decidió estructurar por medio de 16 marcos radiales a base de secciones de tres placas de acero soldadas, donde sus columnas se localizarán en la periferia del área y con sus trabes llegando a un anillo de compresión ubicado en el centro y parte más alta de la cubierta (22 m. de altura). Estos marcos irán ligados por medio de trabes horizontales para que sobre todo ello se coloque una losacero de poco espesor a base de concreto ligero; así todo esto integrará una cubierta monolítica nervurada con trabes radiales y horizontales formando una superficie de revolución en forma de corneta truncada invertida.

El presente trabajo muestra el análisis y diseño estructural

tural de este edificio integrante del conjunto del restaurante, ya que esta estructura presenta el mayor grado de dificultad dadas sus características y requisitos arquitectónicos.

Primeramente se hace un diseño estructural preliminar basado únicamente en un análisis por carga muerta estimando así las secciones necesarias para las trabes y los marcos radiales de la estructura. Ya con una idea de dichas secciones se analiza la estructura con diferentes sistemas de carga para llegar a un diseño definitivo.

Cabe mencionar que se hace uso de los programas E A S I- (Engineering Analysis Software) y S A P V2 (Structural Analysis Program for Static and Dynamic Response of linear Systems) para la realización del análisis preliminar y definitivo respectivamente. Para ello se elaboran tanto un modelo matemático simplificado de la estructura, usado en el análisis preliminar, como un modelo matemático tridimensional empleado en el análisis definitivo.

Dentro del desarrollo de esta tesis se muestra el diseño de anclajes, conexiones y cimentación; así mismo se hace una cubicación de materiales y se dan una serie de recomendaciones para la construcción de la estructura; todo ello enfocado únicamente para el edificio principal del conjunto de este restaurante.

CAPITULO I

DESCRIPCION DE LA ESTRUCTURA

I-a. Localización geográfica, geometría y requisitos arquitectónicos.

Esta estructura se encontrará localizada en Puerto Vallarta en el estado de Jalisco sobre la costa del Pacífico, forma parte del conjunto comercial "Villa Vallarta" ubicado a un costado de la nueva avenida Costera Vallarta.

Este trabajo trata sobre el análisis y diseño estructural únicamente del edificio principal del conjunto del restaurante en donde se marca, según el proyecto arquitectónico, la necesidad de techar un área circular de 19 metros de radio libre de columnas por medio de una estructura que tome la forma de corneta truncada invertida a partir de los 9 metros de altura, llegando a tener en su parte más alta (22 metros) un diámetro de 9 metros (Fig. I-1).

Para dar solución a este requisito arquitectónico se decidió colocar 16 columnas perimetrales a distancias iguales a lo largo de la periferia del área circular (Fig. I-2), donde cada una de ellas tendrá la altura marcada de 9 metros. Por otra parte, para lograr obtener la forma mostrada en la figura I-1 se encontró que fijando un origen a una distancia de 23.03 metros del eje de simetría de la estructura y a una altura de 27.03 metros, tomando un radio de 18.67 metros, describiendo con él primeramente 15 grados y

a partir de ello trazando seis cuerdas de igual longitud a cada 10 grados, se obtendría con tramos rectos la forma requerida (Fig. I-3). Estas cuerdas con diferentes inclinaciones con respecto a la horizontal constituyen las tráves, que unidas a las columnas antes mencionadas conforman los marcos principales de la estructura, los cuales estarán --- construidos a base de tres placas metálicas soldadas. La parte más alta de cada uno de estos marcos se apoyará en un anillo de compresión que tendrá un diámetro de 9 metros y - se hallará ubicado a una altura de 22 metros (Fig. I-3).

Los 16 marcos principales de la estructura se encontraran ligados por medio de tráves horizontales secundarias -- que irán colocadas en cada cambio de inclinación de las tráves del marco principal (Fig. I-3 y I-4). Todo lo anterior constituirá una retícula que como ya se mencionó, a base de tramos rectos tomará la forma mostrada en la figura I-1.

Sobre la retícula descrita se colocarán tramos rectos de lámina de acero OL-99 calibre 24 de ROMSA, que funcionará a manera de cimbra no recuperable en tal manera de poder collar una losa delgada de concreto ligero ($1,600 \text{ kg/m}^3$), con la que se podrá dar una curvatura suave en cada cambio de - inclinación de las tráves del marco principal (Fig. I-5 y - I-6). Esta losa de concreto ligero tendrá un espesor de 5 centímetros en tramos rectos; pero en los cambios de curvatura éste será de 7 centímetros. Con la losacero se obtendrá la curvatura continua requerida en el proyecto arquitecto

tónico.

I-b. Planteamiento y elección entre las soluciones estructurales posibles.

La selección de la solución estructural se hizo con base en aspectos funcionales, económicos, estéticos y de servicio; considerando que se tiene la necesidad de techar un área circular libre de columnas de 38 metros de diámetro -- con una cubierta que tome la forma descrita en el inciso anterior de este capítulo.

Primeramente se juzga sobre la construcción de un cascarón de concreto reforzado; pero éste requeriría para colarse de la utilización de laboriosas cimbras en obras falsas, complicándose aún más este punto debido a la forma que tendría que tomar al cascarón. Puede sumarse a lo anterior -- que sería necesaria una supervisión meticulosa durante su proceso constructivo, cuidando que las separaciones del acero de refuerzo y el espesor del cascarón se respeten de --- acuerdo a lo especificado por el diseñador, traduciéndose todo esto en un incremento en el costo así como en el tiempo de ejecución de la obra.

Por otra parte el pensar en una retícula tridimensional de elementos metálicos, dada la forma que debe tomar, presentaría una problemática en lograr la precisión y ajuste necesario para su ensamblaje en el campo. Los errores constructivos en lo que a las longitudes de los diferentes ele-

mentos de la retícula se refiere provocarían indeseables es fuerzas residuales y distorsiones sobre toda la estructura; así mismo una solución de este tipo implicaría el realizar un gran número de conexiones especiales para la integración de toda la retícula.

El hecho de considerar un techo sostenido por cables metálicos obligaría a la utilización de una columna en el centro del claro circular que funcionaría como soporte para -- que los cables tomasen la forma pedida por el arquitecto. La necesidad de tener el área libre de columnas elimina esta alternativa.

La solución estructural descrita en I-a, o sea una cubierta monolítica nervurada con tráves radiales y ligada -- por las horizontales que adquiere la forma pedida por el arquitecto parece ser la solución más adecuada. La estructura así propuesta es una cubierta sólida, impermeable, que actúa como aislante térmico, prácticamente libre de mantenimiento y de fácil y rápida construcción; todo ello sin menoscabo de su estética y funcionalidad.

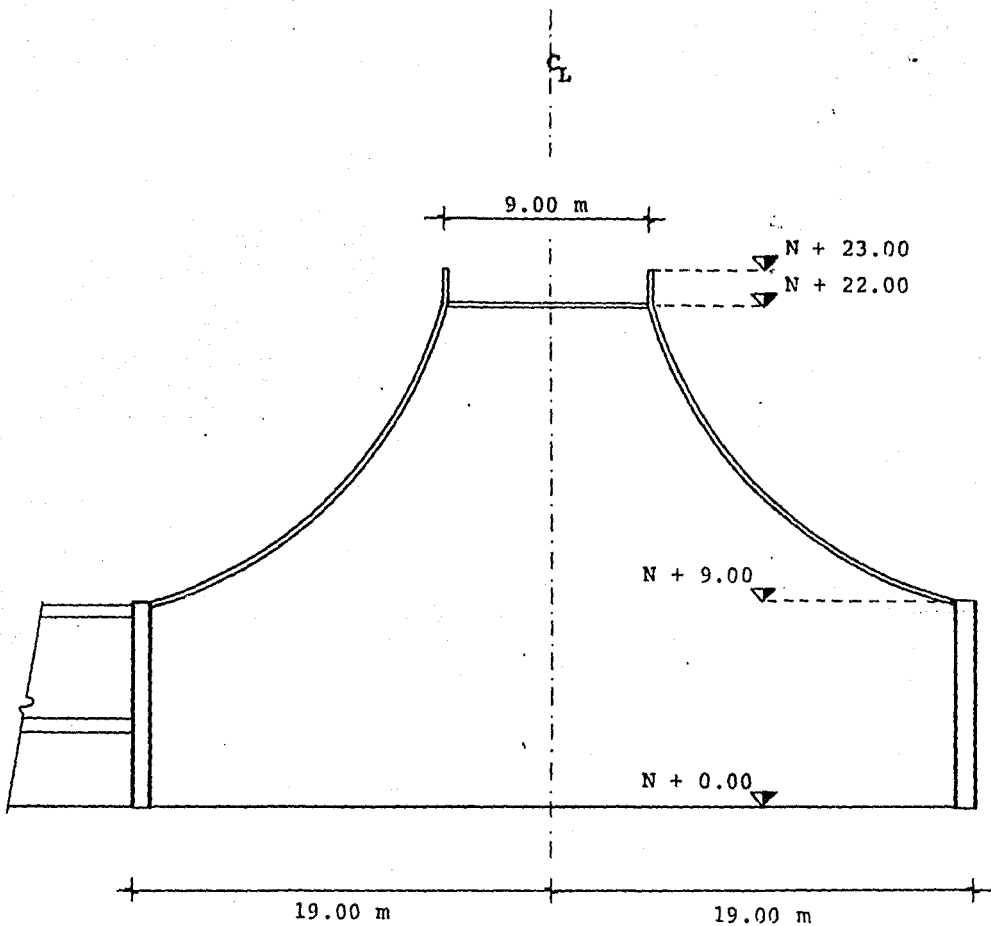
El hecho de integrar tráves de acero con una losa de concreto ligero en construcción compuesta producirá ahorros tanto en el peso de la estructura como en los costos. El emplear una lámina metálica a manera de cimbra no recuperable para el colado de la losa de la cubierta aportará ventajas de tiempo y económicas. El aspecto del trabajo compues

to acero-concreto se logrará mediante la colocación de conectores de cortante soldados al patín de la trabe y ahogados en la losa, lograndose con ese trabajo conjunto secciones más livianas.

Es evidente que esta estructura requiere de un análisis muy cuidadoso por efectos de viento considerando su ubicación geográfica en la costa del Pacífico; pero este punto será tratado en el capítulo III de esta tesis.

Alzado

Forma requerida por el proyecto Arquitectónico

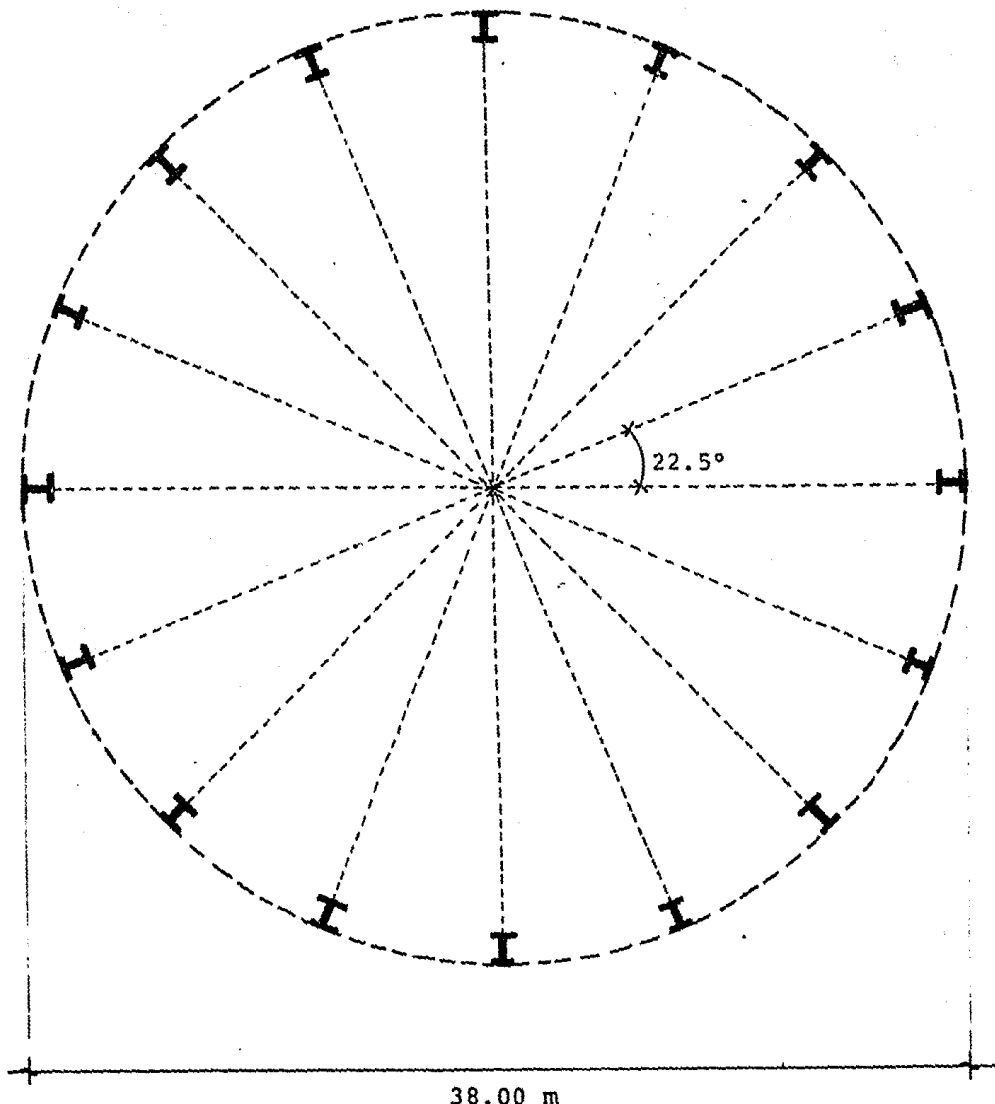


Esc. 1:250

Figura I-1

Planta

Distribución de columnas

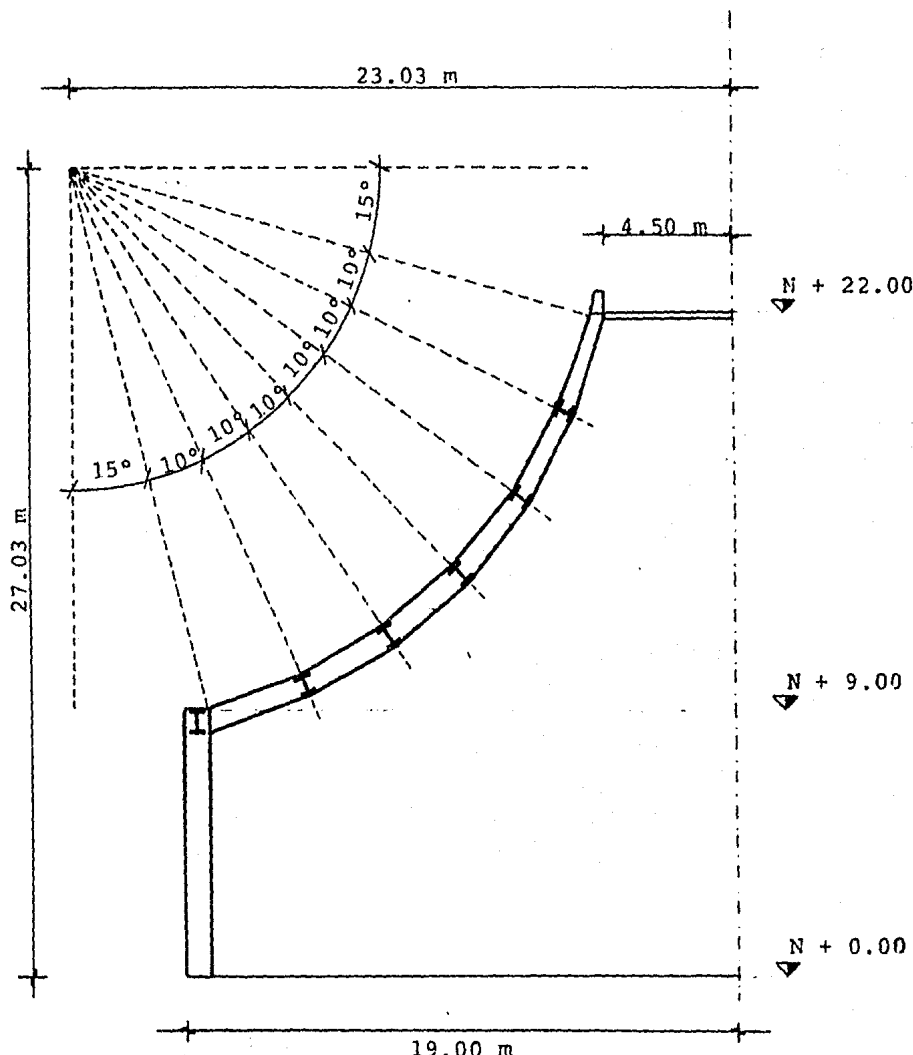


Esc. 1:250

Figura I-2

Corte

Marco Principal a base de tramos rectos de secciones I

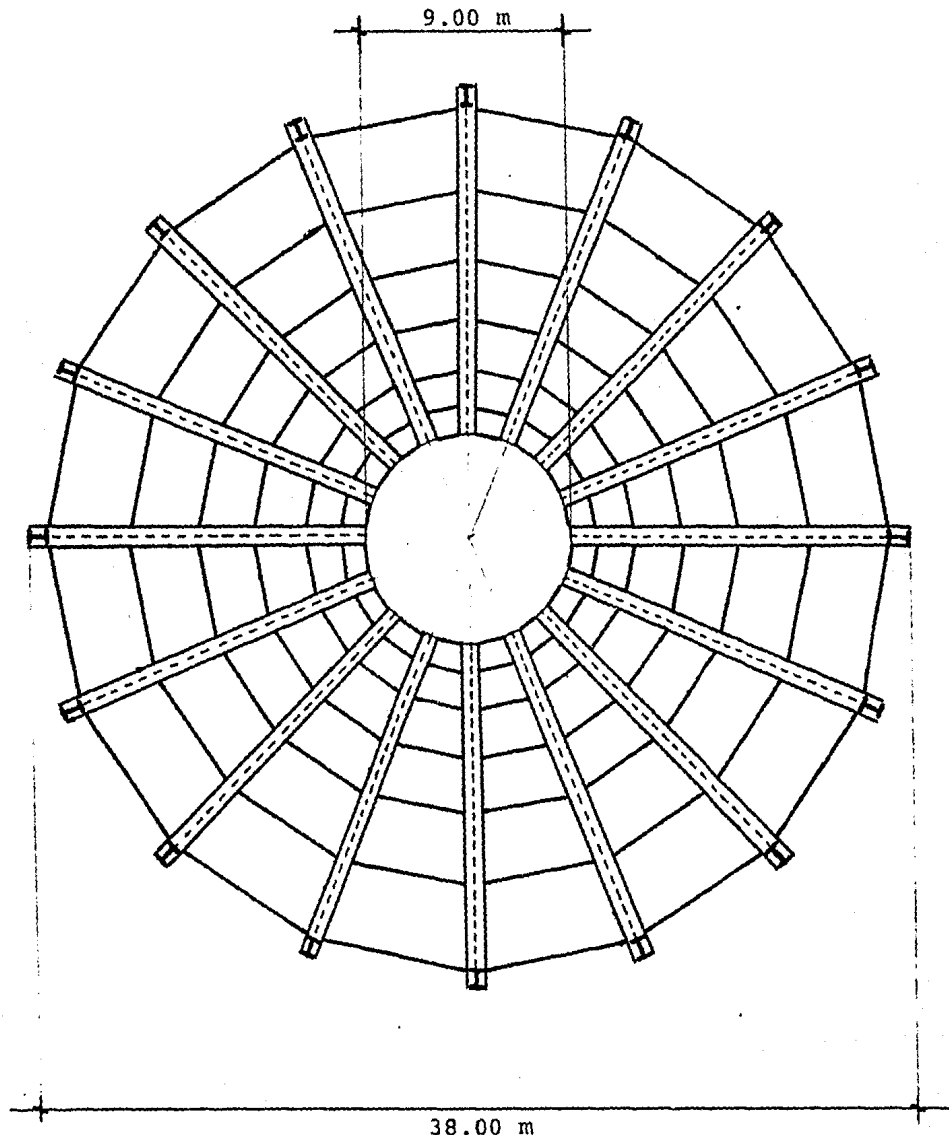


Esc. 1:200

Figura I-3

Planta

Reticula Metálica: Columnas, trabes principales y secundarias



Esc. 1:250

Figura I-4

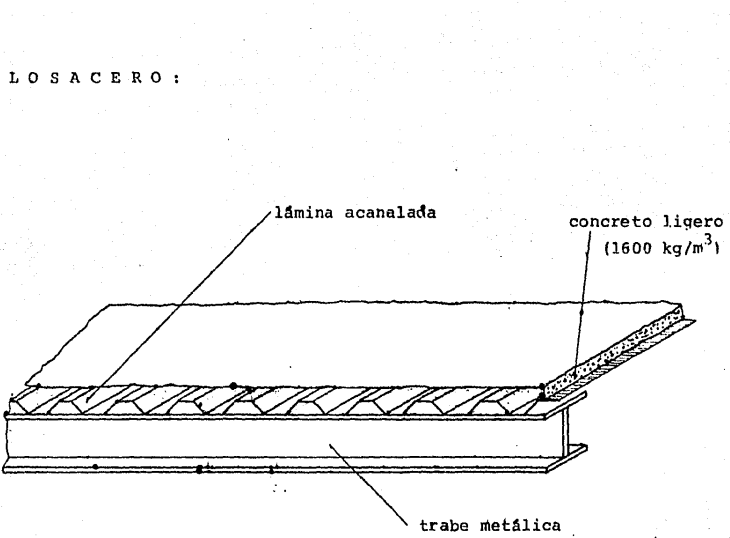
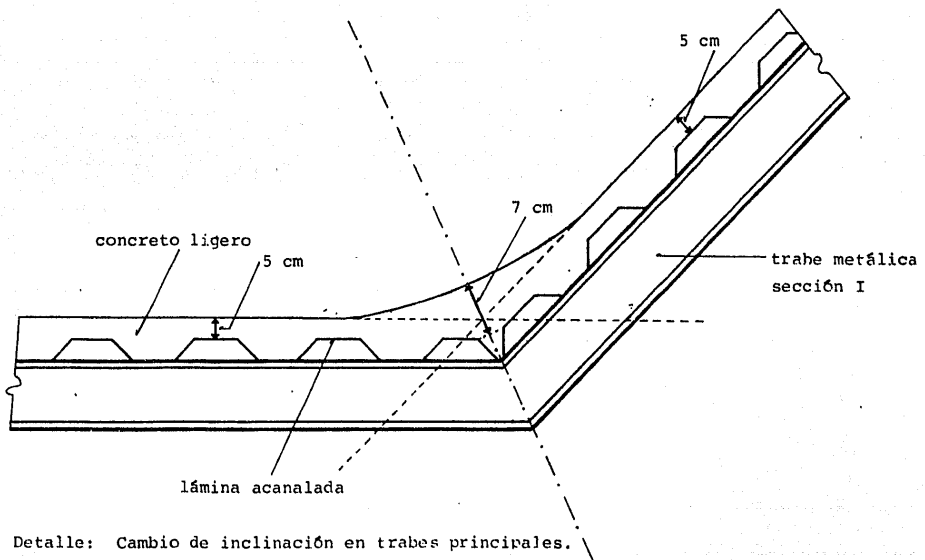


Figura I-5



Detalle: Cambio de inclinación en tráves principales.

Figura I-6

CAPITULO II

ANALISIS Y DISEÑO PRELIMINAR

II-a. Modelo simplificado de la estructura.

En el capítulo anterior se mencionó la obtención de las coordenadas de un centro de circunferencia desde el cual se haría girar un radio (Fig. I-3), el cual puede ser obtenido con ayuda de la figura II-1, en donde los puntos A y B del triángulo equilátero tienen sus coordenadas fijas por los requisitos arquitectónicos. Esas coordenadas están referidas a un origen que se encuentra en el nivel cero del eje de simetría de toda la estructura (Fig. I-3).

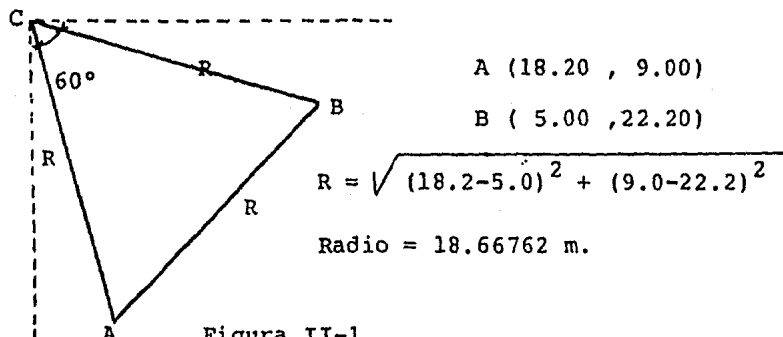


Figura II-1

Para cálculos posteriores será necesaria la ubicación -- exacta del punto C centro de la circunferencia. Las coordenadas de éste pueden ser obtenidas como a continuación se indica.

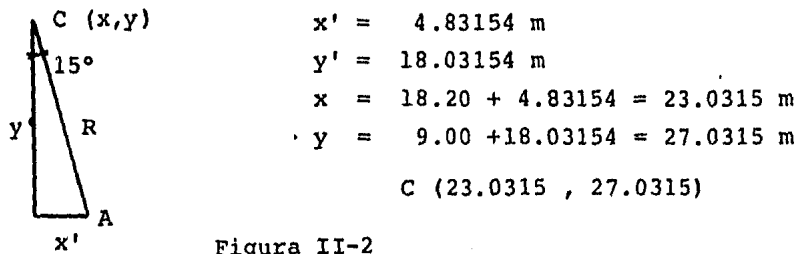
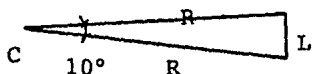


Figura II-2

También se había indicado que cada una de las cuerdas -- trazadas a cada 10 grados (Fig. I-3) constituyen las trabes del marco principal; así la longitud aproximada de éstas -- es la siguiente:



$$L = 2 R \operatorname{sen} (10/2)$$

$$L = 3.25 \text{ metros}$$

Figura II-3

El análisis preliminar se hará considerando en el plano un marco principal de la estructura. Con el fin de que este análisis se realice por medio de un microprocesador, empleando para ello el programa EASI (Engineering Analysis -- Software), el cual "trabaja" por el método de las rigideces, se elaborará un modelo matemático, figura II-4.

El modelo matemático para el análisis preliminar consiste en definir:

- a) Las coordenadas de los nudos que se deseen considerar -- en la estructura.
- b) Los elementos que constituyen el marco, indicando el nudo inicial y el final para cada elemento, así como el material, área de su sección transversal y momento de inercia de éste con respecto al eje z.
- c) Los nudos de la estructura que estarán cargados y cuales tendrán alguno de sus desplazamientos restringidos -- (apoyos).

Contanto con las ventajas del microprocesador se proponen en el marco nudos adicionales a los que serán cargados,

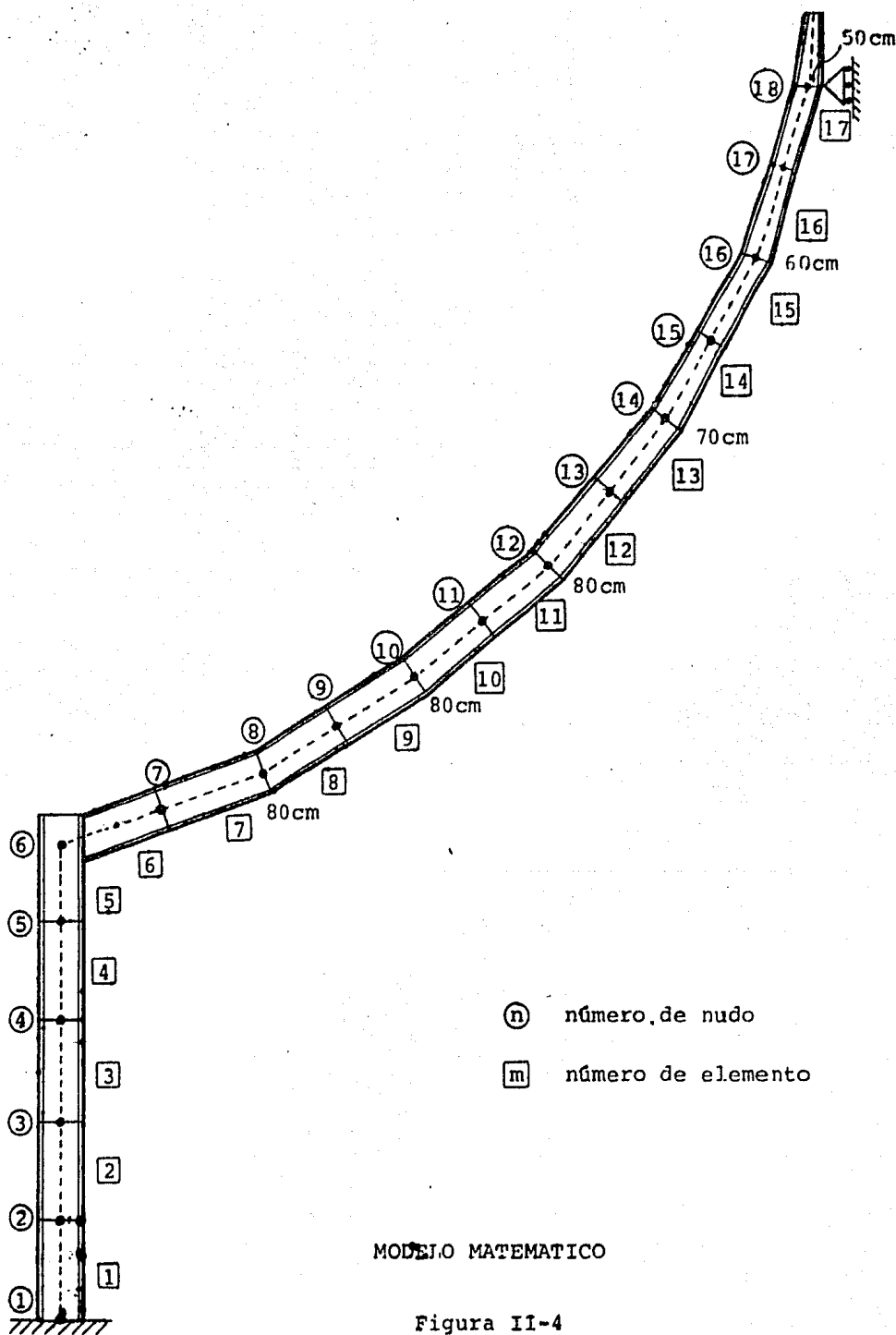
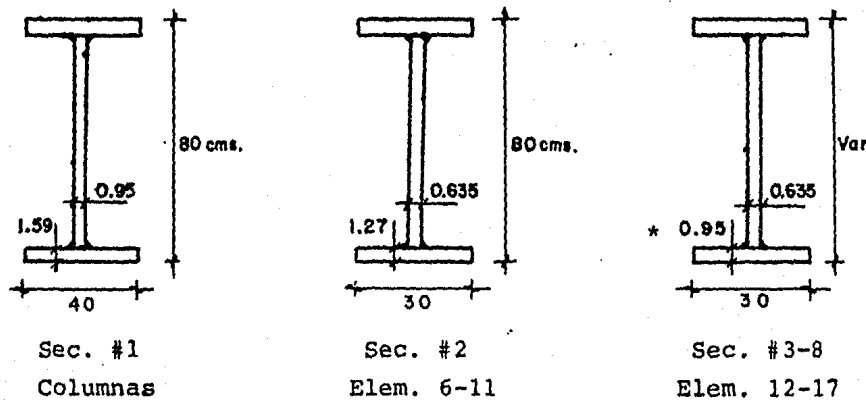


Figura II-4

esto con el fin de tener una mejor idea de la variación de los elementos mecánicos. Así, cada una de las trabes será dividida en dos elementos y la columna en cinco.

Para los marcos principales de la estructura se proponen las siguientes secciones transversales de sus diferentes elementos, los cuales serán construidos a base de tres placas metálicas soldadas.



* Para los elementos 12 y 13 $tf = 1.27$ cms.

Figura II-5

Con el fin de lograr una optimización de materiales algunas trabes inclinadas presentan peralte variables en su longitud. En la figura II-4 se indican el valor inicial y final de dicho peralte para cada trabe.

Ya conociendo las longitudes e inclinaciones de los diferentes elementos del marco (secciones de columna y trabe), así como las variaciones de sus peraltes, fijando un nuevo sistema coordenado cuyo origen se halle en la base y centro

de la columna, se pueden encontrar las coordenadas de los nudos inicial (i) y final (j) de cada elemento, las cuales aparecen en la siguiente tabla.

Punto	Coordenada	
	x	y
1	0.00	0.00
2	0.00	180.00
3	0.00	360.00
4	0.00	540.00
5	0.00	720.00
6	0.00	842.87
7	181.37	908.89
8	362.74	974.90
9	506.67	1058.00
10	650.61	1141.10
11	777.93	1247.93
12	905.24	1354.76
13	1010.16	1483.68
14	1114.68	1612.34
15	1195.51	1757.07
16	1275.90	1901.54
17	1330.20	2057.70
18	1384.15	2213.53

Las coordenadas están dadas en centímetros.

Tabla II-1

A continuación se muestra una tabla en donde aparecen las propiedades geométricas de las secciones transversales de -

los diferentes elementos que constituyen el marco.

Sec. #	Peralte (cm)	Área (cm ²)	I _x (cm ⁴)	S _x (cm ³)	R _x (cm)	R _y (cm)	R _t (cm)
1	80	200.18	231427	5786	34.0	9.2	10.6
2	80	125.39	142684	3567	33.7	6.8	7.9
3	75	122.21	123700	3299	31.8	6.8	7.9
4	70	119.04	106244	3036	29.9	6.9	7.9
5	65	97.07	71758	2208	27.2	6.6	7.8
6	60	93.89	60071	2002	25.3	6.7	7.9
7	55	90.72	49557	1802	23.4	6.7	7.9
8	50	87.54	40177	1607	21.4	7.0	8.0

Tabla II-2

Para los elementos que presentan una sección variable se tomaron los siguientes peralteos:

No. de elemento	Peralte (cm)
12	75
13	70
14	65
15	60
16	55
17	50

Tabla II-3

Se puede observar que siempre se considera como peralte constante a el más pequeño que tiene el elemento en toda su longitud (situación más desfavorable).

Ahora se presenta una tabla en la que aparece el número de elemento, su nudo i , su nudo j y el material o tipo de sección transversal de ese elemento (ver figura II-4).

Elem.	Sec #	Nudo i	Nudo j
1	1	1	2
2	1	2	3
3	1	3	4
4	1	4	5
5	1	5	6
6	2	6	7
7	2	7	8
8	2	8	9

Elem.	Sec #	Nudo i	Nudo j
9	2	9	10
10	2	10	11
11	2	11	12
12	3	12	13
13	4	13	14
14	5	14	15
15	6	15	16
16	7	16	17
17	8	17	18

Tabla II-4

Para valuar las cargas que solicitan ese marco, es necesario recordar que el conjunto de 16 marcos principales, -- junto con las trabes secundarias que forman la retícula metálica (Fig. I-4) soportan la cubierta de revolución constituida por la losacero. En la misma figura I-4 puede observarse que el marco estará cargado en los puntos donde se apoyan las trabes secundarias, esto sucede en los cambios de inclinación de las trabes del marco principal, puntos: 6, 8, 10, 12, 14, 16 y 18 del modelo matemático (Fig. II-4). Ahora bien, el valor de la carga para estos puntos será igual al producto del área tributaria que corresponde a las trabes secundarias que llegan al punto, por el peso por metro cuadrado de la cubierta de revolución.

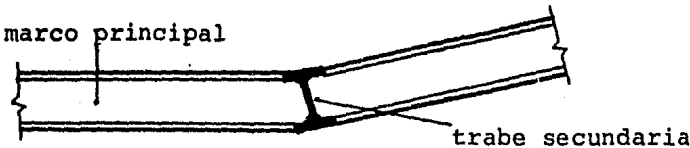


Figura II-6

En el capítulo I de esta tesis se hizo hincapié en que la superficie de la cubierta de revolución tendría una curvatura circular, obtenida gracias a la moldeabilidad del concreto antes de su fraguado; pero para el análisis de la estructura esa superficie será considerada en tramos rectos; es decir, para cada trabe del marco principal inclinada un ángulo theta con respecto a la horizontal, se considera que el área de la cubierta que se halla sobre ella lleva esa misma inclinación constante.

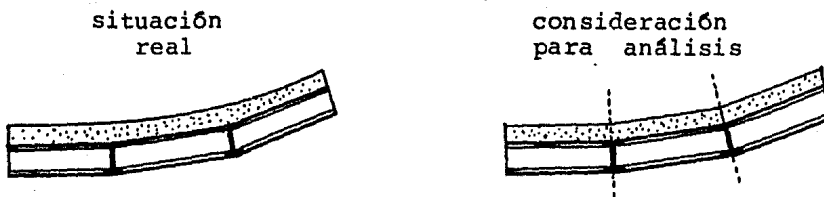


Figura II-7

Tomando un marco principal de la estructura, se observa que el área tributaria que le corresponde a una trabe secundaria está dada por $A_i + A_j$ (Fig. II-8); en donde A_i tiene una inclinación con respecto a la horizontal diferente de A_j , ya que la trabe secundaria se encuentra apoyada en el marco principal en un punto donde hay un cambio de inclinación de sus trábeas.

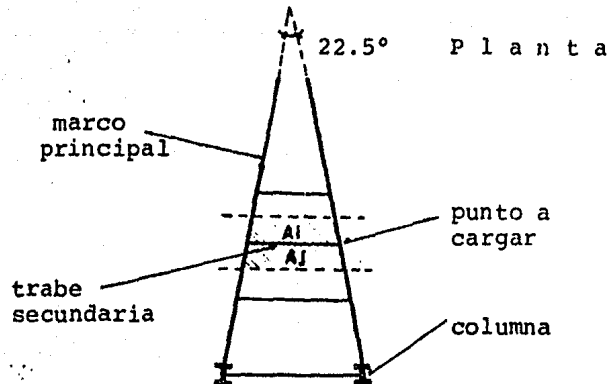


Figura II-8

En la figura anterior se muestra la proyección horizontal del área tributaria para una trabe secundaria; pero habrá que considerar su inclinación con respecto a la horizontal para obtener su valor real.

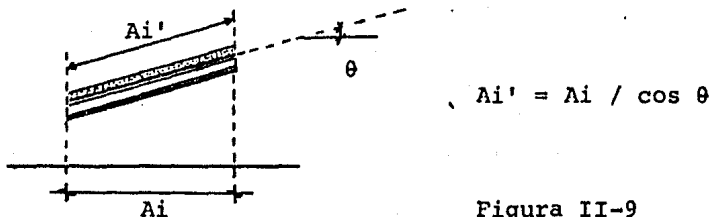


Figura II-9

Así, según lo expuesto el área tributaria para una trabe secundaria estará dada por la siguiente ecuación:

$$A_{ts} = A_i / \cos (\theta_i) + A_j / \cos (\theta_j)$$

en donde:

A_{ts} Valor del área tributaria que soporta una trabe secundaria.

A_i , A_j Proyección horizontal de las áreas tributarias con diferentes inclinaciones.

Theta_i Valores de los ángulos de inclinación de --
Theta_j las áreas A_i y A_j respectivamente.

De la figura II-8 se observa que el área A_{i,j} está dada por el área de un trapecio; para su cálculo es necesario conocer los parámetros de éste. Los valores de las bases así como las alturas de cada trapecio aparecen en la figura II-11.

La inclinación de cada trabe se obtiene encontrando el ángulo cuya tangente es la diferencia de abscisas entre la diferencia de ordenadas de los nudos extremos de dicha trabe.

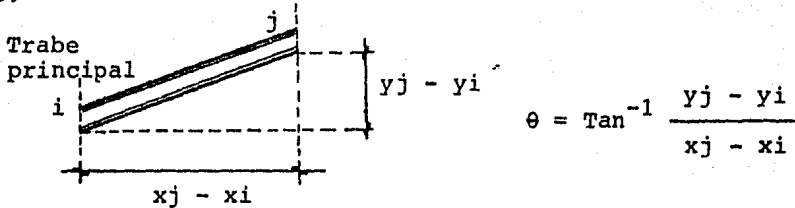


Figura II-10

A continuación se da una tabla que contiene el número i de cada área, su inclinación con respecto a la horizontal, - el valor de su proyección horizontal, su valor real, y por último el valor del área tributaria para cada una de las -- trabes secundarias.

Area No.	Theta	Area Proyección Horizontal	Area Real	Area tributaria para trabes secundarias
1	17.29	12.36	12.94	12.94 m ²
2	17.29	11.09	11.61	
3	30.48	7.84	9.10	20.71
4	30.48	7.05	8.18	
5	40.55	5.58	7.35	15.53
6	40.55	4.97	6.54	
7	51.43	3.63	5.82	12.36
8	51.43	3.20	5.14	
9	61.33	2.25	4.68	9.82
10	61.33	1.99	4.14	
11	71.56	1.15	3.62	7.76
12	71.56	1.03	3.27	3.27

Tabla II-5

Ya conociendo los valores de las áreas tributarias para cada trabe secundaria; sólo resta evaluar la carga por metro cuadrado para la superficie de revolución, realizar los productos de carga por metro cuadrado por áreas, y con esas cargas puntuales proceder a analizar el marco principal.

II-b. Análisis por Carga Muerta.

Ya que el análisis y el diseño preliminar son usados para tener una idea a priori tanto de los elementos mecánicos, como de las secciones de la estructura, éste se hará exclusivamente para carga muerta; es decir, se supondrá que los

Longitudes empleadas para el
cálculo de áreas tributarias

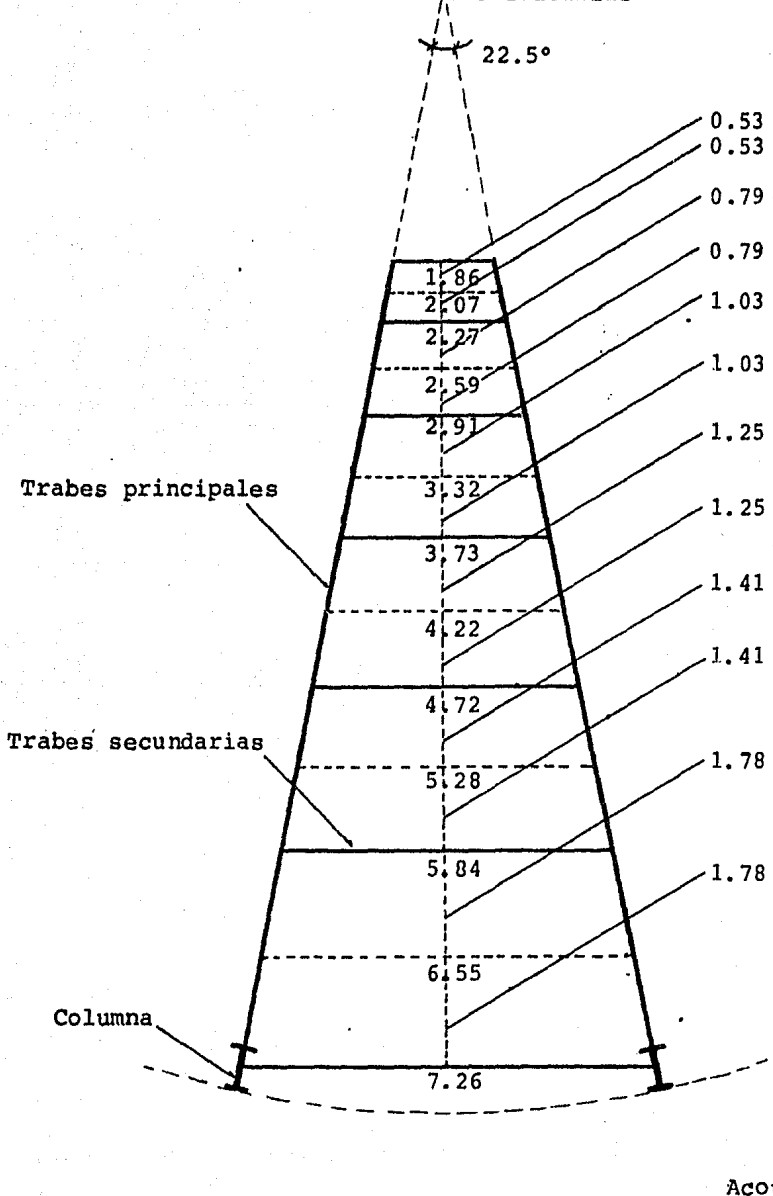
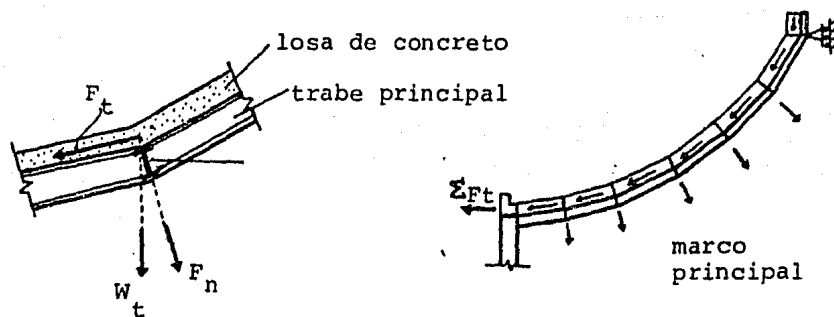


Figura II-11

marcos estructurales, junto con las trabes secundarias soportan la " losacero " antes del fraguado del concreto de ésta, y por lo tanto no se tendrá carga viva. Ya el análisis definitivo de la estructura se hará con diferentes condiciones de carga, y en todas ellas considerando al concreto de la losacero fraguado. El peso de este concreto más la carga viva será descompuesto en dos direcciones, una normal y otra transversal, haciendo una acumulación de estas últimas componentes (fuerzas) hasta llegar al anillo perimetral de la cubierta (Anillo de Tensión). Todo esto será expuesto en forma más clara en el siguiente inciso de este capítulo.



W_t : carga debida al área tributaria de la trabe secundaria.

F_t : componente transversal de la carga W_t .

F_n : componente normal de la carga W_t .

Figura II-12

Esta descomposición de fuerzas no es posible hacerla en el análisis preliminar, ya que el modelo matemático no incluye a las trabes secundarias ni al anillo de tensión; por lo tanto la componente normal no puede ser descargada. En

cambio, el modelo matemático tridimensional de la estructura sí considera como elementos a las trabes secundarias, y en él existe forma de descargar la componente normal sobre dichas trabes.

Como se mencionó en el capítulo I de esta tesis, la curvatura circular continua de la cubierta será lograda con el concreto, teniendo un espesor mayor de éste en los cambios de inclinación de las trabes del marco principal (Fig. I-6). Por supuesto este espesor adicional ocasiona una sobrecarga que habrá que calcular. Para ello se usará la siguiente figura.

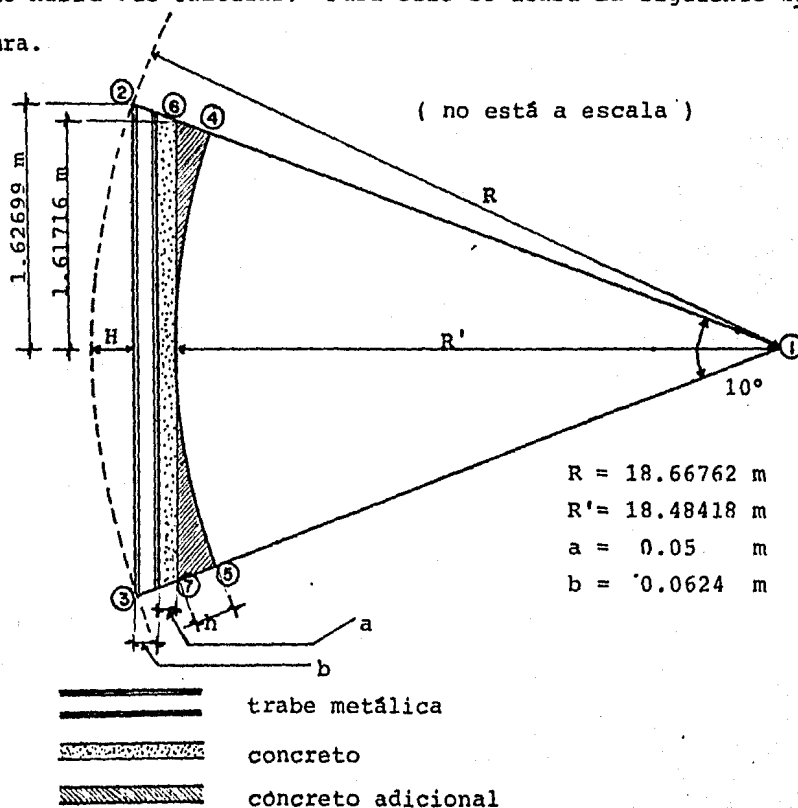


Figura II-13

$$H = R (1 - \cos 5^\circ) = 0.07104 \text{ m}$$

$$h = \frac{R'}{\cos 5^\circ} - R' = 0.07061 \text{ m}$$

el área total del triángulo 1-2-3 es:

$$\frac{1.62699 \times 2 (18.48418 + 0.05 + 0.0624)}{2} = 30.25645 \text{ m}^2$$

el área del sector circular 1-4-5 es:

$$\frac{\pi}{360^\circ} \times (18.48418)^2 \times 10^\circ = 29.81589 \text{ m}^2$$

el área del trapecio 2-6-7-3 es;

$$\left(\frac{1.62699 + 1.61716}{2} \right) (0.0624 + 0.05) \times 2 = 0.36464 \text{ m}^2$$

por lo tanto el área buscada (////) se obtiene restando al área total el área del trapecio y del sector circular:

$$30.25645 - 29.81589 - 0.36464 = 0.07592 \text{ m}^2$$

dividiendo esa área entre la longitud de la trabe del marco principal se obtiene un espesor promedio adicional de concreto:

$$\text{Espesor promedio adicional} = \frac{0.07592 \text{ m}^2}{1.62699 \times 2} = 0.0233 \text{ m}$$

si se tiene un concreto de peso volumétrico igual a 1,600 - kg/m³ la sobrecarga es igual a:

$$\text{Sobrecarga} = 1,600 \text{ kg/m}^3 \times 0.0233 \text{ m} = \underline{37.28 \text{ kg/m}^2}$$

Ya conociendo el valor de la sobrecarga debida al espesor adicional de concreto se puede estimar el peso por metro cuadrado que tendrá la cubierta.

Losacero ROMSA: Lámina QL-99 cal. 24	kg/m ²
con concreto ligero de 1,600 kg/m ³ y	
con espesor A = 5.0 cm (catálogo)	136.40

Sobrecarga por espesor adicional	37.28
----------------------------------	-------

Peso propio de la estructura metálica
(supuesto) 50.0

$$\text{Carga Muerta} = 223.68 \text{ kg/m}^2 \approx 225 \text{ kg/m}^2$$

Como las trabes secundarias de la estructura estarán apoyadas en los marcos principales, éstos serán analizados con las descargas de dichas trabes.

En el inciso anterior de este capítulo se calcularon las áreas tributarias que corresponden a cada trabe secundaria; multiplicando dichas áreas por el peso por metro cuadrado - de la cubierta se obtiene el peso total para cada trabe secundaria.

No. nudo	área tributaria (m ²)	Carga (kgs)
6	12.94	2912
8	20.71	4660
10	15.53	3494
12	12.36	2781
14	9.82	2210
16	7.76	1746
18	3.27	736

Tabla III-6

El modelo matemático expuesto en el inciso a) de este capítulo es analizado con las cargas anteriores por medio del programa EASI. En el anexo No. 1, al final de la tesis se da un listado donde se muestran como datos de entrada: Las coordenadas de los nudos del modelo matemático, las propie-

dades geométricas de los elementos del marco, las incidencias de elementos y nudos, las cargas nodales y las restricciones de nudos. Como resultados están: Los elementos mecánicos de cada elemento (fuerza axial, cortante y momento flexionante), los desplazamientos de los nudos y las restricciones en los apoyos.

Con los resultados arrojados por el programa se elaboran los diagramas de fuerza axial, cortante, momento flexionante y deformaciones de la estructura.

II-c. Diseño Preliminar.

Tanto los elementos de los marcos principales así como las trabes secundarias serán revisados de acuerdo a las normas del Manual del Instituto Norteamericano de Construcción en Acero (American Institute of Steel Construction). En el anexo No. 2 de esta tesis se muestran dos diagramas de flujo basados en las normas de dicho manual, uno empleado para determinar si una sección es compacta o no lo es, y otro para hallar el valor de su esfuerzo de flexión permitido (Γ_b). Con ayuda de estos dos diagramas de flujo se realiza la revisión de secciones propuestas.

Observando los diagramas de fuerza axial, cortante y momento flexionante figuras II-14, II-15 y II-16 se puede apreciar que los elementos del marco principal que deben revisarse son los siguientes: Columna (nudos 1 al 6), tra-

Diagrama de Fuerza Axial, compresión (en Tons.)

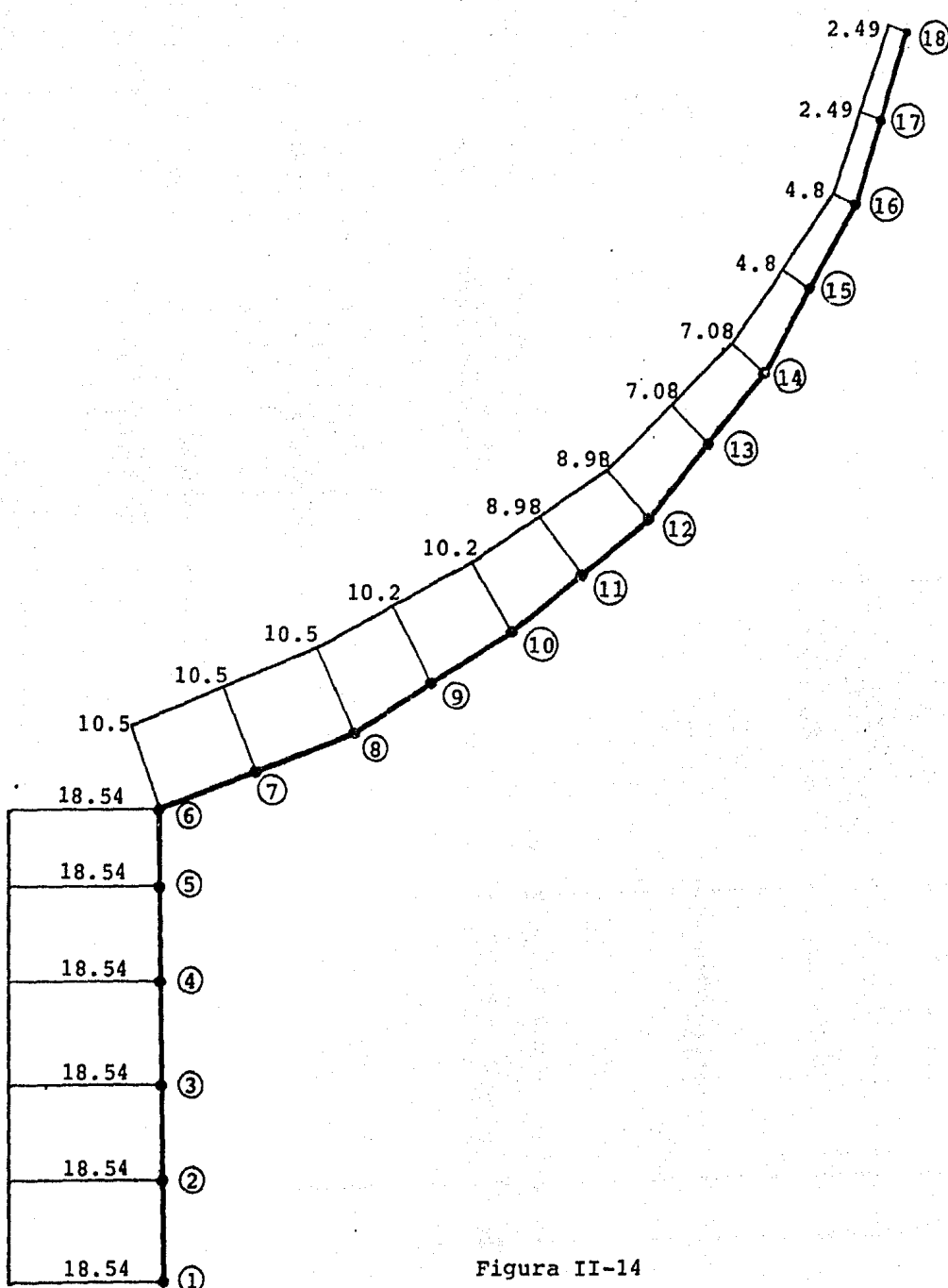


Figura III-14

Diagrama de Fuerza Cortante (en Tons.)

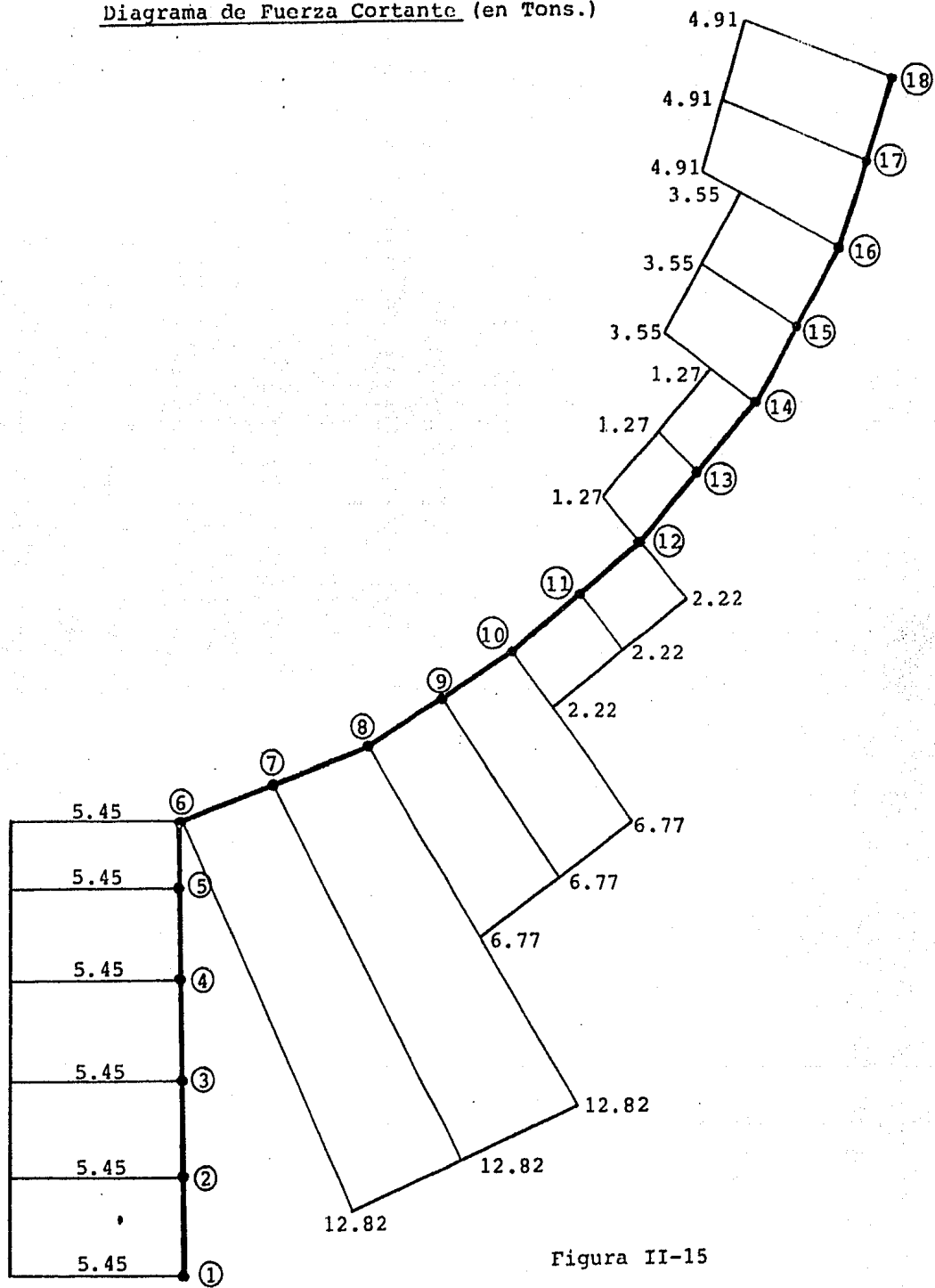


Figura II-15

Diagrama de Momentos Flexionantes (en Ton-m).

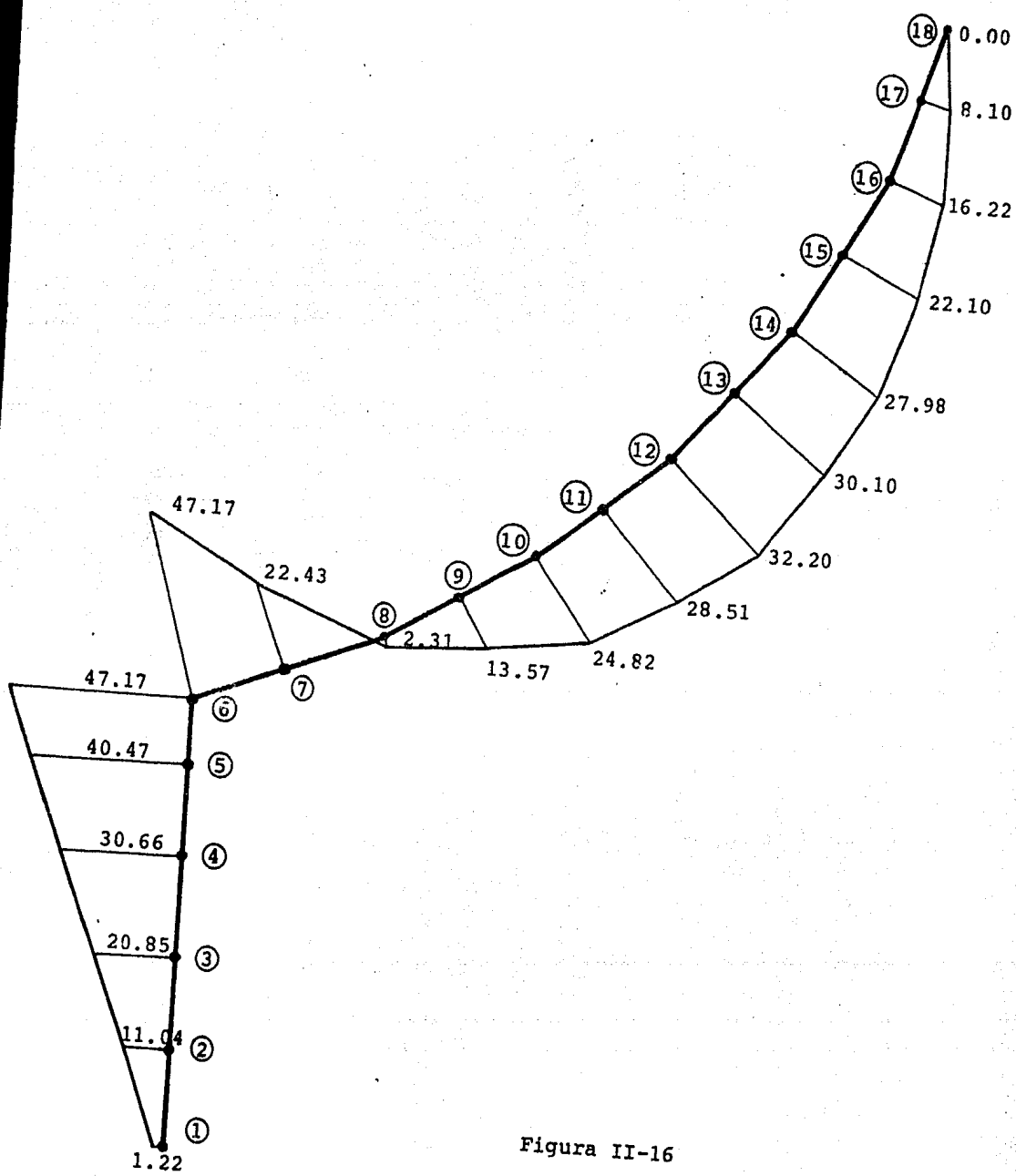


Figura II-16

Diagrama de deformaciones (en centímetros).

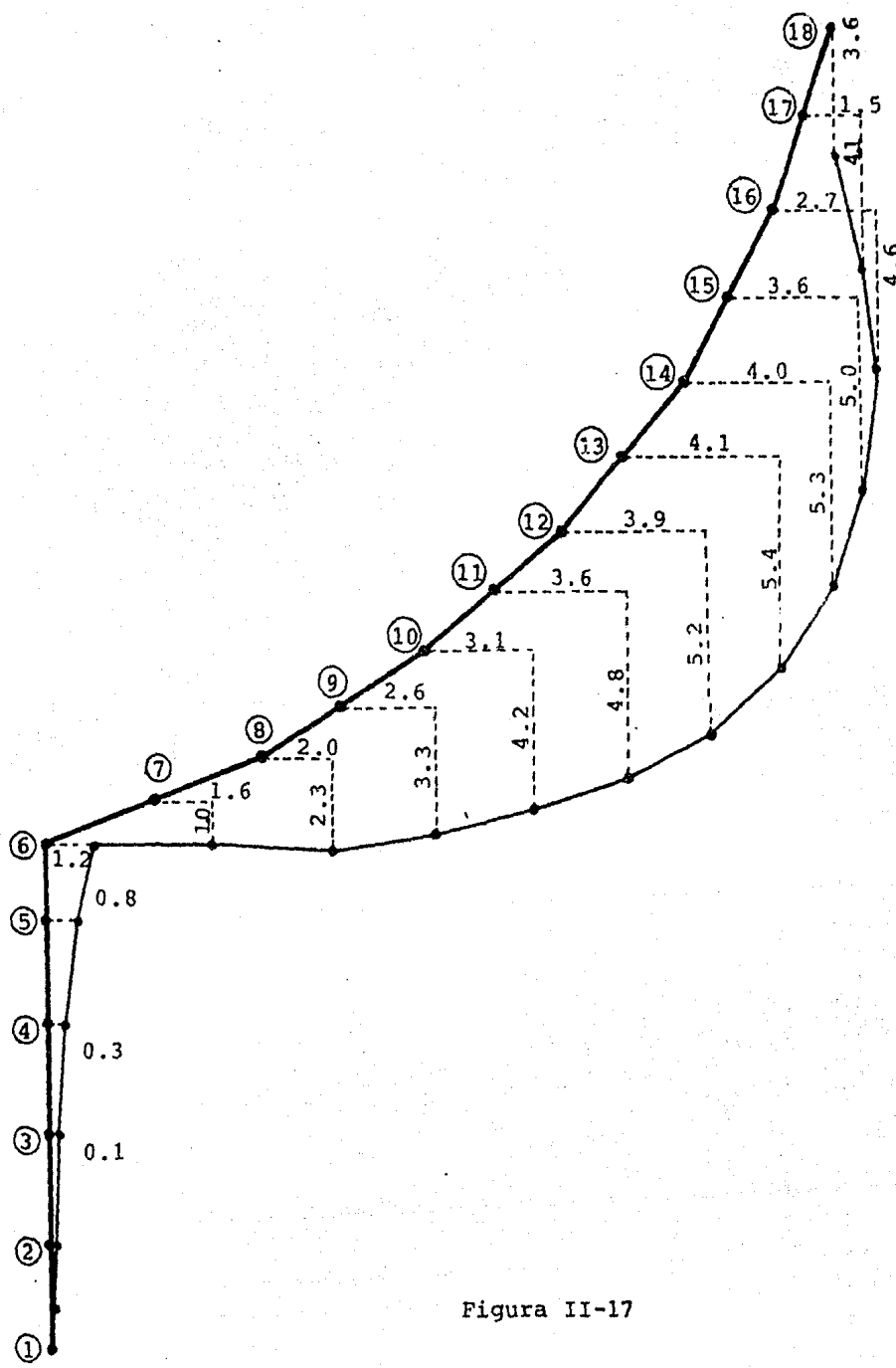
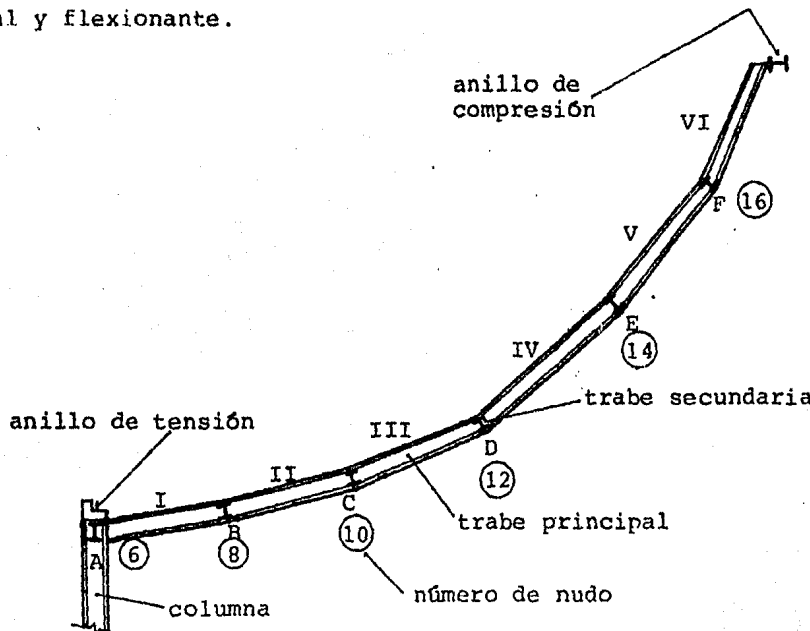


Figura II-17

be I (6 al 8), trabe IV (12 al 14) y trabe V (14 al 16); en todos ellos considerando una interacción de esfuerzos normal y flexionante.



Nomenclatura de trabes principales y secundarias

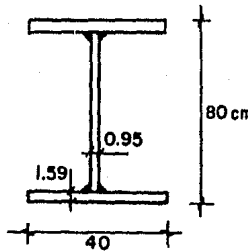
Figura II-18

Columna (nudos 1 al 6)

Area = 200.18 cm ²	momento en nudo i = 1.22 ton-m
I _x = 231427 cm ⁴	momento en nudo j = -47.17 ton-m
S _x = 5786 cm ³	fuerza axial = 18.54 ton
r _x = 34.0 cm	fuerza cortante = 5.45 ton
r _y = 9.2 cm	L _x = L _y = 843 cm
r _t = 10.6 cm	

Se considerarán los siguientes valores:

$$k_x = 1.5 \quad y \quad k_y = 1.0$$



Esfuerzo a Compresión:

$$\frac{kx \times Lx}{rx} = \frac{1.5 \times 843}{34} = 37.19$$

$$\frac{ky \times Ly}{ry} = \frac{1.0 \times 843}{9.2} = 91.63 \quad \text{rige} \Rightarrow f_a = 0.9838 \text{ ton/cm}^2$$

$$f_a = 18.54 \text{ ton / } 200.18 \text{ cm}^2 = 0.093 \text{ ton/cm}^2$$

$$f_a/f_a = 0.093/0.9838 = 0.095$$

Esfuerzo a Flexión

$$\frac{d}{tw} \leq \frac{169.66}{\sqrt{F_y}} (1 - 3.74 f_a/F_y); \quad f_a/F_y = 0.093/2.53 = 0.037 \\ f_a/F_y < 0.16$$

$$d/tw = 80/0.95 = 84.21$$

$$\frac{169.66}{F_y} (1 - 3.74 f_a/F_y) = \frac{169.66}{2.53} (1 - 3.74 \times 0.037) = 91.91$$

$$84.21 < 91.91$$

$$L_b \leq \frac{20.1416 \text{ bf}}{\sqrt{F_y}}; \quad L_b = 843 \text{ cm}$$

$$\frac{20.1416 \text{ bf}}{\sqrt{F_y}} = \frac{20.1416 \times 40}{\sqrt{2.53}} = 506.5;$$

$843 > 506.5 \Rightarrow$ Sección NO compacta

$$\frac{bf}{2tf} \leq \frac{25.185}{\sqrt{F_y}}$$

$$bf/2tf = \frac{40}{2 \times 1.59} = 12.58 < \frac{25.185}{\sqrt{F_y}} = \frac{25.185}{\sqrt{2.53}} = 15.83$$

$$C_b = 1.75 + 1.05(M_1/M_2) + 0.3(M_1/M_2)^2 \quad M_1 < M_2$$

$$M_1 = 1.22 \text{ ton-m}; \quad M_2 = -47.17 \text{ ton-m}; \quad M_1/M_2 = -1.22/47.17 \\ = -0.026$$

$$C_b = 1.75 + 1.05 \times (-0.026) + 0.3 (-0.026)^2; C_b = 1.72$$

$$F_{b'} = \frac{843.68 \times C_b}{L_b \times d/A_f}, \quad L_b = 843 \text{ cm} \quad d = 80 \text{ cm}$$
$$A_f = 40 \times 1.59 \text{ cm}^2 = 63.6 \text{ cm}^2$$

$$F_{b'} = \frac{843.68 \times 1.72}{843 \times 80/63.6} \quad F_{b'} = 1.369$$
$$F_{b'} < 0.6 F_y$$

$$\frac{L_b}{rt} \geq \sqrt{\frac{35841.67 \times C_b}{F_y}}; \quad L_b/rt = 843/10.6 = 79.53$$

$$\sqrt{\frac{35841.67 \times C_b}{F_y}} = \sqrt{\frac{35841.67 \times 1.72}{2.53}} = 156.10$$

$$79.53 < 156.10$$

$$\frac{L_b}{rt} \geq \sqrt{\frac{7168.33 \times C_b}{F_y}}; \quad L_b/rt = 79.53$$

$$\sqrt{\frac{7168.33 \times C_b}{F_y}} = \sqrt{\frac{7168.33 \times 1.72}{2.53}} = 69.81$$

$$79.53 > 69.81$$

$$F_{b''} = \left[\frac{2}{3} - \frac{F_y (L_b/rt)^2}{107525 \times C_b} \right] \times F_y$$

$$F_{b''} = \left[\frac{2}{3} - \frac{2.53 (843/10.6)^2}{107525 \times 1.72} \right] \times 2.53 \Rightarrow F_{b''} = 1.468 \text{ ton/cm}^2$$

$$F_{b''} > F_{b'} \quad \Rightarrow \quad F_b = 1.468 \text{ ton/cm}^2$$

$$f_b = \frac{M}{S_x} = \frac{4717 \text{ ton-cm}}{5786 \text{ cm}^3} = 0.815 \text{ ton/cm}^2$$

$$f_b/F_b = 0.815 / 1.468 = 0.555$$

Revisión por esfuerzos combinados (Flexo-compresión).

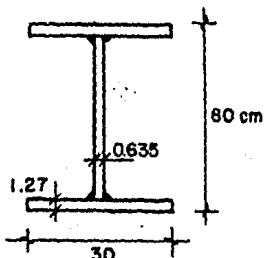
$$f_a/F_a + f_b/F_b \leq 1; \quad 0.095 + 0.555 = 0.650 < 1$$

∴ se ACEPTA la sección.

Trabe I (Nudos 6 al 8)

Area = 125.39 cm²
Ix = 142684 cm⁴
Sx = 3567 cm³
rx = 33.7 cm
ry = 6.8 cm
rt = 7.9 cm

momento en nudo i = 47.17 ton-m
momento en nudo j = 2.31 ton-m
fuerza axial = 10.50 ton
fuerza cortante = 12.82 ton
Lx = 1800 cm
Ly = 386 cm



Considerando:

$$k_x = 1.4$$

$$k_y = 1.0$$

Esfuerzo a Compresión:

$$\frac{k_x \times L_x}{r_x} = \frac{1.4 \times 1800}{33.7} = 74.8 \text{ rige} \Rightarrow f_a = 1.1202 \text{ ton/cm}^2$$

$$\frac{k_y \times L_y}{r_y} = \frac{1.0 \times 386}{6.8} = 56.8$$

$$f_a = 10.50 \text{ ton / } 125.39 \text{ cm}^2 = 0.084 \text{ ton/cm}^2$$

$$f_a/f_a = 0.084/1.1202 = 0.075$$

Esfuerzo a Flexión:

$$\frac{d}{tw} \leq \frac{169.66}{\sqrt{F_y}} (1 - 3.74 f_a/F_y); \quad f_a/F_y = 0.075/2.53 = 0.033 \\ f_a/F_y < 0.16$$

$$d/tw = 80/0.635 = 126$$

$$\frac{169.66}{\sqrt{F_y}} (1 - 3.74 f_a/F_y) = \frac{169.66}{\sqrt{2.53}} (1 - 3.74 \times 0.033) = 93.5$$

$$126 > 93.5 \Rightarrow \text{sección No compacta}$$

$$\frac{bf}{2tf} \leq \frac{25.185}{\sqrt{F_y}}$$

$$\frac{bf}{2tf} = \frac{30}{2 \times 1.27} = 11.81 < \frac{25.185}{\sqrt{F_y}} = \frac{25.185}{\sqrt{2.53}} = 15.83$$

$$C_b = 1.75 + 1.05(M_1/M_2) + 0.3(M_1/M_2)^2 \quad M_1 < M_2$$

$$M_1 = 2.31 \text{ ton-m}; \quad M_2 = 47.17 \text{ ton-m}; \quad M_1/M_2 = 2.31/47.17 \\ = 0.049$$

$$C_b = 1.75 + 1.05(0.049) + 0.3(0.049)^2; \quad C_b = 1.80$$

$$F_{b'} = \frac{843.68 \times C_b}{L_b \times d / A_f} \quad L_b = 386 \text{ cm} \quad d = 80 \text{ cm} \\ A_f = 30 \times 1.27 \text{ cm} = 38.10 \text{ cm}^2$$

$$F_{b'} = \frac{843.68 \times 1.80}{386 \times 80/38.10} \Rightarrow F_{b'} = 1.874 \text{ ton/cm}^2 \\ F_{b'} > 0.6 F_y \Rightarrow$$

$$F_b = 0.6 F_y = 0.6 \times 2.53 \text{ ton/cm}^2 \Rightarrow F_b = 1.518 \text{ ton/cm}^2$$

$$f_b = \frac{M}{S_x} = \frac{4717 \text{ ton-cm}}{3567 \text{ cm}^3} = 1.322 \text{ ton/cm}^2$$

$$f_b/F_b = 0.871$$

Revisión por esfuerzos combinados (Flexo-compresión).

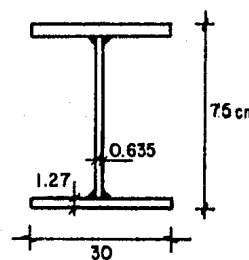
$$f_a/F_a + f_b/F_b \leq 1.0; \quad 0.075 + 0.871 = 0.946 < 1.0$$

∴ se ACEPTE la sección

Trabe IV (Nudos 12 al 14)

Area	= 122.21 cm ²	momento en nudo i	= -32.20 ton-m
I _x	= 123700 cm ⁴	momento en nudo j	= 27.98 ton-m
S _x	= 3299 cm ³	fuerza axial	= 8.98 ton
r _x	= 31.8 cm	fuerza cortante	= 3.55 ton
r _y	= 6.8 cm	L _x	= 1800 cm
r _t	= 7.9 cm	L _y	= 332 cm

Considerando k_x = 1.4 y k_y = 1.0



Esfuerzo a Compresión:

$$\frac{k_x \times L_x}{r_x} = \frac{1.4 \times 1800}{31.8} = 79.3 \text{ rige } \Rightarrow F_a = 1.0895 \text{ ton/cm}^2$$

$$\frac{k_y \times L_y}{r_y} = \frac{1.0 \times 332}{6.8} = 48.8$$

$$f_a = 8.98 \text{ ton / } 122.21 \text{ cm}^2 = 0.07 \text{ ton/cm}^2$$

$$f_a/F_a = 0.07 / 1.0895 = 0.064$$

Esfuerzo a Flexión:

$$\frac{d}{tw} \leq \frac{169.66}{\sqrt{F_y}} (1 - 3.74 f_a/F_y) ; \quad f_a/F_y = 0.07/2.53 = 0.028 \\ f_a/F_y = 0.16$$

$$d/tw = 75/0.635 = 118$$

$$\frac{169.66}{\sqrt{F_y}} (1 - 3.74 f_a/F_y) = \frac{169.66}{\sqrt{2.53}} (1 - 3.74 \times 0.028) = 95.5$$

$$118 > 95.5 \Rightarrow \text{sección NO compacta}$$

$$\frac{bf}{2tf} \leq \frac{25.185}{\sqrt{F_y}}$$

$$\frac{bf}{2tf} = \frac{30}{2 \times 1.27} = 11.81 < \frac{25.185}{\sqrt{F_y}} = \frac{25.185}{\sqrt{2.53}} = 15.85$$

$$C_b = 1.75 + 1.05(M_1/M_2) + 0.3(M_1/M_2)^2 \quad M_1 < M_2$$

$$M_1 = 27.98 \text{ ton-m} ; \quad M_2 = -32.20 \text{ ton-m} ; \quad M_1/M_2 = -0.869$$

$$C_b = 1.75 + 1.05(-0.869) + 0.3(-0.869)^2 ; \quad C_b = 1.06$$

$$Fb' = \frac{843.68 \times Cb}{Lb \times d / Af}$$

$$Lb = 332 \text{ cm} \quad d = 75 \text{ cm}$$
$$Af = 30 \times 1.27 \text{ cm} = 38.10 \text{ cm}^2$$

$$Fb' = \frac{843.68 \times 1.06}{332 \times 75/38.10}$$

$$Fb' = 1.368 \text{ ton/cm}^2$$

$$Fb' < 0.6 Fy$$

$$\frac{Lb}{rt} \geq \sqrt{\frac{35841.67 \times Cb}{Fy}}$$

$$\frac{Lb}{rt} = \frac{332}{7.9} = 42.03 < \sqrt{\frac{35841.67 \times Cb}{Fy}} = \sqrt{\frac{35841.67 \times 1.06}{2.53}} = 122.54$$

$$\frac{Lb}{rt} \geq \sqrt{\frac{7168.33 \times Cb}{Fy}}$$

$$\frac{Lb}{rt} = 42.03 < \sqrt{\frac{7168.33 \times Cb}{Fy}} = \sqrt{\frac{7168.33 \times 1.06}{2.53}} = 54.80$$

$$\frac{Lb}{bf} \leq \frac{20.1476}{\sqrt{Fy}}$$

$$\frac{Lb}{bf} = \frac{332}{30} = 11.07 < \frac{20.1476}{\sqrt{Fy}} = \frac{20.1476}{\sqrt{2.53}} = 12.67$$

$$Fb = 0.6 Fy$$

$$Fb = 1.518 \text{ ton/cm}^2$$

$$fb = \frac{M}{Sx} = \frac{3220 \text{ ton-cm}}{3299 \text{ cm}^3} = 0.98 \text{ ton / cm}^2$$

$$fb / Fb = 0.98 / 1.518 = 0.646$$

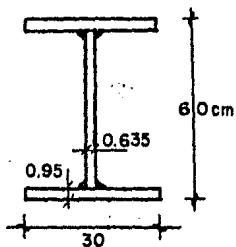
Revisión por esfuerzos combinados (Flexo-compresión).

$$fa/Fa + fb/Fb \leq 1.0 ; \quad 0.064 + 0.646 = 0.710 < 1.0$$

∴ se ACEPTE la sección.

Trabe V (Nudos 14 al 16)

Area = 93.89 cm ²	momento en nudo i = -27.98 ton-m
I _x = 60071 cm ⁴	momento en nudo j = 16.22 ton-m
S _x = 2002 cm ³	fuerza axial = 7.08 ton
r _x = 25.3 cm	fuerza cortante = 4.91 ton
r _y = 6.7 cm	L _x = 1800 cm
r _t = 7.9 cm	L _y = 331 cm



Considerando:

$$k_x = 1.4$$

$$k_y = 1.0$$

Esfuerzo a Compresión:

$$\frac{k_x \times L_x}{r_x} = \frac{1.4 \times 1800}{25.3} = 99.60 \text{ rige} \Rightarrow F_a = 0.9142 \text{ ton/cm}^2$$

$$\frac{k_y \times L_y}{r_y} = \frac{1.0 \times 331}{6.7} = 49.40$$

$$f_a = 7.08 \text{ ton / } 93.89 \text{ cm}^2 = 0.075 \text{ ton/cm}^2$$

$$f_a/F_a = 0.075/0.9142 = 0.082$$

Esfuerzo a Flexión:

$$\frac{d}{t_w} \leq \frac{169.66}{\sqrt{F_y}} (1 - 3.74 f_a/F_y); \quad f_a/F_y = 0.075/2.53 = 0.030 \\ f_a/F_y < 0.16$$

$$\frac{d}{t_w} = \frac{60}{0.635} = 94.49$$

$$\frac{169.66}{\sqrt{F_y}} (1 - 3.74 f_a/F_y) = \frac{169.66}{\sqrt{2.53}} (1 - 3.74 \times 0.03) = 94.70$$

$$94.49 < 94.70$$

$$L_b \leq \frac{20.1416 \times b_f}{\sqrt{F_y}}$$

$$L_b = 331 \text{ cm} < \frac{20.1416 b_f}{\sqrt{F_y}} = \frac{20.1416 \times 30}{\sqrt{2.53}} = 379.9$$

$$L_b \leq \frac{1405.56}{(d/A_f) F_y}$$

$$d = 60 \text{ cm}$$

$$A_f = 30 \times 0.95 = 28.5 \text{ cm}^2$$

$$L_b = 331 > \frac{1405.56}{(d/A_f) F_y} = \frac{1405.56}{(60/28.5) 2.53} = 263.89 \Rightarrow$$

sección NO compacta

$$\frac{b_f}{2t_f} \leq \frac{25.185}{\sqrt{F_y}}$$

$$\frac{b_f}{2t_f} = \frac{30}{2 \times 0.95} = 15.79 < \frac{25.185}{\sqrt{F_y}} = \frac{25.185}{\sqrt{2.53}} = 15.83$$

$$C_b = 1.75 + 1.05 (M_1/M_2) + 0.3 (M_1/M_2)^2 \quad M_1 < M_2$$

$$M_1 = 16.22 \text{ ton-m}; \quad M_2 = -27.98 \text{ ton-m}; \quad M_1/M_2 = -0.580$$

$$C_b = 1.75 + 1.05 (-0.580) + 0.3 (-0.580)^2; \quad C_b = 1.242$$

$$F_{b'} = \frac{843.68 \times C_b}{L_b \times d / A_f} \quad L_b = 331 \text{ cm} \quad A_f = 28.5 \text{ cm}^2$$

$$d = 60 \text{ cm}$$

$$F_{b'} = \frac{843.68 \times 1.242}{331 \times 60/28.5} ; \quad F_{b'} = 1.504 \text{ ton/cm}^2$$

$$F_{b'} < 0.6 F_y$$

$$\frac{L_b}{r_t} \geq \sqrt{\frac{35841.67 \times C_b}{F_y}}$$

$$\frac{L_b}{r_t} = \frac{331}{7.9} = 41.90 < \sqrt{\frac{35841.67 \times C_b}{F_y}} = \sqrt{\frac{35841.67 \times 1.242}{2.53}} = 132.65$$

$$\frac{L_b}{r_t} \geq \sqrt{\frac{7168.33 \times C_b}{F_y}}$$

$$\frac{L_b}{r_t} = 79.53 < \sqrt{\frac{7168.33 \times C_b}{F_y}} = \sqrt{\frac{7168.33 \times 1.242}{2.53}} = 59.32$$

$$\frac{Lb}{bf} \leq \frac{20.1476}{\sqrt{Fy}}$$

$$\frac{Lb}{bf} = \frac{331}{30} = 11.03 < \frac{20.1476}{\sqrt{Fy}} = \frac{20.1476}{\sqrt{2.53}} = 12.67 \Rightarrow$$

$$Fb = 0.6 \times Fy ; \quad Fb = 0.6 \times 2.53 = 1.518 \text{ ton/cm}^2$$

$$fb = M/Sx = 2798 \text{ ton-cm} / 2002 \text{ cm}^3 = 1.398 \text{ ton/cm}^2$$

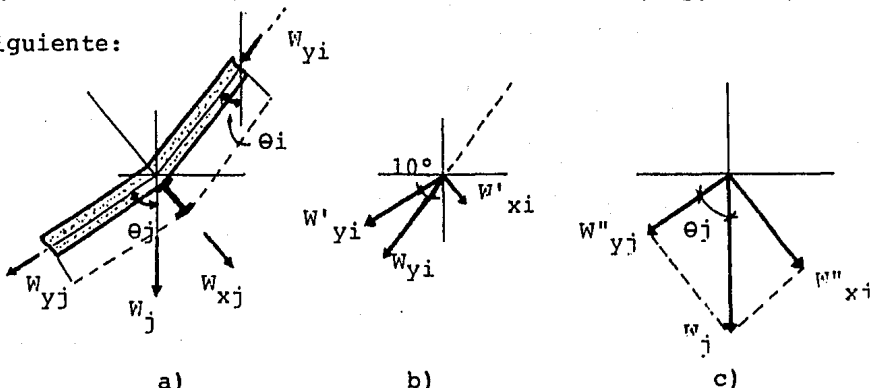
$$fb/Fb = 1.398/1.518 = 0.921$$

Revisión por esfuerzos combinados (Flexo-compresión).

$$fa/Fa + fb/Fb \leq 1.0 ; \quad 0.082 + 0.921 = 1.003 \approx 1.0$$

∴ se ACEPTA la sección.

En el inciso anterior de este capítulo se indicó que en el análisis definitivo de la estructura se haría una descomposición del peso del concreto de la cubierta más la carga viva; pero para realizar una revisión preliminar de las trabes secundarias habrá que hacer esa descomposición de fuerzas ahora. Tomando un tramo de la cubierta se tiene lo siguiente:



Descomposición de fuerzas debidas al peso del concreto de la cubierta

Figura II-19

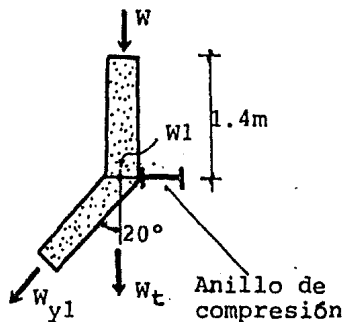
En la figura anterior:

θ_i , θ_j	Angulo de inclinación de la trabe del marco principal con respecto a la vertical.
W_{yi}	Fuerza transversal acumulada del tramo anterior.
W_{yj}	Fuerza transversal a acumular para el siguiente tramo.
W_j	Carga debida al área tributaria que corresponde a la trabe secundaria.
W'_{yi} , W'_{xi}	Componentes de la fuerza W_{yi}
W''_{yj} , W''_{xj}	Componentes de la fuerza W_j
W_{xj}	Fuerza normal sobre la trabe secundaria. Con esta carga uniforme se revisará la trabe secundaria.

La fuerza transversal acumulada del tramo anterior será descompuesta como se indica en la figura II-19 b). La carga debida al área tributaria que corresponde a la trabe secundaria también se descompondrá pero ahora como se muestra en la figura II-19 c). La fuerza transversal acumulada para el siguiente tramo será: $W_{yj} = W'_{yi} + W''_{yj}$ y la carga con la que se revisará a la trabe secundaria estará dada -- por: $W_{xj} = W'_{xi} + W''_{xj}$

Este procedimiento se efectuará para cada una de las trabe secundarias con excepción del anillo de compresión, donde se supondrá que éste no recibe ninguna carga normal debida al peso de la cubierta, " transmitiendo " éste integramente al siguiente tramo de la losa. La acumulación de --- fuerzas transversales se hará hasta llegar al anillo de tensión.

Para poder realizar la descomposición de fuerzas descrita es necesario que el concreto haya fraguado; si esto ha sucedido, entonces se debe considerar una carga de servicio de la cubierta de 295 kg/m^2 , la cual incluye a la carga muerta más la carga viva (ver tabla III-3).



$$W = 1.4 \text{ m} \times 295 \text{ kg/m}^2 = 413 \text{ kg/m}$$

$$\text{Area tributaria} = 3.27 \text{ m}^2$$

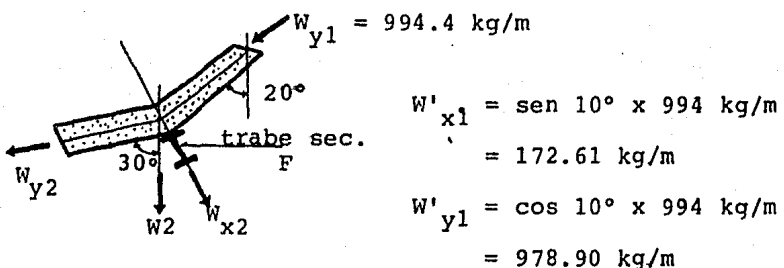
$$\text{Long. de la trabe} = 1.85 \text{ m}$$

$$W_1 = \frac{3.27 \text{ m}^2 \times 295 \text{ kg/m}^2}{1.85 \text{ m}}$$

$$W_1 = 521.43 \text{ kg/m}$$

$$W_t = 413 \text{ kg/m} + 521.43 \text{ kg/m} = 943.43 \text{ kg/m}$$

$$W_{y1} = 943.43 \text{ kg/m} / \cos 20^\circ = 994.40 \text{ kg/m}$$



$$W_{y1} = 994.4 \text{ kg/m}$$

$$W'_{x1} = \sin 10^\circ \times 994 \text{ kg/m}$$

$$= 172.61 \text{ kg/m}$$

$$W'_{y1} = \cos 10^\circ \times 994 \text{ kg/m}$$

$$= 978.90 \text{ kg/m}$$

$$\text{Area tributaria} = 7.76 \text{ m}^2$$

$$\text{Longitud de la trabe} = 2.28 \text{ m}$$

$$W_2 = \frac{7.76 \text{ m}^2 \times 295 \text{ kg/m}^2}{2.28 \text{ m}} = 1004.03 \text{ kg/m}$$

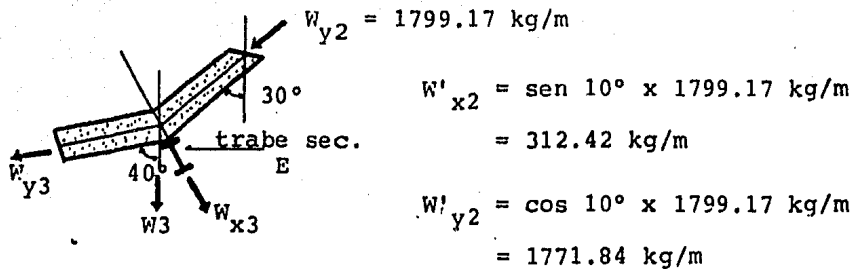
$$W''_{x2} = \sin 30^\circ \times 1004.03 \text{ kg/m} = 502.01 \text{ kg/m}$$

$$W''_{y2} = \cos 30^\circ \times 1004.03 \text{ kg/m} = 820.27 \text{ kg/m}$$

$$W_{x2} = 172.61 + 502.01 \text{ kg/m} = 674.62 \text{ kg/m} *$$

$$W_{y2} = 978.90 + 820.27 \text{ kg/m} = 1799.17 \text{ kg/m}$$

* Con estas cargas serán revisadas las trabes secundarias.



$$\text{Area tributaria} = 9.82 \text{ m}^2$$

Longitud de la trabe 2.91 m

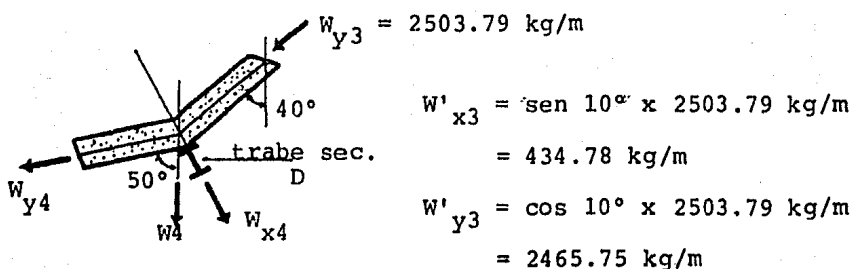
$$W_3 = \frac{9.82 \text{ m}^2 \times 295 \text{ kg/m}}{2.91 \text{ m}} = 955.5 \text{ kg/m}$$

$$W''_{x3} = \sin 40^\circ \times 955.50 \text{ kg/m} = 614.19 \text{ kg/m}$$

$$W''_{y3} = \cos 40^\circ \times 955.50 \text{ kg/m} = 731.95 \text{ kg/m}$$

$$W_{x3} = 312.42 + 614.19 \text{ kg/m} = 926.61 \text{ kg/m} *$$

$$W_{y3} = 1771.84 + 731.95 \text{ kg/m} = 2503.79 \text{ kg/m}$$



$$\text{Area tributaria} = 12.36 \text{ m}^2$$

Longitud de la trabe = 3.73 m

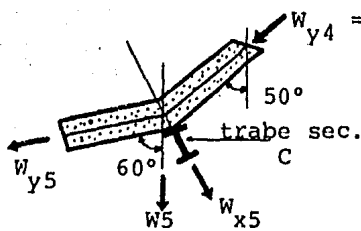
$$W_4 = \frac{12.36 \text{ m}^2 \times 295 \text{ kg/m}^2}{3.73 \text{ m}} = 977.53 \text{ kg/m}$$

$$W''_{x4} = \sin 50^\circ \times 977.53 \text{ kg/m} = 748.83 \text{ kg/m}$$

$$W''_{y4} = \cos 50^\circ \times 977.53 \text{ kg/m} = 628.35 \text{ kg/m}$$

$$W_{x4} = 434.78 + 748.83 \text{ kg/m} = 1183.61 \text{ kg/m} *$$

$$W_{y4} = 2465.75 + 628.35 \text{ kg/m} = 3094.10 \text{ kg/m}$$



$$W_{y4} = 3094.10 \text{ kg/m}$$
$$W'_{x4} = \sin 10^\circ \times 3094.10 \text{ kg/m} \\ = 537.28 \text{ kg/m}$$
$$W'_{y4} = \cos 10^\circ \times 3094.10 \text{ kg/m} \\ = 3047.09 \text{ kg/m}$$

$$\text{Area tributaria} = 15.53 \text{ m}^2$$

$$\text{Longitud de la trabe} = 4.72 \text{ m}$$

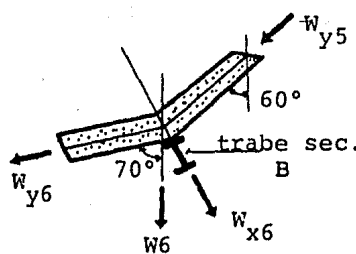
$$w_5 = \frac{15.53 \text{ m}^2 \times 295 \text{ kg/m}^2}{4.72 \text{ m}} = 977.53 \text{ kg/m}$$

$$W''_{x5} = \sin 60^\circ \times 977.53 \text{ kg/m} = 846.05 \text{ kg/m}$$

$$W''_{y5} = \cos 60^\circ \times 977.53 \text{ kg/m} = 488.77 \text{ kg/m}$$

$$W_{x5} = 537.28 + 846.05 \text{ kg/m} = 1383.33 \text{ kg/m} *$$

$$W_{y5} = 3047.09 + 488.77 \text{ kg/m} = 3535.86 \text{ kg/m}$$



$$W_{y5} = 3535.86 \text{ kg/m}$$
$$W'_{x5} = \sin 10^\circ \times 3535.86 \text{ kg/m} \\ = 614.00 \text{ kg/m}$$
$$W'_{y5} = \cos 10^\circ \times 3535.86 \text{ kg/m} \\ = 3482.14 \text{ kg/m}$$

$$\text{Area tributaria} = 20.71 \text{ m}^2$$

$$\text{Longitud de la trabe} = 5.84 \text{ m}$$

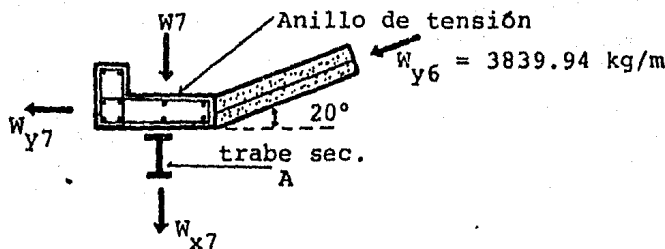
$$w_6 = \frac{20.71 \text{ m}^2 \times 295 \text{ kg/m}^2}{5.84 \text{ m}} = 1046.14 \text{ kg/m}$$

$$W''_{x6} = \sin 70^\circ \times 1046.14 \text{ kg/m} = 983.05 \text{ kg/m}$$

$$W''_{y6} = \cos 70^\circ \times 1046.14 \text{ kg/m} = 357.80 \text{ kg/m}$$

$$W_{x6} = 614.00 + 983.05 \text{ kg/m} = 1597.05 \text{ kg/m} *$$

$$W_{y6} = 3482.14 + 357.80 \text{ kg/m} = 3839.94 \text{ kg/m}$$



$$W'_{x7} = \sin 20^\circ \times 3839.94 \text{ kg/m} = 1313.34 \text{ kg/m}$$

$$W_{y7} = \cos 20^\circ \times 3839.94 \text{ kg/m} = 3608.36 \text{ kg/m} \quad **$$

** Fuerza de tensión sobre el anillo.

$$\text{Area tributaria} = 12.94 \text{ m}^2 \quad \text{Long. de la trabe} = 7.26 \text{ m}$$

$$W7 = \frac{12.94 \text{ m}^2 \times 295 \text{ kg/m}^2}{7.26 \text{ m}} = 525.80 \text{ kg/m}$$

$$\text{Peso propio del anillo} = 768 \text{ kg/m}$$

$$W_{x7} = 1313.34 + 525.80 + 768 \text{ kg/m} = 2607.14 \text{ kg/m} \quad ***$$

*** Fuerza vertical sobre el anillo.

La trabe secundaria A será revisada sin considerar el peso del anillo de tensión; ya que el armado de éste estará calculado para soportar su propio peso. Así la carga para la trabe A será: $1313.34 + 525.80 \text{ kg/m} = 1839.14 \text{ kg/m} *$

A continuación se da una tabla donde aparecen el tipo de sección, carga y longitud para cada una de las trabes secundarias.

Trabe Secundaria	Tipo de sección	Longitud (ml)	Carga w (kg/ml)
A	1	7.26	1,839
B	1	5.84	1,597

Trabe Secundaria	Tipo de sección	Longitud (ml)	Carga w (kg/ml)
C	1	4.72	1,383
D	1	3.73	1,184
E	2	2.91	927
F	3	2.28	675

Tabla II-7

Las secciones propuestas para dichas trabes son las siguientes:

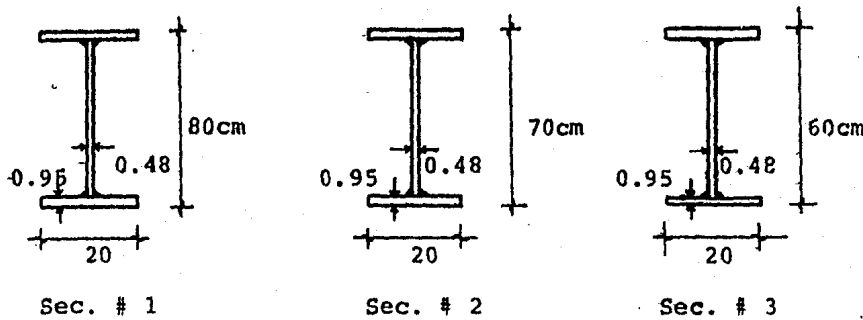


Figura II-20

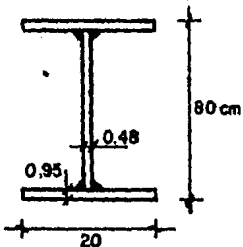
Las propiedades geométricas para esas secciones son:

Sec. #	Area (cm ²)	I _x (cm ⁴)	I _y (cm ⁴)	S _x (cm ³)	S _y (cm ³)	r _x (cm)	r _y (cm)	r _t (cm)
1	75.49	78,423	1,267	1,961	127	32.3	4.1	5.0
2	70.69	57,931	1,267	1,655	127	28.6	4.2	5.1
3	65.89	40,973	1,267	1,366	127	24.9	4.4	5.2

Tabla II-8

Revisión de trabes secundarias.

Trabes tipo A



Propiedades de la sección:

$$\text{Area} = 75.49 \text{ cm}^2$$

$$I_x = 78,423 \text{ cm}^4$$

$$S_x = 1,961 \text{ cm}^3$$

$$r_x = 32.20 \text{ cm}$$

$$r_t = 5.0 \text{ cm}$$

Carga uniformemente distribuida $w = 18.39 \text{ kg/cm}$

Longitud de la trabe = 726 cm

$$\text{Momento } M = \frac{w \times L^2}{8} = \frac{18.39 \text{ kg/cm} \times (726 \text{ cm})^2}{8} = 1,211,616 \text{ kg-cm}$$

$$M = 1,211,616 \text{ ton-cm}$$

$$L_b = 726 \text{ cm}/2 = 363 \text{ cm}$$

Nota: Antes del fraguado del concreto habrá que arriostrar la trabe al centro del claro. Ya fraguado el concreto la trabe se encontrará arriostrada en toda su longitud.

Revisión por esfuerzo de Flexión:

$$\frac{d}{tw} \leq \frac{169.66}{\sqrt{F_y}} (1 - 3.74 f_a/F_y) ; \quad f_a = 0.00$$

$$\frac{d}{tw} = \frac{80}{0.48} = 166.67 > \frac{169.66}{\sqrt{F_y}} = \frac{169.66}{\sqrt{2.53}} = 106.66 . \Rightarrow$$

sección NO compacta

$$\frac{bf}{2tf} \leq \frac{25.185}{\sqrt{F_y}} ;$$

$$\frac{bf}{2tf} = \frac{20}{2 \times 0.95} = 10.53 < \frac{25.185}{\sqrt{F_y}} = \frac{25.185}{\sqrt{2.53}} = 15.83$$

$$F_{b'} = \frac{843.68 \times C_b}{L_b \times d / A_f}$$

$$C_b = 1.00 \quad d = 80 \text{ cm}$$

$$A_f = 20 \times 0.95 = 19.0 \text{ cm}^2$$

$$F_{b'} = \frac{843.68 \times 1.0}{363 \times 80 / 19} ; \quad F_{b'} = 0.552 \text{ ton/cm}^2$$
$$F_{b'} < 0.6 F_y$$

$$\frac{L_b}{r_t} \geq \sqrt{\frac{35841.67 \times C_b}{F_y}} ; \quad r_t = 5.0 \text{ cm}$$

$$\frac{L_b}{r_t} = \frac{363}{5} = 72.6 < \sqrt{\frac{35841.67 \times C_b}{F_y}} = \sqrt{\frac{35841.67 \times 1}{2.53}} = 119.02$$

$$\frac{L_b}{r_t} \geq \sqrt{\frac{7168.33 \times C_b}{F_y}}$$

$$\frac{L_b}{r_t} = 72.6 > \sqrt{\frac{7168.33 \times C_b}{F_y}} = \sqrt{\frac{7168.33 \times 1}{2.53}} = 53.23$$

$$F_{b''} = \left[\frac{2}{3} - \frac{F_y (L_b/r_t)^2}{107525 \times C_b} \right] F_y$$

$$F_{b''} = \left[\frac{2}{3} - \frac{2.53(363/5)^2}{107525 \times 1} \right] \times 2.53 ; \quad F_{b''} = 1.373 \text{ ton/cm}^2$$

$$F_{b''} > F_{b'} \Rightarrow F_b = 1.373 \text{ ton/cm}^2$$

$$f_b = \frac{M}{Sx} = \frac{1,211.616 \text{ ton-cm}}{1,961 \text{ cm}^3} = 0.618 \text{ ton/cm}^2$$

Como $F_b > f_b$ la sección se ACEPTA.

Trabes tipo B

La sección es la misma que para las trabes tipo A.

Carga uniformemente distribuida $w = 15.97 \text{ kg/cm}$

Longitud de la trabe = 584 cm

$$\text{Momento } M = \frac{w \times L^2}{8} = \frac{15.97 \text{ kg/cm} \times (584 \text{ cm})^2}{8} = 680,833 \text{ kg-cm}$$
$$= 680,833 \text{ ton-cm}$$

Revisión por esfuerzo de Flexión:

$$\frac{d}{tw} \leq \frac{169.66}{\sqrt{F_y}} (1 - 3.74 fa/F_y) ; \quad fa = 0.00$$

$$\frac{d}{tw} = \frac{80}{0.48} = 166.67 > \frac{169.66}{\sqrt{F_y}} = \frac{169.66}{\sqrt{2.53}} = 106.66 \Rightarrow$$

sección NO compacta

$$\frac{bf}{2tf} \leq \frac{25.185}{\sqrt{F_y}}$$

$$\frac{bf}{2tf} = \frac{20}{2 \times 0.95} = 10.53 < \frac{25.185}{\sqrt{F_y}} = \frac{25.185}{\sqrt{2.53}} = 15.83$$

$$Fb' = \frac{843.68 \times C_b}{Lb \times d / A_f} ; \quad C_b = 1.00 \quad d = 80 \text{ cm}$$

$$A_f = 20 \times 0.95 = 19.0 \text{ cm}^2$$

$$Lb = 584 \text{ cm}$$

$$Fb' = \frac{843.68 \times 1.0}{584 \times 80 / 19} \quad Fb' = 0.343 \text{ ton/cm}^2$$

$$Fb' < 0.6 F_y$$

$$\frac{Lb}{rt} \geq \sqrt{\frac{35841.67 \times C_b}{F_y}} ; \quad rt = 5.0 \text{ cm}$$

$$\frac{Lb}{rt} = \frac{584}{5} = 116.8 < \sqrt{\frac{35841.67 \times C_b}{F_y}} = \sqrt{\frac{35841.67 \times 1}{2.53}} = 119.02$$

$$\frac{Lb}{rt} \geq \sqrt{\frac{7168.33 \times C_b}{F_y}}$$

$$\frac{Lb}{rt} = 116.8 > \sqrt{\frac{7168.33 \times C_b}{F_y}} = \sqrt{\frac{7168.33 \times 1}{2.53}} = 53.23$$

$$Fb'' = \left[\frac{2}{3} - \frac{F_y (Lb/rt)^2}{107525 \times C_b} \right] \times F_y$$

$$Fb'' = \left[\frac{2}{3} - \frac{2.53 (584/5)^2}{107525 \times 1} \right] \times 2.53 \quad Fb'' = 0.875 \text{ ton/cm}^2$$

$$Fb'' > Fb' \Rightarrow Fb = 0.875 \text{ ton/cm}^2$$

$$fb = \frac{M}{Sx} = \frac{680.833 \text{ ton-cm}}{1961 \text{ cm}^3} = 0.347 \text{ ton/cm}^2$$

Como $Fb > fb$ la sección se ACEPTA.

Trabes tipo C

La sección es la misma que para las trabes tipo A.

Carga uniformemente distribuida $w = 13.83 \text{ kg/cm}$

Longitud de la trabe = 472 cm

Como esta trabe tiene la misma sección que la tipo A pero carga y longitud menores no se revisará.

Trabes tipo D

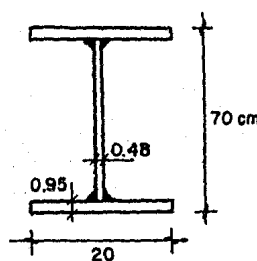
La sección es la misma que para las trabes tipo A.

Carga uniformemente distribuida $w = 11.84 \text{ kg/cm}$

Longitud de la trabe = 373 cm

Sucede lo mismo que con las trabes tipo C.

Trabes tipo E



Propiedades de la sección:

Area = 70.69 cm^2
 $I_x = 57,931 \text{ cm}^4$
 $S_x = 1,655 \text{ cm}^3$
 $r_x = 28.60 \text{ cm}$
 $r_t = 5.10 \text{ cm}$

Carga uniformemente distribuida $w = 9.27 \text{ kg/cm}$

Longitud de la trabe = 291 cm

$$\text{Momento } M = \frac{w \times L^2}{8} = \frac{9.27 \times (291)^2}{8} = 98,124 \text{ kg-cm} \\ = 98.124 \text{ ton-cm}$$

Revisión por esfuerzo de Flexión:

$$\frac{d}{tw} \leq \frac{169.66}{\sqrt{F_y}} (1 - 3.74 f_a/F_y) ; \quad f_a = 0.00$$

$$\frac{d}{tw} = \frac{70}{0.48} = 145.83 > \frac{169.66}{\sqrt{F_y}} = \frac{169.66}{\sqrt{2.53}} = 106.66 \Rightarrow$$

sección NO compacta

$$\frac{bf}{2tf} \leq \frac{25.185}{\sqrt{F_y}}$$

$$\frac{bf}{2tf} = \frac{20}{2 \times 0.95} = 10.53 < \frac{25.185}{\sqrt{F_y}} = \frac{25.185}{\sqrt{2.53}} = 15.83$$

$$F_{b'} = \frac{843.68 \times C_b}{Lb \times d / Af} ; \quad C_b = 1.00 \quad d = 70 \text{ cm}$$
$$Af = 20 \times 0.95 = 19.0 \text{ cm}^2$$
$$Lb = 291 \text{ cm}$$

$$F_{b'} = \frac{843.68 \times 1.0}{291 \times 70 / 19} \quad F_{b'} = 0.787 \text{ ton/cm}^2$$

$$F_{b'} < 0.6 F_y$$

$$\frac{Lb}{rt} \geq \sqrt{\frac{35841.67 \times C_b}{F_y}} ; \quad rt = 5.1 \text{ cm}$$

$$\frac{Lb}{rt} = \frac{291}{5.1} = 57.06 < \sqrt{\frac{35841.67 \times C_b}{F_y}} = \sqrt{\frac{35841.67 \times 1}{2.53}} = 119.02$$

$$\frac{Lb}{rt} \geq \sqrt{\frac{7168.33 \times C_b}{F_y}}$$

$$\frac{Lb}{rt} = 57.06 > \sqrt{\frac{7168.33 \times C_b}{F_y}} = \sqrt{\frac{7168.33 \times 1}{2.53}} = 53.23$$

$$F_{b''} = \left[\frac{2}{3} - \frac{F_y (Lb/rt)^2}{107525 \times C_b} \right] \times F_y$$

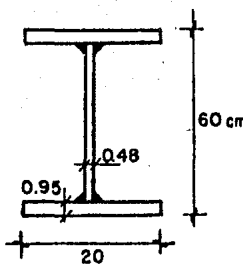
$$F_{b''} = \left[\frac{2}{3} - \frac{2.53 (291/5.1)^2}{107525 \times 1.0} \right] \times 2.53 ; \quad F_{b''} = 1.493 \text{ ton/cm}^2$$

$$F_{b''} > F_{b'} \Rightarrow F_b = 1.493 \text{ ton/cm}^2$$

$$f_b = \frac{M}{Sx} = \frac{98.124 \text{ ton-cm}}{1655 \text{ cm}^3} = 0.059 \text{ ton/cm}^2$$

Como $F_b > f_b$ la sección se ACEPTA.

Trabes tipo F



Propiedades de la sección:

$$\text{Area} = 65.89 \text{ cm}^2$$

$$I_x = 40973 \text{ cm}^4$$

$$S_x = 1366 \text{ cm}^3$$

$$r_x = 24.90 \text{ cm}$$

$$r_t = 5.20 \text{ cm}$$

Carga uniformemente distribuida $w = 6.75 \text{ kg/cm}$

Longitud de la trabe = 228 cm

$$\text{Momento } M = \frac{w \times L^2}{8} = \frac{6.75 \times (228)^2}{8} = 43,862 \text{ kg-cm}$$

$$= 43.862 \text{ ton-cm}$$

Revisión por esfuerzo de Flexión:

$$\frac{d}{tw} \leq \frac{169.66}{\sqrt{F_y}} (1 - 3.74 fa/F_y) ; \quad fa = 0.00$$

$$\frac{d}{tw} = \frac{60}{0.48} = 125 > \frac{169.66}{\sqrt{F_y}} = \frac{169.66}{\sqrt{2.53}} = 106.66 \Rightarrow$$

sección NO compacta

$$\frac{bf}{2tf} \leq \frac{25,185}{\sqrt{F_y}}$$

$$\frac{bf}{2tf} = \frac{20}{2 \times 0.95} = 10.53 < \frac{25,185}{\sqrt{F_y}} = \frac{25,185}{\sqrt{2.53}} = 15.83$$

$$F_{b'} = \frac{843.68 \times C_b}{Lb \times d / Af} ; \quad C_b = 1.00 \quad d = 60 \text{ cm}$$

$$Af = 20 \times 0.95 = 19 \text{ cm}^2$$

$$Lb = 228 \text{ cm}$$

$$F_{b'} = \frac{843.68 \times 1.00}{228 \times 60 / 19} ; \quad F_{b'} = 1.172 \text{ ton/cm}^2$$

$$F_{b'} < 0.6 F_y$$

$$\frac{Lb}{rt} \geq \sqrt{\frac{35841.67 \times C_b}{F_y}} ; \quad rt = 5.2 \text{ cm}$$

$$\frac{Lb}{rt} = \frac{228}{5.2} = 43.85 < \sqrt{\frac{35841.67 \times C_b}{F_y}} = \sqrt{\frac{35841.67 \times 1}{2.53}} = 119.02$$

$$\frac{Lb}{rt} \geq \sqrt{\frac{7168.33 \times Cb}{Fy}}$$

$$\frac{Lb}{rt} = 43.85 < \sqrt{\frac{7168.33 \times Cb}{Fy}} = \sqrt{\frac{7168.33 \times 1}{2.53}} = 53.23$$

$$\frac{Lb}{bf} \leq \frac{20.1476}{\sqrt{Fy}} ; \quad bf = 20 \text{ cm.}$$

$$\frac{Lb}{bf} = \frac{228}{20} = 11.4 < \frac{20.1476}{\sqrt{2.53}} = 12.67 \Rightarrow$$

$$Fb = 0.6 Fy ; \quad Fb = 1.518 \text{ ton/cm}^2$$

$$fb = \frac{M}{Sx} = \frac{43.862 \text{ ton-cm}}{1366 \text{ cm}^3} = 0.032 \text{ ton/cm}^2$$

Como $Fb > fb$ la sección se ACEPTE.

Todas las secciones propuestas tanto para los marcos --- principales como para las trabes secundarias cumplen con -- las especificaciones del manual AISC; por consiguiente con esas secciones se elaborará el modelo matemático para el -- análisis tridimensional.

II-d. Cubicación preliminar de materiales de la cubierta y del sistema estructural.

Los materiales a cubicar serán por una parte de los marcos principales y las trabes secundarias construidos a base de placas de acero estructural A-36 soldadas, y por otra -- del concreto que se empleará para la cubierta que descansará sobre la retícula metálica.

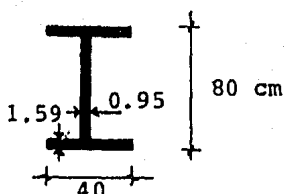
Para la cubicación de acero se hará uso de la siguiente tabla de peso de placas de diferentes espesores por metro cuadrado de éstas.

Espesor de placa	3/16"	1/4"	3/8"	1/2"	5/8"
	4.8mm	6.4 mm	9.5 mm	12.7mm	15.9mm
kg/m ²	37.35	49.76	74.69	99.59	124.49

Tabla II-9

A continuación se muestra la cubicación de columnas, trabe principales, trabe secundarias y anillo de compresión de la retícula metálica.

Columnas:



Longitud de cada columna:

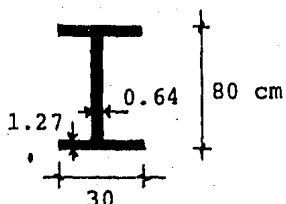
9.00 m

$$9.00 \times 16 \text{ columnas} = 144 \text{ m.}$$

Patines: $0.40\text{m} \times 124.49 \text{ kg/m}^2 \times 2 \times 144\text{m}$
= 14,341.25 kg E 5/8"

Alma: $(0.80\text{m} - 2 \times 0.0159\text{m}) \times 74.69 \text{ kg/m}^2 \times 144\text{m}$
= 8,262.27 kg E 3/8"

Trabes I:



Longitud de cada trabe:

3.43 m

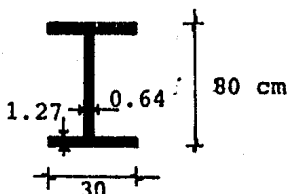
$$3.43 \text{ m} \times 16 \text{ trabes} = 54.88 \text{ m}$$

$$\begin{aligned}\text{Patines: } & 0.30 \text{ m} \times 99.59 \text{ kg/m}^2 \times 2 \times 54.88 \text{ m} \\ & = 3,279.30 \text{ kg E 1/2"}\end{aligned}$$

$$\begin{aligned}\text{Alma: } & (0.80 \text{ m} - 2 \times 0.0127 \text{ m}) \times 49.76 \text{ kg/m}^2 \times 54.88 \text{ m} \\ & = 2,115.30 \text{ kg E 1/4"}\end{aligned}$$

$$\text{Peso propio} = \frac{3,279.30 + 2,115.30 \text{ Kg}}{54.88 \text{ m}} = 98.30 \text{ kg/m}$$

Trabes II:



Longitud de cada trabe:

3.32 m

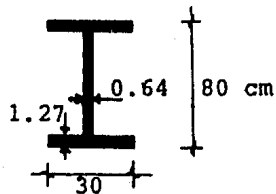
$$3.32 \text{ m} \times 16 \text{ trabes} = 53.12 \text{ m}$$

$$\begin{aligned}\text{Patines: } & 0.30 \text{ m} \times 99.59 \text{ kg/m}^2 \times 2 \times 53.12 \text{ m} \\ & = 3,174.13 \text{ kg E 1/2"}\end{aligned}$$

$$\begin{aligned}\text{Alma: } & (0.80 \text{ m} - 2 \times 0.0127 \text{ m}) \times 49.76 \text{ kg/m}^2 \times 53.12 \text{ m} \\ & = 2,047.46 \text{ kg E 1/4"}\end{aligned}$$

$$\text{Peso propio} = \frac{3,174.13 + 2,047.46 \text{ Kg}}{53.12 \text{ m}} = 98.30 \text{ kg/m}$$

Trabes III:



Longitud de cada trabe:

3.32 m

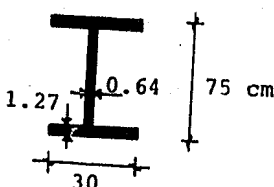
$$3.32 \text{ m} \times 16 \text{ trabes} = 53.12 \text{ m}$$

$$\begin{aligned}\text{Patines: } & 0.30 \text{ m} \times 99.59 \text{ kg/m}^2 \times 2 \times 53.12 \text{ m} \\ & = 3,174.13 \text{ kg E 1/2"}\end{aligned}$$

$$\begin{aligned}\text{Alma: } & (0.80 \text{ m} - 2 \times 0.0127 \text{ m}) \times 49.76 \text{ kg/m}^2 \times 53.12 \text{ m} \\ & = 2,047.46 \text{ kg E 1/4"}\end{aligned}$$

$$\text{Peso propio} = \frac{3,174.13 + 2,047.46 \text{ Kg}}{53.12 \text{ m}} = 98.30 \text{ kg/m}$$

Trabes IV:



Longitud de cada trabe:

3.32 m

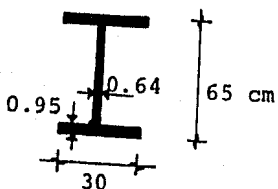
$$3.32 \text{ m} \times 16 \text{ trabes} = 53.12 \text{ m}$$

Patines: $0.30\text{m} \times 99.59 \text{ kg/m}^2 \times 2 \times 53.12\text{m}$
= 3,174.13 kg E 1/2"

Alma: $(0.75\text{m} - 2 \times 0.0127\text{m}) \times 49.76 \text{ kg/m}^2 \times 53.12\text{m}$
= 1,915.30 kg E 1/4"

Peso propio = $\frac{3,174.13 + 1,915.30 \text{ kg}}{53.12 \text{ m}} = 95.81 \text{ kg/m}$

Trabes V:



Longitud de cada trabe:

3.31 m

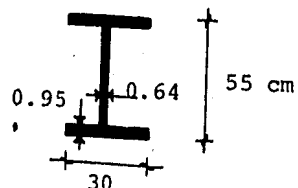
$$3.31 \text{ m} \times 16 \text{ trabes} = 52.96 \text{ m}$$

Patines: $0.30\text{m} \times 74.69 \text{ kg/m}^2 \times 2 \times 52.96\text{m}$
= 2,373.35 kg E 3/8"

Alma: $(0.65\text{m} - 2 \times 0.0095) \times 49.76 \text{ kg/m}^2 \times 52.96\text{m}$
= 1,662.87 kg E 1/4"

Peso propio = $\frac{2,373.35 + 1,662.87 \text{ kg}}{52.96\text{m}} = 76.21 \text{ kg/m}$

Trabes VI:



Longitud de cada trabe:

3.29 m

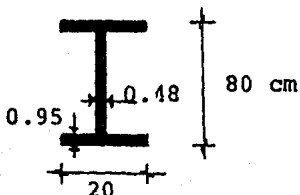
$$3.29 \text{ m} \times 16 \text{ trabes} = 52.64 \text{ m}$$

Patines: $0.30m \times 74.69 \text{ kg/m}^2 \times 2 \times 52.64m$
= $2,359.01 \text{ kg E 3/8"}$

Alma: $(0.55m - 2 \times 0.0095m) \times 49.76 \text{ kg/m}^2 \times 52.64m$
= $1,390.88 \text{ kg E 1/4"}$

Peso propio = $\frac{2,359.01 + 1,390.88 \text{ kg}}{52.64 \text{ m}} = 71.24 \text{ kg/m}$

Trabes A:



Longitud de cada trabe:

7.26 m

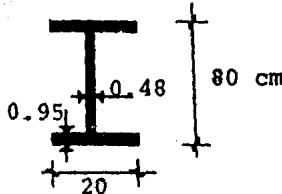
$7.26 \text{ m} \times 16 \text{ trabes} = 116.16 \text{ m}$

Patines: $0.20m \times 74.69 \text{ kg/m}^2 \times 2 \times 116.16m$
= $3,470.40 \text{ kg E 3/8"}$

Alma: $(0.80m - 2 \times 0.0095m) \times 37.35 \text{ kg/m}^2 \times 116.16m$
= $3,388.43 \text{ kg E 3/16"}$

Peso propio = $\frac{3,470.40 + 3,388.43 \text{ kg}}{116.16 \text{ m}} = 59.05 \text{ kg/m}$

Trabes B:



Longitud de cada trabe:

5.84 m

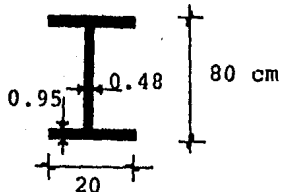
$5.84 \text{ m} \times 16 \text{ trabes} = 93.44 \text{ m}$

Patines: $0.20m \times 74.69 \text{ kg/m}^2 \times 2 \times 93.44m$
= $2,791.61 \text{ kg E 3/8"}$

Alma: $(0.80m - 2 \times 0.0095m) \times 37.35 \text{ kg/m}^2 \times 93.44m$
= $2,725.68 \text{ kg E 3/16"}$

Peso propio = $\frac{2,791.61 + 2,725.68 \text{ kg}}{93.44 \text{ m}} = 59.05 \text{ kg/m}$

Trabes C:



Longitud de cada trabe:

4.72 m

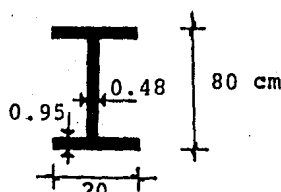
$$4.72 \text{ m} \times 16 \text{ trabes} = 75.52 \text{ m}$$

Patines: $0.20\text{m} \times 74.69 \text{ kg/m}^2 \times 2 \times 75.52\text{m}$
= 2,256.24 kg E. 3/8"

Alma: $(0.80\text{m} - 2 \times 0.0095\text{m}) \times 37.35 \text{ kg/m}^2 \times 75.52\text{m}$
= 2,202.94 kg E. 3/16"

Peso propio = 59.05 kg/m

Trabes D:



Longitud de cada trabe:

3.73 m

$$3.73 \text{ m} \times 16 \text{ trabes} = 59.68 \text{ m}$$

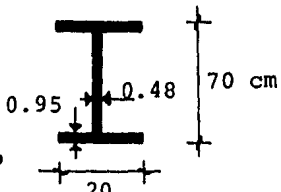
Patines: $0.20\text{m} \times 74.69 \text{ kg/m}^2 \times 2 \times 59.68\text{m}$
= 1,783.00 kg E. 3/8"

Alma: $(0.80\text{m} - 2 \times 0.0095\text{m}) \times 37.35 \text{ kg/m}^2 \times 59.68\text{m}$
= 1,740.89 kg E. 3/16"

Peso propio = 59.05 kg/m

{

Trabes E:



Longitud de cada trabe:

2.91 m

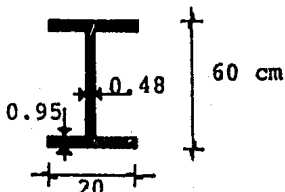
$$2.91 \text{ m} \times 16 \text{ trabes} = 46.56 \text{ m}$$

$$\begin{aligned}\text{Patines: } & 0.20\text{m} \times 74.69 \text{ kg/m}^2 \times 2 \times 46.56\text{m} \\ & = 1,391.03 \text{ kg E 3/8"}\end{aligned}$$

$$\begin{aligned}\text{Alma: } & (0.70\text{m} - 2 \times 0.0095\text{m}) \times 37.35 \text{ kg/m}^2 \times 46.56\text{m} \\ & = 1,184.27 \text{ kg E 3/16"}\end{aligned}$$

$$\text{Peso propio} = \frac{1,391.03 + 1,184.27 \text{ kg}}{46.56 \text{ m}} = 55.31 \text{ kg/m}$$

Trabes F:



Longitud de cada trabe:

2.28 m

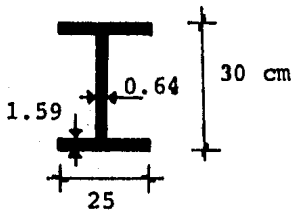
$$2.28 \text{ m} \times 16 \text{ trabes} = 36.48 \text{ m}$$

$$\begin{aligned}\text{Patines: } & 0.20\text{m} \times 74.69 \text{ kg/m}^2 \times 2 \times 36.48\text{m} \\ & = 1,089.88 \text{ kg E 3/8"}\end{aligned}$$

$$\begin{aligned}\text{Alma: } & (0.60\text{m} - 2 \times 0.0095\text{m}) \times 37.35 \text{ kg/m}^2 \times 36.48\text{m} \\ & = 791.63 \text{ kg E 3/16"}\end{aligned}$$

$$\text{Peso propio} = \frac{1,089.88 + 791.63 \text{ kg}}{36.48 \text{ m}} = 51.58 \text{ kg/m}$$

Anillo de Compresión:



Longitud de cada tramo:

1.86 m

$$1.86 \text{ m} \times 16 \text{ tramos} = 29.76 \text{ m}$$

$$\begin{aligned}\text{Patines: } & 0.25\text{m} \times 124.49 \text{ kg/m}^2 \times 2 \times 29.76\text{m} \\ & = 1,852.41 \text{ kg E 5/8"}\end{aligned}$$

$$\begin{aligned}\text{Alma: } & (0.30\text{m} - 2 \times 0.0159\text{m}) \times 49.76 \text{ kg/m}^2 \times 29.76\text{m} \\ & = 397.17 \text{ kg E 1/4"}\end{aligned}$$

$$\text{Peso propio} = \frac{1,852.41 + 397.17 \text{ kg}}{29.76 \text{ m}} = 75.59 \text{ kg/m}$$

Ahora se da un resumen de la cuantificación de placas de acero estructural.

Elemento Estructu ral	Espesor de Placa				
	4.8mm 3/16"	6.4mm 1/4"	9.5mm 3/8"	12.7 mm 1/2"	15.9mm 5/8"
Anillo de Compresión		397.17			1,852.41
Trabes I		2,115.30		3,279.30	
" II		2,047.46		3,174.13	
" III		2,047.46		3,174.13	
" IV		1,915.30		3,174.13	
" V		1,662.87	2,373.35		
" VI		1,390.88	2,359.01		
Columnas			8,262.27		14,341.25
Trabes A	3,388.43		3,470.40		
" B	2,725.68		2,791.61		
" C	2,202.94		2,256.24		
" D	1,740.89		1,783.00		
" E	1,358.17		1,391.03		
" F	1,064.13		1,089.88		
SUMA	12,480.24	11,576.44	25,776.79	12,801.69	16,193.66

— Total: 78,828.82 kgs —

Tabla II-10

El área de la cubierta de revolución se obtendrá sumando las áreas tributarias correspondientes a cada una de las diferentes trabes secundarias (ver figura II-11 y tabla II-5). Como esta sumatoria corresponde a 1/16 del total del área, el resultado se multiplicará por 16.

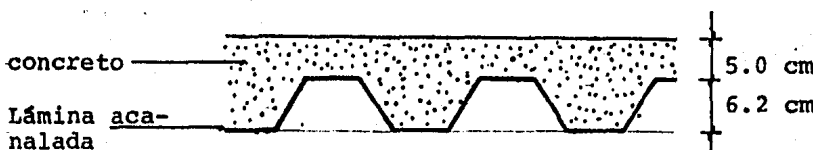
Trabe Secundaria	Area Tributaria (m^2)
A	12.94
B	20.71
C	15.53
D	12.36
E	9.82
F	7.76
-	<u>3.27</u>
	<u>82.39</u>

Tabla III-11

$$\text{Area total de la cubierta} = 16 \times 82.39 = 1,318.24 \text{ m}^2$$

El catálogo de " losacero " ROMSA marca un volumen de -- 0.0793 m^3 de concreto a emplearse por metro cuadrado de losacero con una sección como la que se muestra en la figura II-21, que es la que se utilizará en esta obra.

$$\text{Volumen (1)} = 0.0793 \text{ m}^3/\text{m}^2 \times 1,318.24 \text{ m}^2 = 104.54 \text{ m}^3$$



Losacero

Figura III-21

Hay que recordar que para dar una curvatura circular continua en la cubierta habrá que colocar un volumen adicional de concreto en los cambios de inclinación de las trabes de los marcos principales. En el inciso b) de este capítulo - se encontró el valor del espesor promedio el cual considera dicho volumen adicional. Así, el volumen total de concreto necesario para la cubierta será:

$$\text{Volumen (2)} = 1,318.24 \text{ m}^2 \times 0.0233 \text{ m} = 30.71 \text{ m}^3$$

$$\text{VOLUMEN TOTAL} = 104.54 + 30.71 \text{ m}^3 = \underline{\underline{135.25 \text{ m}^3}}$$

CAPITULO III

ANALISIS Y DISEÑO DEFINITIVO

III-a. Modelo matemático tridimensional.

El análisis estructural definitivo será realizado por medio del programa S.A.P. (Structural Analysis Program) versión dos, para ello habrá que hacer una modelación en donde se contemplarán los diferentes tipos de elementos de la estructura, sus coordenadas, propiedades físicas y geométricas, y por último las incidencias de cada uno; es decir la forma en que los elementos estarán "interconectados".

En el inciso II a) se modeló únicamente en el plano un marco principal de la estructura; en este capítulo se hará un modelo tridimensional que abarque toda la estructura, o sea los 16 marcos radiales, trabes secundarias, anillo de compresión y anillo de tensión. Este modelo será sometido a diferentes sistemas de carga: Carga muerta, carga muerta más carga viva, carga muerta más carga viva reducida más sismo y carga muerta más viento. El programa S.A.P. calculará los esfuerzos en cada uno de los elementos para cada una de las diferentes condiciones de carga; de dichos esfuerzos se elegirán los más críticos y con base en ellos se realizará el diseño definitivo de la estructura.

La modelación se iniciará con la definición de nudos en la estructura; o sea su numeración y ubicación por medio de coordenadas, que en este caso serán polares usando un --

sistema como el mostrado en la siguiente figura.

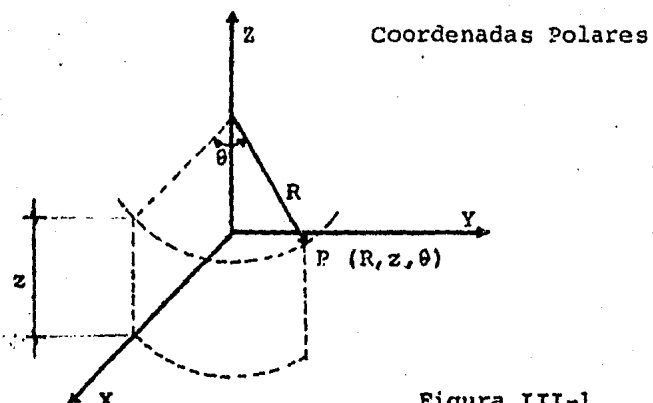
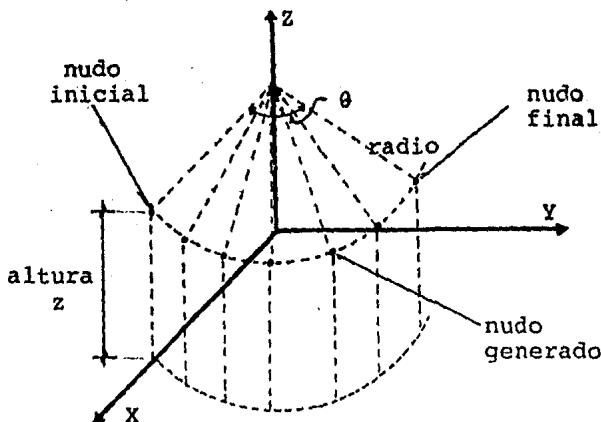


Figura III-1

El programa SAP V-2 tiene la posibilidad de generar nudos. Esto es; dándole el número del nudo inicial y el del nudo final, así como sus respectivas coordenadas, se calcularán las de los nudos intermedios. Todos estos nudos generados mantendrán constantes el valor del radio y la altura "z", variando únicamente el valor de θ ; es decir la generación será circular en un plano como se muestra a continuación.



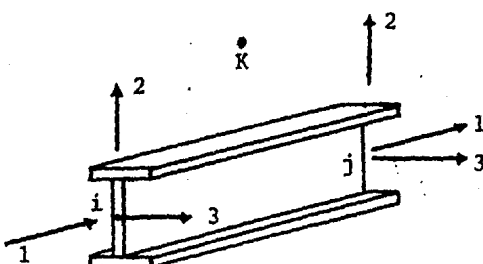
Generación de nudos

Figura III-2

Colocando un origen en el centro de la estructura en el nivel cero, basándose en las coordenadas calculadas en el inciso II a) (tabla II-1) se obtienen éstas para el modelo tridimensional, las cuales se dan en el anexo No. 4 en la tabla titulada " Nodal point input data "; en ella en la columna " x " aparecen los radios de cada punto, en la " y " las alturas con respecto al nivel cero y en la " z " los valores del ángulo Theta en grados. Los nudos 1 al 48 corresponden a los elementos frontera, del 49 al 176 son nudos de elementos viga (columnas, trabes principales, secundarias y anillos de compresión y tensión) y del 177 al 193 son nudos " k ".

Los elementos frontera dentro del modelo son usados para obtener las reacciones de la estructura; por tanto estos elementos se localizarán en la base de cada columna de los marcos principales.

Los nudos " k " son empleados para definir la dirección de los ejes locales de cada elemento.



Ejes locales para cada elemento

Figura III-3

Así; el eje (1) siempre llevará el sentido de " i " a " j ", el eje (2) se encontrará en el mismo plano que el nudo " k ", y el eje (3) será obtenido siguiendo la regla de la mano derecha.

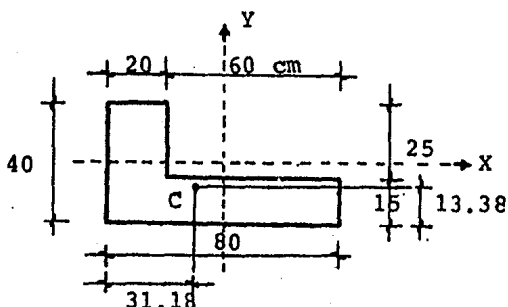
Al igual que el modelo del inciso II a), este deberá incluir las propiedades geométricas de las secciones de los diferentes elementos de la estructura, las cuales se hallan en la tabla " Beam geometric properties " en el anexo No. 3. Estas propiedades corresponden a los siguientes elementos.

Tipo de sección	Elemento estructural		
1	Columnas		
2	Trabes principales I, II y III		
3	"	"	IV
4	"	"	V
5	"	"	VI
6	Anillo de compresión		
7	"	"	tensión
8	Trabes secundarias A, B, C y D		
9	"	"	E
10	"	"	F

Tabla III-1

Las secciones para las columnas, trabes principales y secundarias son las mismas, que las usadas en el análisis anterior ya que en el diseño preliminar se vio que éstas cumplen con las especificaciones del manual AISC.

El anillo de tensión será de concreto armado y su sección transversal será la siguiente:



Anillo de Tensión

Figura III-4

Propiedades geométricas. Anillo de tensión.

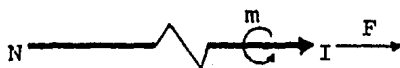
$$\text{Area} = 1,700 \text{ cm}^2 \quad I_y = 974,314 \text{ cm}^4 \quad S_y = 19,957 \text{ cm}^3$$

$$x = 31.18 \text{ cm} \quad I_x = 189,718 \text{ cm}^4 \quad S_x = 7,127 \text{ cm}^3$$

$$y = 13.38 \text{ cm}$$

$$\text{Peso propio} = 0.17 \text{ m}^2 \times 2,400 \text{ kg/m}^3 = 408 \text{ kg/m}$$

Como ya se mencionó los elementos frontera serán usados para obtener las reacciones en las columnas. Cada elemento frontera tiene la posibilidad de arrojar como resultados una fuerza axial y un momento alrededor de su eje como se muestra en la siguiente figura.



Elemento frontera

Figura III-5

Aquí el nudo " N " se halla en la base de la columna y el " I " está fuera de ella. Como la estructura se encuentra considerada en el espacio, para que el programa calcule las 6 reacciones correspondientes a cada columna (3 momentos y 3 fuerzas), ésta deberá tener 3 elementos frontera en su base (ver figura III-7). La numeración de dichos elementos se encuentra en la figura III-6.

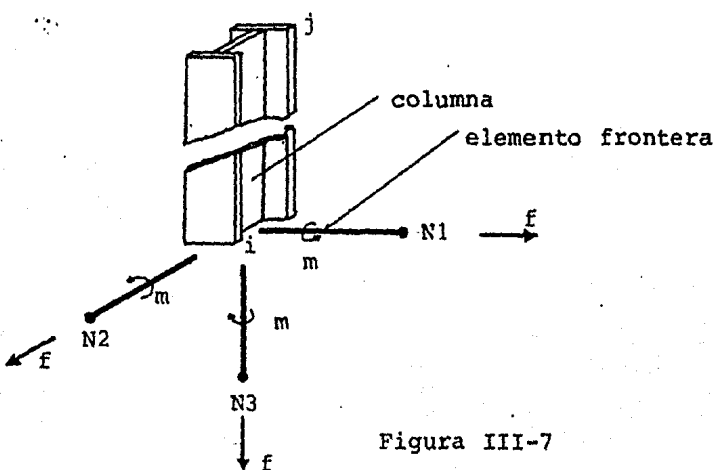


Figura III-7

El resto de los elementos de la estructura se numerarán como a continuación se indica.

No. de Elemento Modelo Matemático	Elemento estructural
1 a 16	Columnas
17 " 32	Trabes I marco principal
33 " 48	" II " "
49 " 64	" III " "
65 " 80	" IV " "
81 " 96	" V " "

No. de Elemento Modelo Matemático	Elemento estructural
97 a 112	Trabes VI marco principal
113 " 128	Anillo de compresión
129 " 144	" " tensión
145 " 160	Trabes secundarias B
161 " 176	" " C
177 " 192	" " D
193 " 208	" " E
209 " 224	" " F

Tabla III-2

ver figuras II-18 y III-8

III-b. Valuación de cargas definitivas de gravedad, sismo y viento.

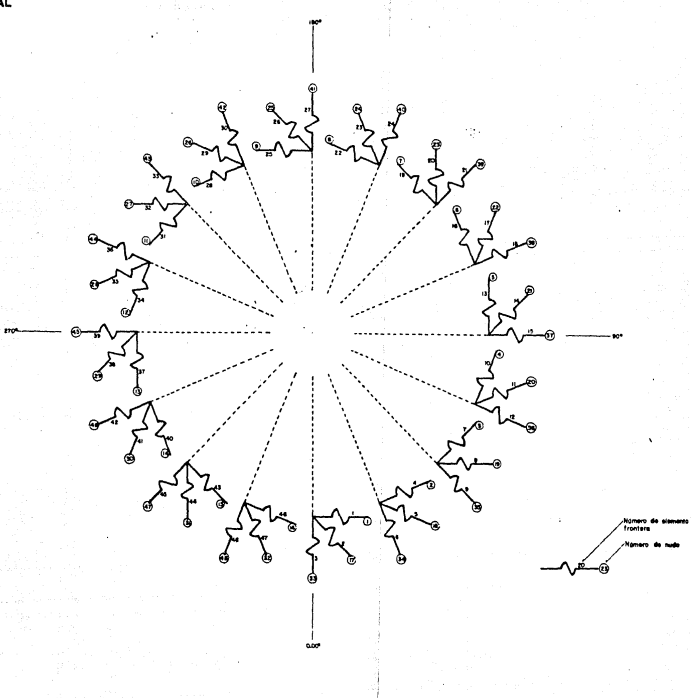
Ya modelada la estructura se analizará por cuatro condiciones de carga:

- 1.- Carga Muerta.
- 2.- Carga Muerta + Carga Viva.
- 3.- Carga Muerta + Carga Viva reducida + Sismo.
- 4.- Carga Muerta + Viento.

Para cada una de estas condiciones habrá que valuar las fuerzas que se aplicarán a los diferentes elementos y nudos del modelo descrito en el inciso anterior.

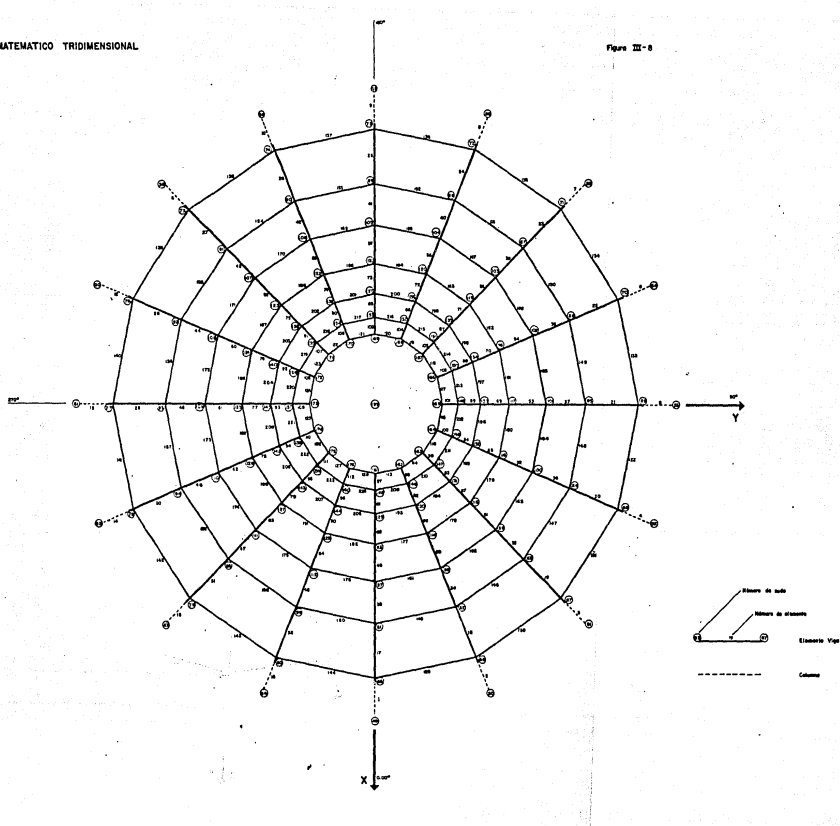
ELEMENTOS FRONTERA DEL MODELO MATEMATICO
TRIDIMENSIONAL

Figure III-6



MODELO MATEMATICO TRIDIMENSIONAL

Figure III-8



- Condición No. 2 : Carga Muerta + Carga Viva.

Esta condición de carga somete a la estructura al peso propio de los elementos de la retícula tridimensional (trabes principales, secundarias, anillos de compresión y tensión) y al de la cubierta de revolución; éste último peso es de 295 kg/m^2 , deducido como se muestra en la siguiente tabla, suponiendo para ello que el concreto ha fraguado y por lo tanto se tiene una carga de servicio (CM + CV).

Análisis de cargas:

kg/m^2

Losacero ROMSA, lámina QL-99 cal. 24, con concreto ligero de $1,600 \text{ kg/m}^3$ y con un espesor $A = 5.0 \text{ cm}$ (catálogo). -----	136.40
Sobrecarga por espesor adicional. -----	37.28
Impermeabilizante. -----	10.00
Instalaciones y acabados interiores. -----	40.00
Sobrecarga por reglamento (D.D.F.). -----	20.00
Tejamanil. -----	<u>10.00</u>

S U M A = 253.68

Carga Muerta $\approx 255 \text{ kg/m}^2$

Carga Viva = 40 kg/m^2

CM + CV = 295 kg/m^2

Tabla III-3

Se recordará que en el inciso II c) de esta tesis se hizo una descomposición de fuerzas debidas al peso de la cubierta. Así mismo se mencionó que las trabes secundarias recibirían a la componente normal, por lo tanto, en las cuá

tro condiciones de carga antes enumeradas se considerará -- que esas trabes se hallan sometidas a su peso propio más la fuerza normal a la superficie de revolución que les corresponde. Estas cargas se muestran en la siguiente tabla.

Trabe secundaria	Carga w (kg/cm)	Peso propio (kg/cm)	Carga Total (kg/cm)
B	15.97	0.59	16.56
C	13.83	0.59	14.42
D	11.84	0.59	12.42
E	9.27	0.55	9.82
F	6.75	0.52	7.27

Nota: Ver obtención de cargas w en el inciso II c).

Tabla III-4

Así pues; las trabes secundarias junto con el anillo de tensión soportarán el peso de la cubierta representado por las carga linealmente distribuidas arriba mostradas.

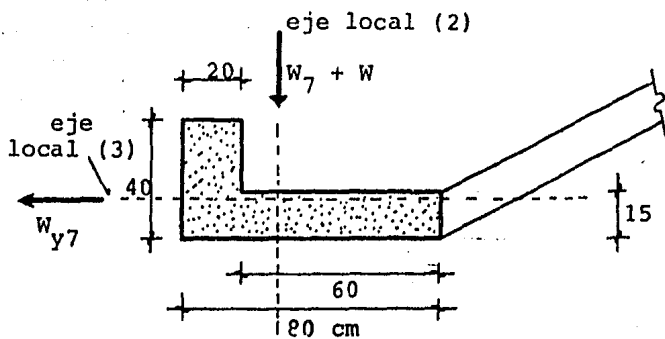
Las cargas sobre el anillo de tensión serán las mostradas a continuación, donde las fuerzas W_7 y w_7 son producto de la bajada de cargas a través de la cubierta descrita en II c). Así, la carga en el eje (2) de este elemento será :

$$W_7 + \text{Peso propio (w)} = 18.39 + 4.08 \text{ kg/cm}$$

$$W (2) = 22.47 \text{ kg/cm}$$

y la carga en su eje (3) es:

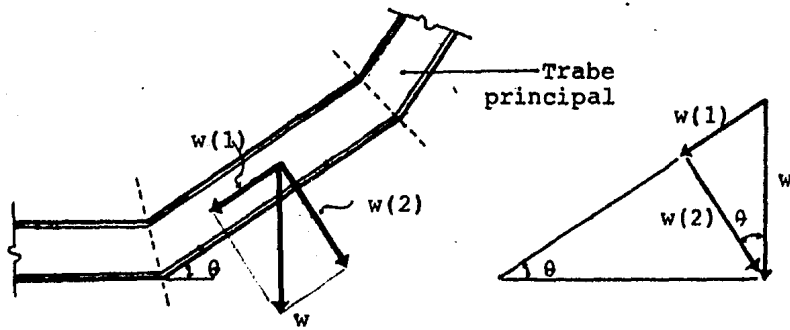
$$W_{y7} = W (3) = 36.08 \text{ kg/cm}$$



Cargas sobre Anillo de Tensión

Figura III-9

Las trabes de los marcos principales tienen una inclinación con respecto a la horizontal; por lo tanto, el peso propio de éstas deberá descomponerse en dos cargas, una axial o paralela al eje local (1) del elemento y otra al eje local (2). Esto lo aclara la figura III-10.



$$w(2) = \cos \theta \times w$$

$$w(1) = \sin \theta \times w$$

Descomposición del peso de las trabes de los marcos principales.

Figura III-10

Los ángulos de inclinación θ ya han sido obtenidos en el capítulo II inciso a), y los pesos propios w de las trabes se encuentran calculados en el inciso d) del mismo capítulo; por lo tanto, se puede proceder a encontrar las cargas axiales (eje local 1) y transversales (eje local 2) para los elementos de los marcos radiales.

Trabes I: $w = \text{Peso propio} = 0.98 \text{ kg/cm}$ $\theta = 17.29^\circ$

$$w(2) = \cos 17.29^\circ \times 0.98 = 0.94 \text{ kg/cm}$$

$$w(1) = \sin 17.29^\circ \times 0.98 = 0.30 \text{ kg/cm}$$

Trabes II: $w = \text{Peso propio} = 0.98 \text{ kg/cm}$ $\theta = 30.48^\circ$

$$w(2) = \cos 30.48^\circ \times 0.98 = 0.85 \text{ kg/cm}$$

$$w(1) = \sin 30.48^\circ \times 0.98 = 0.50 \text{ kg/cm}$$

Trabes III: $w = \text{Peso propio} = 0.98 \text{ kg/cm}$ $\theta = 40.55^\circ$

$$w(2) = \cos 40.55^\circ \times 0.98 = 0.75 \text{ kg/cm}$$

$$w(1) = \sin 40.55^\circ \times 0.98 = 0.63 \text{ kg/cm}$$

Trabes IV: $w = \text{Peso propio} = 0.96 \text{ kg/cm}$ $\theta = 51.43^\circ$

$$w(2) = \cos 51.43^\circ \times 0.96 = 0.62 \text{ kg/cm}$$

$$w(1) = \sin 51.43^\circ \times 0.96 = 0.73 \text{ kg/cm}$$

Trabes V: $w = \text{Peso propio} = 0.76 \text{ kg/cm}$ $\theta = 61.33^\circ$

$$w(2) = \cos 61.33^\circ \times 0.76 = 0.38 \text{ kg/cm}$$

$$w(1) = \sin 61.33^\circ \times 0.76 = 0.66 \text{ kg/cm}$$

Trabes VI: $w = \text{Peso propio} = 0.71 \text{ kg/cm}$ $\theta = 71.56^\circ$

$$w(2) = \cos 71.56^\circ \times 0.71 = 0.24 \text{ kg/cm}$$

$$w(1) = \sin 71.56^\circ \times 0.71 = 0.67 \text{ kg/cm}$$

Anillo de Comp. $w = \text{Peso propio} = w(3) = 0.45 \text{ kg/cm}$

En la siguiente tabla se da un resumen de las cargas debidas al peso propio de las trabes de los marcos principales y del anillo de compresión.

Trabe	Elementos del modelo matemático	w Eje 1 (kg/cm)	w Eje 2 (kg/cm)	w Eje 3 (kg/cm)
I	17 al 32	0.30	0.94	
II	33 al 48	0.50	0.85	
III	49 al 64	0.63	0.75	
IV	65 al 80	0.73	0.62	
V	81 al 96	0.66	0.38	
VI	97 al 112	0.67	0.24	
A.C.	113 al 128			0.45

Tabla III-5

Con la determinación de las fuerzas sobre los marcos --- principales, trabes secundarias, anillos de compresión y -- tensión concluye esta condición de carga.

- Condición No. 3 : Carga Muerta.

El análisis por esta condición No. 1 se hará considerando los valores encontrados en la No. 2; pero multiplicando el valor de las cargas sobre las trabes secundarias, que -- son las que representan el peso de la cubierta, por el factor 0.864 que es la relación existente entre carga muerta y carga muerta más carga viva de la cubierta. De esta forma, se "elimina" la carga viva y sólo se considera la carga muerta.

$$\frac{CM}{CM + CV} = \frac{255 \text{ kg/m}^2}{255 \text{ kg/m}^2 + 40 \text{ kg/m}^2} = 0.864$$

- Condición No. 3 : Carga Muerta + Carga Viva reducida + Sismo.

En este caso el factor de multiplicación de cargas de -- las trabes secundarias será de 0.932, resultado de la división de carga muerta más carga viva reducida entre carga -- muerta más carga viva.

$$\frac{CM + CV \text{ Red.}}{CM + CV} = \frac{255 \text{ kg/m}^2 + 20 \text{ kg/m}^2}{255 \text{ kg/m}^2 + 40 \text{ kg/m}^2} = 0.932$$

Para el análisis sísmico se atenderá a lo establecido -- por el Manual de Diseño de Obras Civiles de la Comisión Federal de Electricidad donde se encuentra lo siguiente: Por su destino la estructura pertenece al Grupo B y según su estructuración al Tipo 1. La zona sísmica en que se encuen tra es la C (ver anexo No. 3). Según el estudio de mecánica de suelos el terreno se puede clasificar como tipo II.

Con todas las características mencionadas se tomaron del manual los siguientes valores:

- Coeficiente sísmico c = 0.30
- Factor de Ductilidad Q = 4

Ya que la altura de la estructura es de menos de 60 metros se podrá utilizar el método estático de análisis; pa-

ra ello habrá que valuar la magnitud de las fuerzas horizontales que actuarán en los puntos donde se supondrán concentradas las masas, lo cual se hará aplicando la siguiente -- fórmula:

$$F_i = \frac{c}{Q} \frac{\sum W_i}{\sum W_i h_i} \times W_i h_i$$

en donde:

F_i : Fuerza sísmica en el i-ésimo nivel.

W_i : Peso de la masa del nivel i.

h_i : Altura del nivel i sobre el desplante.

c : Coeficiente sísmico.

Q : Factor de ductilidad.

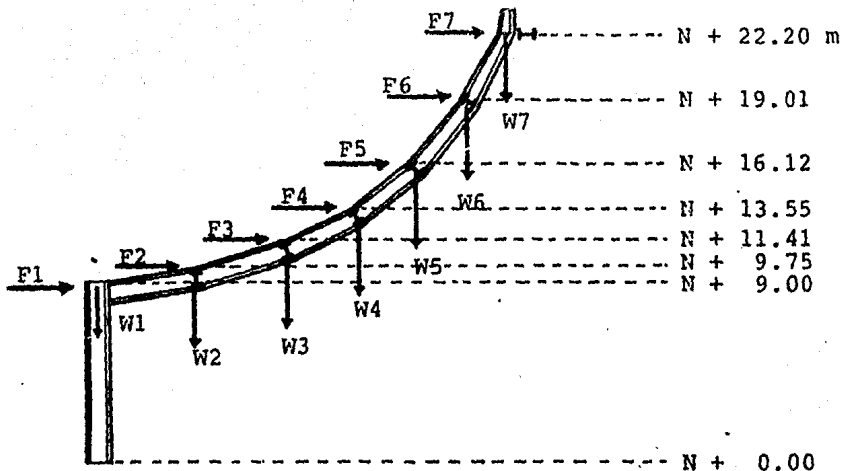
Las concentraciones de masas se supondrán en las trabes secundarias, resultado del área tributaria que corresponde a cada una; por lo tanto, los pesos W_i debidos a esas masas se considerarán aplicados en los puntos de los marcos principales donde descargan las trabes secundarias. Esos pesos están dados por: $W_i = A_i \times w$ Donde:

W_i : Peso de la masa del nivel i.

A_i : Área tributaria que corresponde a la trabe secundaria que se halla en el nivel i. Estas áreas han sido ya obtenidas en II b).

w : Peso por metro cuadrado de cubierta igual a - 340 kg/m², 275 kg/m² (CM + CV Red.) + 65 kg/m² (peso propio de la estructura metálica, supuesto).

Lo anterior se ilustra en la siguiente figura.



Fuerzas sísmicas aplicadas en un marco

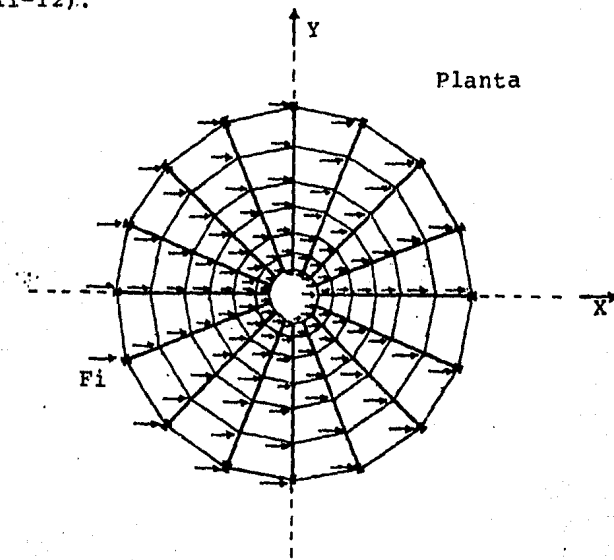
Figura III-11

El cálculo de las fuerzas horizontales F_i se muestra en la siguiente tabla.

Nivel	Área tributaria (m ²)	W _i (kgs)	h _i (m)	W _i h _i	F _i (kg)
1	12.94	4,399.60	9.00	39,596.40	235
2	20.71	7,041.40	9.75	68,635.65	407
3	15.53	5,280.20	11.41	60,247.08	358
4	12.36	4,202.40	13.55	56,942.52	338
5	9.82	3,338.80	16.12	53,821.46	319
6	7.76	2,638.40	19.01	50,155.98	298
7	3.27	1,111.80	22.20	24,681.96	146
Suma		28,012.60		354,081.05	

Tabla III-6

Las fuerzas obtenidas serán aplicadas en la dirección -- del eje global " X " a cada uno de los 16 marcos radiales -- (figura III-12)..



Fuerzas aplicadas en los nudos
en dirección X

Figura III-12

Por lo anterior los nudos del modelo matemático quedaráan cargados como se indica enseguida.

No. de nudo del Modelo Matemático	Fuerza en dirección X (kgs)
65 al 80	235
81 al 96	407
97 al 112	358
113 al 128	338
129 al 144	319
145 al 160	298
161 al 176	146

Tabla III-7

Esta condición de carga No. 3 se compone del peso propio de los elementos de la retícula, de la carga muerta más la carga viva reducida de la cubierta y de las fuerzas horizontales (F_h) aplicadas en los nudos de los marcos principales.

- Condición No. 4 : Carga Muerta + Viento.

El factor de multiplicación para las cargas de las trabes secundarias será el mismo que el empleado para la condición No. 1; 0.864 , de tal forma que sólo se considere la carga muerta de la cubierta.

El análisis por viento también se hará de acuerdo al Manual de Diseño de Obras Civiles de la C.F.E. donde se puede encontrar lo siguiente para esta estructura:

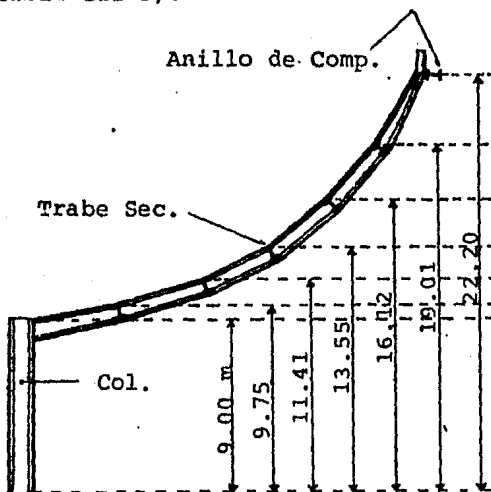
- Por su destino se clasifica en el Grupo B.
- Por su respuesta ante el viento pertenece al tipo 1.
- Se localiza en la zona 6 de la regionalización eólica de la república Mexicana.
- La velocidad regional del viento se considerará de -- 220 km/hr (ver anexo No. 3).
- El factor de topografía $K = 1.0$, por lo tanto:
$$\text{Velocidad básica } (V_B) = 1 \times 220 = 220 \text{ km/hr}$$
- La altura gradiente es de 200 metros.
- Exponente alfa = 0.14
- Factor de ráfaga Fr = 1.0

Puesto que la altura máxima de la estructura es de 22.20 metros, mucho menor que la altura gradiente, se empleará la

siguiente fórmula para el cálculo de la velocidad del viento a una determinada altura " z ".

$$V_z = (z/10)^{\alpha} \times V_B$$

Como el factor de ráfaga (Fr) es uno la velocidad de diseño V_D es igual a la velocidad a la altura " z ", V_z . Estas velocidades se valúan para los niveles de la estructura donde se localizan las trabes secundarias (figura III-13 y tabla III-8).



Altura (m)	$V(z)$ (km/hr)
9.00	218.00
9.75	219.53
11.41	222.48
13.55	225.76
16.12	229.11
19.01	232.35
22.20	235.43

Velocidades de diseño

Figura III-13

Tabla III-8

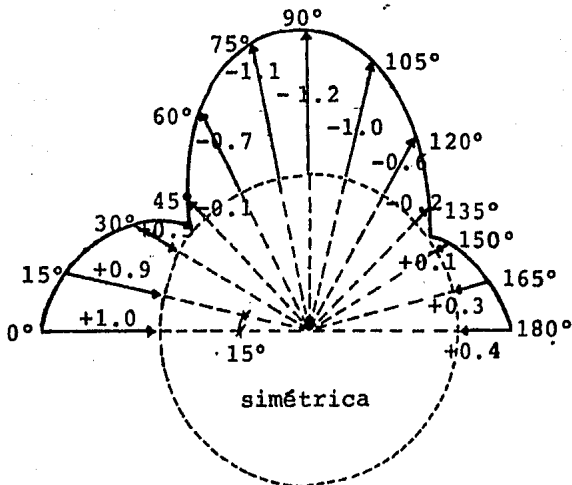
El manual de la C.F.E. establece que para estructuras -- del tipo " uno " basta considerar los efectos de los empujes estáticos del viento sobre la estructura. Estos empujes podrán ser presiones o succiones cuyo valor se obtendrá con la siguiente expresión:

$$P = 0.0048 G c V_D^2$$

En la expresión anterior:

- c Coeficiente de empuje (positivo para presiones, negativo para succiones).
- p Presión o succión debida al viento en --- kg/m².
- v_D Velocidad de diseño, en Km/hr.
- G Factor de reducción de densidad de la atmósfera. Ya que la estructura se ubicará a cero metros sobre el nivel del mar; G - es igual a 1.0

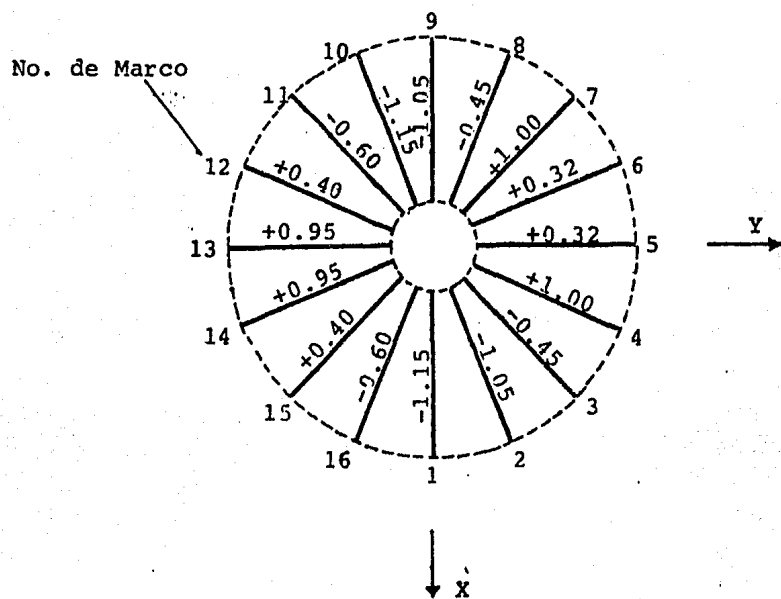
Los coeficientes de empuje "c" fueron tomados de una estructura de forma similar a ésta de la Norma No. 2.207.01, Efectos del Viento en las Estructuras, perteneciente a las "Normas de Proyectos de Petroleos Mexicanos".



Distribución de coeficientes de empuje

Figura III-14

Los coeficientes de empuje que corresponden a cada marco principal de la retícula se encontraron por interpolación - con ayuda de la figura III-15, en donde aparecen trazados - dentro de una proporción los valores de " c " mostrados previamente en la figura anterior.



Coeficientes de empuje para marcos principales

Figura III-16

Los empujes estáticos del viento sobre la estructura se considerarán de la siguiente manera:

Para cada trabe principal se encontrarán fuerzas P_n y $-P_{n+1}$ en kg/m^2 de acuerdo a la ecuación -1-, en donde P_n se calculará con la velocidad de diseño V_D correspondiente al nivel n , y P_{n+1} con la del nivel $n+1$. De estas dos fuerzas se obtendrá un promedio.

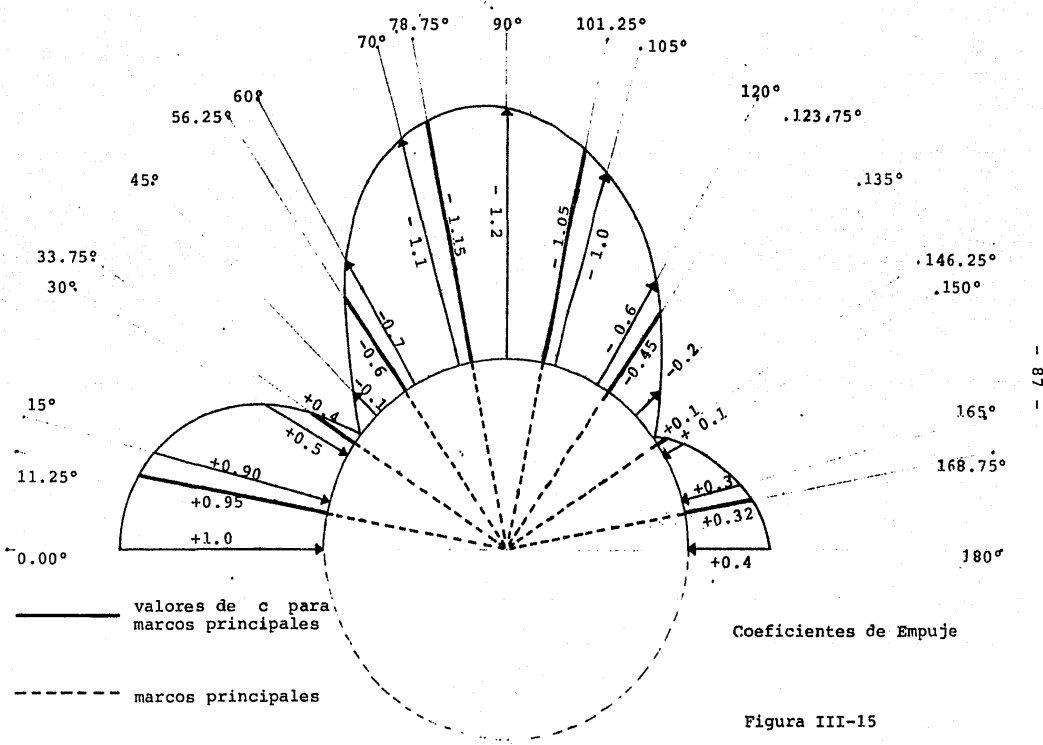


Figura III-15

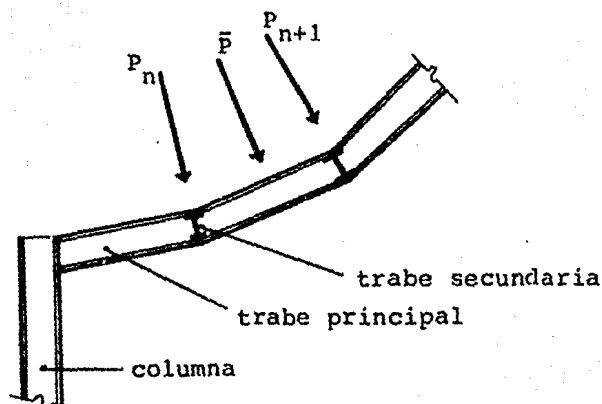
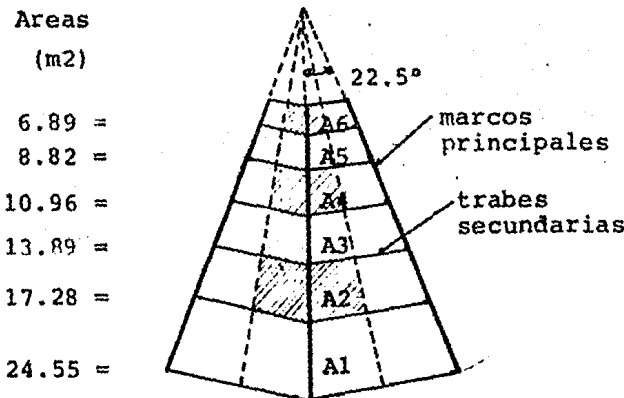


Figura III-17

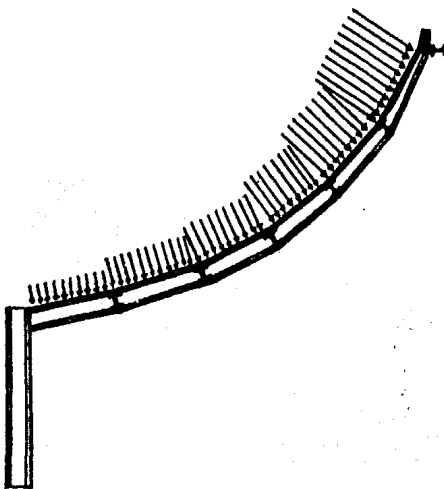


Areas tributarias para viento

Figura III-18

Esa fuerza promedio se multiplicará por el área tributaria correspondiente a la trabe principal en cuestión, obteniéndose así una nueva fuerza en kgs; la cual, dividida -- por la longitud de la trabe (3.25m constante para todas) da

rá una carga uniformemente distribuida aplicada perpendicularmente sobre ese elemento.



Fuerzas distribuidas debidas a la acción del viento

Figura III-19

Ejemplo: Trabe II, Marco No. 13

Datos: V_D al nivel N 9.75 m = 219.53 Km/hr

V_D al nivel N+1 11.41m = 227.48 Km/hr

Área tributaria para la trabe II = 17.28 m^2

Valor de c para el marco 13 = +0.95

G = 1.0

$$P = 0.0048 G c V_D^2$$

$$P_N = 0.0048 \times 1 \times 0.95 \times 219.53^2 = 219.76 \text{ kg/m}^2$$

$$P_{N+1} = 0.0048 \times 1 \times 0.95 \times 227.48^2 = 225.71 \text{ kg/m}^2$$

$$P_{\text{promedio}} = (219.76 + 225.71)/2 = 222.74 \text{ kg/m}^2$$

$$\text{Carga sobre la trabe} = 222.74 \text{ kg/m}^2 \times 17.28 \text{ m}^2 = 3,848.95 \text{ kg}$$

$$\text{Carga uniformemente distribuida} = 3,848.95 \text{ kg} / 3.25 \text{ m}$$

$$= \underline{\underline{1,184.29 \text{ kg/m}}}$$

Con ese último valor se cargará el elemento No. 45 del modo matemático, el cual corresponde a la trabe en cuestión.

Con el mismo procedimiento ilustrado en el ejemplo anterior se calculan las cargas para cada una de las trabes de los 16 marcos radiales.

Cargas de viento sobre marcos principales.

No. de marco Mod. Mat.	Tipo de trabe	Carga distribuida (kg/cm)
13 y	I.	16.49
	II	11.84
	III	9.79
	IV	7.95
	V	6.59
	VI	5.52
12 y	I	6.94
	II	4.95
	III	4.12
	IV	3.35
	V	2.77
	VI	2.23
11 y	I	- 10.41
	II	- 7.48
	III	- 6.18
	IV	- 5.02
	V	- 4.16
	VI	- 3.34

No. de marco Mod. Mat.	Tipo de trabe	Carga distribuida (kg/cm)
10	I	- 19.96
	II	- 14.34
	III	- 11.85
	IV	- 9.63
	V	- 7.98
	VI	- 6.40
9	I	- 18.22
	II	- 13.09
	III	- 10.82
	IV	- 8.79
	V	- 7.28
	VI	- 5.85
8	I	- 7.81
	II	- 5.61
	III	- 4.64
	IV	- 3.77
	V	- 3.12
	VI	- 1.18
7	I	1.74
	II	1.25
	III	1.03
	IV	0.84
	V	0.69
	VI	0.56

No. de marco Mod. Mat.	Tipo de trabe	Carga distribuida (kg/cm)
6	I	5.55
	II	4.00
y	III	3.30
	IV	2.68
5	V	2.22
	VI	1.78

Nota: El signo negativo denota succión.

Tabla III-9

Así, la condición de carga No. 4 se compone del peso propio de los elementos de la retícula tridimensional, de la carga muerta de la cubierta, y de las cargas distribuidas debidas al empuje del viento aplicadas sobre cada una de las trabes de los marcos principales de la estructura.

Ya evaluadas las fuerzas para cada condición de carga, se codifican de tal manera que sirvan de información para que el programa SAP V-2 realice el análisis estructural con base en el modelo matemático tridimensional que previamente se le ha dado.

III-c. Análisis Estructural definitivo.

Ya en varias ocasiones se ha mencionado que el análisis tridimensional definitivo de la estructura, se haría por me-

dio de un computador haciendo uso del programa SAP-V2, el cual trabaja por el método de las rigideces. Los datos de entrada para dicho programa fueron los siguientes:

- Ya que se cuenta con la ventaja de la generación cilíndrica de coordenadas, sólo se dieron éstas para algunos de los nudos de la estructura (ver en el anexo No. 4, la tabla " Nodal Point Input Data ").
- Propiedades físicas de los materiales empleados: Acero y concreto (tabla: " Material Properties ").
- Propiedades geométricas de las secciones transversales de los diferentes elementos: Área total, áreas para cortante en direcciones 2 y 3 con respecto a los ejes locales del miembro, constante de torsión J_z , momentos de inercia y módulos de sección (tabla: --- " Beam Geometric Properties ").
- Definición de los elementos del modelo matemático, dando para cada uno sus nudos I, J y K; tipo de material (acero o concreto), número de identificación de la sección transversal que le corresponde y carga uniformemente distribuida que actua sobre él.
- Definición de los elementos frontera fijando sus nudos I y J.
- Magnitud de las fuerzas puntuales que actuan sobre determinados nudos en dirección global X. Estas fuerzas fueron calculadas en el inciso anterior para la -

condición de carga número 3 : Carga muerta + Carga viva reducida + Sismo.

Después de la corrida del programa los resultados arrojados para cada condición de carga fueron los siguientes:

- Desplazamientos: Traslaciones y rotaciones de cada nudo.
- Elementos mecánicos de todos los miembros: Fuerza axial, cortantes en direcciones 2 y 3 locales, torsión y momentos flexionantes alrededor de 2 y 3 (ver figura III-3 para identificación de ejes locales).
- Fuerza axial y momento alrededor del eje de cada elemento frontera (ver figura III-7).

III-d. Revisión de secciones propuestas.

La revisión estructural de los elementos metálicos se hará al igual que en el diseño preliminar, de acuerdo a lo establecido por el Manual del Instituto Norteamericano de Construcción en Acero (A.I.S.C.).

Observando los resultados arrojados por el programa SAP V-2, se encuentra que los elementos que deben ser revisados, dado que sus elementos mecánicos son mayores, son los siguientes:

Elemento Estructural	Condición de carga	No. Elemento Mod. Mat.
Columna marco 1	CM + CV	1
Columna marco 5	CM + CVR + Sismo	5
Columna marco 1	CM + Vto	1
Columna marco 13	CM + Vto	13
Trabe I marco 1	CM + CV	17
Trabe I marco 13	CM + Vto	29
Trabe II marco 5	CM + CVR + Sismo	37
Trabe II marco 5	CM + Vto	37
Trabe III marco 5	CM + Vto	53
Trabe IV marco 1	CM + Vto	65
Trabe IV marco 13	CM + Vto	77
Trabe V marco 1	CM + Vto	81
Trabe VI marco 1	CM + Vto	97

Tabla III-10

Las trabes de la retícula metálica se diseñarán sin considerar la sección compuesta acero-concreto; es decir, sólo se tomará en cuenta la parte metálica. Esto se hace así ya que la carga viva de la cubierta sólo representa el 13 % de la carga total; o sea, es muy baja; por lo tanto, la carga viva se incluirá como parte de la carga muerta.

El manual A.I.S.C. en su sección 1.11.2, señala que las vigas deberán ser diseñadas sin considerar la sección compuesta para soportar únicamente las cargas muertas, y considerando la sección acero-concreto para soportar las cargas

muertas más las vivas. Así, si la revisión de elementos se hace con base en la sección metálica exclusivamente, y sumando la carga viva a la muerta, se tendrá un diseño que -- aporte una mayor seguridad a la estructura, ya que al ocurrir el fraguado del concreto de la losa, se tendrá una mayor resistencia de las trabes al "trabajar" la sección -- compuesta.

A continuación se muestra la revisión de elementos de -- los marcos principales de la estructura previamente enumerados en la tabla III-10.

- Elemento No. 1 del modelo matemático

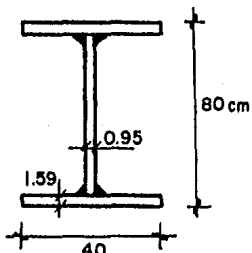
Columna, Marco No. 1

Solicitud: Carga muerta + carga viva

Condición de carga No. 2

$$\begin{aligned} \text{Area} &= 200.18 \text{ cm}^2 \\ I_x &= 231427 \text{ cm}^4 \\ S_x &= 5786 \text{ cm}^3 \\ r_x &= 34.0 \text{ cm} \\ r_y &= 9.2 \text{ cm} \\ r_t &= 10.6 \text{ cm} \end{aligned}$$

$$\begin{aligned} \text{momento en nudo i} &= 24.02 \text{ ton-m} \\ \text{momento en nudo j} &= 46.18 \text{ ton-m} \\ \text{fuerza axial} &= 53.15 \text{ ton} \\ \text{fuerza cortante} &= 8.12 \text{ ton} \\ I_x &= L_y = 865 \text{ cm} \end{aligned}$$



Se consideran los siguientes valores:

$$k_x = 1.5$$

$$k_y = 1.0$$

Esfuerzo a Compresión:

$$\frac{kx \times Lx}{rx} = \frac{1.5 \times 865}{34} = 38.16$$

$$\frac{ky \times Ly}{ry} = \frac{1.0 \times 865}{9.2} = 94.02 \quad \text{Rige} \Rightarrow f_a = 0.9667 \text{ ton/cm}^2$$

$$f_a = 53.15 \text{ ton / } 200.18 \text{ cm}^2 = 0.266 \text{ ton/cm}^2$$

$$f_a/F_a = 0.266/0.9667 = 0.275$$

Esfuerzo a Flexión:

$$\frac{d}{tw} \leq \frac{169.66}{\sqrt{F_y}} (1 - 3.74 f_a/F_y) ; \quad f_a/F_y = 0.266/2.53 = 0.105 \\ f_a/F_y < 0.16$$

$$\frac{d}{tw} = \frac{80}{0.95} = 84.21$$

$$\frac{169.66}{\sqrt{F_y}} (1 - 3.74 f_a/F_y) = \frac{169.66}{\sqrt{2.53}} (1 - 3.74 \times 0.105) = 64.78$$

$$84.21 > 64.78 \Rightarrow \text{sección NO compacta}$$

$$\frac{bf}{2tf} \leq \frac{25.185}{\sqrt{F_y}}$$

$$\frac{bf}{2tf} = \frac{40}{2 \times 1.59} = 12.58 < \frac{25.185}{\sqrt{2.53}} = \frac{25.185}{\sqrt{2.53}} = 15.83$$

$$F_{b'} = \frac{843.68 \times C_b}{Lb \times d / Af} \quad Lb = 865 \text{ cm} \quad d = 80 \text{ cm} \\ Af = 40 \times 1.59 = 63.6 \text{ cm}^2$$

Nota: El manual AISC permite tomar conservadoramente como 1.0 el valor de C_b .

$$F_{b'} = \frac{843.68 \times 1.0}{865 \times 80 / 63.6} ; \quad F_{b'} = 0.775 \text{ ton/cm}^2 \\ F_{b'} < 0.6 F_y$$

$$\frac{Lb}{rt} \geq \sqrt{\frac{35841.67 \times C_b}{F_y}}$$

$$\frac{Lb}{rt} = \frac{865}{10.6} = 81.6 < \sqrt{\frac{35841.67 \times Cb}{Fy}} = \sqrt{\frac{35841.67 \times 1.0}{2.53}} = 119.02$$

$$\frac{Lb}{rt} \geq \sqrt{\frac{7168.33 \times Cb}{Fy}}$$

$$\frac{Lb}{rt} = 81.6 > \sqrt{\frac{7168.33 \times Cb}{Fy}} = \sqrt{\frac{7168.33 \times 1.0}{2.53}} = 53.23$$

$$Fb'' = \left[\frac{2}{3} - \frac{Fy (Lb/rt)^2}{107525 \times Cb} \right] \times Fy$$

$$Fb'' = \left[\frac{2}{3} - \frac{2.53 (865/10.6)^2}{107525 \times 1.00} \right] \times 2.53; \quad Fb'' = 1.290 \text{ ton/cm}^2$$

$$Fb'' > Fb' \Rightarrow Fb = 1.290 \text{ ton/cm}^2$$

$$fb = \frac{M}{Sx} = \frac{4618 \text{ ton-cm}}{5786 \text{ cm}^3} = 0.798 \text{ ton/cm}^2$$

$$fb/Fb = 0.798/1.290 = 0.619$$

Revisión por esfuerzos combinados (Flexo-compresión).

Como $fa/Fa > 0.15$ se deben cumplir las siguientes dos desigualdades:

$$\frac{fa}{Fa} + \frac{Cm \times fb}{(1 - fa/F'e) Fb} \leq 1.0$$

$$\frac{fa}{0.6 Fy} + \frac{fb}{Fb} \leq 1.0$$

donde:

$$E = 2100 \text{ ton/cm}^2$$

$$F'e = \frac{12 \pi^2 E}{23 (k Lb/rb)^2}; \quad \frac{kx \times Lx}{rx} = 38.16$$

$$F'e = \frac{12 \times \pi^2 \times 2100}{23 (38.16)^2} = 7.43 \text{ ton/cm}^2$$

$C_m = 0.85$ para miembros en compresión de marcos cuyos nudos tienen desplazamientos.

$$\frac{f_a}{F_a} + \frac{C_m \times f_b}{(1 - f_a/F'e) F_b} = 0.275 + \frac{0.85 \times 0.798}{(1 - 0.266/7.43) \times 1.29} =$$

$$0.275 + 0.545 = 0.82 < 1.0 \quad (\text{correcto})$$

$$\frac{f_a}{0.6 F_y} + \frac{f_b}{F_b} \leq 1.0$$

$$\frac{0.266}{0.6 \times 2.53} + 0.619 = 0.175 + 0.619 = 0.794 < 1.0$$

(correcto)

∴ la sección se ACEPTE para CM + CV

- Elemento No. 5 del modelo matemático

Columna, Marco No. 5

Solicitud: Carga muerta + carga viva reducida + sismo

Condición de carga No. 3

La columna tiene la misma sección que la mostrada en la revisión anterior, por lo tanto:

$$F_a = 0.9667 \text{ ton/cm}^2 \quad F_b = 1.290 \text{ ton/cm}^2$$

$$F'e = 7.43 \text{ ton/cm}^2$$

$$\text{Area} = 200.18 \text{ cm}^2$$

$$\text{momento en nudo i} = 63.51 \text{ ton-m}$$

$$I_x = 231427 \text{ cm}^4$$

$$\text{momento en nudo j} = 23.90 \text{ ton-m}$$

$$S_x = 5786 \text{ cm}^3$$

$$\text{fuerza axial} = 50.15 \text{ ton}$$

$$r_x = 34.0 \text{ cm}$$

$$\text{fuerza cortante} = 10.12 \text{ ton}$$

$$r_y = 9.2 \text{ cm}$$

$$I_x = L_y = 865 \text{ cm}$$

$$r_t = 10.6 \text{ cm}$$

Esfuerzo a Compresión:

$$f_a = 50.15 \text{ ton} / 200.18 \text{ cm}^2 = 0.251 \text{ ton/cm}^2$$

$$f_a/F_a = 0.251/0.9667 = 0.260$$

Esfuerzo a Flexión:

$$f_b = \frac{M}{S_x} = \frac{6351 \text{ ton-cm}}{5786 \text{ cm}^3} = 1.098 \text{ ton/cm}^2$$

$$f_b/F_b = 1.098/1.290 = 0.851$$

Revisión por esfuerzos combinados (Flexo-compresión).

$f_a/F_a > 0.15$, por lo tanto se deben cumplir:

$$\frac{f_a}{F_a} + \frac{C_m \times f_b}{(1 - f_a/F'_e) F_b} \leq 1.33$$

$$\frac{f_a}{0.6 F_y} + \frac{f_b}{F_b} \leq 1.33$$

Nota: 1.33 por tratarse de una condición accidental.

$$\frac{f_a}{F_a} + \frac{C_m \times f_b}{(1 - f_a/F'_e) F_b} = 0.260 + \frac{0.85 \times 1.098}{(1 - 0.251/7.43) \times 1.29}$$

$$0.260 + 0.749 = 1.009 < 1.33 \quad (\text{correcto})$$

$$\frac{f_a}{0.6 F_y} + \frac{f_b}{F_b} \leq 1.33$$

$$\frac{0.251}{0.6 \times 2.53} + 0.851 = 0.165 + 0.851 = 1.016 < 1.33$$

$$(\text{correcto})$$

∴ la sección se ACEPTE para esta condición de carga.

- Elemento No. 1 del modelo matemático

Columna, Marco No. 1

Solicitud: Carga muerta + viento

Condición de carga No. 4

La columna tiene la misma sección que la mostrada en la revisión del elemento No. 1 por CM + CV por lo tanto:

$$F_a = 0.9667 \text{ ton/cm}^2 \quad F_b = 1.290 \text{ ton/cm}^2$$

$$F'e = 7.43 \text{ ton/cm}^2$$

Area = 200.18 cm ²	momento en nudo i = 78.91 ton-m
I _x = 231427 cm ⁴	momento en nudo j = -1.43 ton-m
S _x = 5786 cm ³	fuerza axial = 29.26 ton
r _x = 34.0 cm	fuerza cortante = 8.97 ton
r _y = 9.2 cm	L _x = L _y = 865 cm
r _t = 10.6 cm	

Esfuerzo a Compresión:

$$f_a = 29.26 \text{ ton} / 200.18 \text{ cm}^2 = 0.146 \text{ ton/cm}^2$$

$$f_a/F_a = 0.146/0.9667 = 0.151$$

Esfuerzo a Flexión:

$$f_b = \frac{M}{S_x} = \frac{7891 \text{ ton-cm}}{5786 \text{ cm}^3} = 1.364 \text{ ton/cm}^2$$

$$\frac{f_b}{F_b} = \frac{1.363}{1.290} = 1.057$$

Revisión por esfuerzos combinados (Flexo-compresión).

$f_a/F_a \approx 0.15$; por lo tanto se debe cumplir la siguiente desigualdad:

$$\frac{f_a}{F_a} + \frac{f_b}{F_b} \leq 1.33$$

$$0.151 + 1.057 = 1.208 < 1.33 \quad (\text{correcto})$$

∴ la sección se ACEPTE para ese marco.

- Elemento No. 13 del modelo matemático.

Columna, Marco No. 13

Solicitud: Carga muerta + viento

Condición de carga No. 4

La columna tiene la misma sección que para las revisiones anteriores, por lo tanto:

$$F_a = 0.9667 \text{ ton/cm}^2 \quad F_b = 1.290 \text{ ton/cm}^2$$

$$F'e = 7.43 \text{ ton/cm}^2$$

Area = 200.18 cm ²	momento en nudo i = - 79.03 ton-m
I _x = 231427 cm ⁴	momento en nudo j = 104.00 ton-m
S _x = 5786 cm ³	fuerza axial = 59.81 ton
r _x = 34.0 cm	fuerza cortante = 2.89 ton
r _y = 9.2 cm	I _x = I _y = 865 cm
r _t = 10.6 cm	

Esfuerzo a Compresión:

$$f_a = 59.81 \text{ ton} / 200.18 \text{ cm}^2 = 0.299 \text{ ton/cm}^2$$

$$f_a/F_a = 0.299/0.9667 = 0.309$$

Esfuerzo a Flexión:

$$f_b = \frac{M}{S_x} = \frac{10400 \text{ ton-cm}}{5786 \text{ cm}^3} = 1.797 \text{ ton/cm}^2$$

$$f_b/F_b = 1.797 / 1.290 = 1.393$$

Revisión por esfuerzos combinados (Flexo-compresión).

Como $f_a/F_a > 0.15$ se deben cumplir:

$$\frac{f_a}{F_a} + \frac{C_m \times f_b}{(1 - f_a/F'_e) F_b} \leq 1.33 \quad Y$$

$$\frac{f_a}{0.6 F_y} + \frac{f_b}{F_b} \leq 1.33$$

$$\frac{f_a}{F_a} + \frac{C_m \times f_b}{(1 - f_a/F'_e) F_b} = 0.309 + \frac{0.85 \times 1.797}{(1 - 0.299/7.43) \times 1.29} =$$

$$0.309 + 1.234 = 1.543 > 1.33 \quad \text{ESCASA un } 16\text{t}$$

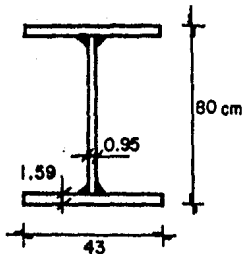
$$\frac{f_a}{0.6 F_y} + \frac{f_b}{F_b} \leq 1.33$$

$$\frac{0.299}{0.6 \times 2.53} + 1.393 = 0.197 + 1.393 = 1.590 > 1.33$$

ESCASA un 19t

La sección NO se acepta.

Se propone la siguiente sección para la columna:



Area	=	209.72	cm^2
I _x	=	246092	cm^4
S _x	=	6152	cm^3
r _x	=	34.3	cm
r _y	=	10.0	cm
r _t	=	11.4	cm
L _x	=	I _y	= 865 cm
k _x	=	1.5	; k _y = 1.0

El manual AISC permite la utilización de un radio de giro equivalente calculado con las siguientes ecuaciones:

$$rt_{\text{equiv.}} = \left[\frac{Iy}{2Sx} \sqrt{d^2 + \frac{0.156 Lb^2 J}{Jy}} \right]^{1/2}$$

$$J = \frac{2 bf tf^3}{3} + \frac{d tw^3}{3} \quad \text{sustituyendo valores se obtiene:}$$

$$J = 138.09 \text{ cm}^4 \quad \text{y} \quad rt_{\text{equiv.}} = 12.0 \text{ cm}$$

Esfuerzo a Compresión:

$$\frac{kx x Lx}{rx} = \frac{1.5 x 865}{34.3} = 37.83$$

$$\frac{ky x Ly}{ry} = \frac{1.0 x 865}{10.0} = 86.5; \quad \text{Rige} \Rightarrow f_a = 1.0296 \text{ ton/cm}^2$$

$$f_a = 59.81 \text{ ton / } 209.72 \text{ cm}^2 = 0.285 \text{ ton/cm}^2$$

$$f_a/F_a = 0.285 / 1.0296 = 0.277$$

Esfuerzo a Flexión:

$$\frac{d}{tw} \leq \frac{169.66}{\sqrt{F_y}} (1 - 3.74 f_a/F_y); \quad f_a/F_y = 0.285/2.53 = 0.113$$

$$f_a/F_y < 0.16$$

$$\frac{d}{tw} = \frac{80}{0.95} = 84.21 > \frac{169.66}{\sqrt{F_y}} (1 - 3.74 f_a/F_y)$$

$$84.21 > \frac{169.66}{\sqrt{2.53}} (1 - 3.74 \times 0.113) = 61.59$$

\Rightarrow sección No compacta.

$$\frac{bf}{2tf} \leq \frac{25.185}{\sqrt{F_y}}$$

$$\frac{bf}{2tf} = \frac{43}{2 \times 1.59} = 13.52 < \frac{25.185}{\sqrt{F_y}} = \frac{25.185}{\sqrt{2.53}} = 15.83$$

$$C_b = 1.75 + 1.05 (M_1/M_2) + 0.3 (M_1/M_2)^2 \quad M_1 < M_2$$

$$M_1 = -79.03 \text{ ton-m}; \quad M_2 = 104.00 \text{ ton-m}; \quad M_1/M_2 = -0.76$$

$$C_b = 1.75 + 1.05(-0.76) + 0.3(-0.76)^2 ; \quad C_b = 1.125$$

$$F_{b'} = \frac{843.68 \times C_b}{L_b \times d / A_f} \quad C_b = 1.125 \quad L_b = 865 \text{ cm} \quad d = 80 \text{ cm}$$
$$A_f = 43 \times 1.59 = 68.37 \text{ cm}^2$$

$$F_{b'} = \frac{843.68 \times 1.125}{865 \times 80 / 68.37} \quad F_{b'} = 0.938 \text{ ton/cm}^2$$

$$F_{b'} < 0.6 F_y$$

$$\frac{L_b}{r_{te}} \geq \sqrt{\frac{35841.67 \times C_b}{F_y}}$$

$$\frac{L_b}{r_{te}} = \frac{865}{12} = 72.08 < \sqrt{\frac{35841.67 \times C_b}{F_y}} = \sqrt{\frac{35841.67 \times 1.125}{2.53}}$$

$$72.08 < 126.24$$

$$\frac{L_b}{r_{te}} \geq \sqrt{\frac{7168.33 \times C_b}{F_y}}$$

$$\frac{L_b}{r_{te}} = 72.08 > \sqrt{\frac{7168.33 \times C_b}{F_y}} = \sqrt{\frac{7168.33 \times 1.125}{2.53}} = 56.46$$

$$F_{b''} = \left[\frac{2}{3} - \frac{F_y (L_b/r_{te})^2}{107525 \times C_b} \right] \times F_y$$

$$F_{b''} = \left[\frac{2}{3} - \frac{2.53 (865/12)^2}{107525 \times 1.125} \right] \times 2.53 ; \quad F_{b''} = 1.412 \text{ ton/cm}^2$$

$$F_{b''} > F_{b'} \Rightarrow F_b = 1.412 \text{ ton/cm}^2$$

$$f_b = \frac{M}{S_x} = \frac{10400 \text{ ton-cm}}{6152 \text{ cm}^3} = 1.691 \text{ ton/cm}^2$$

$$f_b/F_b = 1.691 / 1.412 = 1.198$$

Revisión por esfuerzos combinados (Flexo-compresión):

Como $f_a/F_a > 0.15$ se deben cumplir las siguientes dos desigualdades:

$$\frac{f_a}{F_a} + \frac{C_m \times f_b}{(1 - f_a/F'e) F_b} \leq 1.33 \quad y$$

$$\frac{f_a}{0.6 F_y} + \frac{f_b}{F_b} \leq 1.33$$

$$F'e = \frac{12 \pi^2 E}{23 (k Lb/rb)^2} = \frac{12 \times \pi^2 \times 2100}{23 \times (37.83)^2} = 7.556 \text{ ton/cm}^2$$

$$\frac{f_a}{F_a} + \frac{C_m \times f_b}{(1 - f_a/F'e) F_b} = 0.277 + \frac{0.85 \times 1.691}{(1 - 0.285/7.556) \times 1.412}$$

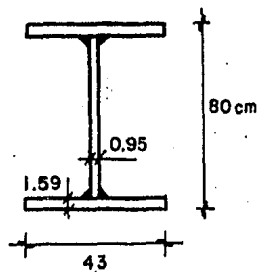
$$0.277 + 1.058 = 1.335 \approx 1.33 \quad (\text{correcto})$$

$$\frac{f_a}{0.6 F_y} + \frac{f_b}{F_b} \leq 1.33$$

$$\frac{0.285}{0.6 \times 2.53} + \frac{1.691}{1.412} = 0.188 + 1.198 = 1.386 > 1.33$$

ESCASA un 4.28 ∴ SE ACEPTE

Sección definitiva para columnas



- Elemento No. 17 del modelo matemático

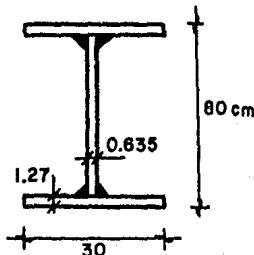
Trabe I, Marco No. 1

Solicitud: Carga muerta + Carga viva

Condición de carga No. 2

$$\begin{aligned} \text{Area} &= 125.39 \text{ cm}^2 \\ I_x &= 142684 \text{ cm}^4 \\ S_x &= 3567 \text{ cm}^3 \\ r_x &= 33.7 \text{ cm} \\ r_y &= 6.8 \text{ cm} \\ r_t &= 7.9 \text{ cm} \end{aligned}$$

$$\begin{aligned} \text{momento en nudo i} &= 39.19 \text{ ton-m} \\ \text{momento en nudo j} &= 20.19 \text{ ton-m} \\ \text{fuerza axial} &= 23.48 \text{ ton} \\ \text{fuerza cortante} &= 15.83 \text{ ton} \\ L_x &= L_y = 325 \text{ cm} \end{aligned}$$



Considerando:

$$k_x = 1.5$$

$$k_y = 1.0$$

Esfuerzo a Compresión:

$$\frac{k_x \times L_x}{r_x} = \frac{1.5 \times 325}{33.7} = 14.5$$

$$\frac{k_y \times L_y}{r_y} = \frac{1.0 \times 325}{6.8} = 47.8 \quad \text{Rige} = F_a \Rightarrow 1.305 \text{ ton/cm}^2$$

$$f_a = 23.48 \text{ ton} / 125.39 \text{ cm}^2 = 0.187 \text{ ton/cm}^2$$

$$f_a/F_a = 0.187/1.305 = 0.143$$

Esfuerzo a Flexión:

$$\frac{d}{t_w} \leq \frac{169.66}{\sqrt{F_y}} (1 - 3.74 f_a/F_y); \quad f_a/F_y = 0.187/2.53 = 0.074$$
$$f_a/F_y < 0.16$$

$$\frac{d}{t_w} = \frac{80}{0.635} = 125.98$$

$$\frac{169.66}{\sqrt{F_y}} (1 - 3.74 f_a/F_y) = \frac{169.66}{\sqrt{2.53}} (1 - 3.74 \times 0.074) = 77.14$$

125.98 > 77.14 \Rightarrow sección NO compacta.

$$\frac{bf}{2tf} \leq \frac{25.185}{\sqrt{F_y}}$$

$$\frac{bf}{2tf} = \frac{30}{2 \times 1.27} = 11.81 < \frac{25.185}{\sqrt{F_y}} = \frac{25.185}{\sqrt{2.53}} = 15.83$$

$$F_b' = \frac{843.68 \times C_b}{L_b \times d / A_f} \quad L_b = 325 \text{ cm} \quad C_b = 1.0 \quad d = 80 \text{ cm}$$
$$A_f = 30 \times 1.27 = 38.10 \text{ cm}^2$$

$$F_b' = \frac{843.68 \times 1.0}{325 \times 80 / 38.10} \quad F_b' = 1.236 \text{ ton/cm}^2$$
$$F_b' < 0.6 F_y$$

$$\frac{L_b}{r_t} \geq \sqrt{\frac{35841.67 \times C_b}{F_y}}$$

$$\frac{L_b}{r_t} = \frac{325}{7.9} = 41.14 < \sqrt{\frac{35841.67 \times C_b}{F_y}} = \sqrt{\frac{35841.67 \times 1}{2.53}} = 119.02$$

$$\frac{L_b}{r_t} \geq \sqrt{\frac{7168.33 \times C_b}{F_y}}$$

$$\frac{L_b}{r_t} = 41.14 < \sqrt{\frac{7168.33 \times C_b}{F_y}} = \sqrt{\frac{7168.33 \times 1}{2.53}} = 53.23$$

$$\frac{L_b}{bf} \leq \frac{20.1476}{\sqrt{F_y}}$$

$$\frac{L_b}{bf} = \frac{325}{30} = 10.83 < \frac{20.1476}{\sqrt{F_y}} = \frac{20.1476}{\sqrt{2.53}} = 12.67 \quad \Rightarrow$$

$$F_b = 0.6 F_y ; \quad F_b = 1.518 \text{ ton/cm}^2$$

$$f_b = \frac{M}{S_x} = \frac{3919 \text{ ton-cm}}{3567 \text{ cm}^3} = 1.099 \text{ ton/cm}^2$$

$$f_b/F_b = 1.099/1.518 = 0.724$$

Revisión por esfuerzos combinados (Flexo-compresión):

Como $f_a/f_a < 0.15$; se debe cumplir la siguiente desigualdad.

$$f_a/F_a + f_b/F_b \leq 1.0$$

$$0.143 + 0.724 = 0.867 < 1.0 \quad (\text{correcto})$$

∴ la sección se ACEPTE para esta condición de carga.

- Elemento No. 29 del modelo matemático.

Trabe I, Marco No. 13

Solicitud: Carga muerta + viento

Condición de carga No. 4

La sección es la misma que en la revisión anterior.

$$\text{momento en nudo } i = 103.20 \text{ ton-m} \quad F_a = 1.305 \text{ ton/cm}^2$$

$$\text{momento en nudo } j = 1.389 \text{ ton-m}$$

$$\text{fuerza axial} = 17.12 \text{ ton} \quad F_b = 1.518 \text{ ton/cm}^2$$

$$\text{fuerza cortante} = 30.88 \text{ ton}$$

$$L_x = L_y = 325 \text{ cm}$$

Esfuerzo a Compresión:

$$f_a = 17.12 \text{ ton} / 125.39 \text{ cm}^2 = 0.137 \text{ ton/cm}^2$$

$$f_a/F_a = 0.137 / 1.305 = 0.105$$

Esfuerzo a Flexión:

$$f_b = \frac{M}{S_x} = \frac{10320 \text{ ton-cm}}{3567 \text{ cm}^3} = 2.893 \text{ ton/cm}^2$$

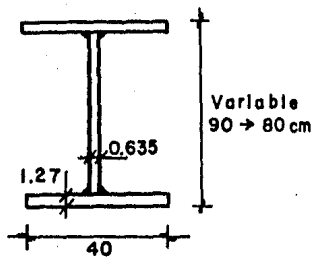
$$f_b/F_b = 2.893 / 1.518 = 1.906$$

Revisión por esfuerzos combinados (Flexo-compresión):

$$f_a/F_a + f_b/F_b \leq 1.33$$

$$0.105 + 1.906 = 2.011 \gg 1.33 \quad \text{La sección } \underline{\text{NO}} \text{ se acepta.}$$

por lo tanto se propone la siguiente sección:



para d = 90 cm :

$$\begin{aligned} \text{Area} &= 157.14 \text{ cm}^2 \\ I_x &= 235390 \text{ cm}^4 \\ S_x &= 5231 \text{ cm}^3 \\ r_x &= 38.7 \text{ cm} \\ r_y &= 9.3 \text{ cm} \\ r_t &= 10.6 \text{ cm} \end{aligned}$$

Esfuerzo a Compresión:

$$\frac{k_x \times L_x}{r_x} = \frac{1.5 \times 325}{38.7} = 12.6$$

$$\frac{k_y \times L_y}{r_y} = \frac{1.0 \times 325}{9.3} = 34.9 ; \quad \text{Rige} \Rightarrow F_a = 1.3791 \text{ ton/cm}^2$$

$$f_a = 17.12 \text{ ton / } 157.14 \text{ cm}^2 = 0.109 \text{ ton/cm}^2$$

$$f_a/F_a = 0.109 / 1.3791 = 0.079$$

Esfuerzo a Flexión:

$$\frac{d}{tw} \leq \frac{169.66}{\sqrt{F_y}} (1 - 3.74 f_a/F_y) ; \quad f_a/F_y = 0.109/2.53 = 0.043$$
$$f_a/F_y < 0.16$$

$$\frac{d}{tw} = \frac{90}{0.635} = 141.73$$

$$\frac{169.66}{\sqrt{F_y}} (1 - 3.74 f_a/F_y) = \frac{169.66}{\sqrt{2.53}} (1 - 3.74 \times 0.043) = 89.51$$

$$141.73 > 89.51 \Rightarrow \text{sección NO compacta.}$$

$$\frac{bf}{2tf} \leq \frac{25.185}{\sqrt{F_y}}$$

$$\frac{bf}{2tf} = \frac{40}{2 \times 1.27} = 15.75 < \frac{25.185}{\sqrt{2.53}} = \frac{25.185}{\sqrt{2.53}} = 15.83$$

$$F_{b'} = \frac{843.68 \times C_b}{L_b \times d / A_f} \quad L_b = 325 \text{ cm} \quad d = 90 \text{ cm} \quad C_b = 1.0 \\ A_f = 40 \times 1.27 = 50.80 \text{ cm}^2$$

$$F_{b'} = \frac{843.68 \times 1.0}{325 \times 90 / 50.80}; \quad F_{b'} = 1.465 \text{ ton/cm}^2 \\ F_{b'} < 0.6 F_y$$

$$\frac{L_b}{r_t} \geq \sqrt{\frac{35841.67 \times C_b}{F_y}}$$

$$\frac{L_b}{r_t} = \frac{325}{10.6} = 30.66 < \sqrt{\frac{35841.67 \times C_b}{F_y}} = \sqrt{\frac{35841.67 \times 1}{2.53}} = 119.02$$

$$\frac{L_b}{r_t} \geq \sqrt{\frac{7168.33 \times C_b}{F_y}}$$

$$\frac{L_b}{r_t} = 30.66 < \sqrt{\frac{7168.33 \times C_b}{F_y}} = \sqrt{\frac{7168.33 \times 1}{2.53}} = 53.23$$

$$\frac{L_b}{b_f} \leq \frac{20.1476}{\sqrt{F_y}}$$

$$\frac{L_b}{b_f} = \frac{325}{40} = 8.13 < \frac{20.1476}{\sqrt{F_y}} = \frac{20.1476}{\sqrt{2.53}} = 12.667 \Rightarrow$$

$$F_b = 0.6 F_y \quad F_b = 1.518 \text{ ton/cm}^2$$

$$f_b = \frac{M}{S_x} = \frac{10320 \text{ ton-cm}}{5231 \text{ cm}^3} = 1.973 \text{ ton/cm}^2$$

$$f_b/F_b = 1.973 / 1.518 = 1.300$$

Revisión por esfuerzos combinados (Flexo-compresión):

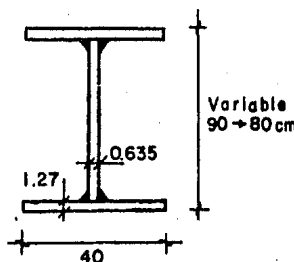
Como $f_a/F_a < 0.15$ se debe cumplir:

$$f_a/F_a + f_b/F_b \leq 1.33$$

$$0.079 + 1.300 = 1.379 > 1.33$$

La sección está ESCASA un 3.5% ∴ se ACEPTA, ya que se tiene una condición accidental.

Sección definitiva para las trabes I



- Elemento No. 37 del modelo matemático.

Trabe II, Marco No. 5

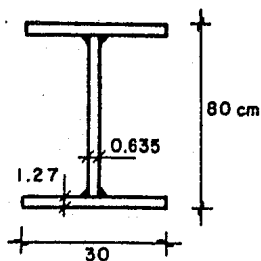
Solicitud: Carga muerta + carga viva reducida + sismo

Condición de carga No. 3

La sección es la misma que la propuesta inicialmente para las trabes I.

$$\begin{aligned} \text{Area} &= 125.39 \text{ cm}^2 \\ I_x &= 142684 \text{ cm}^4 \\ S_x &= 3567 \text{ cm}^3 \\ r_x &= 33.7 \text{ cm} \\ r_y &= 6.8 \text{ cm} \\ r_t &= 7.9 \text{ cm} \end{aligned}$$

$$\begin{aligned} \text{momento en nudo i} &= -35.86 \text{ ton-m} \\ \text{momento en nudo j} &= 28.85 \text{ ton-m} \\ \text{fuerza axial} &= 27.54 \text{ ton} \\ \text{fuerza cortante} &= 2.25 \text{ ton} \\ L_x &= L_y = 325 \text{ cm} \end{aligned}$$



$$\begin{aligned} k_x &= 1.5 & k_y &= 1.0 \\ F_a &= 1.305 \text{ ton/cm}^2 \\ F_b &= 1.518 \text{ ton/cm}^2 \end{aligned}$$

Esfuerzo a Compresión:

$$f_a = 27.54 \text{ ton} / 125.39 \text{ cm}^2 = 0.220 \text{ ton/cm}^2$$

$$f_a/F_a = 0.220 / 1.305 = 0.169$$

Esfuerzo a Flexión:

$$f_b = \frac{M}{S_x} = \frac{3586 \text{ ton-cm}}{3567 \text{ cm}^3} = 1.005 \text{ ton/cm}^2$$

$$f_b/F_b = 1.005/1.518 = 0.662$$

Revisión por esfuerzos combinados (Flexo-compresión):

Como $f_a/F_a > 0.15$; se deben cumplir:

$$\frac{f_a}{F_a} + \frac{C_m \times f_b}{(1 - f_a/F'e) F_b} \leq 1.33 \quad y$$

$$\frac{f_a}{0.6 F_y} + \frac{f_b}{F_b} \leq 1.33$$

$$F'e = \frac{12 \pi^2 E}{23 (k \text{ Lb/rb})^2} = \frac{12 \times \pi^2 \times 2100}{23 (1.5 \times 325/33.7)^2} = 51.68 \text{ ton/cm}^2$$

$$\frac{f_a}{F_a} + \frac{C_m \times f_b}{(1 - f_a/F'e) F_b} = \frac{0.220}{1.305} + \frac{0.85 \times 1.005}{(1 - 0.220/51.68) \times 1.518}$$

$$0.169 + 0.565 = 0.734 < 1.33 \quad (\text{correcto})$$

$$\frac{f_a}{0.6 F_y} + \frac{f_b}{F_b} \leq 1.33$$

$$\frac{0.220}{0.6 \times 2.53} + \frac{1.005}{1.518} = 0.145 + 0.662 = 0.807 < 1.33$$

(correcto)

∴ la sección se ACEPTA para esta condición de carga.

- Elemento No. 37 del modelo matemático.

Trabe II, Marco 5

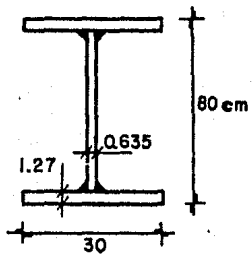
Solicitudación: Carga muerta + viento.

Condición de carga No. 4

La sección es la misma que para la revisión anterior.

$$\begin{aligned} \text{Area} &= 125.39 \text{ cm}^2 \\ I_x &= 142684 \text{ cm}^4 \\ S_x &= 3567 \text{ cm}^3 \\ r_x &= 33.7 \text{ cm} \\ r_y &= 6.8 \text{ cm} \\ r_t &= 7.9 \text{ cm} \end{aligned}$$

$$\begin{aligned} \text{momento en nudo i} &= -33.70 \text{ ton-m} \\ \text{momento en nudo j} &= 42.28 \text{ ton-m} \\ \text{fuerza axial} &= 23.05 \text{ ton} \\ \text{fuerza cortante} &= 3.39 \text{ ton} \\ L_x &= L_y = 325 \text{ cm} \end{aligned}$$



$$\begin{aligned} K_x &= 1.5; \quad k_y = 1.0 \\ F_a &= 1.305 \text{ ton/cm}^2 \\ F_b &= 1.518 \text{ ton/cm}^2 \end{aligned}$$

Esfuerzo a Compresión:

$$f_a = 23.05 \text{ ton} / 125.39 \text{ cm}^2 = 0.184 \text{ ton/cm}^2$$

$$f_a/F_a = 0.184 / 1.305 = 0.141$$

Esfuerzo a Flexión:

$$f_b = \frac{M}{S_x} = \frac{4228 \text{ ton-cm}}{3567 \text{ cm}^3} = 1.185 \text{ ton/cm}^2$$

$$f_b/F_b = 1.185 / 1.518 = 0.781$$

Revisión por esfuerzos combinados (Flexo-compresión):

Como $f_a/F_a < 0.15$ se debe cumplir:

$$f_a / F_a + f_b / F_b \leq 1.33$$

$$0.141 + 0.781 = 0.922 < 1.33 \quad (\text{correcto})$$

∴ la sección se ACEPTA.

- Elemento No. 53 del modelo matemático.

Trabe III, Marco 5.

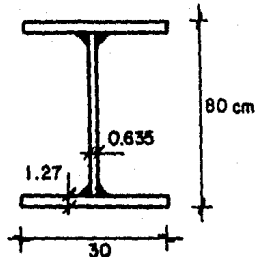
Solicitud: Carga muerta + viento.

Condición de carga No. 4

La sección es la misma que para la revisión anterior.

$$\begin{aligned} \text{Area} &= 125.39 \text{ cm}^2 \\ I_x &= 142684 \text{ cm}^4 \\ S_x &= 3567 \text{ cm}^3 \\ r_x &= 33.7 \text{ cm} \\ r_y &= 6.8 \text{ cm} \\ r_t &= 7.9 \text{ cm} \end{aligned}$$

$$\begin{aligned} \text{momento en nudo i} &= -42.28 \text{ ton-m} \\ \text{momento en nudo j} &= 32.94 \text{ ton-m} \\ \text{fuerza axial} &= 15.20 \text{ ton} \\ \text{fuerza cortante} &= 3.48 \text{ ton} \\ L_x &= L_y = 325 \text{ cm} \end{aligned}$$



$$k_x = 1.5 ; \quad k_y = 1.0$$

$$F_a = 1.305 \text{ ton/cm}^2$$

$$F_b = 1.518 \text{ ton/cm}^2$$

Esfuerzo a Compresión:

$$f_a = 15.20 \text{ ton} / 125.39 \text{ cm}^2 = 0.121 \text{ ton/cm}^2$$

$$f_a/F_a = 0.121 / 1.305 = 0.093$$

Esfuerzo a Flexión:

$$f_b = \frac{M}{S_x} = \frac{4228 \text{ ton-cm}}{3567 \text{ cm}^3} = 1.185 \text{ ton/cm}^2$$

$$f_b / F_b = 1.185 / 1.518 = 0.781$$

Revisión por esfuerzos combinados (Flexo-compresión):

Como $f_a/F_a < 0.15$ se debe cumplir:

$$f_a/F_a + f_b/F_b \leq 1.33$$

$$0.093 + 0.781 = 0.874 < 1.33 \quad (\text{correcto})$$

∴ se ACEPTA la sección para la trabe III.

- Elemento No. 65 del modelo matemático.

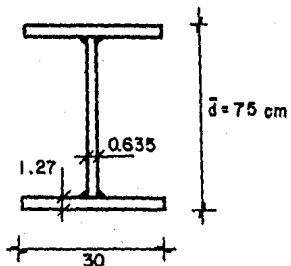
Trabe IV, Marco 1

Solicitud: Carga muerta + viento

Condición de carga No. 4

Area = 122.21 cm ²	
I _x = 123700 cm ⁴	
S _x = 3299 cm ³	
r _x = 31.8 cm	
r _y = 6.8 cm	
r _t = 7.9 cm	

momento en nudo i =	36.94 ton-m
momento en nudo j =	- 37.59 ton-m
fuerza axial =	0.00 ton
fuerza cortante =	- 1.69 ton
L _x = L _y =	325 cm



$$k_x = 1.5$$

$$k_y = 1.0$$

Revisión por esfuerzo de Flexión:

$$\frac{d}{tw} \leq \frac{169.66}{\sqrt{F_y}} (1 - 3.74 fa/F_y) ; \quad fa/F_y = 0.00$$

$$\frac{d}{tw} = \frac{75}{0.635} = 118.11 > \frac{169.66}{\sqrt{F_y}} = \frac{169.66}{\sqrt{2.53}} = 106.66 \Rightarrow$$

la sección es NO compacta

$$\frac{bf}{2tf} \leq \frac{25.185}{\sqrt{F_y}}$$

$$\frac{bf}{2tf} = \frac{30}{2 \times 1.27} = 11.81 < \frac{25.185}{\sqrt{F_y}} = \frac{25.185}{\sqrt{2.53}} = 15.83$$

$$F_{b'} = \frac{843.68 \times C_b}{Lb \times d / Af} \quad Lb = 325 \text{ cm}; \quad d = 75 \text{ cm}; \quad C_b = 1.00 \\ Af = 30 \times 1.27 = 38.10 \text{ cm}^2$$

$$F_{b'} = \frac{843.68 \times 1}{325 \times 75 / 38.10} \quad F_{b'} = 1.319 \text{ ton/cm}^2$$

$$F_{b'} < 0.6 F_y$$

$$\frac{Lb}{rt} \geq \sqrt{\frac{35841.67 \times C_b}{F_y}}$$

$$\frac{Lb}{rt} = \frac{325}{7.9} = 41.14 < \sqrt{\frac{35841.67 \times C_b}{F_y}} = \sqrt{\frac{35841.67 \times 1}{2.53}} = 119.02$$

$$\frac{Lb}{rt} \geq \sqrt{\frac{7168.33 \times C_b}{F_y}}$$

$$\frac{Lb}{rt} = 41.14 < \sqrt{\frac{7168.33 \times C_b}{F_y}} = \sqrt{\frac{7168.33 \times 1.00}{2.53}} = 53.23$$

$$\frac{Lb}{bf} \leq \frac{20.1476}{\sqrt{F_y}}$$

$$\frac{Lb}{bf} = \frac{325}{30} = 10.83 < \frac{20.1476}{\sqrt{F_y}} = \frac{20.1476}{\sqrt{2.53}} = 12.67 \Rightarrow$$

$$F_b = 0.6 F_y ; \quad F_b = 1.518 \text{ ton/cm}^2$$

$$f_b = \frac{M}{Sx} = \frac{3759 \text{ ton-cm}}{3299 \text{ cm}^3} = 1.139 \text{ ton/cm}^2 < 1.518 \text{ (correcto)}$$

Como $F_b > f_b$ la sección se ACEPTE para ese marco.

- Elemento No. 77 del modelo matemático.

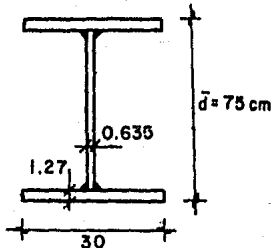
Trabe IV, Marco 13

Solicitud: Carga muerta + viento

Condición de carga No. 4

La sección es la misma que para la revisión anterior.

Area = 122.21 cm^2	momento en nudo i = - 33.12 ton-m
$I_x = 123700 \text{ cm}^4$	momento en nudo j = 29.98 ton-m
$S_x = 3299 \text{ cm}^3$	fuerza axial = 7.76 ton
$r_x = 31.8 \text{ cm}$	fuerza cortante = 2.37 ton
$r_y = 6.8 \text{ cm}$	$L_x = L_y = 325 \text{ cm}$
$r_t = 7.9 \text{ cm}$	



$$k_x = 1.5$$

$$k_y = 1.0$$

$$F_b = 1.518 \text{ ton/cm}^2$$

Esfuerzo a Compresión:

$$\frac{k_x \times L_x}{r_x} = \frac{1.5 \times 325}{31.8} = 15.33$$

$$\frac{k_y \times L_y}{r_y} = \frac{1.0 \times 325}{6.8} = 47.8 ; \text{ Rige } \Rightarrow F_a = 1.305 \text{ ton/cm}^2$$

$$f_a = 7.76 \text{ ton / } 122.21 \text{ cm}^2 = 0.063 \text{ ton/cm}^2$$

$$f_a / F_a = 0.063 / 1.305 = 0.048$$

Esfuerzo de Flexión:

$$f_b = \frac{M}{S_x} = \frac{3312 \text{ ton-cm}}{3299 \text{ cm}^3} = 1.004 \text{ ton/cm}^2$$

$$f_b/F_b = 1.004/1.518 = 0.661$$

Revisión por esfuerzos combinados (Flexo-compresión):

Como $f_a/f_a < 0.15$ se debe cumplir:

$$f_a/f_a + f_b/F_b \leq 1.33$$

$$0.048 + 0.661 = 0.709 < 1.33 \quad (\text{correcto})$$

∴ se ACEPTA la sección para el tramo IV.

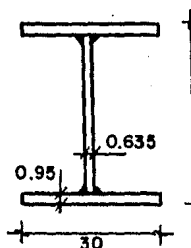
- Elemento No. 81 del modelo matemático.

Trabe V, Marco 1.

Solicitud: Carga muerta + viento.

Condición de carga No. 4

Area =	97.07 cm ²	momento en nudo i =	37.59 ton-m
I _x =	71758 cm ⁴	momento en nudo j =	- 22.96 ton-m
S _x =	2208 cm ³	* fuerza axial =	- 2.85 ton
r _x =	27.2 cm	fuerza cortante =	5.68 ton
r _y =	6.6 cm	L _x = L _y =	325 cm
r _t =	7.8 cm		



$$k_x = 1.5$$

$$k_y = 1.0$$

* Tensión

Esfuerzo a Tensión:

$$F_t = 0.6 F_y ; \quad F_t = 0.6 \times 2.53 \text{ ton/cm}^2 = 1.518 \text{ ton/cm}^2$$

$$f_a = 2.85 \text{ ton / } 97.07 \text{ cm}^2 = 0.029 \text{ ton/cm}^2$$

$$f_a/F_t = 0.029/1.518 = 0.019$$

Esfuerzo a Flexión:

$$\frac{d}{t_w} \leq \frac{169.66}{\sqrt{F_y}} (1 - 3.74 f_a/F_y) ; \quad f_a/F_y = 0.029/2.53 = 0.011 \\ f_a/F_y < 0.16$$

$$\frac{d}{t_w} = \frac{65}{0.635} = 102.36$$

$$\frac{169.66}{\sqrt{F_y}} (1 - 3.74 f_a/F_y) = \frac{169.66}{\sqrt{2.53}} (1 - 3.74 \times 0.011) = 102.28$$

102.36 > 102.28 \Rightarrow sección NO compacta.

$$\frac{bf}{2tf} \leq \frac{25.185}{\sqrt{F_y}}$$

$$\frac{bf}{2tf} = \frac{30}{2 \times 0.95} = 15.79 < \frac{25.185}{\sqrt{F_y}} = \frac{25.185}{\sqrt{2.53}} = 15.83$$

$$F_b' = \frac{843.68 \times C_b}{Lb \times d / Af} \quad Lb = 325 \text{ cm}; \quad d = 65 \text{ cm}; \quad C_b = 1.00 \\ Af = 30 \times 0.95 = 28.50 \text{ cm}^2$$

$$F_b' = \frac{843.68 \times 1}{325 \times 65 / 28.50} \quad F_b' = 1.138 \text{ ton/cm}^2 \\ F_b' < 0.6 F_y$$

$$\frac{Lb}{rt} \geq \sqrt{\frac{35841.67 \times C_b}{F_y}}$$

$$\frac{Lb}{rt} = \frac{325}{7.8} = 41.67 < \sqrt{\frac{35841.67 \times C_b}{F_y}} = \sqrt{\frac{35841.67 \times 1}{2.53}} = 119.02$$

$$\frac{Lb}{rt} \geq \sqrt{\frac{7168.33 \times C_b}{F_y}}$$

$$\frac{Lb}{rt} = 41.67 < \sqrt{\frac{7168.33 \times Cb}{Fy}} = \sqrt{\frac{7168.33 \times 1}{2.53}} = 53.23$$

$$\frac{Lb}{bf} \leq \frac{20,1476}{\sqrt{Fy}}$$

$$\frac{Lb}{bf} = \frac{325}{30} = 10.83 < \frac{20,1476}{\sqrt{Fy}} = \frac{20,1476}{\sqrt{2.53}} = 12.67 \Rightarrow$$

$$Fb = 0.6 Fy ; \quad Fb = 1.518 \text{ ton/cm}^2$$

$$fb = \frac{M}{Sx} = \frac{3759 \text{ ton-cm}}{2208 \text{ cm}^3} = 1.702 \text{ ton/cm}^2$$

$$fb/Fb = 1.702 / 1.518 = 1.121$$

Revisión por esfuerzos combinados (Flexo-tensión):

$$fa/Ft + fb/Fb \leq 1.33$$

$$0.019 + 1.121 = 1.140 < 1.33 \quad (\text{correcto})$$

∴ se ACEPTA la sección.

- Elemento No. 97 del modelo matemático.

Trabe VI, Marco 1.

Solicitud: Carga muerta + viento.

Condición de carga No. 4

$$\text{Area} = 90.72 \text{ cm}^2$$

$$\text{momento en nudo i} = 22.96 \text{ ton-m}$$

$$Ix = 49557 \text{ cm}^4$$

$$\text{momento en nudo j} = 0.00 \text{ ton-m}$$

$$Sx = 1802 \text{ cm}^3$$

$$* \text{ fuerza axial} = -2.57 \text{ ton}$$

$$rx = 23.4 \text{ cm}$$

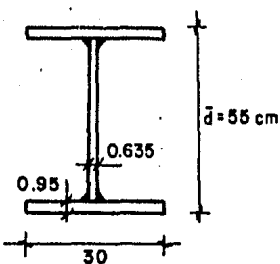
$$\text{fuerza cortante} = 7.86 \text{ ton}$$

$$ry = 6.7 \text{ cm}$$

$$Lx = Ly = 325 \text{ cm}$$

$$rt = 7.9 \text{ cm}$$

* Tensión



$$k_x = 1.5$$

$$k_y = 1.0$$

Esfuerzo a Tensión:

$$F_t = 0.6 F_y ; \quad F_t = 0.6 \times 2.53 \text{ ton/cm}^2 = 1.518 \text{ ton/cm}^2$$

$$f_a = 2.57 \text{ ton / } 90.72 \text{ cm}^2 = 0.028 \text{ ton/cm}^2$$

$$f_a/F_t = 0.028/1.518 = 0.018$$

Esfuerzo a Flexión:

$$\frac{d}{t_w} \leq \frac{169.66}{\sqrt{F_y}} (1 - 3.74 f_a/F_y); \quad f_a/F_y = 0.028/2.53 = 0.011 \\ f_a/F_y < 0.16$$

$$\frac{d}{t_w} = \frac{55}{0.635} = 86.61$$

$$\frac{169.66}{\sqrt{F_y}} (1 - 3.74 f_a/F_y) = \frac{169.66}{\sqrt{2.53}} (1 - 3.74 \times 0.011) = 102.28$$

$$86.61 < 102.28$$

$$L_b \leq \frac{20.1416 \times b_f}{\sqrt{F_y}}$$

$$L_b = 325 < \frac{20.1416 \times b_f}{\sqrt{F_y}} = \frac{20.1416 \times 30}{\sqrt{2.53}} = 379.89$$

$$L_b \leq \frac{1405.56}{(d/A_f) F_y}; \quad d = 55 \text{ cm} \\ A_f = 30 \times 0.95 = 28.50 \text{ cm}^2$$

$$L_b = 325 > \frac{1405.56}{(d/A_f) F_y} = \frac{1405.56}{(55/28.5) \times 2.53} = 287.88 \Rightarrow$$

sección NO compacta

$$\frac{bf}{2tf} \leq \frac{25.185}{\sqrt{F_y}}$$

$$\frac{bf}{2tf} = \frac{30}{2 \times 0.95} = 15.79 < \frac{25.185}{\sqrt{F_y}} = \frac{25.185}{\sqrt{2.53}} = 15.83$$

$$F_{b'} = \frac{843.68 \times C_b}{L_b \times d / A_f} \quad L_b = 325 \text{ cm}; \quad d = 55 \text{ cm}; \quad C_b = 1.0 \\ A_f = 28.50 \text{ cm}^2$$

$$F_{b'} = \frac{843.68 \times 1}{325 \times 55 / 28.5}; \quad F_{b'} = 1.345 \text{ ton/cm}^2 \\ F_{b'} < 0.6 F_y$$

$$\frac{L_b}{rt} \geq \sqrt{\frac{35841.67 \times C_b}{F_y}}$$

$$\frac{L_b}{rt} = \frac{325}{7.9} = 41.14 < \sqrt{\frac{35841.67 \times C_b}{F_y}} = \sqrt{\frac{35841.67 \times 1}{2.53}} = 119.02$$

$$\frac{L_b}{rt} \geq \sqrt{\frac{7168.33 \times C_b}{F_y}}$$

$$\frac{L_b}{rt} = 41.14 < \sqrt{\frac{7168.33 \times C_b}{F_y}} = \sqrt{\frac{7168.33 \times 1.0}{2.53}} = 53.23$$

$$\frac{L_b}{bf} \leq \frac{20.1476}{\sqrt{F_y}}$$

$$\frac{L_b}{bf} = \frac{325}{30} = 10.83 < \frac{20.1476}{\sqrt{F_y}} = \frac{20.1476}{\sqrt{2.53}} = 12.67 \Rightarrow$$

$$F_b = 0.6 F_y; \quad F_b = 0.6 \times 2.53 \text{ ton/cm}^2 \\ F_b = 1.518 \text{ ton/cm}^2$$

$$f_b = \frac{M}{S_x} = \frac{2296 \text{ ton-cm}}{1802 \text{ cm}^3} = 1.274 \text{ ton/cm}^2$$

$$f_b/F_b = 1.274/1.518 = 0.839$$

Revisión por esfuerzos combinados (Flexo-tensión):

$$f_a/F_t + f_b/F_b \leq 1.33$$

$$0.018 + 0.839 = 0.857 \leq 1.33 \quad (\text{correcto})$$

∴ se ACEPta la sección para el tramo VI.

La revisión de las trabes secundarias se hará con atención a la condición de carga número 4; carga muerta + viento, en el sector de la cubierta donde se presentan presiones, ya que los esfuerzos generados son mayores en comparación con los que se presentan por otra condición de carga. Así, las trabes secundarias deberán revisarse para soportar una carga uniformemente distribuida producto de su propio peso, de la componente normal de la carga de la cubierta, y del efecto de presión del viento. La deducción de dicha carga para cada tipo diferente de trabe secundaria se muestra en la siguiente tabla.

Trabe sec.	Area tri- butaria (m ²)	Long. (m)	w(CM) (kg/m)	Velocidad de diseño (km/hr.)	w(vto) (kg/m)	w (total) (kg/m)
A	12.94	7.26	1589	218.00	386	1975
B	20.71	5.84	1380	219.53	779	2159
C	15.53	4.72	1195	222.48	743	1938
D	12.36	3.73	1023	225.76	770	1793
E	9.82	2.91	801	229.11	808	1609
F	7.76	2.27	583	232.35	842	1425

Tabla III-11

Al mismo tiempo esas trabes se encontrarán sometidas a fuerzas de tensión o compresión, provocadas por el trabajo conjunto de toda la retícula metálica, por lo que cada trabe secundaria será revisada por flexo-tensión o flexo-compresión según el caso. La magnitud de esas fuerzas se encuentra en los resultados del análisis estructural realizado por el programa SAP V-2. En la siguiente tabla se observan los mayores valores de esas fuerzas para cada tipo de trabe secundaria.

Trabe secundaria	No. modelo matemático	Tensión (+) o Compresión (-) (kgs)
A	141	0 *
B	157	3991
C	173	- 23460
D	189	- 26910
E	205	- 12590
F	221	- 2916

* el anillo de tensión toma la carga.

Tabla III-12

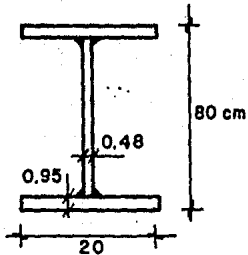
Con los datos de las dos tablas anteriores se procede a la revisión de las trabes secundarias.

Para el anillo de compresión se encuentra también que los elementos mecánicos de la condición de carga número 4, carga muerta más viento, son los mayores.

A continuación se realiza la revisión de estos elementos estructurales junto con el anillo de tensión, el cual será de concreto reforzado.

- Trabes tipo A

Propiedades de la sección:



$$\begin{aligned} \text{Area} &= 75.49 \text{ cm}^2 \\ I_x &= 78423 \text{ cm}^4 \\ S_x &= 1961 \text{ cm}^3 \\ r_x &= 32.2 \text{ cm} \\ r_t &= 5.0 \text{ cm} \\ k_x &= k_y = 1.0 \end{aligned}$$

Carga uniformemente distribuida $w = 19.75 \text{ kg/cm}$

Carga axial $P = 0.00 \text{ ton}$

Longitud de la trabe $L = 726 \text{ cm}$

Se recordará que en el inciso II c) se mencionó que estas trabes se arriostrarían al centro de su claro hasta el fraguado del concreto, así: $L_b = 726/2 = 363 \text{ cm}$

Revisión por esfuerzo de Flexión:

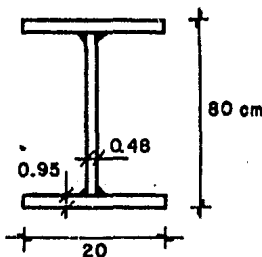
$$F_b = 1.373 \text{ ton/cm}^2 \quad \text{(tomado del inciso II c)}$$

$$\begin{aligned} M &= \frac{w \times L^2}{8} = \frac{19.75 \text{ kg/cm} \times (726 \text{ cm})^2}{8} = 1,301,219 \text{ kg-cm} \\ &= 1,301.219 \text{ ton-cm} \end{aligned}$$

$$f_b = \frac{M}{S_x} = \frac{1301.219 \text{ ton-cm}}{1961 \text{ cm}^3} = 0.664 \text{ ton/cm}^2$$

Como $F_b > f_b$ la sección se ACEPTE.

- Trabes tipo B



Propiedades de la sección:

$$\begin{aligned} \text{Area} &= 75.49 \text{ cm}^2 \\ I_x &= 78423 \text{ cm}^4 \\ S_x &= 1961 \text{ cm}^3 \\ r_x &= 32.2 \text{ cm} \\ r_t &= 5.0 \text{ cm} \\ k_x = k_y &= 1.0 \end{aligned}$$

Carga uniformemente distribuida $w = 21.59 \text{ kg/cm}$

Carga axial $P = 3.991 \text{ ton}$ (tensión).

$L_{bx} = L_{by} = 584 \text{ cm}$

Esfuerzo a Tensión:

$$F_t = 0.6 F_y ; \quad F_t = 0.6 \times 2.53 \text{ ton/cm}^2 = 1.518 \text{ ton/cm}^2$$

$$f_a = 3.991 \text{ ton} / 75.49 \text{ cm}^2 = 0.053 \text{ ton/cm}^2$$

$$f_a/F_t = 0.053/1.518 = 0.035$$

Esfuerzo a Flexión:

$$F_b = 0.875 \text{ ton/cm}^2$$

$$M = \frac{w \times L^2}{8} = \frac{21.59 \text{ kg/cm} \times (584 \text{ cm})^2}{8} = 920,425 \text{ kg-cm} \\ = 920.425 \text{ ton-cm}$$

$$f_b = \frac{M}{S_x} = \frac{920.425 \text{ ton-cm}}{1961 \text{ cm}^3} = 0.469 \text{ ton/cm}^2$$

$$f_b/F_b = 0.469/0.875 = 0.536$$

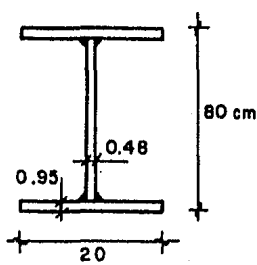
Revisión por esfuerzos combinados (Flexo-tensión):

Como $f_a/F_a < 0.15$ se debe cumplir: $f_a/F_a + f_b/F_b \leq 1.33$

$$0.035 + 0.536 = 0.571 < 1.33$$

∴ se ACEPTA la sección.

- Trabes tipo C



Propiedades de la sección:

$$\begin{aligned} \text{Area} &= 75.49 \text{ cm}^2 \\ I_x &= 78423 \text{ cm}^4 \\ S_x &= 1961 \text{ cm}^3 \\ r_x &= 32.2 \text{ cm} \\ r_y &= 4.1 \text{ cm} \\ r_t &= 5.0 \text{ cm} \\ k_x &= k_y = 1.0 \end{aligned}$$

Carga uniformemente distribuida $w = 19.38 \text{ kg/cm}$

Carga axial $P = 23.46 \text{ ton}$ (compresión).

$$L_{bx} = L_{by} = 472 \text{ cm}$$

Esfuerzo a Compresión:

$$\frac{k_x \times L_x}{r_x} = \frac{1.0 \times 472 \text{ cm}}{32.2 \text{ cm}} = 14.66$$

$$\frac{k_y \times L_y}{r_y} = \frac{1.0 \times 472 \text{ cm}}{4.1 \text{ cm}} = 115.12 ; \text{ Rige } \Rightarrow F_a = 0.774 \text{ ton/cm}^2$$

$$f_a = 23.46 \text{ ton} / 75.46 \text{ cm}^2 = 0.311 \text{ ton/cm}^2$$

$$f_a/F_a = 0.402$$

Esfuerzo a Flexión:

$$\frac{d}{t_w} \leq \frac{169.66}{\sqrt{F_y}} (1 - 3.74 f_a/F_y); \quad f_a/F_y = 0.311/2.53 = 0.123$$
$$f_a/F_y < 0.16$$

$$\frac{d}{t_w} = \frac{80}{0.48} = 166.67$$

$$\frac{169.66}{\sqrt{F_y}} (1 - 3.74 f_a/F_y) = \frac{169.66}{\sqrt{2.53}} (1 - 3.74 \times 0.123) = 57.60$$

$$166.67 > 57.60 \Rightarrow \text{sección NO compacta.}$$

$$\frac{bf}{2tf} \leq \frac{25,185}{\sqrt{F_y}}$$

$$\frac{bf}{2tf} = \frac{20}{2 \times 0.95} = 10.53 < \frac{25,185}{\sqrt{F_y}} = \frac{25,185}{\sqrt{2.53}} = 15.83$$

$$F_{b'} = \frac{843.68 \times C_b}{Lb \times d / Af} \quad C_b = 1.0 \quad Af = 20 \times 0.95 = 19 \text{ cm}^2 \\ Lb = 472 \text{ cm} \quad d = 80 \text{ cm}$$

$$F_{b'} = \frac{843.68 \times 1}{472 \times 80 / 19} ; \quad F_{b'} = 0.425 \text{ ton/cm}^2$$

$$F_{b'} < 0.6 F_y$$

$$\frac{Lb}{rt} \geq \sqrt{\frac{35841.67 \times C_b}{F_y}}$$

$$\frac{Lb}{rt} = \frac{472}{5.0} = 94.4 < \sqrt{\frac{35841.67 \times C_b}{F_y}} = \sqrt{\frac{35841.67 \times 1}{2.53}} = 119.02$$

$$\frac{Lb}{rt} \geq \sqrt{\frac{7168.33 \times C_b}{F_y}}$$

$$\frac{Lb}{rt} = 94.4 > \sqrt{\frac{7168.33 \times C_b}{F_y}} = \sqrt{\frac{7168.33 \times 1}{2.53}} = 53.23$$

$$F_{b''} = \left[\frac{2}{3} - \frac{F_y (Lb/rt)^2}{107525 \times C_b} \right] \times F_y$$

$$F_{b''} = \left[\frac{2}{3} - \frac{2.53 (94.4)^2}{107525 \times 1.0} \right] \times 2.53 ; \quad F_{b''} = 1.156 \text{ ton/cm}^2$$

$$\text{Como } F_{b''} > F_{b'} \Rightarrow F_b = 1.156 \text{ ton/cm}^2$$

$$M = \frac{w \times L^2}{8} = \frac{19.38 \text{ kg/cm} \times (472 \text{ cm})^2}{8} = 539,694 \text{ kg-cm} \\ = 539.694 \text{ ton-cm}$$

$$f_b = \frac{M}{Sx} = \frac{539.694 \text{ ton-cm}}{1961 \text{ cm}^3} = 0.275 \text{ ton/cm}^2$$

$$f_b / F_b = 0.275 / 1.156 = 0.238$$

Revisión por esfuerzos combinados (Flexo-compresión):

Como $f_a/F_a > 0.15$ se deben cumplir:

$$\frac{f_a}{F_a} + \frac{C_m f_b}{(1 - f_a/F'e) F_b} \leq 1.33 \quad y$$

$$\frac{f_a}{0.6 F_y} + \frac{f_b}{F_b} \leq 1.33$$

$$F'e = \frac{12 \pi^2 E}{23 (k Lx/rx)^2} ; \quad \frac{kx \times Lx}{rx} = 14.66$$

$$F'e = \frac{12 \times \pi^2 \times 2100}{23 (14.66)^2} = 50.316 \text{ ton/cm}^2$$

$$\frac{f_a}{F_a} + \frac{C_m f_b}{(1 - f_a/F'e) F_b} = 0.402 + \frac{0.85 \times 0.275}{(1 - 0.311/50.316) \times 1.156}$$

$$0.402 + 0.203 = 0.61 < 1.33 \quad (\text{correcto})$$

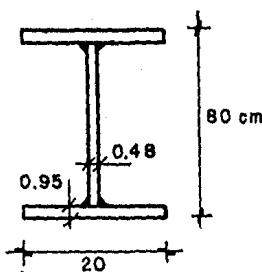
$$\frac{f_a}{0.6 F_y} + \frac{f_b}{F_b} \leq 1.33$$

$$\frac{0.311}{0.6 \times 2.53} + \frac{0.275}{1.156} = 0.205 + 0.238 = 0.44 < 1.33$$

(correcto)

∴ la sección se ACEPTA.

- Trabes tipo D



Propiedades de la sección:

$$\text{Area} = 75.49 \text{ cm}^2$$

$$I_x = 78423 \text{ cm}^4$$

$$S_x = 1961 \text{ cm}^3$$

$$r_x = 32.2 \text{ cm}$$

$$r_y = 4.1 \text{ cm}$$

$$r_t = 5.0 \text{ cm}$$

$$k_x = k_y = 1.0$$

Carga uniformemente distribuida $w = 17.93 \text{ kg/cm}$

Carga axial $P = 26.91 \text{ ton}$ (compresión).

$$Lbx = Lby = 373 \text{ cm}$$

Esfuerzo a Compresión:

$$\frac{kx \times Lx}{rx} = \frac{1.0 \times 373}{32.2} = 11.58$$

$$\frac{ky \times Ly}{ry} = \frac{1.0 \times 373}{4.1} = 91 ; \quad \text{Rige} \Rightarrow Fa = 0.9922 \text{ ton/cm}^2$$

$$fa = 26.91 \text{ ton} / 75.49 \text{ cm}^2 = 0.356 \text{ ton/cm}^2$$

$$fa/Fa = 0.356 / 0.9922 = 0.359$$

Esfuerzo a Flexión:

$$\frac{d}{tw} \leq \frac{169.66}{\sqrt{Fy}} (1 - 3.74 fa/Fy) ; \quad fa/Fy = 0.356/2.53 = 0.141 \\ fa/Fy < 0.16$$

$$\frac{d}{tw} = \frac{80}{0.48} = 166.67$$

$$\frac{169.66}{\sqrt{Fy}} (1 - 3.74 fa/Fy) = \frac{169.66}{\sqrt{2.53}} (1 - 3.74 \times 0.141) = 50.42$$

166.67 > 50.42 \Rightarrow sección NO compacta.

$$Fb' = \frac{843.68 \times Cb}{Lb \times d / Af} \quad Cb = 1.0 \quad Af = 19 \text{ cm}^2 \\ Lb = 373 \text{ cm} \quad d = 80 \text{ cm}$$

$$Fb' = \frac{843.68 \times 1}{373 \times 80 / 19} \quad Fb' = 0.537 \text{ ton/cm}^2 \\ Fb' < 0.6 Fy$$

$$\frac{Lb}{rt} \geq \sqrt{\frac{35841.67 \times Cb}{Fy}}$$

$$\frac{Lb}{rt} = \frac{373}{5.0} = 74.6 < \sqrt{\frac{35841.67 \times Cb}{Fy}} = \sqrt{\frac{35841.67 \times 1}{2.53}} = 119.02$$

$$\frac{Lb}{rt} \geq \sqrt{\frac{7168.33 \times Cb}{Fy}}$$

$$\frac{Lb}{rt} = 74.6 > \sqrt{\frac{7168.33 \times Cb}{Fy}} = \sqrt{\frac{7168.33 \times 1.0}{2.53}} = 53.23$$

$$Fb'' = \left[\frac{2}{3} - \frac{Fy (Lb/rt)^2}{107525 \times Cb} \right] \times Fy$$

$$Fb'' = \left[\frac{2}{3} - \frac{2.53 (74.6)^2}{107525 \times 1} \right] \times 2.53 \quad Fb'' = 1.355 \text{ ton/cm}^2$$

Como $Fb'' > Fb'$ $\Rightarrow Fb = 1.355 \text{ ton/cm}^2$

$$M = \frac{w \times L^2}{8} = \frac{17.93 \text{ kg/cm} \times (373 \text{ cm})^2}{8} = 311,823 \text{ kg-cm}$$
$$= 311.823 \text{ ton-cm}$$

$$fb = \frac{M}{Sx} = \frac{311.823 \text{ ton-cm}}{1961 \text{ cm}^3} = 0.159 \text{ ton/cm}^2$$

$$fb/Fb = 0.159/1.355 = 0.117$$

Revisión por esfuerzos combinados (Flexo-compresión):

Como $fa/Fa > 0.15$ se deben cumplir:

$$\frac{fa}{Fa} + \frac{Cm fb}{(1 - fa/F'e) Fb} \leq 1.33$$

$$\frac{fa}{0.6 Fy} + \frac{fb}{Fb} \leq 1.33$$

$$F'e = \frac{12 \times \pi^2 E}{23 (k Lx/rx)^2} \quad \frac{kx \times Ix}{rx} = 11.58$$

$$F'e = \frac{12 \times \pi^2 \times 2100}{23 (11.58)^2} = 80.64 \text{ ton/cm}^2$$

$$\frac{fa}{Fa} + \frac{Cm fb}{(1 - fa/F'e) Fb} \leq 1.33$$

(correcto)

$$0.359 + \frac{0.85 \times 0.159}{(1 - 0.356/80.64) \times 1.355} = 0.359 + 0.100 < 1.33$$

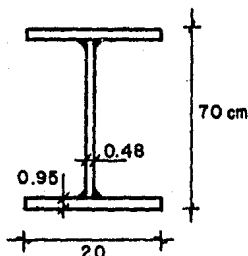
$$\frac{f_a}{0.6 F_y} + \frac{f_b}{F_b} \leq 1.33$$

$$\frac{0.356}{0.6 \times 2.53} + \frac{0.159}{1.355} = 0.235 + 0.117 = 0.35 < 1.33$$

(correcto)

∴ la sección se ACEPTA.

- Trabes tipo E



Propiedades de la sección:

$$\begin{aligned} \text{Area} &= 70.69 \text{ cm}^2 \\ I_x &= 57931 \text{ cm}^4 \\ S_x &= 1655 \text{ cm}^3 \\ r_x &= 28.6 \text{ cm} \\ r_y &= 4.2 \text{ cm} \\ r_t &= 5.1 \text{ cm} \\ k_x &= k_y = 1.0 \end{aligned}$$

Carga uniformemente distribuida $w = 16.09 \text{ kg/cm}$

Carga axial $P = 12.59 \text{ ton}$ (compresión).

$$L_{bx} = L_{by} = 291 \text{ cm}$$

Esfuerzo a Compresión:

$$\frac{k_x \times I_x}{r_x} = \frac{1.0 \times 291}{28.60} = 10.17$$

$$\frac{k_y \times L_y}{r_y} = \frac{1.0 \times 291}{4.2} = 69.29 ; \text{ Rige } \Rightarrow F_a = 1.1574 \text{ ton/cm}^2$$

$$f_a = 12.59 \text{ ton} / 70.69 \text{ cm}^2 = 0.178 \text{ ton/cm}^2$$

$$f_a/F_a = 0.178/1.1574 = 0.154$$

Esfuerzo a Flexión:

$$F_b = 1.493 \text{ ton/cm}^2$$

$$M = \frac{w \times L^2}{8} = \frac{16.09 \text{ kg/cm} \times (291 \text{ cm})^2}{8} = 170,315 \text{ kg-cm} \\ = 170,315 \text{ ton-cm}$$

$$f_b = \frac{M}{Sx} = \frac{170,315 \text{ ton-cm}}{1655 \text{ cm}^3} = 0.103 \text{ ton/cm}^2$$

$$f_b/F_b = 0.103 / 1.493 = 0.069$$

Revisión por esfuerzos combinados (Flexo-compresión):

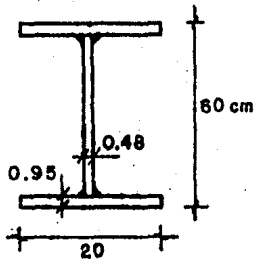
Como $f_a/F_a \approx 0.15$ se debe cumplir:

$$f_a/F_a + f_b/F_b \leq 1.33$$

$$0.402 + 0.069 = 0.47 << 1.33.$$

∴ se ACEPTA la sección.

- Trabes tipo F



Propiedades de la sección:

$$\begin{aligned} \text{Area} &= 65.89 \text{ cm}^2 \\ I_x &= 40973 \text{ cm}^4 \\ S_x &= 1366 \text{ cm}^3 \\ r_x &= 24.9 \text{ cm} \\ r_y &= 4.4 \text{ cm} \\ r_t &= 5.2 \text{ cm} \\ k_x &= k_y = 1.0 \end{aligned}$$

Carga uniformemente distribuida $w = 14.25 \text{ kg/cm}$

Carga axial $P = 2.916 \text{ ton}$ (compresión).

$$L_{bx} = L_{by} = 228 \text{ cm.}$$

Esfuerzo a Compresión:

$$\frac{k_x \times L_x}{r_x} = \frac{1.0 \times 228}{24.9} = 9.2$$

$$\frac{ky \times Ly}{ry} = \frac{1.0 \times 228}{4.4} \approx 51.8 ; \text{ Rige } \Rightarrow Fa = 1.2802 \text{ ton/cm}^2$$

$$fa = 2.916 \text{ ton} / 65.89 \text{ cm}^2 = 0.044$$

$$fa / Fa = 0.044 / 1.2802 = 0.034$$

Esfuerzo a Flexión:

$$Fb = 1.518 \text{ ton/cm}^2$$

$$M = \frac{w \times L^2}{8} = \frac{14.25 \text{ kg/cm} \times (228 \text{ cm})^2}{8} = 92,597 \text{ kg-cm} \\ = 92.597 \text{ ton-cm}$$

$$fb = \frac{M}{Sx} = \frac{92.597 \text{ ton-cm}}{1366 \text{ cm}^3} = 0.068 \text{ ton/cm}^3$$

$$fb/Fb = 0.068 / 1.518 = 0.045$$

Revisión por esfuerzos combinados (Flexo-compresión):

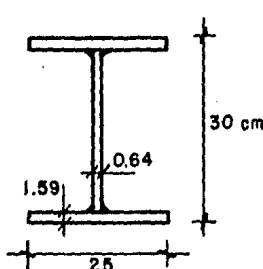
Como $fa/Fa < 0.15$ se debe cumplir:

$$fa/Fa + fb/Fb \leq 1.33$$

$$0.034 + 0.045 = 0.08 < 1.33 \quad (\text{correcto}).$$

∴ la sección se ACEPTA.

Anillo de Compresión



Propiedades de la sección:

$$\text{Area} = 96.66 \text{ cm}^2$$

$$Ix = 17087 \text{ cm}^4$$

$$Sx = 1139 \text{ cm}^3$$

$$rx = 13.3 \text{ cm}$$

$$ry = 6.5 \text{ cm}$$

$$rt = 7.0 \text{ cm}$$

$$kx = ky = 1.0$$

Solicitud: Carga muerta + viento.

Condición de carga No. 4

Elemento No. 113 del modelo matemático.

Momento en nudo i = - 3059 ton-cm

Momento en nudo j = 2780 ton-cm

Fuerza axial = 5.72 ton

Fuerza cortante = 14.03 ton

$L_x = L_y = 186 \text{ cm}$

Esfuerzo a Compresión:

$$\frac{k_x \times L_x}{r_x} = \frac{1.0 \times 186}{13.3} = 14.0$$

$$\frac{k_y \times L_y}{r_y} = \frac{1.0 \times 186}{6.5} = 28.6 ; \quad \text{Rige} \Rightarrow f_a = 1.4097 \text{ ton/cm}^2$$

$$f_a = 5.72 \text{ ton / } 96.66 \text{ cm}^2 = 0.059 \text{ ton/cm}^2$$

$$f_a/F_a = 0.059/1.4097 = 0.042$$

Esfuerzo a Flexión:

$$\frac{d}{tw} \leq \frac{169.66}{\sqrt{F_y}} (1 - 3.74 f_a/F_y) ; \quad f_a/F_y = 0.059/2.53 = 0.02 \\ f_a/F_y << 0.16$$

$$\frac{d}{tw} = \frac{30}{0.64} = 46.88$$

$$\frac{169.66}{\sqrt{F_y}} (1 - 3.74 f_a/F_y) = \frac{169.66}{\sqrt{2.53}} (1 - 3.74 \times 0.02) = 98.69$$

$$46.88 < 98.69$$

$$L_b \leq \frac{20.1416 \text{ bf}}{\sqrt{F_y}}$$

$$L_b = 186 < \frac{20.1416 \text{ bf}}{\sqrt{F_y}} = \frac{20.1416 \times 25}{\sqrt{2.53}} = 316.57$$

$$Lb \leq \frac{1405.56}{(d/Af)F_y} \quad Af = 1.59 \times 25 = 39.75 \text{ cm}^2$$

$$Lb = 186 < \frac{1405.56}{(d/Af) F_y} = \frac{1405.56}{(30/39.75) \times 2.53} = 736.11$$

$$\frac{bf}{2tf} \leq \frac{25.185}{\sqrt{F_y}}$$

$$\frac{bf}{2tf} = \frac{25}{2 \times 1.59} = 7.86 < \frac{25.185}{\sqrt{F_y}} = \frac{25.185}{\sqrt{2.53}} = 15.83$$

$$\frac{bf}{2tf} \leq \frac{17.2315}{\sqrt{F_y}}$$

$$\frac{bf}{2tf} = 7.86 < \frac{17.2315}{\sqrt{F_y}} = \frac{17.2315}{\sqrt{2.53}} = 10.83 \Rightarrow$$

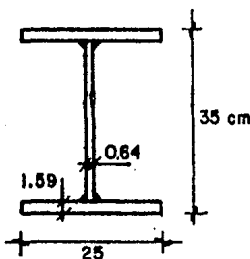
La sección es Compacta $\Rightarrow F_b = 0.66 F_y$

$$F_b = 1.687 \text{ ton/cm}^2$$

$$f_b = \frac{M}{S_x} = \frac{3059 \text{ ton-cm}}{1139 \text{ cm}^3} = 2.686 \text{ ton/cm}^2$$

$$\frac{f_b}{F_b} = \frac{2.686}{1.687} = 1.592 \quad \therefore \text{La sección } \underline{\text{NO}} \text{ se acepta.}$$

Se propone la siguiente sección:



Area	= 99.86 cm ²
I _x	= 23920 cm ⁴
S _x	= 1367 cm ³
r _x	= 15.5 cm
r _y	= 6.4 cm
r _t	= 6.9 cm

Esfuerzo a Compresión:

$$\frac{kx \times Lx}{r_x} = \frac{1.0 \times 186}{15.5} = 12.00$$

$$\frac{k_y \times L_y}{r_y} = \frac{1.0 \times 186}{6.4} = 29.06 ; \text{ Rige } \Rightarrow F_a = 1.4097 \text{ ton/cm}^2$$

$$f_a = 5.72 \text{ ton} / 99.86 \text{ cm}^2 = 0.057 \text{ ton/cm}^2$$

$$f_a/F_y = 0.057/1.4097 = 0.041$$

Esfuerzo a Flexión:

$$\frac{d}{t_w} \leq \frac{169.66}{\sqrt{F_y}} (1 - 3.74 f_a/F_y) ; \quad f_a/F_y = 0.057/2.53 = 0.023 \\ f_a/F_y \ll 0.16$$

$$\frac{d}{t_w} = \frac{35}{0.64} = 54.69$$

$$\frac{169.66}{\sqrt{F_y}} (1 - 3.74 f_a/F_y) = \frac{169.66}{\sqrt{2.53}} (1 - 3.74 \times 0.023) = 97.49$$

$$54.69 < 97.49$$

$$L_b \leq \frac{1405.56}{(d/A_f) F_y} \quad A_f = 39.75 \text{ cm}^2$$

$$L_b = 186 < \frac{1405.56}{(d/A_f) F_y} = \frac{1405.56}{(35/39.75) \times 2.53} = 630.95 \Rightarrow$$

$$\text{La sección es Compacta} \Rightarrow F_b = 0.66 F_y$$

$$F_b = 1.687 \text{ ton/cm}^2$$

$$f_b = \frac{M}{S_x} = \frac{3059 \text{ ton-cm}}{1367 \text{ cm}^3} = 2.238 \text{ ton/cm}^2$$

$$f_b/F_b = 2.238/1.687 = 1.327$$

Revisión por esfuerzos combinados (Flexo-compresión):

Como $f_a/F_a < 0.15$ se debe cumplir:

$$f_a/F_a + f_b/F_b \leq 1.333$$

$$0.041 + 1.327 = 1.368 > 1.333$$

La sección está ESCASA un 2.6% ∴ se ACEPTE.

Revisión por esfuerzo Cortante:

$$fv = 14.03 \text{ ton} / 0.64 \times (35 - 2 \times 1.59) = 0.69 \text{ ton/cm}^2$$

$$Fv = 0.4 F_y = 0.4 \times 2.53 \text{ ton/cm}^2 = 1.012 \text{ ton/cm}^2$$

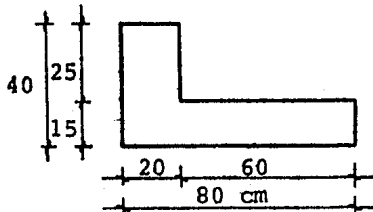
$$fv < Fv \quad (\text{correcto}).$$

- Anillo de Tensión.

Elemento No. 130 del modelo matemático.

Solicitudación: Carga muerta + carga viva.

Condición de carga No. 2



$$\text{Área de concreto} = 1700 \text{ cm}^2$$

$$\text{Concreto } f'c = 200 \text{ kg/cm}^2$$

$$\text{Recubrimiento} = 3 \text{ cm}$$

Acero de refuerzo:

$$f_y = 4,200 \text{ kg/cm}^2$$

$$M_i = + 1,569,000 \text{ kg-cm} \Rightarrow M_u = 1.4 \times M = 2,196,000 \text{ kg-cm}$$
$$M_j = - 1,569,000 \text{ kg-cm}$$

$$\text{Fuerza axial } P = 48,710 \text{ kg.} \quad (\text{tensión}). \quad P_u = 1.4 \times P$$

$$P_u = 1.4 \times 48,710 \text{ kg} = 68,194 \text{ kg.}$$

$$\text{Fuerza cortante máxima } V = 13,090 \text{ kg.} \quad V_u = 1.4 \times V$$

$$V_u = 1.4 \times 13,090 \text{ kg} = 18,326 \text{ kg.}$$

Momento resistente M_r de la trabe:

$$P = 0.75 P_b ; \quad P_b = \frac{A' \times 0.85 f'c}{f_y} + \frac{6000}{6000 + f_y}$$

$$A' = 0.85 \text{ para concreto de } f'c = 200 \text{ kg/cm}^2$$

$$\rho_b = \frac{0.85 \times 0.85 \times 200}{4200} \times \frac{6000}{6000 + 4200} = 0.020$$

$$\rho = 0.75 \times 0.020 = 0.015$$

$$q = f_y/f''c ; \quad q = 0.015 \times 4200/136 = 0.46$$

$$M_r = \emptyset f''c b d^2 q (1 - 0.5q) ; \quad \emptyset = 0.9$$

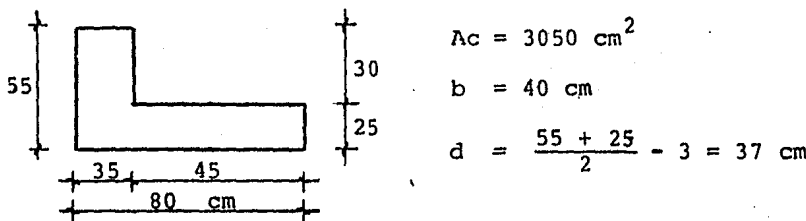
Considerando: $b = \frac{20 + 60}{2} = 40 \text{ cm}$ y $d = \frac{40 + 15}{2} - 3 = 24.5 \text{ cm}$

$$d = 24.5 \text{ cm}$$

$$M_r = 0.9 \times 136 \times 40 \times 24.5^2 \times 0.46 (1 - 0.5 \times 0.46)$$

$$M_r = 1,040,931 \text{ kg-cm} ; \quad M_u = 2,196,600 \text{ kg-cm}$$

Como $M_r < M_u$ NO se acepta \therefore se propone la siguiente sección:



$$M_r = 0.9 \times 136 \times 40 \times 37^2 \times 0.46 (1 - 0.5 \times 0.46)$$

$$M_r = 2,374,069 \text{ kg-cm} > M_u = 2,196,600 \text{ kg-cm} ; (\text{correcto}).$$

Armado por Tensión:

$$f_s = 0.6 f_y = 0.6 \times 4200 \text{ kg/cm}^2 = 2520 \text{ kg/cm}^2$$

$$\text{Area necesaria de acero} = \frac{68194 \text{ kg}}{2520 \text{ kg/cm}^2} = 27.06 \text{ cm}^2$$

Pero para el cálculo del momento resistente se consideró :

$$\rho = 0.015 \quad \text{por lo tanto:}$$

$$\text{Área necesaria de acero} = \rho \times A_c = 0.015 \times 3050 \text{ cm}^2 = 45.75 \text{ cm}^2$$

Usando varilla del No. 6 con $A_v = 2.87 \text{ cm}^2$ se tiene:

$$\text{Número de varillas} = \frac{45.75 \text{ cm}^2}{2.87 \text{ cm}^2} \Rightarrow 16 \text{ varillas.}$$

Se usarán 16 varillas del No. 6

Armado por Cortante:

Se considerará que el cortante es tomado por la sección de 55 cm por 35 cm.

Así, la resistencia al cortante proporcionada por el concreto es:

$$V_c = 0.53 (1 + 0.029 \frac{N_u}{A_g}) \sqrt{f'c} b h$$

$$N_u = P_u = 68,194 \text{ kg} \quad (\text{tensión}).$$

$$V_c = 0.53 (1 + 0.029 \times \frac{-68194}{3050}) \times \sqrt{200} \times 35 \times 55$$

$$V_c = 5,073 \text{ kg}$$

El cortante a resistir por el refuerzo es:

$$V_s = V_u - V_c ; \quad V_s = 18326 - 5073 = 13,253 \text{ kg.}$$

Armando con estribos del No. 3 de $A_v = 0.713 \text{ cm}^2$ y con $f_y = 2320 \text{ kg/cm}^2$ se tiene lo siguiente:

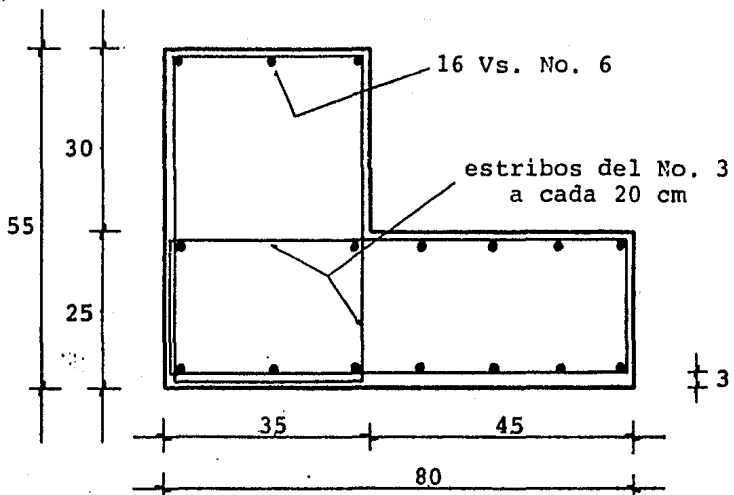
La separación de estribos será:

$$S = \frac{A_v s \times f_y \times d}{V_s} ; \quad A_v s = 3 \times 0.713 \text{ cm}^2 = 2.139 \text{ cm}^2$$

$$S = \frac{2.139 \times 2320 \times 52}{13,253} ; \quad S = 19.47 \text{ cm}$$

Se colocarán estribos del No. 3 a cada 20 centímetros.

Sección definitiva para el anillo de Tensión



$$f'c = 200 \text{ kg/cm}^2$$

$$fy = 4200 \text{ kg/cm}^2$$

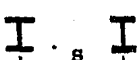
Acot. cms.

A pesar que las trabes metálicas de la estructura fueron diseñadas sin considerar la sección compuesta acero-concreto, para que exista un trabajo conjunto de estos dos materiales, será necesario colocar conectores de cortante; o sea, elementos de "liga" entre la losa de concreto y dichas trabes.

Aquí se muestran los cálculos realizados para el diseño de estos conectores, los cuales son de dos tipos: uno para las trabes de los marcos principales, y otro para las trabes secundarias, para lo cual se emplea la siguiente nomenclatura.

' As

Area de acero de la sección I.

- b Ancho efectivo del patín de secciones compuestas.
- bf Ancho del patín de la sección metálica I.
- d Diámetro del perno que se usará como conector de cortante.
- L Claro de la trabe.
- n Número de conectores a utilizar.
- q Fuerza cortante permisible en un conector.
- s Separación entre trabes. 
- t Espesor de la losa de concreto.
- Vh Carga de cortante nominal.
- w Espaciamiento transversal entre conectores.

- Conejadores para trabe de marco principal.

Ancho efectivo del patín de la sección compuesta:

$$b = L / 4 = 325 \text{ cm} \times 6/4 = 487.5 \text{ cm}$$

$$b = bf + s = 40\text{cm} + 726\text{cm} = 766.0 \text{ cm}$$

$$b = bf + 16t = 40\text{cm} + 16 \times 11.2\text{cm} = 219.2 \text{ cm (rige).}$$

Cortante nominal:

$$Vh = \frac{As \times Fy}{2} = \frac{157.14\text{cm}^2 \times 2.533 \text{ ton/cm}^2}{2} = 199.02 \text{ ton}$$

(rige).

$$Vh = \frac{0.85 f'c b t}{2} = \frac{0.85 \times 0.2 \text{ ton/cm}^2 \times 219.2\text{cm} \times 11.2\text{cm}}{2}$$
$$= 208.7 \text{ ton}$$

Número de conectores necesarios:

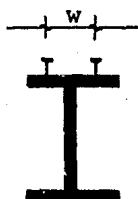
Utilizando pernos de 1/2" x 2" con $q = 2.3$ ton para concreto de $f'c = 200$ kg/cm², se tiene lo siguiente:

$$n = \frac{Vh}{q} = \frac{199.02 \text{ ton}}{2.3 \text{ ton}} = 86.7$$

por lo tanto se usarán 88 pernos.

Separación entre pernos:

$$w = 4 d$$



$$w = 4 \times 1/2 \times 2.54 \text{ cm}$$

$$w = 5.08 \text{ cm} \approx 5 \text{ cm.}$$

Espaciamiento longitudinal de conectores:

$$S = \frac{L}{n} = \frac{325 \text{ cm} \times 6}{88 / 2} = 44 \text{ cm} \Rightarrow 40 \text{ cm}$$

Debe revisarse que: $6d < S < 8t$

$$6 \times 1/2 \times 2.54 \text{ cm} < S < 8 \times 11.2 \text{ cm}$$

$$7.62 \text{ cm} < 40 \text{ cm} < 89.6 \text{ cm} \quad (\text{correcto}).$$

Por lo tanto se colocarán en las trabes principales 2 -- pernos de 1/2" x 2" a cada 40 centímetros.

- Conejadores para trabes secundarias.

Ancho efectivo del patín de la sección compuesta:

$$b = L / 4 = 726 \text{ cm} / 4 = 181.5 \text{ cm} \text{ (rige).}$$

$$b = bf + s = 20 \text{ cm} + 186.4 \text{ cm} = 206.4 \text{ cm}$$

$$b = bf + 16t = 20\text{cm} + 16 \times 11.2\text{cm} = 199.2 \text{ cm}$$

Cortante nominal:

$$V_h = \frac{A_s \times F_y}{2} = \frac{75.49 \text{ cm}^2 \times 2.533 \text{ ton/cm}^2}{2} = 95.61 \text{ ton}$$

(rigidez).

$$V_h = \frac{0.85 f'c b t}{2} = \frac{0.85 \times 0.2 \text{ ton/cm}^2 \times 181.5 \times 11.2}{2}$$
$$= 172.79 \text{ ton}$$

Número de conectores necesarios:

Utilizando pernos de $1/2" \times 2"$ con $q = 2.3 \text{ ton}$, para - concreto de $f'c = 200 \text{ kg/cm}^2$ se tiene lo siguiente:

$$n = \frac{V_h}{q} = \frac{95.61 \text{ ton}}{2.3 \text{ ton}} = 41.6$$

por lo tanto se usarán 42 pernos.

Separación entre pernos:



$$w = 4 d$$

$$w = 4 \times 1/2 \times 2.54 \text{ cm}$$

$$w = 5.08 \text{ cm} \approx 5 \text{ cm}$$

Espaciamiento longitudinal de conectores:

$$s = \frac{L}{n} = \frac{726 \text{ cm}}{42/2} = 34.6 \text{ cm} \Rightarrow 35 \text{ cm}$$

Debe revisarse que: $6d < s < 8t$

$$6 \times 1/2 \times 2.54 \text{ cm} < s < 8 \times 11.2 \text{ cm}$$

7.62 cm < 35 cm < 89.6 cm (correcto).

Por lo tanto se colocarán en trabes secundarias 2 pernos de 1/2" x 2" a cada 35 centímetros.

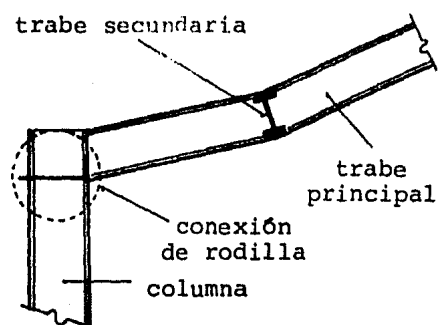
III-e. Diseño de conexiones y anclajes.

En este inciso se muestra el diseño de conexiones; una intermedia al centro del claro de las trabes principales, y otra en la rodilla; o sea, la unión entre columna y dichas trabes. Así mismo se incluye el diseño de la placa base tipo para las columnas. Todo lo anterior se hace tomando en consideración los mayores esfuerzos de los elementos, que son los producidos por la condición de carga No. 4, carga muerta más viento.

Para las conexiones se determina el número de tornillos a emplear, su diámetro y distribución, el espesor de la placa de conexión, atiesadores; así como el de la soldadura; ésta entre placa de conexión y patín, alma y atiesadores.

Por otra parte para la placa base tipo de columnas se revisa la capacidad de aplastamiento en el concreto; se elige la distribución y el diámetro de las anclas; y se determinan los espesores de la placa base, atiesadores, placa tapa, y placa de cortante.

- Conexión de Rodilla.



Solicitaciones:

CM + Viento.

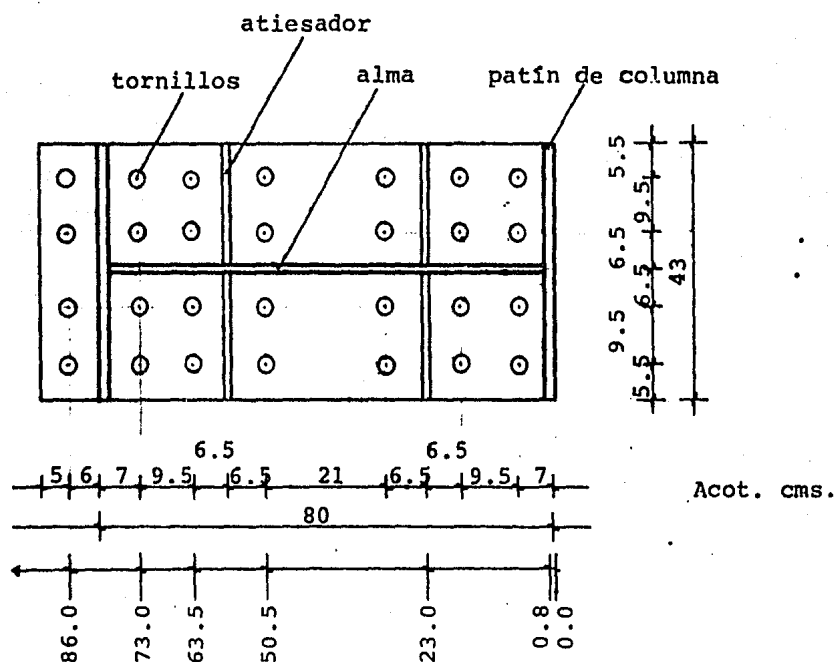
Marco No. 13 (Mod. Mat.)

M = 10400 ton-cm

V = 2.89 ton

P = 59.81 ton

Se propone la siguiente conexión:



Los atiesadores tendrán un espesor de 1/2" y los tornillos serán de acero A-325 de $\emptyset = 1 \frac{1}{4}"$

$$\text{Área de cada tornillo} = 7.92 \text{ cm}^2$$

$$A't = 4 \times 4 \times 7.92 \text{ cm}^2 + (43 \text{ cm} - 0.95 \text{ cm}) 1.27 + 43 \text{ cm} \times 1.59 \text{ cm}$$

$$A't = 248.49 \text{ cm}^2$$

$$Q = 4 \times 7.92 (50.5 + 63.5 + 73 + 86) + (43 - 0.95) \times 1.27 \times 23 + (43 \times 1.59) \times 0.8 = 9931.62 \text{ cm}^3$$

$$I = 4 \times 7.92 (50.5^2 + 63.5^2 + 73^2 + 86^2) + (43 - 0.95) \times 1.27 \times 23^2 + (43 \times 1.59) \times 0.8^2 = 639,955.8 \text{ cm}^4$$

El eje neutro de la conexión se encontrará resolviendo - la siguiente ecuación cúbica:

$$C_1 \bar{Y}^3 + C_2 \bar{Y}^2 + C_3 \bar{Y} + C_4 = 0$$

en donde:

$$C_1 = -1/6 P_{tw}$$

$$C_2 = \frac{P_{tw} D}{2} - \frac{M_{tw}}{2}; \quad D = 80 \text{ cm}/2 = 40 \text{ cm}$$

$$C_3 = P (A't D - Q) - M A't$$

$$C_4 = M Q - P (Q D - I)$$

Sustituyendo valores y resolviendo la ecuación:

$$\bar{Y} = 42.63 \text{ cm}$$

$$\therefore A't = 248.49 \text{ cm}^2 + (42.63 - 1.59) \times 0.95$$

$$A't = 287.48 \text{ cm}^2$$

$$I = 4 \times 7.92 (7.9^2 + 20.9^2 + 30.4^2 + 43.4^2) + (43 - 0.95) \times 1.27 \times (42.63 - 23)^2 + (43 \times 1.59) \times (42.63 - 0.8)^2 + [(42.63 - 1.59)^3 \times 0.95] / 3$$

$$I = 266,861.45 \text{ cm}^4$$

Esfuerzos:

$$\frac{M}{I} c + \frac{P}{A} \leq 1.33 \times 0.6 F_y \quad (\text{para CM + Viento}).$$

$$\frac{M}{I} c + \frac{P}{A} \leq 2.02 \text{ ton/cm}^2$$

Esfuerzo en patín de compresión:

$$\frac{10400}{266861.45} (42.63) + \frac{59.81}{287.48} = 1.87 < 2.02 \quad (\text{correcto})$$

Esfuerzo en patín de tensión:

$$\frac{10400}{266861.45} (80 - 42.63) - \frac{59.81}{287.48} = 1.25 < 2.02 \quad (\text{correcto})$$

Esfuerzos admisibles en tornillos:

$$F_t = 3870 \text{ kg/cm}^2 - 1.8 f_v \leq 3096 \text{ kg/cm}^2$$

$$\text{Como } f_v \text{ es pequeño } \Rightarrow F_t = 3096 \text{ kg/cm}^2$$

Por tratarse de una condición accidental:

$$F_t = 1.33 \times 3.096 \text{ ton/cm}^2 = 4.12 \text{ ton/cm}^2$$

Esfuerzos actuantes en tornillos:

$$f_{t1} = \frac{10400}{266861.45} (43.37) - \frac{59.81}{287.48} = 1.48 \text{ ton/cm}^2 < 4.12 \\ (\text{correcto})$$

$$f_{t2} = 0.03897 (30.37) - 0.20805 = 0.975 \text{ ton/cm}^2$$

$$f_{t3} = 0.03897 (20.87) - 0.20805 = 0.605 \text{ ton/cm}^2$$

$$f_{t4} = 0.03897 (7.87) - 0.20805 = 0.099 \text{ ton/cm}^2$$

∴ SE ADMITE la conexión.

Fuerzas de tensión en tornillos:

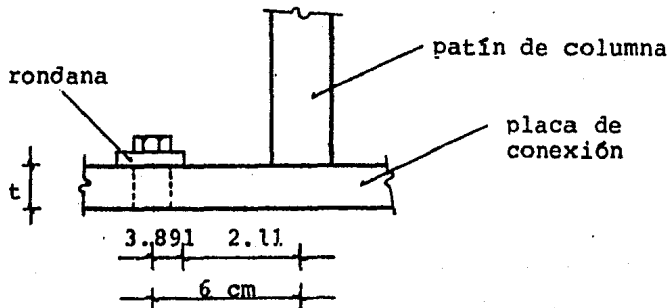
$$P_1 = 7.92 \text{ cm}^2 \times 1.48 \text{ ton/cm}^2 = 11.7 \text{ ton} \times 0.75 = 8.79 \text{ ton}$$

$$P_2 = 7.92 \text{ cm}^2 \times 0.975 \text{ ton/cm}^2 = 7.7 \text{ ton} \times 0.75 = 5.79 \text{ ton}$$

$$P_3 = 7.92 \text{ cm}^2 \times 0.605 \text{ ton/cm}^2 = 4.8 \text{ ton} \times 0.75 = 3.60 \text{ ton}$$

$$P_4 = 7.92 \text{ cm}^2 \times 0.099 \text{ ton/cm}^2 = 0.8 \text{ ton} \times 0.75 = 0.59 \text{ ton}$$

Espesor de placa de conexión:



$$\text{Momento } M = PL/2 ; P = 8791 \text{ kgs.}$$

$$M = 8791 \times 2.11 / 2 = 9,275 \text{ kg-cm}$$

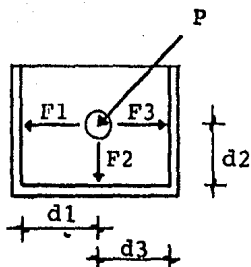
$$\text{Espesor } t = \sqrt{\frac{6 M}{b \times 0.75 F_y}}$$

$$t = \sqrt{\frac{6 \times 9275 \text{ kg-cm}}{11 \times 0.75 \times 2530 \text{ kg/cm}^2}} = 1.63 \text{ cm}$$

Sea placa de 3/4" \Rightarrow $t = 1.905 \text{ cm} > 1.63 \text{ cm}$ (correcto).

Cálculo de soldadura:

Las fuerzas actuantes para el cálculo de la soldadura se
rán obtenidas con las siguientes expresiones.



$$F_1 = P \times \left[\frac{1}{(d_1)^3 + (d_2)^3 + (d_3)^3} \right]$$

$$F_2 = P \times \left[\frac{1}{(d_1)^3 + (d_2)^3 + (d_3)^3} \right]$$

$$F_3 = P \times \left[\frac{1}{(d_1)^3 + (d_2)^3 + (d_3)^3} \right]$$

Por otra parte el espesor de la soldadura t_s estará dado por:

$$t_s = \frac{F_i}{0.7071 f_v L}$$

$0.7071 = \sin 45^\circ$

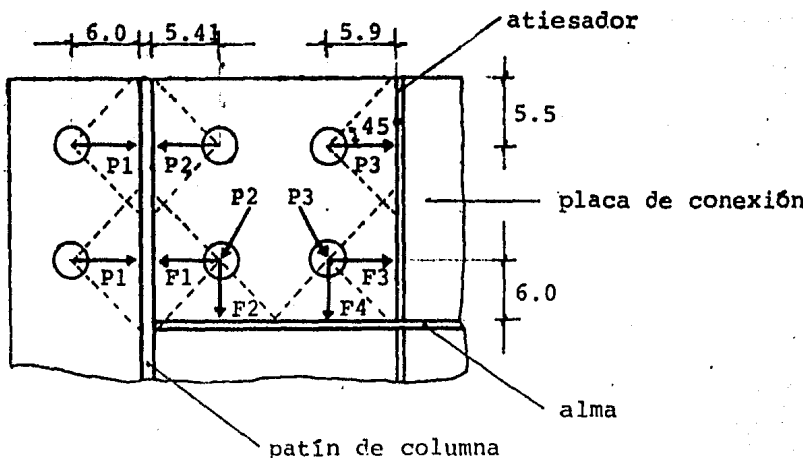
$f_v = 0.3$ Fu (electrodo).

L = Longitud del cordón de soldadura.

F_i = Fuerza en kgs.

Se utilizarán electrodos E-7013

$f_v = 0.3$ fu ; $f_v = 1480$ kg/cm²



$$F_1 = 5.79 \text{ ton} \times \left[\frac{1}{(5.41/5.41)^3 + (5.41/6.0)^3} \right] = 3.34 \text{ ton}$$

$$F_2 = 5.79 \text{ ton} \times \left[\frac{1}{(6.0/5.41)^3 + (6.0/6.0)^3} \right] = 2.45 \text{ ton}$$

$$F_3 = 3.60 \text{ ton} \times \left[\frac{1}{(5.90/5.90)^3 + (5.9/6.0)^3} \right] = 1.85 \text{ ton}$$

$$F_4 = 3.60 \text{ ton} \times \left[\frac{1}{(6.00/5.90)^3 + (6.0/6.0)^3} \right] = 1.75 \text{ ton}$$

Soldadura entre placa de conexión y patín:

$$t_s = \frac{8791 \text{ kg}}{0.7071 \times 1480 \text{ kg/cm}^2 \times 11.5 \text{ cm}} = 0.73 \text{ cm} \Rightarrow$$

$$t_s = 5/16" = 0.79 \text{ cm} > 0.73 \text{ cm} \quad (\text{correcto}).$$

Soldadura entre placa de conexión y alma:

$$t_s = \frac{2450 \text{ kg}}{0.7071 \times 1480 \text{ kg/cm}^2 \times 11.41 \text{ cm}} = 0.21 \text{ cm} \Rightarrow$$

$$t_s = 1/4" = 0.64 \text{ cm} > 0.21 \text{ cm} \quad (\text{correcto}).$$

Soldadura entre placa de conexión y atiesador:

$$t_s = \frac{3600 \text{ kg}}{0.7071 \times 1480 \text{ kg/cm}^2 \times 11.4 \text{ cm}} = 0.30 \text{ cm} \Rightarrow$$

$$t_s = 1/4" = 0.64 \text{ cm} > 0.30 \text{ cm} \quad (\text{correcto}).$$

- Conexión Intermedia.

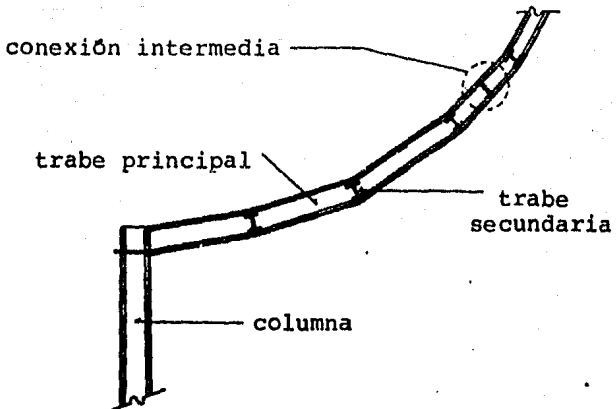
Solicitaciones: Carga muerta + Viento

Marco No. 1 del modelo matemático.

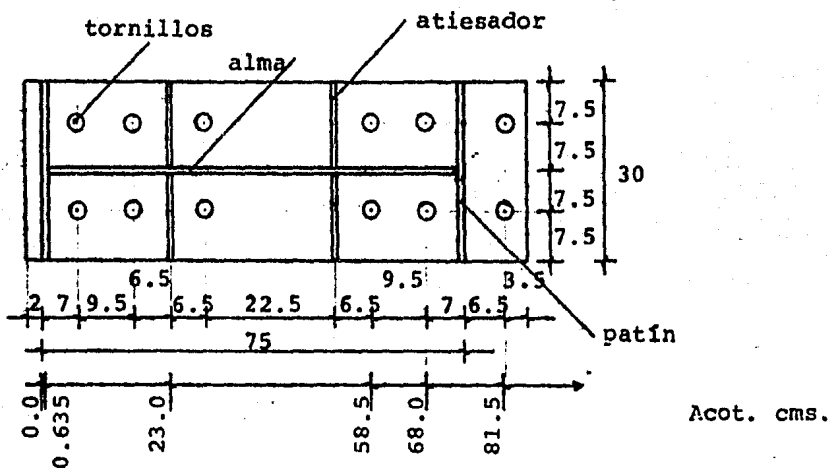
$$M = 3759 \text{ ton-cm}$$

$$V = 1.69 \text{ ton}$$

$$P \approx 0.0 \text{ ton}$$



Se propone la siguiente conexión:



Los atiesadores tendrán un espesor de $3/8"$ y los tornillos serán de acero A-325 de $\phi = 1 \frac{1}{4}"$.

$$\text{Área de cada tornillo} = 7.92 \text{ cm}^2$$

$$A't = 3 \times 2 \times 7.92 \text{ cm}^2 + (30 \text{ cm} - 0.635) \times 0.95 + 30 \times 1.27$$

$$A't = 113.52 \text{ cm}^2$$

$$Q = 2 \times 7.92 (58.5 + 68 + 81.5) + (30 - 0.635) \times 0.95 \times 23 + 30 \times 1.27 \times 0.635 = 3,960.54 \text{ cm}^3$$

$$I = 2 \times 7.92 (58.5^2 + 68^2 + 81.5^2) + (30 - 0.635) \times 0.95 \times 23^2 + 30 \times 1.27 \times 0.635^2 = 247,438.58 \text{ cm}^4$$

Encontrando el eje neutro en forma similar a la conexión anterior: $\bar{y} = 32.02 \text{ cm}$

$$\therefore A't = 113.52 \text{ cm}^2 + (32.02 - 1.27) \times 0.635$$

$$A't = 133.05 \text{ cm}^2$$

$$I = 2 \times 7.92 (26.48^2 + 35.98^2 + 49.48^2) + (30 - 0.635) \times 0.95 \times (32.02 - 23)^2 + (30 \times 1.27) \times (32.02 - 0.635)^2 + \frac{(32.02 - 1.27)^3}{3} \times 0.635$$

$$I = 116,346.61 \text{ cm}^4$$

Esfuerzos:

$$\frac{M}{I} c \pm \frac{P}{A} \leq 1.33 \times 0.6 F_y \quad (\text{para CM + Viento}).$$

$$\frac{M}{I} c \pm \frac{P}{A} \leq 2.02 \text{ ton/cm}^2$$

Esfuerzo en patín de compresión:

$$\frac{3759}{116346.61} \times 32.02 + 0.0 = 1.03 \text{ ton/cm}^2 < 2.02 \text{ ton/cm}^2$$

(correcto).

Esfuerzo en patín de tensión:

$$\frac{3759}{116346.61} \times (75 - 32.02) + 0.0 = 1.39 \text{ ton/cm}^2 < 2.02$$

(correcto).

Esfuerzos admisibles en tornillos:

Al igual que en la conexión anterior: $F_t = 4.12 \text{ ton/cm}^2$

Esfuerzos actuantes en tornillos:

$$f_{t1} = \frac{3759 \text{ ton-cm}}{116346.61 \text{ cm}^4} (49.48\text{cm}) = 1.60 \text{ ton/cm}^2 < 4.12 \text{ ton/cm}^2$$

(correcto).

$$f_{t2} = 0.03231 \times (35.98) = 1.16 \text{ ton/cm}^2$$

$$f_{t3} = 0.03231 \times (26.48) = 0.86 \text{ ton/cm}^2$$

∴ se ACEPTE la conexión.

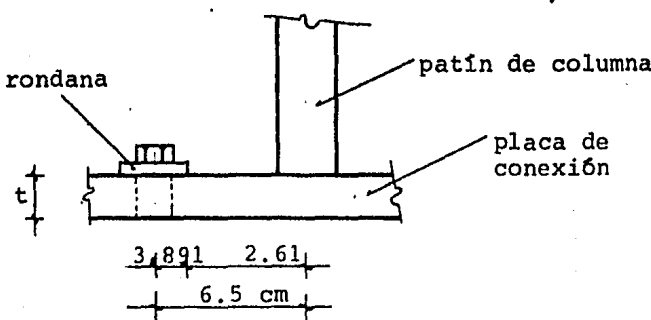
Fuerzas de tensión en tornillos:

$$P_1 = 7.92\text{cm}^2 \times 1.60 \text{ ton/cm}^2 \times 0.75 = 9.50 \text{ ton}$$

$$P_2 = 7.92\text{cm}^2 \times 1.16 \text{ ton/cm}^2 \times 0.75 = 6.89 \text{ ton}$$

$$P_3 = 7.92\text{cm}^2 \times 0.86 \text{ ton/cm}^2 \times 0.75 = 5.11 \text{ ton}$$

Espesor de la placa de conexión:



$$\text{Momento } M = PL/2 = 9500 \times 2.61 / 2$$

$$M = 12,398 \text{ kg-cm}$$

$$\text{Espesor } t = \sqrt{\frac{6M}{b \times 0.75 F_y}} = \sqrt{\frac{6 \times 12398 \text{ kg-cm}}{10 \times 0.75 \times 2530 \text{ kg/cm}^2}}$$

$$t = 1.98 \text{ cm}$$

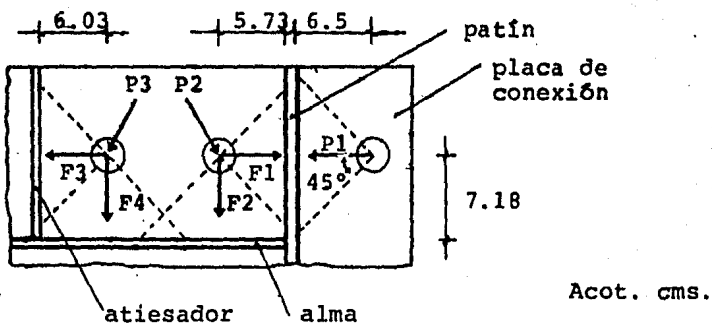
sea placa de $7/8"$ \Rightarrow $t = 2.22 \text{ cm} > 1.98 \text{ cm}$ (correcto).

Cálculo de soldadura:

Las fuerzas actuantes para el cálculo de soldadura serán obtenidas en igual forma que como se hizo en la conexión anterior.

Se utilizarán electrodos E-7013

$$f_v = 0.3 f_u ; \quad f_v = 1480 \text{ kg/cm}^2$$



$$F_1 = 6890 \text{ kgs} \times \left[\frac{1}{(5.73/5.73)^3 + (5.73/7.18)^3} \right] = 4568.2 \text{ kgs.}$$

$$F_2 = 6890 \text{ kgs} \times \left[\frac{1}{(7.18/5.73)^3 + (7.18/7.18)^3} \right] = 2321.8 \text{ kgs.}$$

$$F_3 = 5110 \text{ kgs} \times \left[\frac{1}{(6.03/6.03)^3 + (6.03/7.18)^3} \right] = 3209.1 \text{ kgs.}$$

$$F_4 = 5110 \text{ kgs} \times \left[\frac{1}{(7.18/6.03)^3 + (7.18/7.18)^3} \right] = 1900.9 \text{ kgs.}$$

Soldadura entre placa de conexión y patín:

$$t_s = \frac{9500 \text{ kg}}{0.7071 \times 1480 \text{ kg/cm}^2 \times 13.0 \text{ cm}} = 0.70 \text{ cm} \Rightarrow$$

$$t_s = 5/16" = 0.79 \text{ cm} > 0.70 \text{ cm} \quad (\text{correcto}).$$

Soldadura entre placa de conexión y alma:

$$t_s = \frac{2321.8 \text{ kg}}{0.7071 \times 1480 \text{ kg/cm}^2 \times 12.91 \text{ cm}} = 0.17 \text{ cm} \Rightarrow$$

$$t_s = 5/16" = 0.79 \text{ cm} > 0.17 \text{ cm} \quad (\text{correcto}).$$

Soldadura entre placa de conexión y atiesador:

$$t_s = \frac{3209.1 \text{ kg}}{0.7071 \times 1480 \text{ kg/cm}^2 \times 12.06 \text{ cm}} = 0.25 \text{ cm} \Rightarrow$$

$$t_s = 5/16" = 0.79 \text{ cm} > 0.25 \text{ cm} \quad (\text{correcto}).$$

- Placa Base.

Solicitaciones: Carga muerta + Viento

Marco No. 1 del modelo matemático.

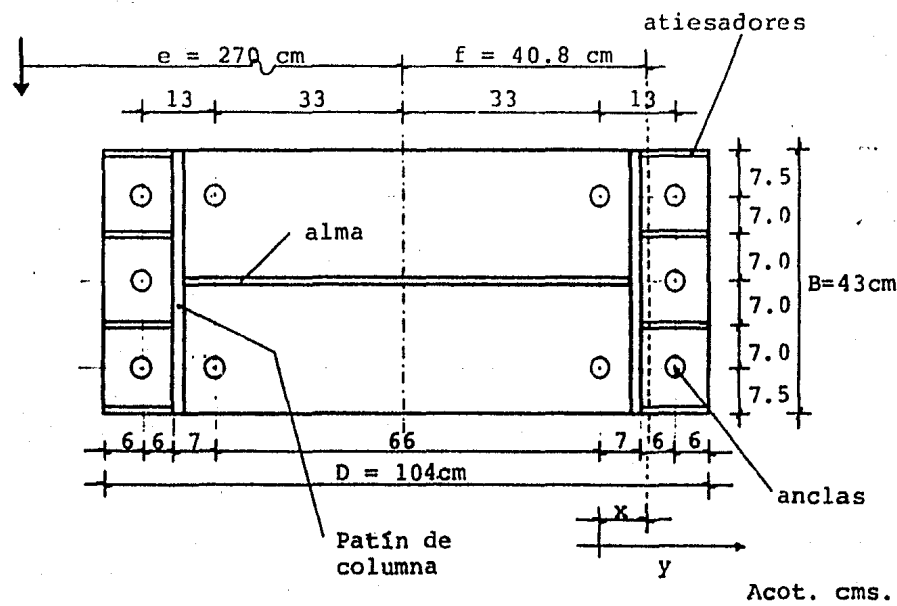
$$M = 78.91 \text{ ton-m} \quad e = M/P$$

$$P = 29.26 \text{ ton} \quad e = \frac{78.91 \text{ ton-m}}{29.26 \text{ ton}}$$

$$V = 8.97 \text{ ton} \quad e = 270 \text{ cm}$$

Se propone lo siguiente:

PLACA BASE



Anclas de $\varnothing = 1 \frac{1}{2}''$ con área = 11.4 cm^2

Atiesadores de $1/2''$ de espesor.

$$x = \frac{\sum A_x \cdot y}{\sum A}$$

$$x = \frac{2(11.4 \times 0.0) + 3(11.4 \times 13.0)}{5 \times 11.4}; \quad x = 7.8 \text{ cm}$$

$$f = 33 \text{ cm} + x = 40.8 \text{ cm}$$

Revisión del esfuerzo de aplastamiento en el dado de concreto:

Se propone un dado de concreto de $f'c = 250 \text{ kg/cm}^2$ y de $120 \times 60 \text{ cm}$ de sección.

$$Ec = 10,000 \sqrt{f'c}$$

$$Ec = 10,000 \sqrt{250} = 158,114 \text{ kg/cm}^2$$

$$Es = 2.1 \times 10^6 \text{ kg/cm}^2$$

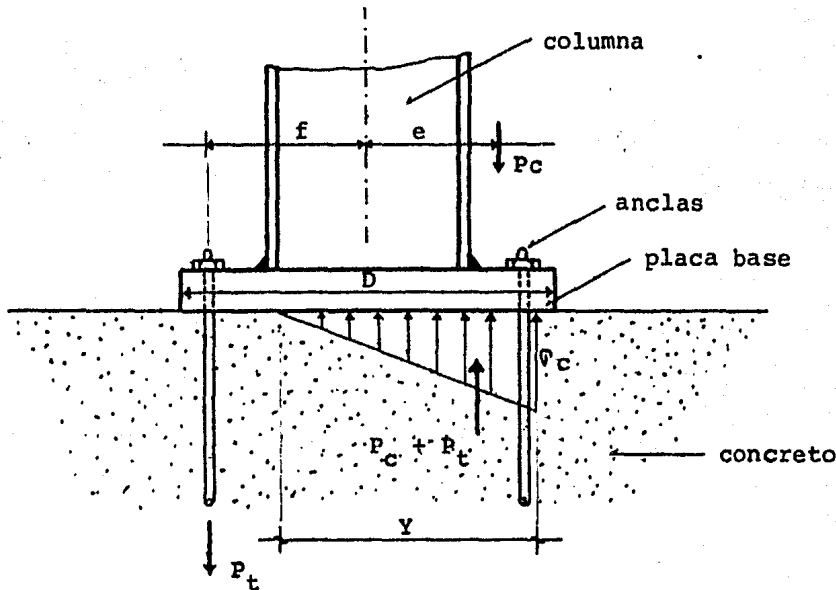
$$n = Es/Ec = 2.1 \times 10^6 / 158114 \approx 13$$

Área de las anclas a tensión: $A_{st} = 5 \times 11.4 \text{ cm}^2 = 57.0 \text{ cm}^2$

$$P_c = 29,260 \text{ kg.}$$

Para la porción de la placa base que se encuentra a compresión se resolverá la siguiente ecuación cúbica en Y :

$$Y^3 + K_1 Y^2 + K_2 Y + K_3 = 0$$



Placa Base. Corte

Para la ecuación anterior:

$$K_1 = 3(e - D/2) = 3(270 - 104/2) = 654$$

$$K_2 = \frac{6 n A_s}{B} (f + e) = \frac{6 \times 13 \times 57}{43} (40.8 + 270) = 32135.27$$

$$K_3 = -K_2(D/2 + f) = -32135.27 (104/2 + 40.8) = -2982153.4$$

Sustituyendo valores y resolviendo para Y :

$$Y = 46.23 \text{ cm}$$

$$P_t = - P_c \left[\frac{D/2 - Y/3 - e}{D/2 - Y/3 + f} \right]$$

$$P_t = - 29260 \left[\frac{104/2 - 46.23/3 - 270}{104/2 - 46.23/3 + 40.8} \right]$$

$$P_t = 88,248.83 \text{ kgs.}$$

El esfuerzo actuante de aplastamiento en el concreto es:

$$\bar{\sigma}_c = \frac{2 (P_c + P_t)}{Y \times B}$$

$$\bar{\sigma}_c = \frac{2 (29260 + 88248.83)}{46.23 \times 43} = 118.2 \text{ kg/cm}^2$$

El esfuerzo permisible de aplastamiento en el concreto está dado por:

$$F_p = 0.35 f'_c \sqrt{A_2/A_1} \leq 0.7 f'_c$$

A₂ : Área de concreto del dado.

A₁ : Área de la placa base

$$A_2 = 120\text{cm} \times 60\text{cm} = 7200 \text{ cm}^2$$

$$A_1 = 104\text{cm} \times 43\text{cm} = 4472 \text{ cm}^2$$

$$F_p = 0.35 \times 250 \text{ kg/cm}^2 \times \sqrt{\frac{7200}{4472}}$$

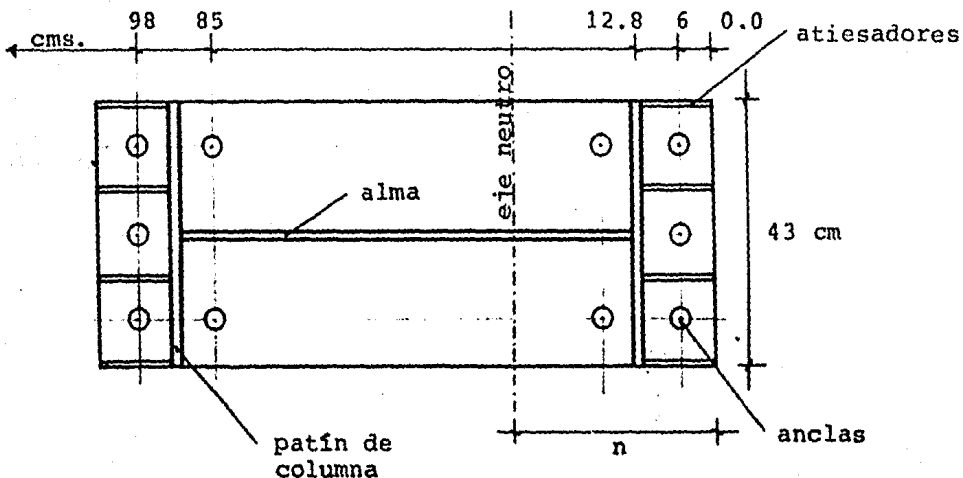
$$F_p = 111.03 \text{ kg/cm}^2 < 0.7 f'_c$$

Incrementando F_p un 33% por tratarse de una condición -- de carga accidental:

$$F_p = 1.33 \times 111.03 = 147.7 \text{ kg/cm}^2$$

$$F_p > \bar{\sigma}_c \quad (\text{correcto}).$$

Determinación del eje neutro de la placa base:



	d	área	momento
3 anclas	98.0	34.2	3351.6
2 anclas	85.0	22.8	1938.0
Patín	12.8	68.37	875.14
4 atiesadores	6.0	60.96	365.76
Alma	$\frac{13.59 + n}{2}$	$(n-13.59)0.95$	$0.48 n^2 - 87.72$
SUMA:		$173.42 + 0.95n$	$6442.78 + 0.48n^2$

$$n = \frac{6442.78 + 0.48 n^2}{173.42 + 0.95n} ; \quad \text{Resolviendo: } n = 34.02 \text{ cm}$$

$$At = 173.42 + 0.95 \times 34.02 = 205.74 \text{ cm}^2$$

$$I = 34.2(98 - 34.02)^2 + 22.8(85 - 34.02)^2 + 68.37(34.02 - 12.8)^2 + 4 \times \frac{1.27 \times 12^3}{12} + 60.96(34.02 - 6)^2 + [0.95 \times (34.02 - 13.59)^3] / 3$$

$$I = 281,330.87 \text{ cm}^4$$

Esfuerzos actuantes:

$$\gamma = \frac{M}{I} c + \frac{Pc}{A}$$

$$\gamma = \frac{7891 \text{ ton-cm}}{281330.87 \text{ cm}^4} \times c + \frac{29.26 \text{ ton}}{205.74 \text{ cm}^2}$$

$$\gamma = 0.0281 \times c + 0.1422$$

Esfuerzo de compresión en atiesadores:

$$\gamma_c = 0.0281 \times 34.02 + 0.1422 = 1.10 \text{ ton/cm}^2$$

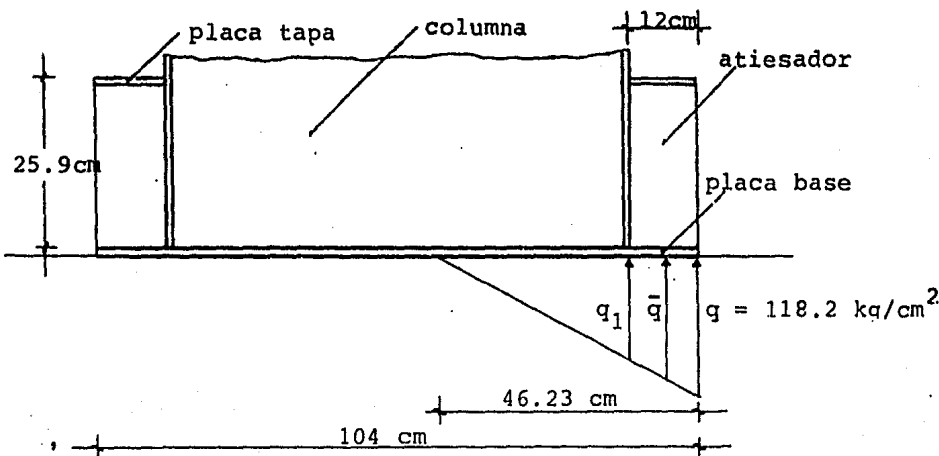
$$1.10 \text{ ton/cm}^2 < 2.02 \text{ ton/cm}^2 \quad (\text{correcto}).$$

Esfuerzo de tensión en la primera línea de anclas:

$$\gamma_t = 0.0281 \times (98 - 34.02) - 0.1422 = 1.66 \text{ ton/cm}^2$$

$$1.66 \text{ ton/cm}^2 < 2.02 \text{ ton/cm}^2 \quad (\text{correcto}).$$

Espesor de la Placa Base:



$$q_1 = 87.52 \text{ kg/cm}^2$$

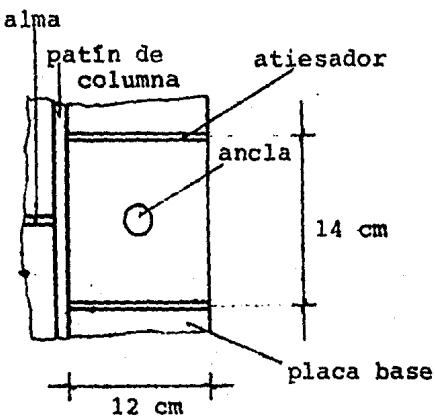
$$\bar{q} \text{ (promedio)} \approx 103.0 \text{ kg/cm}^2$$

El momento al que está sujeta la placa base se puede obtener de acuerdo a la siguiente expresión:

$$M = c q a^2$$

tomada del libro: " Tablas para el cálculo de placas y vigas pares "; Richard Baréš, Editorial Gustavo Gili, S.A. , Segunda edición, Barcelona 1981.

En planta tenemos:



Usando la tabla 1.35
del libro mencionado:

$$a = 12 \text{ cm}$$

$$b = 14 \text{ cm}$$

$$\gamma = a/b = 0.86 \Rightarrow$$

$$c_r = 0.0691$$

$$M = 0.0691 \times 103.0 \times 12^2 = 1025 \text{ kg-cm}$$

Espesor t de la placa base:

$$t = \sqrt{\frac{6 M}{0.75 F_y}} = \sqrt{\frac{6 \times 1025 \text{ kg-cm}}{0.75 \times 2530 \text{ kg/cm}^2}} = 1.80 \text{ cm}$$

Sea placa de $7/8"$ = $2.22 \text{ cm} > 1.80 \text{ cm}$ (correcto).

Revisión de Atiesadores:

Esfuerzo de compresión en atiesadores: $\gamma_c = 1.10 \text{ ton/cm}^2$

Area en un atiesador: $12\text{cm} \times 1.27\text{cm} = 15.24 \text{ cm}^2$

$$I_x = \frac{1.27 \times 12^3}{12} = 182.88 \text{ cm}^4$$

$$I_y = \frac{12 \times 1.27^3}{12} = 2.05 \text{ cm}^4$$

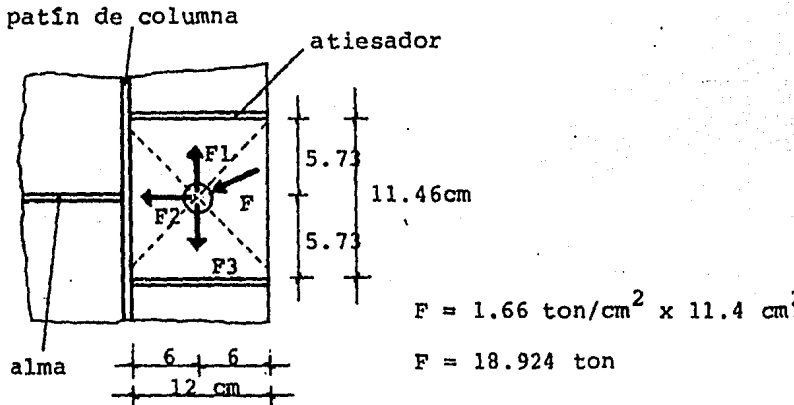
$$r_x = \sqrt{\frac{182.88}{15.24}} = 3.46 \text{ cm}; \quad r_y = \sqrt{\frac{2.05}{15.24}} = 0.37 \text{ cm}$$

$$\frac{k \times L_y}{r_y} = \frac{0.75 \times 25.9 \text{ cm}}{0.37 \text{ cm}} = 53 \Rightarrow$$

$$F_a = 1.2738 \text{ ton/cm}^2 > 1.10 \text{ ton/cm}^2 \quad (\text{correcto}).$$

∴ Se ACEPTAN atiesadores de 1/2" x 12cm x 25.9cm

Espesor de la Placa Tapa:



$$F_1 = F_3 = 18.924 \text{ ton} \times \left[\frac{1}{\left(\frac{5.73}{5.73} \right)^3 + \left(\frac{5.73}{6.00} \right)^3 + \left(\frac{5.73}{5.73} \right)^3} \right]$$

$$F_1 = F_3 = 6.591 \text{ ton}$$

$$F_2 = 18.924 \text{ ton} \times \left[\frac{1}{\left(\frac{6.00}{5.73} \right)^3 + \left(\frac{6.00}{6.00} \right)^3 + \left(\frac{6.00}{5.73} \right)^3} \right]$$

$$F_2 = 5.741 \text{ ton}$$

$$M_1 = M_3 = 6591 \text{ kg} \times (5.73 \text{ cm} - 3.89 \text{ cm}_{(\text{rondana})}) / 2$$

$$M_1 = M_3 = 6,063.72 \text{ kg-cm}$$

$$M_2 = 5,741 \text{ kg} \times (6.00 \text{ cm} - 3.89 \text{ cm}_{(\text{rondana})}) / 2$$

$$M_2 = 6,056.76 \text{ kg-cm}$$

$$t_1 = t_3 = \sqrt{\frac{6 M_1}{b 0.75 F_y}} = \sqrt{\frac{6 \times 6063.72}{12 \times 0.75 \times 2530}} = 1.26 \text{ cm}$$

$$t_2 = \sqrt{\frac{6 M_2}{b 0.75 F_y}} = \sqrt{\frac{6 \times 6056.76}{11.46 \times 0.75 \times 2530}} = 1.29 \text{ cm}$$

Se usará placa de 5/8" \Rightarrow 1.588 cm > 1.29 cm (correcto).

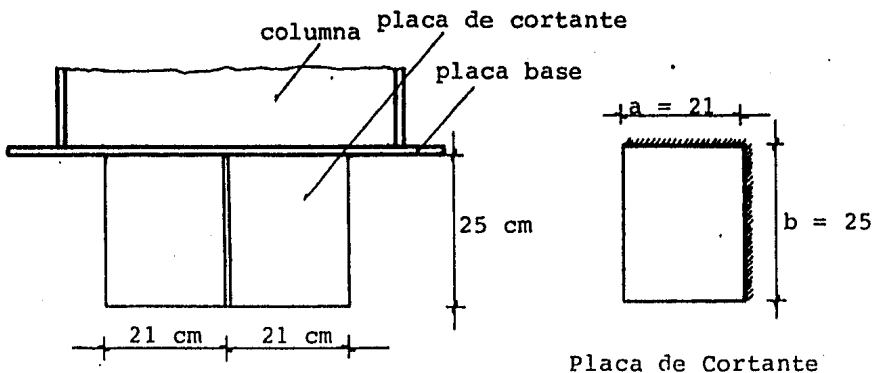
Revisión de anclas:

$$F_t = 0.6 F_y \times 1.33 = 0.6 \times 2.53 \text{ ton/cm}^2 \times 1.33$$

$$F_t = 2.02 \text{ ton/cm}^2$$

$$f_t = 1.66 \text{ ton/cm}^2 < 2.02 \text{ ton/cm}^2 \quad (\text{correcto}).$$

Placa para absorber fuerza cortante en la base de la col. :



El momento al que está sujeta la placa se obtiene con la siguiente expresión:

$$M = c_a q a^2 \quad o \quad M = c_b q b^2$$

tal como se hizo para la placa base.

$$\gamma = a/b = 21/25 = 0.84$$

Del libro: "Tablas para el cálculo de placas y vigas - pares", tabla 1.40

$$c_a = -0.306 \quad y \quad c_b = -0.180$$

Tomando el cortante máximo que es el que se presenta en el marco No. 5 para la condición de CM + CV reducida + sis-
mo, se tiene lo siguiente:

$$q = V/A = 10,120 \text{ kg} / (42\text{cm} \times 25\text{cm}) = 9.64 \text{ kg/cm}^2$$

$$M_a = 0.306 \times 21^2 \times 9.64 = 1,300.9 \text{ kg}$$

Reducción por tratarse de una condición accidental:

$$M_a = 0.75 \times 1,300.9 \text{ kg} = 976.7 \text{ kg}$$

$$M_b = 0.180 \times 25^2 \times 9.64 = 1,084.5 \text{ kg}$$

$$\text{Reducción: } M_b = 0.75 \times 1084.5 \text{ kg} = 813.4 \text{ kg}$$

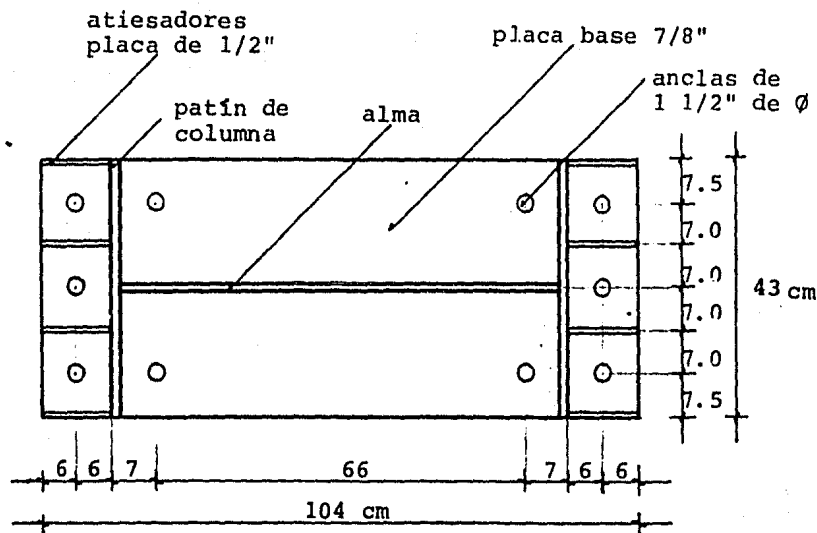
Espesor t de la placa de cortante:

$$t = \sqrt{\frac{6 M}{0.75 F_y}} = \sqrt{\frac{6 \times 976.7 \text{ kg}}{0.75 \times 2530 \text{ kg/cm}^2}} = 1.76 \text{ cm}$$

Se usará placa de 3/4" \Rightarrow 1.9 cm > 1.76 cm (correcto).

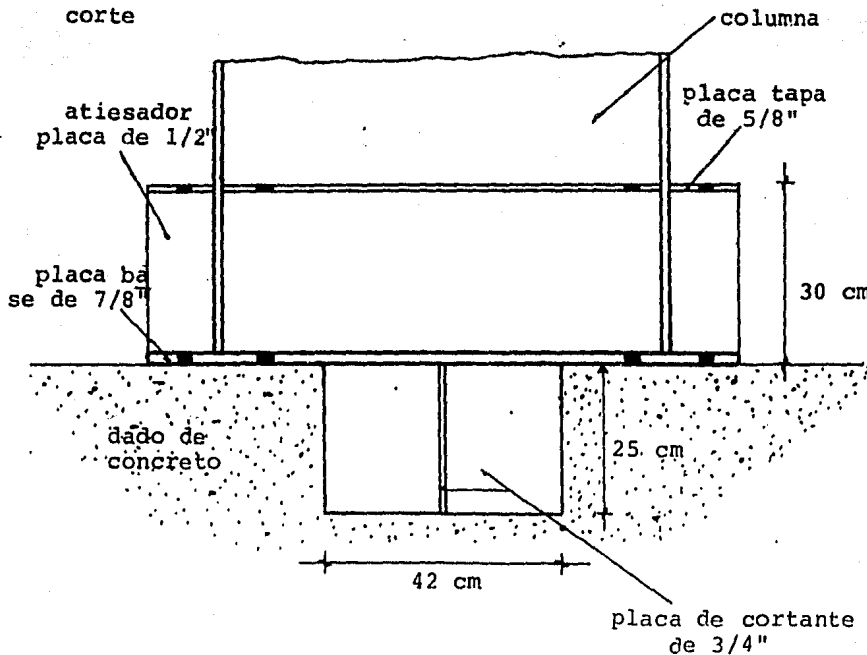
Placa Base

planta



Placa Base

corte



III-f. Cubicación de materiales de la cubierta y del sistema estructural definitivo.

Una vez realizada la revisión de elementos dentro del diseño definitivo de la estructura, se puede resumir que aquellos que sufren cambios son los siguientes:

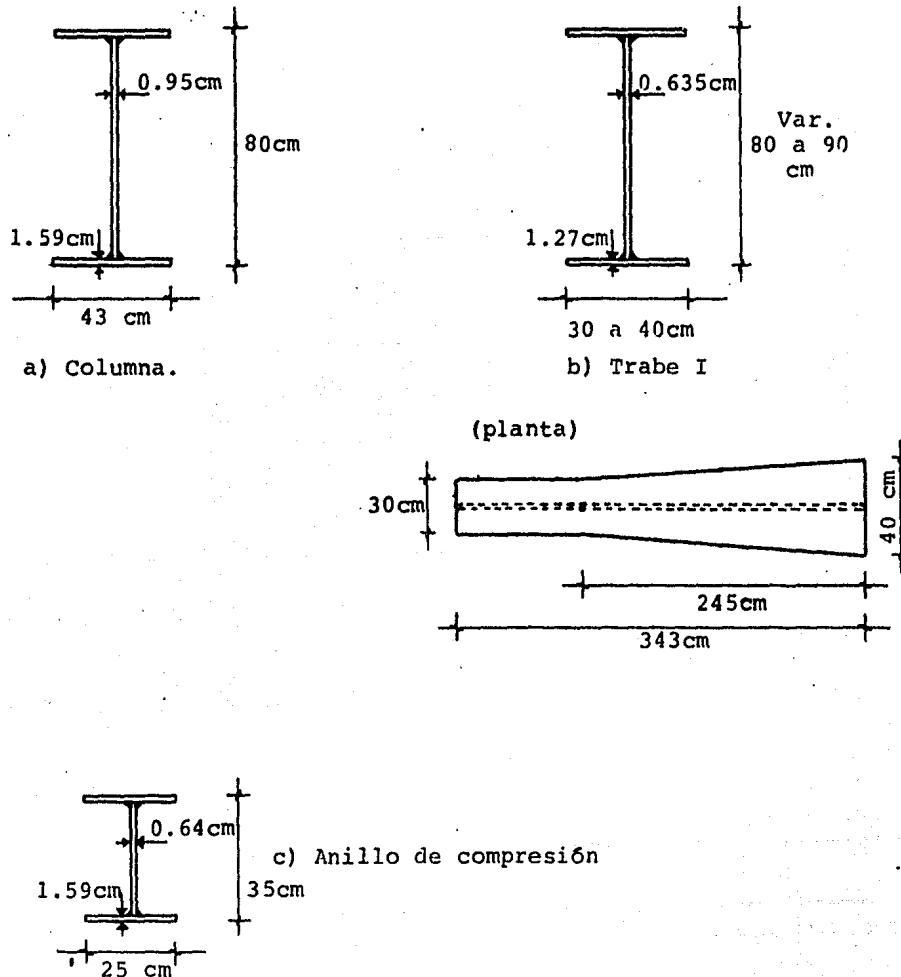


Figura III-20

Con base en las secciones mostradas en las figuras anteriores, se realiza nuevamente la cubicación de esos elementos.

- Columnas:

Long. de cada columna = 9.00 m ; $9.00m \times 16 = 144 m$

Patines: $0.43m \times 124.49 \text{ kg/m}^2 \times 2 \times 144m = 15,416.84 \text{ kgs.}$

Alma: 8,262.27 kgs. Placa 3/8"

- Trabes Principales I:

$$(0.40m + 0.30m)/2 \times 2.45m \times 2 \times 16 = 27.44 \text{ m}^2$$

$$(3.43m - 2.45m) \times 16 \times 0.30m \times 2 = \underline{\underline{9.41 \text{ m}^2}} \\ 36.85 \text{ m}^2$$

Patines: $36.85\text{m}^2 \times 99.59 \text{ kg/m}^2 = 3,669.89 \text{ kg. Placa 1/2"}$

Alma:

$$\underline{\underline{(0.90m - 2 \times 0.0127)}} + \underline{\underline{(0.80m - 2 \times 0.0127)}} \times 3.43m \times 16 =$$

$$= 45.25 \text{ m}^2$$

$$45.25 \text{ m}^2 \times 49.76 \text{ kg/m}^2 = 2,251.64 \text{ kgs. Placa 1/4"}$$

- Anillo de Compresión:

Longitud de cada tramo = 1.86 m.

$$1.86 \text{ m} \times 16 \text{ tramos} = 29.76 \text{ m}$$

Patines: 1,852.41 kgs. Placa de 5/8"

Alma:

$$(0.35m - 2 \times 0.0159) \times 29.76 \text{ m} = 9.47 \text{ m}^2$$

$$9.47 \text{ m}^2 \times 49.76 \text{ kg/m}^2 = 471.23 \text{ kgs. Placa de 1/4"}$$

Así, la tabla II-10 elaborada para la cubicación preliminar de acero estructural, debe modificarse de acuerdo a los pesos obtenidos para los miembros que sufren cambios en sus secciones. La cubicación definitiva de la parte metálica - del sistema queda resumida a continuación.

Elemento Estructu ral	Espesor de Placa				
	4.8mm 3/16"	6.4mm 1/4"	9.5mm 3/8"	12.7mm 1/2"	15.9mm 5/8"
Anillo de Compresión		471.23			1,852.41
Trabes I		2,251.64		3,669.89	
" II		2,047.46		3,174.13	
" III		2,047.46		3,174.13	
" IV		1,915.30		3,174.13	
" V		1,662.87	2,373.35		
" VI		1,390.88	2,359.01		
Columnas			8,262.27		15,416.84
Trabes A	3,388.43		3,470.40		
" B	2,725.68		2,791.61		
" C	2,202.94		2,256.24		
" D	1,740.89		1,783.00		
" E	1,358.17		1,391.03		
" F	1,064.13		1,089.88		
SUMA:	12,480.24	11,786.84	25,776.79	13,192.28	17,269.25

Total = 80,505.40 kgs.

Puesto que la losa de concreto de la cubierta no tiene cambios en sus espesores previamente señalados, la cubicación preliminar de ésta podrá ser considerada como definitiva. Por otra parte, en este inciso es necesario incluir los volúmenes de concreto requeridos para el anillo de tensión y para la cimentación. Los cálculos realizados para obtener dichos volúmenes son los siguientes.

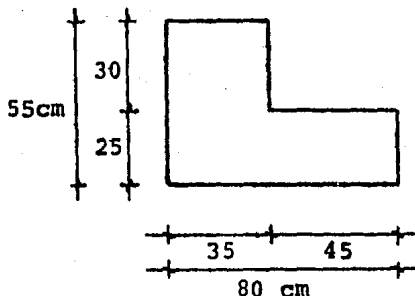
- Anillo de Tensión:

$$f'c = 200 \text{ kg/cm}^2$$

$$\text{Peso volumétrico} = 2400 \text{ kg/m}^3$$

$$\text{Longitud total del anillo} = 7.26 \text{ m} \times 16 = 116.16 \text{ m}$$

Área de la sección transversal:



$$0.35 \times 0.55 + 0.45 \times 0.25 = 0.305 \text{ m}^2$$

Volumen de concreto para el anillo de tensión:

$$0.305 \times 116.16 = 35.43 \text{ m}^3$$

- Cimentación:

$$f'c = 250 \text{ kg/cm}^2$$

$$\text{Peso volumétrico} = 2400 \text{ kg/m}^3$$

Losa	$4.00 \times 4.00 \times 0.40 =$	6.40 m^3
Contra-trabes	$(2 \times 1.20 + 2 \times 1.50) \times 0.30 \times 1.10 =$	1.78 m^3
Muros	$(2 \times 3.60 + 2 \times 4.00) \times 0.20 \times 1.10 =$	3.34 m^3
Dado	$1.20 \times 0.60 \times 1.10 =$	0.79 m^3
		<hr/> 12.31 m^3

Volumen total de concreto para cimentación:

$$12.31 \text{ m}^3 \times 16 = 196.96 \text{ m}^3$$

Las características y volúmenes de los concretos a utilizar para la construcción de esta estructura son:

$f'c (\text{kg/cm}^2)$	Peso volumétrico (kg/m^3)	Volumen (m^3)
200.00	1600.	135.25
200.00	2400	35.43
250.00	2400	196.96

III-g. Diseño de cimentaciones.

Como cimentación para esta estructura se proponen en -- primer lugar zapatas aisladas; pero como los esfuerzos --- transmitidos al suelo resultan ser mucho mayores que los -- permisibles, se opta en diseñar para cada columna una cimentación en cajón con contratrabes de concreto reforzado.

Con el fin de reducir los esfuerzos recibidos por el suelo, la fuerza cortante que se presente en la base de cada columna, será tomada por varillas de atraque las cuales --- irán ahogadas en la losa del piso.

Dentro de este inciso se muestran los cálculos realizados para obtener:

- Los esfuerzos producidos en el suelo, tanto por la zapata aislada que en primera instancia se propone, como por el cajón con contratrabes.
- Los armados de la losa inferior, contratrabes y dado.
- La longitud, diámetro y número necesario de varillas de atraque capaces de absorber la fuerza cortante que se -- presente.
- Zapata Aislada:

Solicitaciones: Carga muerta más viento

Condición de carga No. 4

Marco No. 1 del Modelo Matemático.

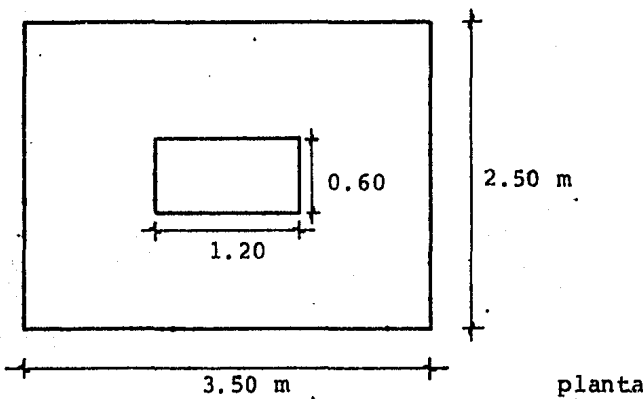
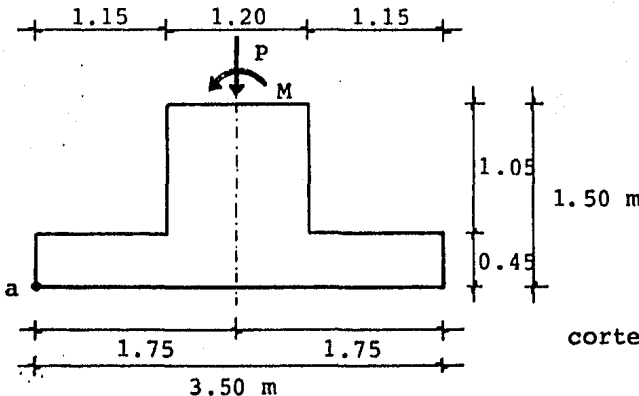
$$M = 78.91 \text{ ton-m}$$

$$P = 29.26 \text{ ton}$$

$$V = -8.97 \text{ ton}$$

Nota: El cortante será tomado por varillas de atraque ahogadas en la losa del piso.

Zapata aislada:



Para el suelo: $\sigma_t = 8 \text{ ton/m}^2$
 $\gamma_t = 1.3 \text{ ton/m}^3$

$\Sigma F_v : \text{ Dado } 1.2 \times 0.6 \times 1.05 \times 2.4 = 1.814 \text{ ton}$

$\text{Zapata } 3.5 \times 2.5 \times 0.45 \times 2.4 = 9.450 \text{ ton}$

$\text{Relleno } (3.5 \times 2.5 \times 1.05 -$

$- 1.2 \times 0.6 \times 1.05) \times 1.3 = 10.961 \text{ ton}$

$P = \underline{\underline{= 29.260 \text{ ton}}}$

$N = 51.485 \text{ ton}$

$$\Sigma Ma = 1.75m \times 51.485 \text{ ton} - 78.91 \text{ ton-m} = 11.189 \text{ ton-m}$$

$$\bar{x} = \frac{11.189 \text{ ton-m}}{51.485 \text{ ton}} = 0.217 \text{ m}$$

$$e = 1.75m - 0.217m = 1.533m$$

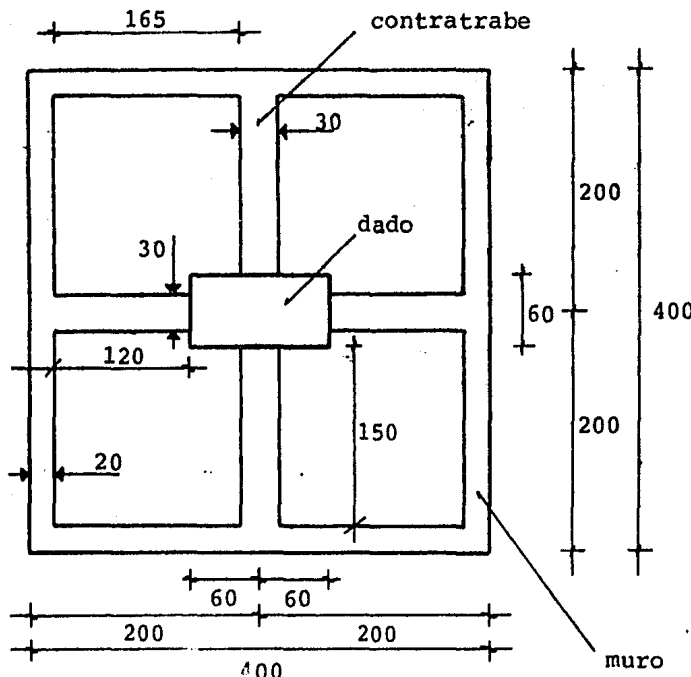
$$B/6 = 2.50/6 = 0.42 \text{ m} ; \quad e > B/6 \Rightarrow$$

$$\sigma_{\max.} = \frac{2 N}{3(L/2 - e) B}$$

$$\sigma_{\max.} = \frac{2 \times 51.485 \text{ ton}}{3(3.50/2 - 1.533) 2.50} = 63.27 \text{ ton/m}^2$$

$$63.27 \text{ ton/m}^2 >> 8 \text{ ton/m}^2$$

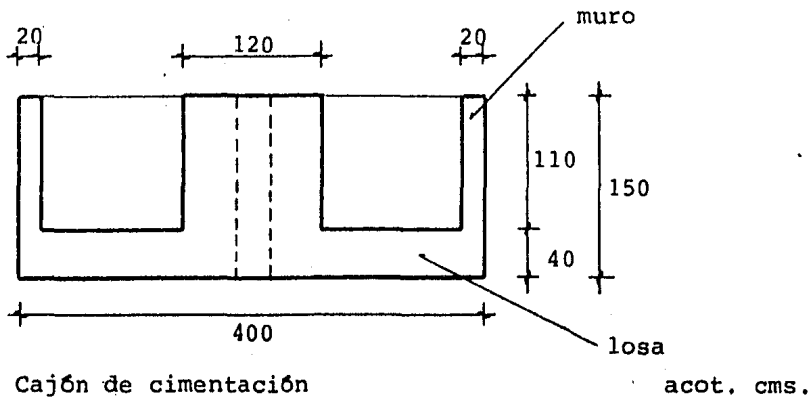
∴ se opta por hacer una cimentación en cajón con contratrabes de concreto reforzado de $f'c = 250 \text{ kg/cm}^2$



Cajón de cimentación

Acot. cms.

Planta



$$\Sigma F_v : \text{Losa: } 4.00 \times 4.00 \times 0.40 \times 2.40 = 15.360 \text{ ton}$$

$$\text{Dado: } 1.20 \times 0.60 \times 1.10 \times 2.40 = 1.901 \text{ ton}$$

$$\text{Contratrabes: } (2 \times 1.20 + 2 \times 1.50) \times 0.30 \times 1.10 \times 2.40 = 4.277 \text{ ton}$$

$$\text{Muros: } (2 \times 3.60 + 2 \times 4.00) \times 0.20 \times 1.10 \times 2.40 = 8.026 \text{ ton}$$

$$\text{Suelo desplazado: } 4.00 \times 4.00 \times 1.50 \times 1.30 = -31.200 \text{ ton}$$

$$\text{Fuerza P:} \quad = 29.260 \text{ ton}$$

$$P_t = 27.624 \text{ ton}$$

Esfuerzos en el suelo:

$$G = \frac{P}{A \times B} \pm \frac{6 \times M}{A^2 \times B} > 0.00$$

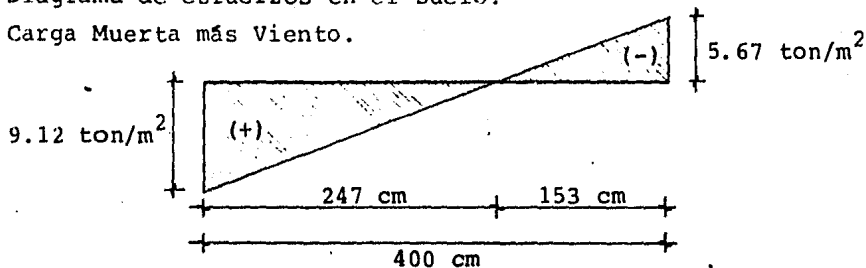
$$G_{\max.} = \frac{27.624}{(4.00)^2} + \frac{6 \times 78.91}{(4.00)^3} = 9.12 \text{ ton/m}^2 < 8.0 \times 1.33$$

$$9.12 \text{ ton/m}^2 < 10.64 \text{ ton/m}^2 \quad (\text{correcto}).$$

$$\sigma_{\text{Min.}} = \frac{27.624}{(4.00)^2} - \frac{6 \times 78.91}{(4.00)^3} = -5.67 \text{ ton/m}^2$$

Diagrama de esfuerzos en el suelo.

Carga Muerta más Viento.



Revisión de esfuerzos en el suelo para CM + CV :

Solicitaciones: M = 24.02 ton-m

P = 53.15 ton

V = 8.124 ton

$$P_t = 15.36 + 1.901 + 4.277 + 8.026 - 31.200 + 53.15 \text{ ton}$$

$$P_t = 51.514 \text{ ton.}$$

$$\sigma_{\text{Max.}} = \frac{51.514}{(4.00)^2} + \frac{6 \times 24.02}{(4.00)^3} = 5.472 \text{ ton/m}^2 < 8.0 \text{ ton/m}^2$$

(correcto).

$$\sigma_{\text{Min.}} = \frac{51.514}{(4.00)^2} - \frac{6 \times 24.02}{(4.00)^3} = 0.968 \text{ ton/m}^2$$

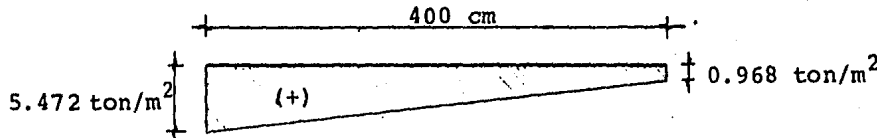
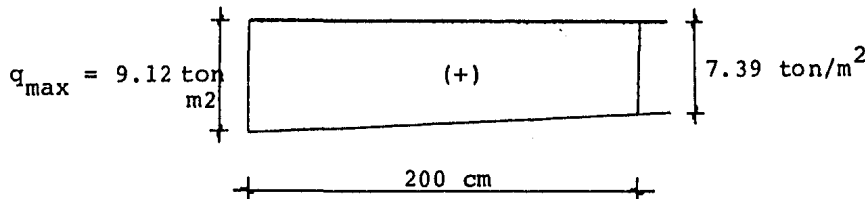


Diagrama de esfuerzos en el suelo.

Carga Muerta más Carga Viva.

Armado de la Losa Inferior:

Para Carga Muerta + Viento se tiene:



$$\text{Tomando una } q \text{ promedio} = \frac{9.12 + 7.39}{2} = 8.26 \text{ ton/m}^2$$

Reducción por tratarse de una condición accidental:

$$q_{\text{prom.}} = 0.75 \times 8.26 = 6.20 \text{ ton/m}^2$$

Utilizando una vez más el libro: "Tablas para el cálculo de placas y vigas pares", tabla 1.12 :

$$\gamma = 2.0/2.0 = 1.0 ; M = c q a^2$$

$$M_{\max.} = 0.0515 \times 6.20 \times 2.00^2 = 1.2772 \text{ ton-m}$$

$$\therefore M_u = 1.4 \times 127720 \text{ kg-cm} = 178,808 \text{ kg-cm}$$

$$k = \frac{178,808}{0.9 \times 100 \times 35^2 \times 250} = 0.0065 \Rightarrow q = 0.0065$$

$$\rho = \frac{0.0065 \times 250}{4200} = 0.0004$$

Pero $\rho_{\min.} = 0.0026$; así :

$$A_s = \rho b d = 0.0026 \times 100 \times 35 = 9.1 \text{ cm}^2/\text{ml}$$

Se colocarán varillas del #5 a cada 20 centímetros en ambos sentidos y lechos.

$$\Rightarrow 5 \times 1.98 \text{ cm}^2 = 9.9 \text{ cm}^2/\text{ml} > 9.1 \text{ (correcto).}$$

Revisión por cortante:

$$q_u = 1.4 \times 6.20 \text{ ton/m}^2 = 8.68 \text{ ton/m}^2$$

$$V_u = (a_1/2 - d) w / [1 + (a_1/a_2)^6] \quad \text{Reglamento D.D.F.}$$

$$V_u = \frac{(0.5 \times 2.00 - 0.35) \times 8.68 \text{ ton/m}^2}{1 + (2/2)^6} = 2.821 \text{ ton}$$

$$V_{cr} = FR. \times b \times d \times (0.2 + 30 \varrho) \times \sqrt{f^*c}$$

$$V_{cr} = 0.8 \times 100 \times 35 (0.2 + 30 \times 0.0026) \sqrt{200}$$

$$V_{cr} = 11,008 \text{ kgs.} >> 2,821 \text{ kgs. (V}_u\text{)} \quad (\text{correcto}).$$

Armado de la Contratrabe:

Ya que la losa inferior es capaz de soportar flexión la contratrabe se revisará únicamente por el cortante que le es transmitido por la losa.

$$V_{tu} = 2.821 \text{ ton} \times 2 = 5.642 \text{ ton}$$

$$V_{cr} = FR. \times b \times d \times (0.2 + 30 \varrho) \times \sqrt{f^*c}$$

$$\text{Utilizando } \varrho_{min.} = 0.0026$$

$$V_{cr} = 0.8 \times 0.8 \times 145 \times 30 (0.2 + 30 \times 0.0026) \sqrt{200}$$

$$V_{cr} = 10.945 \text{ ton} > 5.642 \text{ ton} \quad (\text{correcto}).$$

$$A_s = \varrho \times b \times d = 0.0026 \times 30 \times 145 = 11.31 \text{ cm}^2$$

$$\text{Utilizando 4 varillas del #6} \Rightarrow 11.40 \text{ cm}^2 > 11.31 \text{ cm}^2 \\ (\text{correcto}).$$

Armado del Dado:

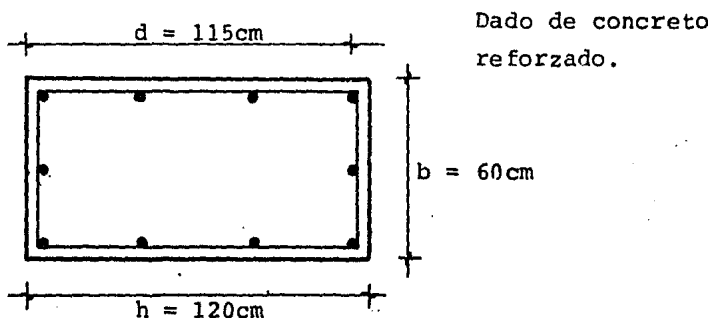
Se revisará como columna corta para CM + Viento.

Para CM + Viento:

$$M = 78.91 \text{ ton-m} \quad e = M/P = 78.91/29.26 = 2.70 \text{ m}$$

$$P = 29.26 \text{ ton} \quad d/h = 115/120 \approx 0.95$$

$$V = 8.97 \text{ ton} \quad e/h = 270/120 = 2.25$$



$$k = \frac{P_u}{F.R. \times b \times h \times f''c} = \frac{1.4 \times 29260}{0.75 \times 60 \times 120 \times 170} = 0.045$$

$$\Rightarrow q = 0.1$$

Para CM + CV :

$$M = 24.02 \text{ ton-m} \quad e = M/P = 24.02/53.15 = 0.452 \text{ m}$$

$$P = 53.15 \text{ ton} \quad d/h = 115/120 \approx 0.95$$

$$V = 8.124 \text{ ton} \quad e/h = 45.2/120 \approx 0.4$$

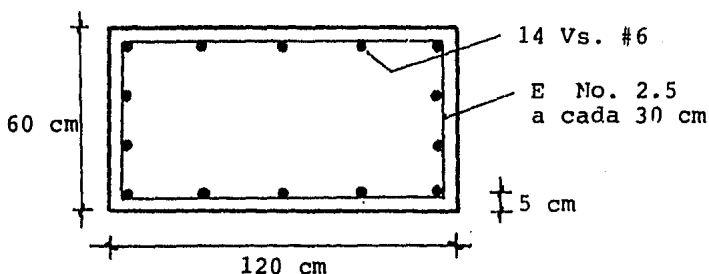
$$k = \frac{1.4 \times 53150}{0.75 \times 60 \times 120 \times 170} = 0.08 \quad \Rightarrow \quad q = 0.1$$

$$\rho = \frac{q \times f''c}{f_y} = \frac{0.1 \times 170}{4200} = 0.004 ; \text{ pero } \rho_{\min.} = 0.005$$

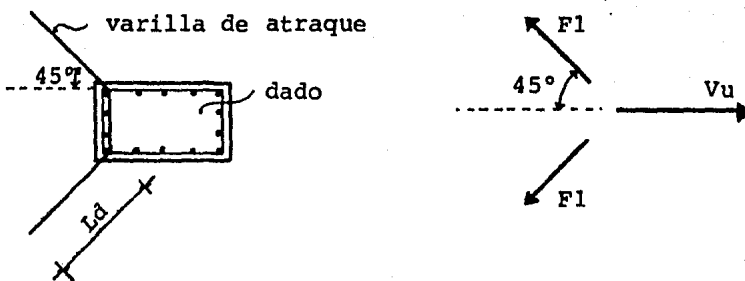
$$A_s = \rho \times b \times h = 0.005 \times 60 \times 120 = 36.0 \text{ cm}^2$$

Usando 14 varillas de #6 $\Rightarrow 39.9 \text{ cm}^2 > 36.0 \text{ cm}^2$
(correcto).

Sección definitiva para el Dado de concreto reforzado.



Varillas de Atrache:



$$V = 8.97 \text{ ton} ; \quad V_u = 1.4 \times 8.97 \text{ ton} = 12.558 \text{ ton}$$

$$F_1 = \frac{12,558 \text{ kgs}}{2 \cos 45^\circ} = 8,880 \text{ kgs.}$$

$$F_s = 0.6 F_y = 0.6 \times 4200 \text{ kg/cm}^2 = 2520 \text{ kg/cm}^2$$

$$\text{Area de acero necesaria} = \frac{8880 \text{ kg}}{2520 \text{ kg/cm}^2} = 3.5 \text{ cm}^2$$

Sea una varilla del No. 8 $\Rightarrow 5.07 \text{ cm}^2 > 3.5 \text{ cm}^2$ (correcto).

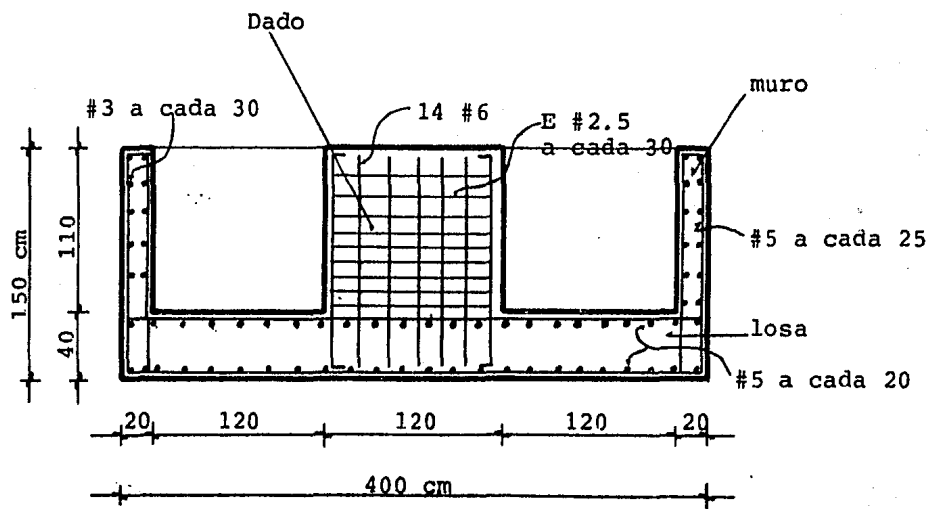
$$L_{db} = 0.06 \times \frac{a_s \times f_y}{\sqrt{f'_c}} \geq 0.006 \times (\emptyset \text{ Vr.}) \times f_y$$

$$0.006 \times 2.54 \times 4200 = 64 \text{ cm}$$

$$L_{db} = 0.06 \times \frac{5.07 \times 4200}{\sqrt{250}} = 81 \text{ cms} > 64 \text{ cms}$$

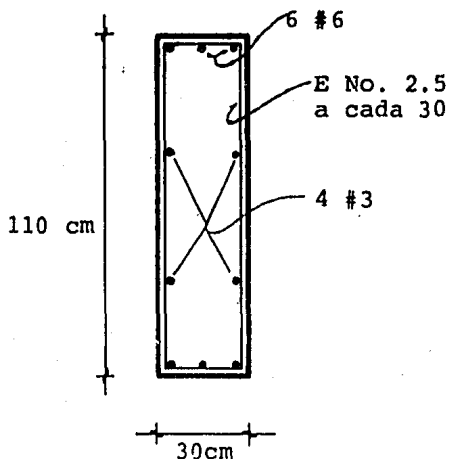
$$L_d = 1.2 \times 81 \text{ cm} = 97 \text{ cm} ; \quad \text{sean } 100 \text{ cms. de longitud.}$$

Cajón de cimentación



Detalle.

Contrarrabe

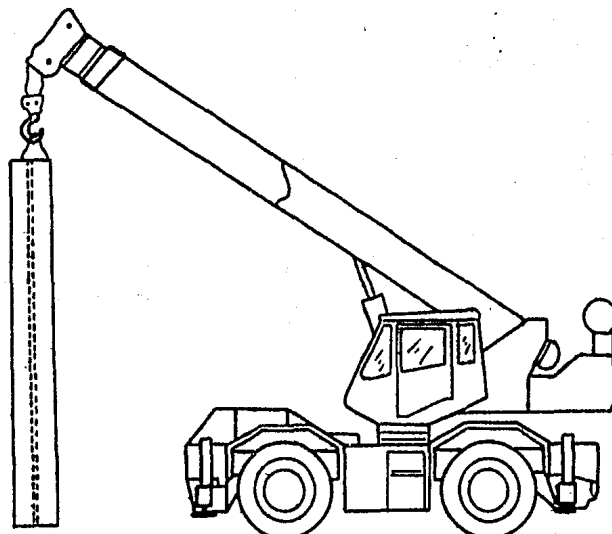


CAPITULO IV

RECOMENDACIONES PARA LA CONSTRUCCION DE LA ESTRUCTURA

Para la construcción de esta estructura se sugiere lo siguiente:

Con la cimentación terminada se procederá al montaje de las 16 columnas perimetrales, cuidando en ello una colocación precisa en cuanto a su alineamiento, plomeo y fijación se refiere.



Montaje de Columnas

Figura IV-1

A continuación se montará en el centro del círculo descrito por las columnas una " Grúa-torre fija "; a cuya estructura se fijarán provisionalmente, a la altura correspondiente, las trabes que constituirán el anillo de compresión de la cubierta (figura IV-2).

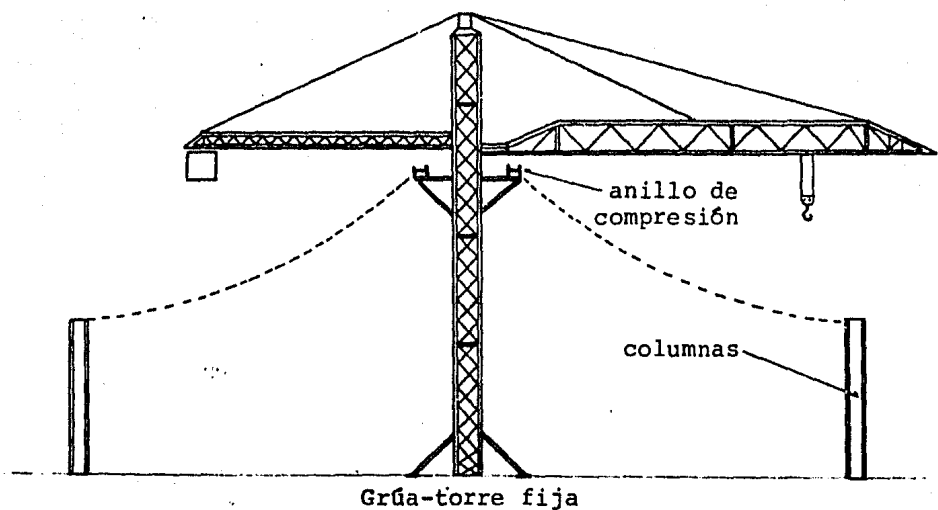


Figura IV-2

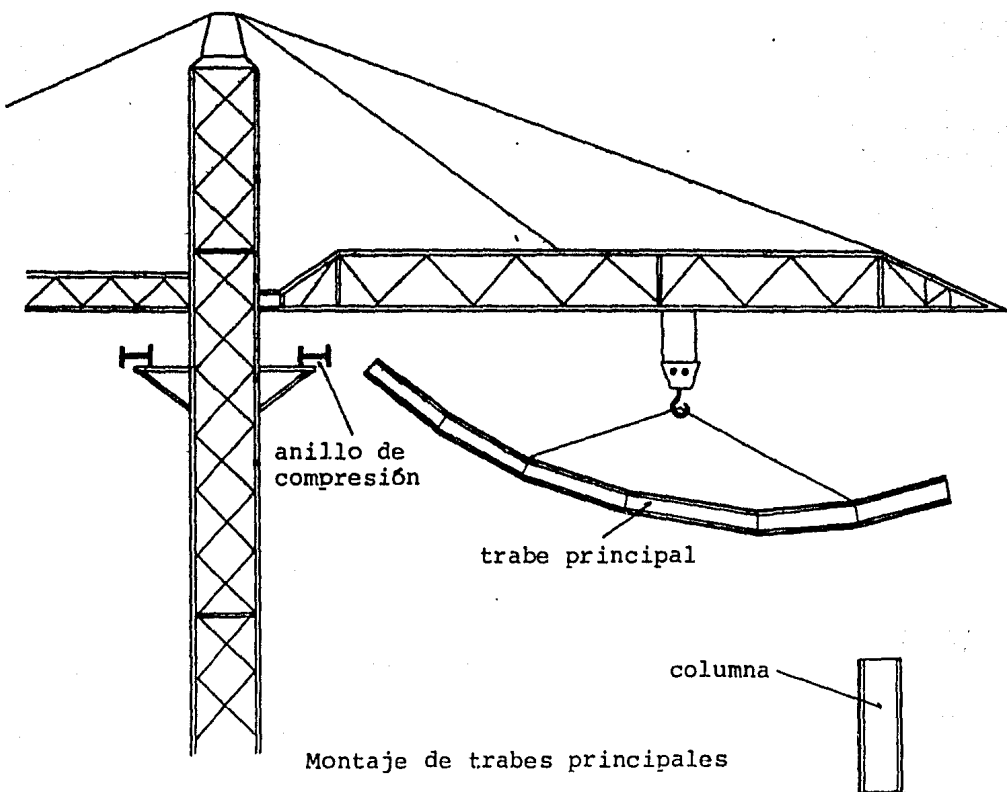
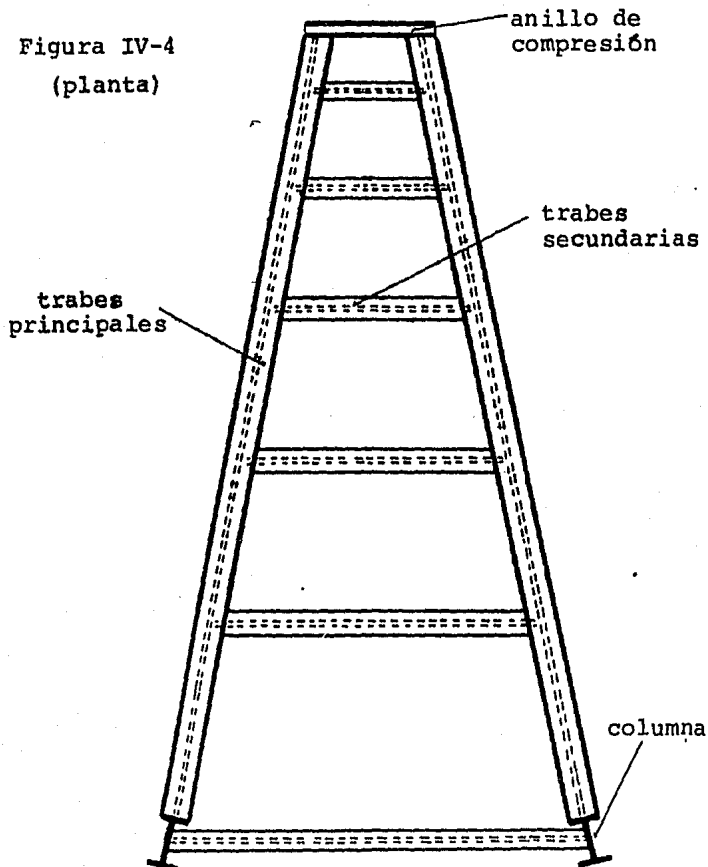


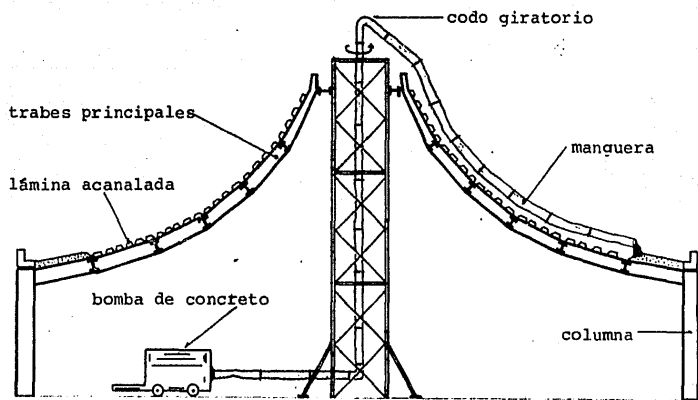
Figura IV-3

Por otra parte, deberán tenerse terminadas las trabes de los marcos principales, las cuales serán íntegramente izadas y colocadas por la grúa, teniendo preparadas para su fijación en su extremo inferior a la columna, y en el superior al anillo de compresión (figura IV-3).

Una vez colocada la segunda trabe principal, y antes de proseguir montando éstas, se deberán colocar las trabes secundarias que les corresponden; esto con el fin de ir logrando una rigidización en la retícula metálica.

Figura IV-4
(planta)





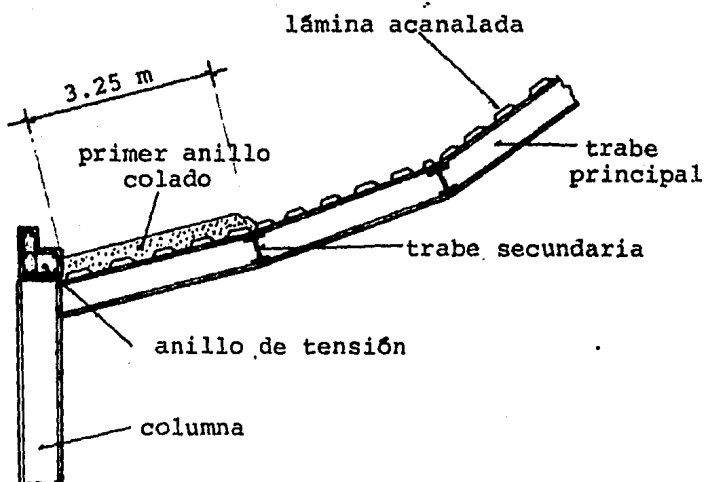
Colado de la losa de la cubierta

Figura IV-5

De esta forma se seguirán montando tanto tráves principales como secundarias, hasta integrar totalmente la parte metálica de la estructura (ver figura I-4).

Sobre las tráves principales y secundarias se colocarán tramos rectos de lámina acanalada QL-99 cal. 24 (ver figuras I-5 y I-6), que funcionarán como cimbra no recuperable para el colado de la losa de la cubierta, para el cual se seguirá el siguiente procedimiento:

En la base de la torre de la grúa se colocará una bomba de concreto, el cual impulsará éste hasta la parte más alta de la estructura, donde por medio de un codo giratorio y -- una manguera será dirigido.



Detalle: Colado del primer anillo de la losa

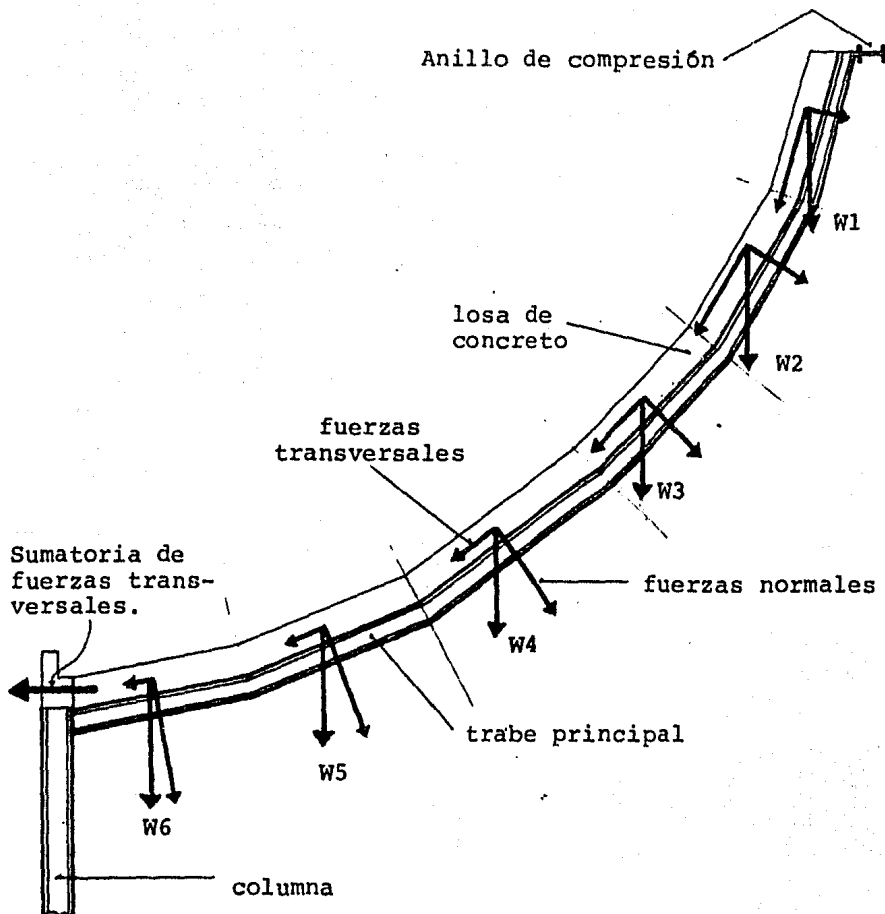
Figura IV-6

El primer colado será el del anillo de tensión, el cual estará apoyado sobre las columnas y las trabes secundarias que unen a éstas. Una vez fraguado ese elemento estructural se realizará el colado de la primera sección de la losa; esta sección consistirá en un anillo con un ancho de 3.25 m, longitud del primer tramo recto de la trabe principal (figura IV-6).

Ya fraguado ese primer anillo se colará un segundo de -- 3.25m de ancho también. Esto se hará repetidamente hasta terminar con un sexto anillo en la parte superior de la estructura; pero siempre teniendo al anterior previamente -- fraguado.

Este procedimiento de colado de la losa se llevará a cabo con el fin de no provocar cargas asimétricas en la estructura, para las cuales no se ha previsto un análisis.

Las cargas generadas por cada anillo de concreto se dividen en dos componentes: una normal a la superficie de la losa, que será tomada por las trabes secundarias, y otra -- transversal, la cual será transmitida al anillo anterior -- previamente fraguado, y que se sumará a las componentes --- transversales de los otros anillos, para que el total de es-tas cargas recaiga finalmente en el anillo de tensión. To-do esto fue explicado ampliamente en el inciso c) del capí-tulo II de esta tesis.



Acumulación de fuerzas debidas al
peso de la losa de concreto

Figura IV-7

Deberá tenerse cuidado en verificar que el espesor de la losa de concreto sea de 5 centímetros en el centro de cada tramo recto de las trabes principales, y de 7.3 centímetros en los cambios de inclinación de dichas trabes; esto con el fin de lograr una curvatura suave y continua en la losa.

C O N C L U S I O N E S

El análisis preliminar empleado para la estructura descrita a lo largo de esta tesis, se realizó con base en un modelo matemático simplificado el cual consta de 18 nudos, mientras el modelo definitivo contiene 193. El hecho de haber utilizado primeramente un modelo "pequeño", se hizo con la finalidad de poder correr dicho análisis preliminar por medio del programa E A S I (Engineering Analysis Software) en un computador que cuenta con poca capacidad de memoria (32 k). Ahora bien, a pesar de que el modelo matemático simplificado, sujeto a Carga Muerta sólo contiene la ~~---~~ décima parte de los nudos del modelo final, no implica que el análisis y el diseño preliminar se encuentren lejos de la realidad; por el contrario, los resultados que se tienen por ese primer análisis son muy cercanos a los obtenidos por el análisis definitivo. Prueba de ello es que en el diseño final, ningún elemento tiene que sufrir cambios en su sección transversal debido a la condición de carga ~~--~~ número uno (Carga Muerta).

Dicho lo anterior de otra forma, para el análisis y diseño preliminar se proponen unas determinadas secciones transversales para los elementos, se encuentra que éstas son satisfactorias de acuerdo a las normas del manual A I S C; por lo tanto, con estas mismas secciones se realiza el análisis y diseño definitivo, hallando que algunas secciones deben ser modificadas por la condición de carga No. 4 (Car-

ga Muerta más Viento) y no por la No. 1. Así, se muestra que el análisis y el diseño preliminar de este trabajo cumplen con su objetivo, que es el de dar una idea a priori de los elementos mecánicos que actuarán en los miembros de la estructura y de las secciones transversales que estos necesitan.

El modelo matemático tridimensional implica para su realización una labor mayor que la del modelo plano; pero es necesario conformarlo con el fin de " observar " el comportamiento de la estructura en el espacio sujeta a diferentes condiciones de carga. Así, también es en el análisis tridimensional, ejecutado por el programa SAP V-2, donde se encuentra que algunos elementos requieren un aumento en su sección transversal, que previamente fue satisfactoria en el diseño preliminar.

Al mismo tiempo el modelo matemático tridimensional es indispensable, ya que contempla la interacción conjunta de todos y cada uno de los elementos que contendrá la estructura real. De esta forma es posible conocer los elementos mecánicos que obran sobre las trabes secundarias y en los anillos de tensión y compresión, datos que se desconocían en el análisis preliminar y que son indispensables para el diseño de esos miembros estructurales.

Ya que el análisis en el espacio incluye a todos los elementos futuros de la retícula, en el momento de la revisión de secciones dentro del diseño definitivo, se puede hacer -

una elección de aquellos que se encuentren más fatigados, -
asegurando de esta forma que la estructura se encuentra di-
señada para las situaciones de trabajo más críticas.

Es importante hacer notar que la cubicación preliminar -
de acero estructural A-36 es de 78.829 Ton., y la definitiva de 80.505 Ton.; es decir, se tiene una diferencia de --
1.676 Ton.; o sea un 2.13% del tonelaje preliminar, porcen-
taje realmente mínimo. Se hace hincapié en que el análisis
y diseño preliminar de la estructura cumplen con su cometido.

Se recordará que el diseño definitivo de las trabes de -
la estructura se hizo sin considerar la sección compuesta -
acero-concreto; es decir, únicamente se usaron las propie-
dades de la parte metálica de esos elementos para su revi-
sión. Lo anterior se realizó de esa manera tomando como ba-
se que la carga viva de la cubierta es pequeña (40 kg/m^2) .
El haber hecho el diseño de trabes de esa forma, no es ra-
zón para pensar que se tiene una estructura " sobrada ", y
que por lo tanto implicaría un costo más alto del necesario;
por el contrario, así se logra un margen de seguridad que -
es conveniente guardad dado lo siguiente:

En el inciso b) del capítulo II se calculó la sobrecarga
aportada por 2.3 cms. de espesor promedio adicional de con-
creto, empleado para dar una curvatura suave y continua en
la cubierta. El resultado de esa sobrecarga fue de 37.3 ki-
logramos por metro cuadrado, aproximadamente 40 kg/m^2 , va--

lor de la carga viva; es decir que errores pequeños en la medición del espesor del concreto durante los colados de la losa, pueden ocasionar sobrecargas de cierta consideración. Aquí se ve la necesidad de revisar las trabes por su parte metálica exclusivamente, con el fin de garantizar una mayor resistencia de ellas al trabajar la sección compuesta en el momento del fraguado del concreto.

Para la realización de esta tesis la computadora es una herramienta de gran utilidad en la obtención de los análisis estructurales. Por medio de ella es factible representar a la futura estructura por medio de un modelo tal que pueda ser sometido a diferentes condiciones de trabajo. -- Gracias a lo anterior se puede lograr una optimización en el diseño de los diferentes elementos que constituirán a dicha estructura, así como una reducción en los tiempos de ejecución de su análisis al evitar la elaboración de tediosos y repetitivos cálculos numéricos. Sin embargo, los resultados arrojados por un programa no deben ser tomados en una forma dogmática. El ingeniero encargado del análisis y diseño estructural nunca debe perder de vista el entendimiento físico del problema, y siempre tener una idea aproximada de los posibles resultados que se deben obtener, todo ello haciendo uso de su juicio ingenieril basado en las --- ciencias físicas y matemáticas así como en su experiencia.

Ya para finalizar, cabe mencionar que con el desarrollo de este trabajo se muestra como a base de trabes metálicas

rectas en conjunción con una losa de concreto, se logran obtener las características pedidas por el proyecto arquitectónico descrito en el capítulo I.

ANEXO NO. 1

RESULTADOS DE LA CORRIDA DEL PROGRAMA EASI

ANALISIS PRELIMINAR DE LA ESTRUCTURA

ENGINEERING ANALYSIS SOFTWARE
EASI Finite Element Program
PRELIMINAR CM.

11/17/85

FILE SPEC: PRE1

NODE COORDINATES:

NODE #	X COORD.	Y COORD.	Z COORD.
1	0.00000E+00	0.00000E+00	0.00000E+00
2	0.00000E+00	1.80000E+02	0.00000E+00
3	0.00000E+00	3.60000E+02	0.00000E+00
4	0.00000E+00	5.40000E+02	0.00000E+00
5	0.00000E+00	7.20000E+02	0.00000E+00
6	0.00000E+00	8.42870E+02	0.00000E+00
7	1.81370E+02	9.08890E+02	0.00000E+00
8	3.62740E+02	9.74900E+02	0.00000E+00
9	5.06670E+02	1.05800E+03	0.00000E+00
10	6.50610E+02	1.14110E+03	0.00000E+00
11	7.77930E+02	1.24773E+03	0.00000E+00
12	9.05240E+02	1.33476E+03	0.00000E+00
13	1.01016E+03	1.48368E+03	0.00000E+00
14	1.11468E+03	1.61234E+03	0.00000E+00
15	1.19531E+03	1.75707E+03	0.00000E+00
16	1.27590E+03	1.90154E+03	0.00000E+00
17	1.33020E+03	2.03770E+03	0.00000E+00
18	1.38415E+03	2.21353E+03	0.00000E+00

MATERIAL PROPERTIES:

MAT #	AREA	E	G	J	IY	IZ
1	2.00180E+02	2.10000E+06	0.00000E+00	0.00000E+00	0.00000E+00	2.31427E+05
2	1.25390E+02	2.10000E+06	0.00000E+00	0.00000E+00	0.00000E+00	1.42684E+05
3	1.22210E+02	2.10000E+06	0.00000E+00	0.00000E+00	0.00000E+00	1.23700E+05
4	1.19840E+02	2.10000E+06	0.00000E+00	0.00000E+00	0.00000E+00	1.06244E+05
5	9.70700E+01	2.10000E+06	0.00000E+00	0.00000E+00	0.00000E+00	7.17580E+04
6	9.38900E+01	2.10000E+06	0.00000E+00	0.00000E+00	0.00000E+00	6.00718E+04
7	9.07200E+01	2.10000E+06	0.00000E+00	0.00000E+00	0.00000E+00	4.93570E+04
8	8.75400E+01	2.10000E+06	0.00000E+00	0.00000E+00	0.00000E+00	4.01770E+04

PROBLEM GEOMETRY:

ELEMENT #	MAT #	NODE #1	NODE #2	NODE #3	NODE #4	ANGLE OF ROLL
1	1	1	2	0	0	0.00000E+00
2	1	1	2	0	0	0.00000E+00
3	1	1	3	4	0	0.00000E+00
4	1	1	4	5	0	0.00000E+00
5	1	1	5	6	0	0.00000E+00
6	2	2	6	7	0	0.00000E+00
7	2	2	7	8	0	0.00000E+00

8	2	8	9	8	0	0.00000E+00
9	2	9	10	9	0	0.00000E+00
10	2	10	11	10	0	0.00000E+00
11	2	11	12	11	0	0.00000E+00
12	3	12	13	12	0	0.00000E+00
13	4	13	14	13	0	0.00000E+00
14	5	14	15	14	0	0.00000E+00
15	6	15	16	15	0	0.00000E+00
16	7	16	17	16	0	0.00000E+00
17	8	17	18	17	0	0.00000E+00

NODE LOADS:

NODE #	FX	<th>FZ</th> <th>MX</th> <th>MY</th> <th>MZ</th>	FZ	MX	MY	MZ
6	0.00000E+00	-2.91200E+03	0.00000E+00	0.00000E+00	0.00000E+00	0.00000E+00
8	0.00000E+00	-4.66000E+03	0.00000E+00	0.00000E+00	0.00000E+00	0.00000E+00
11	0.00000E+00	-3.47900E+03	0.00000E+00	0.00000E+00	0.00000E+00	0.00000E+00
12	0.00000E+00	-2.78100E+03	0.00000E+00	0.00000E+00	0.00000E+00	0.00000E+00
14	0.00000E+00	-2.21000E+03	0.00000E+00	0.00000E+00	0.00000E+00	0.00000E+00
16	0.00000E+00	-1.74400E+03	0.00000E+00	0.00000E+00	0.00000E+00	0.00000E+00
18	0.00000E+00	-7.36000E+02	0.00000E+00	0.00000E+00	0.00000E+00	0.00000E+00

NODE RESTRAINTS:

NODE #	X	Y	Z	RX	RY	RZ	VALUE
1	1	1	0	0	0	1	0.00000E+00
18	1	0	0	0	0	0	0.00000E+00

ELEMENT FORCES:

ELEM #	NODE #	FX	FY	FZ	MX	MY	MZ
1	1	1.85385E+04	-5.45133E+03	0.00000E+00	0.00000E+00	0.00000E+00	1.22439E+05
2	2	-1.85385E+04	5.45133E+03	0.00000E+00	0.00000E+00	0.00000E+00	-1.10368E+06
2	2	1.85385E+04	-5.45133E+03	0.00000E+00	0.00000E+00	0.00000E+00	1.10368E+06
3	3	-1.85385E+04	5.45133E+03	0.00000E+00	0.00000E+00	0.00000E+00	-2.08492E+06
3	3	1.85385E+04	-5.45134E+03	0.00000E+00	0.00000E+00	0.00000E+00	2.08492E+06
4	4	-1.85385E+04	5.45134E+03	0.00000E+00	0.00000E+00	0.00000E+00	-3.06617E+06
4	4	1.85385E+04	-5.45131E+03	0.00000E+00	0.00000E+00	0.00000E+00	3.06617E+06
5	5	-1.85385E+04	5.45131E+03	0.00000E+00	0.00000E+00	0.00000E+00	-4.04741E+06
5	5	1.85385E+04	-5.45137E+03	0.00000E+00	0.00000E+00	0.00000E+00	4.04744E+06
6	6	-1.85385E+04	5.45137E+03	0.00000E+00	0.00000E+00	0.00000E+00	-4.71724E+06
6	6	1.04677E+04	1.28192E+04	0.00000E+00	0.00000E+00	0.00000E+00	4.71726E+06
7	7	-1.04677E+04	-1.28192E+04	0.00000E+00	0.00000E+00	0.00000E+00	-2.24300E+06
7	7	1.04669E+04	1.28196E+04	0.00000E+00	0.00000E+00	0.00000E+00	2.24300E+06
8	8	-1.04669E+04	-1.28196E+04	0.00000E+00	0.00000E+00	0.00000E+00	2.31292E+05
8	8	1.02048E+04	6.77113E+03	0.00000E+00	0.00000E+00	0.00000E+00	-2.31320E+05
9	9	-1.02048E+04	-6.77113E+03	0.00000E+00	0.00000E+00	0.00000E+00	1.35662E+06
9	9	1.02045E+04	6.77143E+03	0.00000E+00	0.00000E+00	0.00000E+00	-1.35663E+06
10	10	-1.02045E+04	-6.77143E+03	0.00000E+00	0.00000E+00	0.00000E+00	2.48215E+06

10	10	8.98052E+03	2.22117E+03	0.00000E+00	0.00000E+00	0.00000E+00	-2.48219E+06
11	11	-8.98052E+03	-2.22117E+03	0.00000E+00	0.00000E+00	0.00000E+00	2.85126E+06
11	11	8.98041E+03	2.21965E+03	0.00000E+00	0.00000E+00	0.00000E+00	-2.85128E+06
12	12	-8.98041E+03	-2.21965E+03	0.00000E+00	0.00000E+00	0.00000E+00	3.22928E+06
12	12	7.08068E+03	-1.26755E+03	0.00000E+00	0.00000E+00	0.00000E+00	-3.22032E+06
13	13	-7.08068E+03	1.26755E+03	0.00000E+00	0.00000E+00	0.00000E+00	3.08966E+06
13	13	7.08027E+03	-1.27392E+03	0.00000E+00	0.00000E+00	0.00000E+00	-3.08966E+06
14	14	-7.08027E+03	1.27392E+03	0.00000E+00	0.00000E+00	0.00000E+00	2.79852E+06
14	14	4.82618E+03	-3.55025E+03	0.00000E+00	0.00000E+00	0.00000E+00	-2.79853E+06
15	15	-4.82618E+03	3.55025E+03	0.00000E+00	0.00000E+00	0.00000E+00	2.20995E+06
15	15	4.82065E+03	-3.55804E+03	0.00000E+00	0.00000E+00	0.00000E+00	-2.20996E+06
16	16	-4.82065E+03	3.55804E+03	0.00000E+00	0.00000E+00	0.00000E+00	1.62165E+06
16	16	2.48614E+03	-4.90894E+03	0.00000E+00	0.00000E+00	0.00000E+00	-1.62167E+06
17	17	-2.48614E+03	4.90894E+03	0.00000E+00	0.00000E+00	0.00000E+00	8.10064E+05
17	17	2.47947E+03	-4.91230E+03	0.00000E+00	0.00000E+00	0.00000E+00	-8.10064E+05
18	18	-2.47947E+03	4.91230E+03	0.00000E+00	0.00000E+00	0.00000E+00	4.00000E+00

NODE DISPLACEMENTS:

NODE #	X	Y	Z	RX	RY	RZ
1	0.00000E+00	0.00000E+00	0.00000E+00	0.00000E+00	0.00000E+00	0.00000E+00
2	1.49841E-02	-7.93792E-03	0.00000E+00	0.00000E+00	0.00000E+00	-2.27008E-04
3	1.03547E-01	-1.38758E-02	0.00000E+00	0.00000E+00	0.00000E+00	-8.17546E-04
4	3.31102E-01	-2.38138E-02	0.00000E+00	0.00000E+00	0.00000E+00	-1.77146E-03
5	7.63078E-01	-3.17517E-02	0.00000E+00	0.00000E+00	0.00000E+00	-3.08880E-03
6	1.20893E+00	-3.71702E-02	0.00000E+00	0.00000E+00	0.00000E+00	-4.19774E-03
7	1.56156E+00	-1.02834E+00	0.00000E+00	0.00000E+00	0.00000E+00	-6.43848E-03
8	2.08950E+00	-2.28156E+00	0.00000E+00	0.00000E+00	0.00000E+00	-7.08640E-03
9	2.37883E+00	-3.28052E+00	0.00000E+00	0.00000E+00	0.00000E+00	-6.64601E-03
10	3.08562E+00	-4.17123E+00	0.00000E+00	0.00000E+00	0.00000E+00	-5.58134E-03
11	3.60015E+00	-4.79359E+00	0.00000E+00	0.00000E+00	0.00000E+00	-4.10216E-03
12	3.94612E+00	-5.21437E+00	0.00000E+00	0.00000E+00	0.00000E+00	-2.41835E-03
13	4.12507E+00	-3.36392E+00	0.00000E+00	0.00000E+00	0.00000E+00	-4.23181E-04
14	4.03633E+00	-5.29988E+00	0.00000E+00	0.00000E+00	0.00000E+00	1.73244E-03
15	3.57652E+00	-5.04758E+00	0.00000E+00	0.00000E+00	0.00000E+00	4.48729E-03
16	2.73362E+00	-4.58429E+00	0.00000E+00	0.00000E+00	0.00000E+00	6.99813E-03
17	1.47449E+00	-4.14805E+00	0.00000E+00	0.00000E+00	0.00000E+00	8.72973E-03
18	0.00000E+00	-3.63992E+00	0.00000E+00	0.00000E+00	0.00000E+00	9.72138E-03

NODE REACTIONS:

NODE #	X	Y	Z	MX	MY	MZ
1	3.45113E+03	1.85385E+04	0.00000E+00	0.00000E+00	0.00000E+00	1.22439E+05
18	-5.45316E+03	0.00000E+00	0.00000E+00	0.00000E+00	0.00000E+00	0.00000E+00

ANEXO No. 2

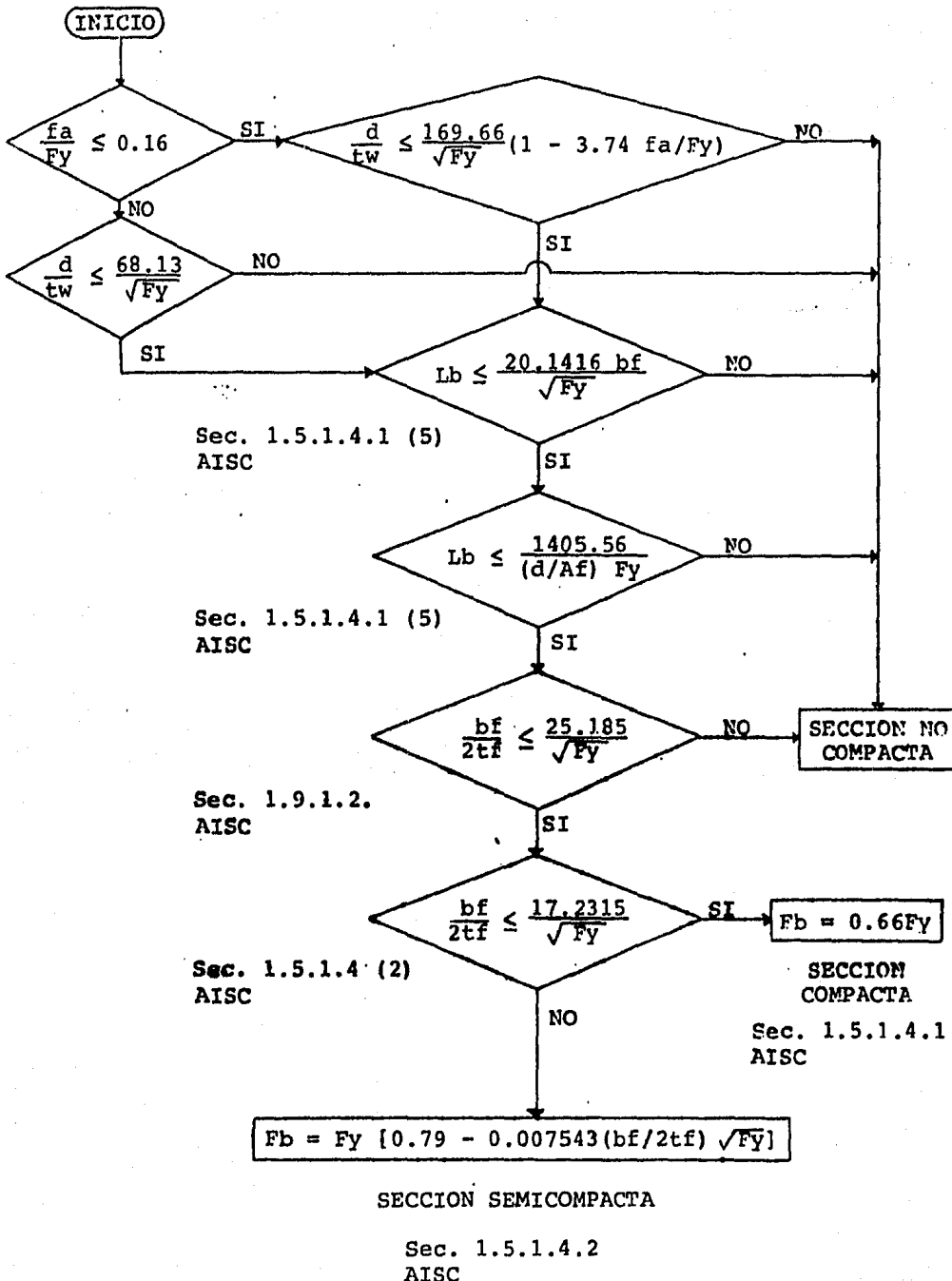
DIAGRAMAS DE FLUJO PARA REVISION DE SECCIONES "I"

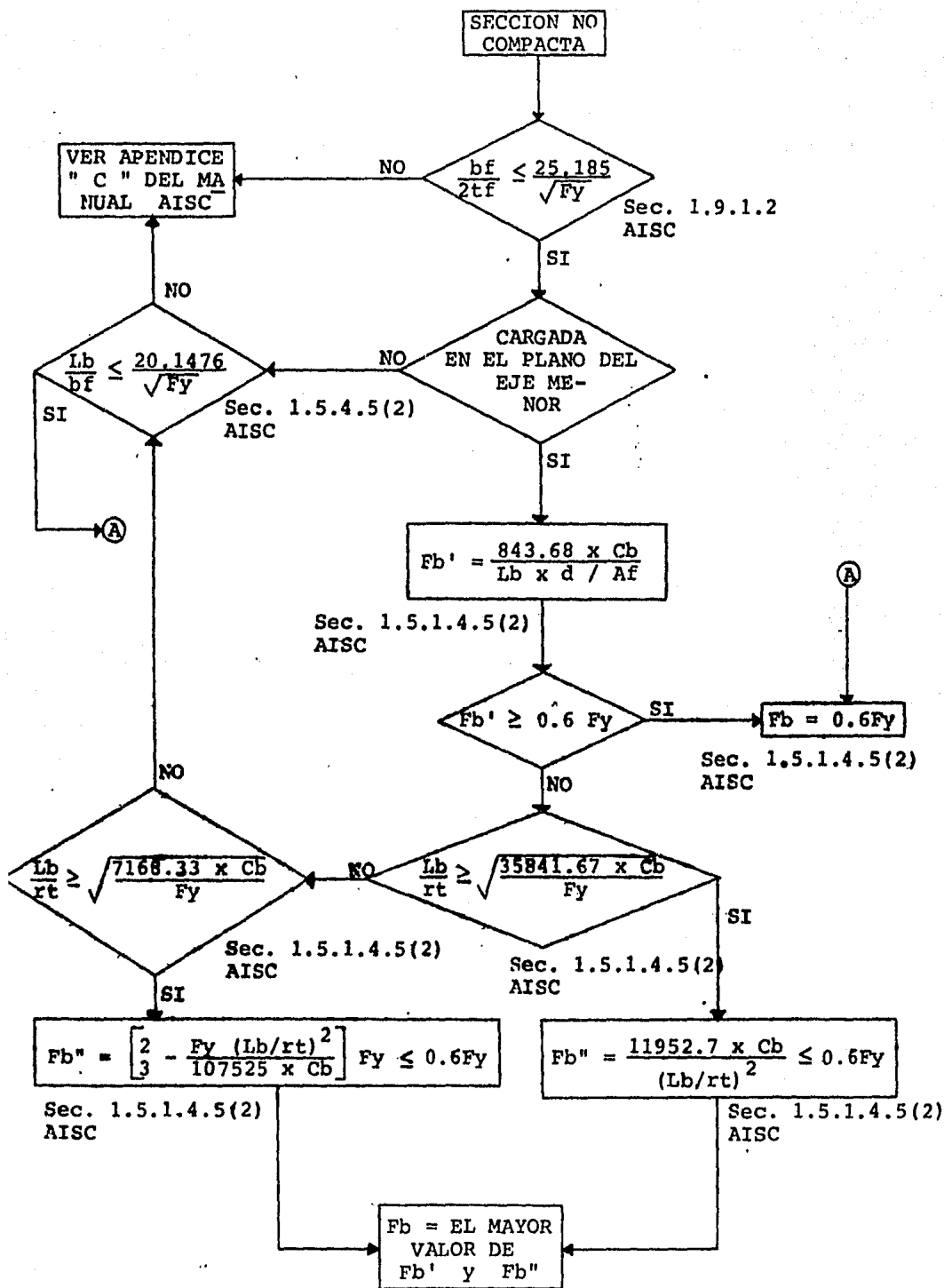
BASADO EN ESPECIFICACIONES DEL MANUAL AISC

La nomenclatura que se empleará en los siguientes diagramas de flujo es:

- Lb Longitud de la trabe sin arriostrar.
 - bf Ancho del patín en compresión.
 - d Peralte de la trabe.
 - Af Área de la sección del patín en compresión.
 - tf Espesor del patín.
 - tw Espesor del alma.
 - fa Esfuerzo actuante de compresión en la sección.
- $$C_b = 1.75 + 1.05 \left(M_1 / M_2 \right) + 0.3 \left(M_1 / M_2 \right)^2$$
- $$M_1 < M_2$$

Nota: Las unidades que se deben usar para seguir los diagramas son Toneladas y Centímetros.



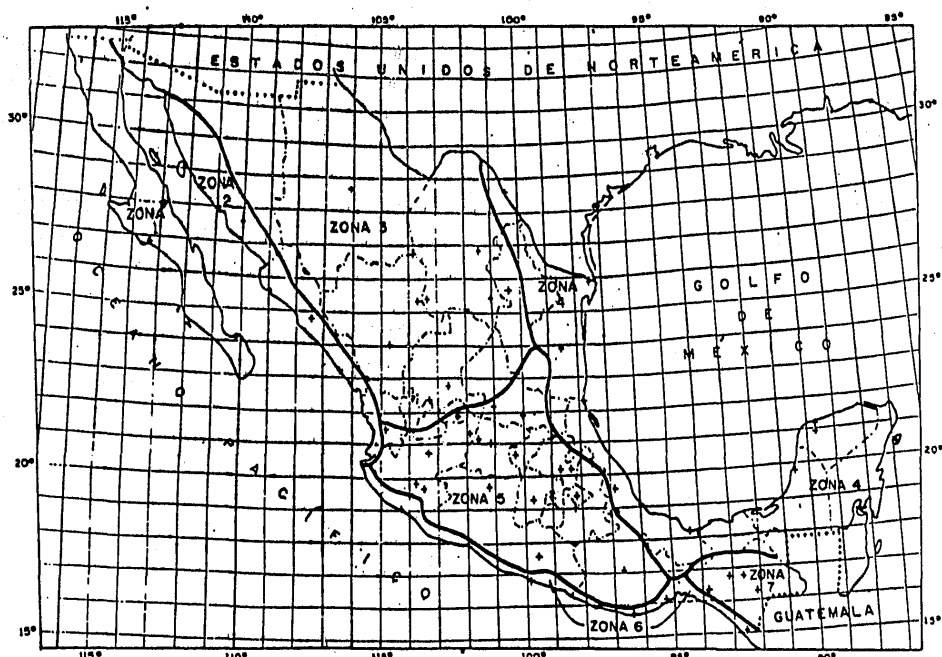


ANEXO No. 3

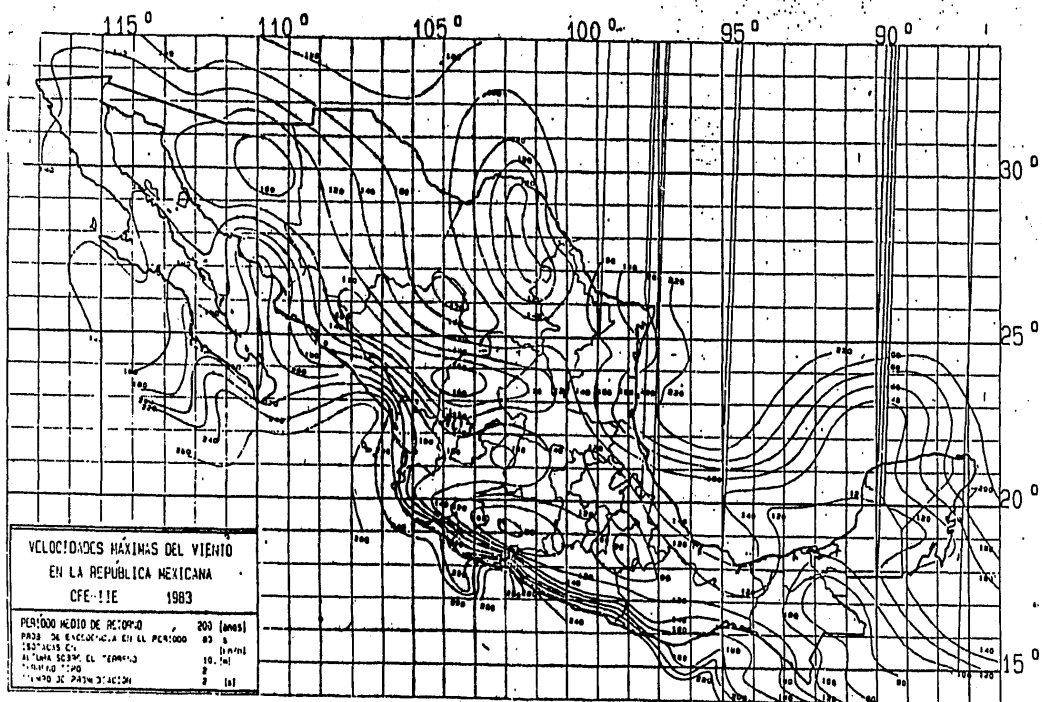
REGIONALIZACION SISMICA Y EOLICA

DE LA REPUBLICA MEXICANA





Regionalización Eólica de la República Mexicana



ANEXO No. 4

DATOS PARA EL

PROGRAMA SAP V-2

CONTROL INFORMATION

NUMBER OF NODAL POINTS = 193
 NUMBER OF ELEMENT TYPES = 2
 NUMBER OF LOAD CASES = 4
 NUMBER OF FREQUENCIES = 0
 ANALYSIS CODE (CHDYN) = 0
 EQ.0, STATIC
 EQ.1, MODE EXTRACTION
 EQ.2, FORCED RESPONSE
 EQ.3, RESPONSE SPECTRUM
 EQ.4, DIRECT INTEGRATION
 EQ.5, FREQUENCY RESPONSE
 EQ.6, BUCKLING ANALYSIS
 SOLUTION MODE (CMODEX) = 0
 EQ.0, EXECUTION
 EQ.1, CHECK
 NUMBER OF SUBSTRUCTURE
 ITERATION VECTORS (NAD) = 0
 EQUATIONS PER BLOCK = 0
 TAPE10 SAVE FLAG (H10SV) = 0
 GRAVITATIONAL CONSTANT = 981.00
 TOTAL BLANK COMMON (MTOT)=40001

REQUIRED BLANK COMMON FOR THIS STEP= 2317

NODAL POINT INPUT DATA

NODE NUMBER	BOUNDARY	CONDITION	CODES					NODAL POINT COORDINATES			
			X	Y	Z	XX	YY	Z	T		
D 1	-1	-1	-1	-1	-1	-1	-1	1862.690	0.0	3.077	0.0
D 16	0	0	0	0	0	0	0	1862.690	0.0	340.577	1.0
D 17	0	0	0	0	0	0	0	1860.000	-100.000	0.0	0.0
D 32	0	0	0	0	0	0	0	1860.000	-100.000	337.500	1.0
D 33	0	0	0	0	0	0	0	1960.000	0.0	0.0	0.0
D 48	1	1	1	1	1	1	1	1960.000	0.0	337.500	1.0
D 49	0	0	0	0	0	0	0	1860.000	0.0	0.0	0.0
D 64	0	0	0	0	0	0	0	1860.000	0.0	337.500	1.0
D 65	0	0	0	0	0	0	0	1860.000	864.160	0.0	0.0
D 80	0	0	0	0	0	0	0	1860.000	864.160	337.500	1.0
D 81	0	0	0	0	0	0	0	1497.260	974.900	0.0	0.0
D 96	0	0	0	0	0	0	0	1497.260	974.900	337.500	1.0
D 97	0	0	0	0	0	0	0	1209.390	1141.100	0.0	0.0
D 112	0	0	0	0	0	0	0	1209.390	1141.100	337.500	1.0
D 113	0	0	0	0	0	0	0	954.760	1354.560	0.0	0.0
D 128	0	0	0	0	0	0	0	954.760	1354.560	337.500	1.0
D 129	0	0	0	0	0	0	0	745.210	1612.270	0.0	0.0
D 144	0	0	0	0	0	0	0	745.210	1612.270	337.500	1.0
D 145	0	0	0	0	0	0	0	584.000	1901.500	0.0	0.0
D 150	0	0	0	0	0	0	0	584.000	1901.500	337.500	1.0
D 151	0	0	0	0	0	0	0	476.500	2220.000	0.0	0.0
D 176	0	0	0	0	0	0	0	476.500	2220.000	337.500	1.0
D 177	-1	-1	-1	-1	-1	-1	-1	2303.150	2703.150	0.0	0.0
D 192	0	0	0	0	0	0	0	2303.150	2703.150	337.500	1.0
193	1	1	1	1	1	1	1	0.0	2220.000	0.0	0.0

3 / D BEAM ELEMENTS

NUMBER OF BEAMS = 224
 NUMBER OF GEOMETRIC PROPERTY SETS = 10
 NUMBER OF FIXED END FORCE SETS = 0
 NUMBER OF MATERIALS = 2
 NUMBER OF INTERMEDIATE LOAD SETS = 61

MATERIAL PROPERTIES

MATERIAL NUMBER	YOUNG'S MODULUS	POISSON'S RATIO	MASS DENSITY	WEIGHT DENSITY	THERMAL EXPANSION COEFFICIENT X	Y	Z	REFERENCE TEMPERATURE
1	0.2100D 07	0.3300	0.8012D-05	0.7860D-02	0.0	0.0	0.0	0.0
2	0.1414D 06	0.1800	0.2446D-05	0.2400D-02	0.0	0.0	0.0	0.0

BEAM GEOMETRIC PROPERTIES

SECTION NUMBER	AXIAL AREA A(1)	SHEAR AREA A(2)	SHEAR AREA A(3)	TORSION J(1)	INERTIA I(2)	INERTIA I(3)	SECTION MODULUS S(2)	S(3)
1	0.2002D 03	0.7317D 02	0.1272D 03	0.1296D 03	0.1697D 05	0.2319D 06	0.8480D 03	0.5186D 04
2	0.1254D 03	0.4919D 02	0.7620D 02	0.4770D 02	0.5717D 04	0.1427D 06	0.3810D 03	0.3567D 04
3	0.1222D 03	0.4601D 02	0.7620D 02	0.4730D 02	0.5717D 04	0.1237D 06	0.3810D 03	0.3299D 04
4	0.9707D 02	0.4086D 02	0.5720D 02	0.2260D 02	0.4276D 04	0.7172D 05	0.2850D 03	0.2002D 04
5	0.9910D 02	0.3784D 02	0.5720D 02	0.2180D 02	0.7220D 05	0.2850D 05	0.2850D 03	0.2002D 04
6	0.6553D 02	0.3753D 02	0.6550D 02	0.1040D 02	0.7559D 04	0.1066D 05	0.2724D 03	0.1110D 03
7	0.1700D 04	0.7650D 03	0.6800D 03	0.7514D 05	0.9743D 06	0.1892D 06	0.1946D 05	0.7128D 04
8	0.7549D 02	0.1749D 02	0.3800D 02	0.1435D 02	0.1267D 06	0.7842D 05	0.1270D 03	0.1961D 04
9	0.7069D 02	0.3269D 02	0.3800D 02	0.1398D 02	0.1267D 04	0.5793D 05	0.1270D 03	0.1655D 04
10	0.6569D 02	0.2789D 02	0.3800D 02	0.1361D 02	0.1267D 04	0.4094D 05	0.1270D 03	0.1366D 04

ELEMENT LOAD MULTIPLIERS

	A	B	C	D
X-DIR	0.0	0.0	0.0	0.0
Y-DIR	0.0	0.0	0.0	0.0
Z-DIR	0.0	0.0	0.0	0.0

INTERMEDIATE LOADS ON BEAMS IN LOCAL COORDINATES

SET NUMBER	TYPE	INPUT PARAMETERS (SEE MANUAL)							
		A	B	C	D	E	F	G	H
1	DL	0.0	0.0	-0.300	0.350	-0.940	-0.940	0.0	0.0
2	DL	0.0	0.0	-0.500	-0.500	-0.850	-0.850	0.0	0.0
3	DL	0.0	0.0	-0.630	-0.630	-0.750	-0.750	0.0	0.0
4	DL	0.0	0.0	-0.730	-0.730	-0.620	-0.620	0.0	0.0
5	DL	0.0	0.0	-0.660	-0.660	-0.380	-0.380	0.0	0.0
6	DL	0.0	0.0	-0.670	-0.670	-0.260	-0.260	0.0	0.0
7	DL	0.0	0.0	0.0	0.0	-16.470	-16.470	0.0	0.0
8	DL	0.0	0.0	0.0	0.0	-11.840	-11.840	0.0	0.0
9	DL	0.0	0.0	0.0	0.0	-9.790	-9.790	0.0	0.0
10	DL	0.0	0.0	0.0	0.0	-7.950	-7.950	0.0	0.0
11	DL	0.0	0.0	0.0	0.0	-6.590	-6.590	0.0	0.0
12	DL	0.0	0.0	0.0	0.0	-5.520	-5.520	0.0	0.0
13	DL	0.0	0.0	0.0	0.0	-6.940	-6.940	0.0	0.0
14	DL	0.0	0.0	0.0	0.0	-4.950	-4.950	0.0	0.0
15	DL	0.0	0.0	0.0	0.0	-4.120	-4.120	0.0	0.0
16	DL	0.0	0.0	0.0	0.0	-3.350	-3.350	0.0	0.0
17	DL	0.0	0.0	0.0	0.0	-2.270	-2.270	0.0	0.0
18	DL	0.0	0.0	0.0	0.0	-2.230	-2.230	0.0	0.0
19	DL	0.0	0.0	0.0	0.0	10.410	10.410	0.0	0.0
20	DL	0.0	0.0	0.0	0.0	7.480	7.480	0.0	0.0
21	DL	0.0	0.0	0.0	0.0	6.180	6.180	0.0	0.0
22	DL	0.0	0.0	0.0	0.0	5.020	5.020	0.0	0.0
23	DL	0.0	0.0	0.0	0.0	4.160	4.160	0.0	0.0
24	DL	0.0	0.0	0.0	0.0	3.340	3.340	0.0	0.0
25	DL	0.0	0.0	0.0	0.0	19.960	19.960	0.0	0.0
26	DL	0.0	0.0	0.0	0.0	14.540	14.540	0.0	0.0
27	DL	0.0	0.0	0.0	0.0	11.850	11.850	0.0	0.0
28	DL	0.0	0.0	0.0	0.0	9.630	9.630	0.0	0.0
29	DL	0.0	0.0	0.0	0.0	7.980	7.980	0.0	0.0
30	DL	0.0	0.0	0.0	0.0	6.400	6.400	0.0	0.0
31	DL	0.0	0.0	0.0	0.0	18.220	18.220	0.0	0.0
32	DL	0.0	0.0	0.0	0.0	13.090	13.090	0.0	0.0
33	DL	0.0	0.0	0.0	0.0	10.820	10.820	0.0	0.0
34	DL	0.0	0.0	0.0	0.0	8.710	8.710	0.0	0.0
35	DL	0.0	0.0	0.0	0.0	7.280	7.280	0.0	0.0
36	DL	0.0	0.0	0.0	0.0	5.850	5.850	0.0	0.0
37	DL	0.0	0.0	0.0	0.0	7.810	7.810	0.0	0.0
38	DL	0.0	0.0	0.0	0.0	5.610	5.610	0.0	0.0
39	DL	0.0	0.0	0.0	0.0	4.640	4.640	0.0	0.0
40	DL	0.0	0.0	0.0	0.0	3.770	3.770	0.0	0.0
41	DL	0.0	0.0	0.0	0.0	3.120	3.120	0.0	0.0
42	DL	0.0	0.0	0.0	0.0	1.180	1.180	0.0	0.0
43	DL	0.0	0.0	0.0	0.0	-1.180	-1.180	0.0	0.0
44	DL	0.0	0.0	0.0	0.0	-1.250	-1.250	0.0	0.0
45	DL	0.0	0.0	0.0	0.0	-1.030	-1.030	0.0	0.0
46	DL	0.0	0.0	0.0	0.0	-0.840	-0.840	0.0	0.0
47	DL	0.0	0.0	0.0	0.0	-0.690	-0.690	0.0	0.0
48	DL	0.0	0.0	0.0	0.0	-0.560	-0.560	0.0	0.0
49	DL	0.0	0.0	0.0	0.0	-5.550	-5.550	0.0	0.0
50	DL	0.0	0.0	0.0	0.0	-4.000	-4.000	0.0	0.0
51	DL	0.0	0.0	0.0	0.0	-5.300	-5.300	0.0	0.0
52	DL	0.0	0.0	0.0	0.0	-2.220	-2.220	0.0	0.0
53	DL	0.0	0.0	0.0	0.0	-1.780	-1.780	0.0	0.0
54	DL	0.0	0.0	0.0	0.0	0.0	0.0	-0.450	-0.450
55	DL	0.0	0.0	0.0	0.0	-36.080	-36.080	-26.660	-26.660

57	DL	0.0	0.0	0.0	-16.560	-16.560	0.0	0.0
58	DL	0.0	0.0	0.0	-14.420	-14.420	0.0	0.0
59	DL	0.0	0.0	0.0	-12.420	-12.420	0.0	0.0
60	DL	0.0	0.0	0.0	-9.820	-9.820	0.0	0.0
61	DL	0.0	0.0	0.0	-7.270	-7.270	0.0	0.0

3/D BEAM ELEMENT DATA

BEAM NUMBER	NODE -I	NODE -J	NODE -K	MATERIAL NUMBER	SECTION NUMBER	ELEMENT A	END B	LOADS C	END D	CODES -I	-J	BAND
1	89	65	193	1	1	0	0	0	0	0	0	102
2	50	66	193	1	1	0	0	0	0	0	0	102
3	51	67	193	1	1	0	0	0	0	0	0	102
4	52	68	193	1	1	0	0	0	0	0	0	102
5	53	69	193	1	1	0	0	0	0	0	0	102
6	54	70	193	1	1	0	0	0	0	0	0	102
7	55	71	193	1	1	0	0	0	0	0	0	102
8	56	72	193	1	1	0	0	0	0	0	0	102
9	57	73	193	1	1	0	0	0	0	0	0	102
10	58	74	193	1	1	0	0	0	0	0	0	102
11	59	75	193	1	1	0	0	0	0	0	0	102
12	60	76	193	1	1	0	0	0	0	0	0	102
13	61	77	193	1	1	0	0	0	0	0	0	102
14	62	78	193	1	1	0	0	0	0	0	0	102
15	63	79	193	1	1	0	0	0	0	0	0	102
16	64	80	193	1	1	0	0	0	0	0	0	102
17	65	81	177	1	2	-1	-25	0	0	0	0	102
18	66	82	178	1	2	-1	-31	0	0	0	0	102
19	67	83	179	1	2	-1	-37	0	0	0	0	102
20	68	84	180	1	2	-1	-43	0	0	0	0	102
21	69	85	181	1	2	-1	-49	0	0	0	0	102
22	70	86	182	1	2	-1	-49	0	0	0	0	102
23	71	87	183	1	2	-1	-43	0	0	0	0	102
24	72	88	184	1	2	-1	-37	0	0	0	0	102
25	73	89	185	1	2	-1	-31	0	0	0	0	102
26	74	90	186	1	2	-1	-25	0	0	0	0	102
27	75	91	187	1	2	-1	-19	0	0	0	0	102
28	76	92	188	1	2	-1	-13	0	0	0	0	102
29	77	93	189	1	2	-1	-7	0	0	0	0	102
30	78	94	190	1	2	-1	-7	0	0	0	0	102
31	79	95	191	1	2	-1	-13	0	0	0	0	102
32	80	96	192	1	2	-1	-19	0	0	0	0	102
33	81	97	177	1	2	-2	-26	0	0	0	0	102
34	82	98	178	1	2	-2	-32	0	0	0	0	102
35	83	99	179	1	2	-2	-38	0	0	0	0	102
36	84	100	180	1	2	-2	-44	0	0	0	0	102
37	85	101	181	1	2	-2	-50	0	0	0	0	102
38	86	102	182	1	2	-2	-56	0	0	0	0	102
39	87	103	183	1	2	-2	-44	0	0	0	0	102
40	88	104	184	1	2	-2	-38	0	0	0	0	102
41	89	105	185	1	2	-2	-32	0	0	0	0	102
42	90	106	186	1	2	-2	-26	0	0	0	0	102
43	91	107	187	1	2	-2	-20	0	0	0	0	102
44	92	108	188	1	2	-2	-14	0	0	0	0	102
45	93	109	189	1	2	-2	-8	0	0	0	0	102
46	94	110	190	1	2	-2	-8	0	0	0	0	102
47	95	111	191	1	2	-2	-14	0	0	0	0	102
48	96	112	192	1	2	-2	-20	0	0	0	0	102
49	97	113	177	1	2	-2	-27	0	0	0	0	102
50	98	114	178	1	2	-2	-33	0	0	0	0	102
51	99	115	179	1	2	-2	-39	0	0	0	0	102
52	100	116	180	1	2	-2	-45	0	0	0	0	102
53	101	117	181	1	2	-2	-51	0	0	0	0	102
54	102	118	182	1	2	-2	-51	0	0	0	0	102

55	103	119	183		-5	-45	102
56	104	120	184		-3	-39	102
57	105	121	185		-3	-33	102
58	106	122	186		-3	-27	102
59	107	123	187		-3	-21	102
60	108	124	188		-3	-15	102
61	109	125	189		-3	-9	102
62	110	126	190		-3	-15	102
63	111	127	191		-3	-21	102
64	112	128	192		-3	-21	102
65	113	129	177		-4	-23	102
66	114	130	178		-4	-34	102
67	115	131	179		-4	-40	102
68	116	132	180		-4	-46	102
69	117	133	181		-4	-52	102
70	118	134	182		-4	-52	102
71	119	135	183		-4	-46	102
72	120	136	184		-4	-40	102
73	121	137	185		-4	-34	102
74	122	138	186		-4	-28	102
75	123	139	187		-4	-22	102
76	124	140	188		-4	-16	102
77	125	141	189		-4	-10	102
78	126	142	190		-4	-10	102
79	127	143	191		-4	-16	102
80	128	144	192		-4	-22	102
81	129	145	177		-4	-22	102
82	130	146	178		-4	-35	102
83	131	147	179		-4	-41	102
84	132	148	180		-4	-47	102
85	133	149	181		-4	-53	102
86	134	150	182		-4	-53	102
87	135	151	183		-4	-47	102
88	136	152	184		-4	-41	102
89	137	153	185		-4	-35	102
90	138	154	186		-4	-29	102
91	139	155	187		-4	-23	102
92	140	156	188		-4	-17	102
93	141	157	189		-5	-11	102
94	142	158	190		-5	-11	102
95	143	159	191		-5	-17	102
96	144	160	192		-5	-23	102
97	145	161	177		-5	-30	111 102
98	146	162	178		-6	-36	111 102
99	147	163	179		-6	-42	111 102
100	148	164	180		-6	-48	111 102
101	149	165	181		-6	-54	111 102
102	150	166	182		-6	-54	111 102
103	151	167	183		-6	-48	111 102
104	152	168	184		-6	-42	111 102
105	153	169	185		-6	-36	111 102
106	154	170	186		-6	-30	111 102
107	155	171	187		-6	-24	111 102
108	156	172	188		-6	-18	111 102
109	157	173	189		-6	-12	111 102
110	158	174	190		-6	-12	111 102
111	159	175	191		-6	-18	111 102
112	160	176	192		-6	-24	111 102
113	161	162	193		-6	-32	111 102
114	162	163	193		-5	0	12

115	163	164	195	1	-55	0	0	0	0	12
116	164	165	195	1	-55	0	0	0	0	12
117	165	166	195	1	-55	0	0	0	0	12
118	166	167	195	1	-55	0	0	0	0	12
119	167	168	195	1	-55	0	0	0	0	12
120	168	169	195	1	-55	0	0	0	0	12
121	169	170	195	1	-55	0	0	0	0	12
122	170	171	195	1	-55	0	0	0	0	12
123	171	172	195	1	-55	0	0	0	0	12
124	172	173	195	1	-55	0	0	0	0	12
125	173	174	195	1	-55	0	0	0	0	12
126	174	175	195	1	-55	0	0	0	0	12
127	175	176	195	1	-55	0	0	0	0	12
128	176	161	195	1	-55	0	0	0	0	96
129	65	66	195	2	-56	0	0	0	0	12
130	66	67	195	2	-56	0	0	0	0	12
131	67	68	195	2	-56	0	0	0	0	12
132	68	69	195	2	-56	0	0	0	0	12
133	69	70	195	2	-56	0	0	0	0	12
134	70	71	195	2	-56	0	0	0	0	12
135	71	72	195	2	-56	0	0	0	0	12
136	72	73	195	2	-56	0	0	0	0	12
137	73	74	195	2	-56	0	0	0	0	12
138	74	75	195	2	-56	0	0	0	0	12
139	75	76	195	2	-56	0	0	0	0	12
140	76	77	195	2	-56	0	0	0	0	12
141	77	78	195	2	-56	0	0	0	0	12
142	78	79	195	2	-56	0	0	0	0	12
143	79	80	195	2	-56	0	0	0	0	12
144	80	65	195	2	-56	0	0	0	0	96
145	81	82	177	1	-57	0	11	11	12	
146	82	83	178	1	-57	0	11	11	12	
147	83	84	177	1	-57	0	11	11	12	
148	84	85	180	1	-57	0	11	11	12	
149	85	86	181	1	-57	0	11	11	12	
150	86	87	182	1	-57	0	11	11	12	
151	87	88	183	1	-57	0	11	11	12	
152	88	89	184	1	-57	0	11	11	12	
153	89	90	185	1	-57	0	11	11	12	
154	90	91	186	1	-57	0	11	11	12	
155	91	92	187	1	-57	0	11	11	12	
156	92	93	188	1	-57	0	11	11	12	
157	93	94	189	1	-57	0	11	11	12	
158	94	95	190	1	-57	0	11	11	12	
159	95	96	191	1	-57	0	11	11	12	
160	96	81	192	1	-57	0	11	11	96	
161	97	98	177	1	-58	0	11	11	12	
162	98	99	178	1	-58	0	11	11	12	
163	99	100	177	1	-58	0	11	11	12	
164	100	101	180	1	-58	0	11	11	12	
165	101	102	181	1	-58	0	11	11	12	
166	102	103	182	1	-58	0	11	11	12	
167	103	104	183	1	-58	0	11	11	12	
168	104	105	184	1	-58	0	11	11	12	
169	105	106	185	1	-58	0	11	11	12	
170	106	107	186	1	-58	0	11	11	12	
171	107	108	187	1	-58	0	11	11	12	
172	108	109	188	1	-58	0	11	11	12	
173	109	110	189	1	-58	0	11	11	12	
174	110	111	190	1	-58	0	11	11	12	

175	111	112	191	1	8	0	0	0	0	11	11	12
176	112	97	192	1	8	0	0	0	0	11	11	96
177	113	114	177	1	8	0	0	0	0	11	11	12
178	114	112	178	1	8	0	0	0	0	11	11	12
179	115	112	179	1	8	0	0	0	0	11	11	12
180	116	117	180	1	8	0	0	0	0	11	11	12
181	117	118	181	1	8	0	0	0	0	11	11	12
182	118	119	182	1	8	0	0	0	0	11	11	12
183	119	120	183	1	8	0	0	0	0	11	11	12
184	120	121	184	1	8	0	0	0	0	11	11	12
185	121	122	185	1	8	0	0	0	0	11	11	12
186	122	123	186	1	8	0	0	0	0	11	11	12
187	123	124	187	1	8	0	0	0	0	11	11	12
188	124	125	188	1	8	0	0	0	0	11	11	12
189	125	126	189	1	8	0	0	0	0	11	11	12
190	126	127	190	1	8	0	0	0	0	11	11	12
191	127	128	191	1	8	0	0	0	0	11	11	12
192	128	113	192	1	8	0	0	0	0	11	11	96
193	129	130	177	1	9	0	0	0	0	11	11	12
194	130	131	178	1	9	0	0	0	0	11	11	12
195	131	132	179	1	9	0	0	0	0	11	11	12
196	132	133	180	1	9	0	0	0	0	11	11	12
197	133	134	181	1	9	0	0	0	0	11	11	12
198	134	135	182	1	9	0	0	0	0	11	11	12
199	135	136	183	1	9	0	0	0	0	11	11	12
200	136	137	184	1	9	0	0	0	0	11	11	12
201	137	138	185	1	9	0	0	0	0	11	11	12
202	138	139	186	1	9	0	0	0	0	11	11	12
203	139	140	187	1	9	0	0	0	0	11	11	12
204	140	141	188	1	9	0	0	0	0	11	11	12
205	141	142	189	1	9	0	0	0	0	11	11	12
206	142	143	190	1	9	0	0	0	0	11	11	12
207	143	144	191	1	9	0	0	0	0	11	11	12
208	144	129	192	1	9	0	0	0	0	11	11	96
209	145	146	177	1	10	0	0	0	0	11	11	12
210	146	147	178	1	10	0	0	0	0	11	11	12
211	147	148	179	1	10	0	0	0	0	11	11	12
212	148	149	180	1	10	0	0	0	0	11	11	12
213	149	150	181	1	10	0	0	0	0	11	11	12
214	150	151	182	1	10	0	0	0	0	11	11	12
215	151	152	183	1	10	0	0	0	0	11	11	12
216	152	153	184	1	10	0	0	0	0	11	11	12
217	153	154	185	1	10	0	0	0	0	11	11	12
218	154	155	186	1	10	0	0	0	0	11	11	12
219	155	156	187	1	10	0	0	0	0	11	11	12
220	156	157	188	1	10	0	0	0	0	11	11	12
221	157	158	189	1	10	0	0	0	0	11	11	12
222	158	159	190	1	10	0	0	0	0	11	11	12
223	159	160	191	1	10	0	0	0	0	11	11	12
224	160	145	192	1	10	0	0	-61	0	11	11	96

BOUNDR Y ELEMENTS

ELEMENT TYPE = 7
 NUMBER OF ELEMENTS = 48

ELEMENT LOAD CASE MULTIPLIERS

CASE(A)	CASE(B)	CASE(C)	CASE(D)
0.0	0.0	0.0	0.0

ELEMENT NUMBER	NODE (N)	NODES DEFINING (N1)	CONSTRAINT (N2)	DIRECTION (N3)	CODE KD	CODE KR	GENERATION (K)	SPECIFIED CODE (K)	SPECIFIED DISPLACEMENT	SPECIFIED ROTATION	SPRING RATE
1	69	1	0	0	1	1	0	0.0	0.0	0.1000D 11	
2	69	17	0	0	1	1	0	0.0	0.0	0.1000D 11	
3	49	33	0	0	1	1	0	0.0	0.0	0.1000D 11	
4	50	2	0	0	1	1	0	0.0	0.0	0.1000D 11	
5	50	18	0	0	1	1	0	0.0	0.0	0.1000D 11	
6	50	34	0	0	1	1	0	0.0	0.0	0.1000D 11	
7	51	3	0	0	1	1	0	0.0	0.0	0.1000D 11	
8	51	35	0	0	1	1	0	0.0	0.0	0.1000D 11	
9	51	4	0	0	1	1	0	0.0	0.0	0.1000D 11	
10	52	20	0	0	1	1	0	0.0	0.0	0.1000D 11	
11	52	36	0	0	1	1	0	0.0	0.0	0.1000D 11	
12	52	5	0	0	1	1	0	0.0	0.0	0.1000D 11	
13	53	21	0	0	1	1	0	0.0	0.0	0.1000D 11	
14	53	37	0	0	1	1	0	0.0	0.0	0.1000D 11	
15	54	6	0	0	1	1	0	0.0	0.0	0.1000D 11	
16	54	22	0	0	1	1	0	0.0	0.0	0.1000D 11	
17	54	38	0	0	1	1	0	0.0	0.0	0.1000D 11	
18	54	7	0	0	1	1	0	0.0	0.0	0.1000D 11	
19	55	23	0	0	1	1	0	0.0	0.0	0.1000D 11	
20	55	39	0	0	1	1	0	0.0	0.0	0.1000D 11	
21	55	8	0	0	1	1	0	0.0	0.0	0.1000D 11	
22	56	24	0	0	1	1	0	0.0	0.0	0.1000D 11	
23	56	40	0	0	1	1	0	0.0	0.0	0.1000D 11	
24	57	9	0	0	1	1	0	0.0	0.0	0.1000D 11	
25	57	25	0	0	1	1	0	0.0	0.0	0.1000D 11	
26	57	41	0	0	1	1	0	0.0	0.0	0.1000D 11	
27	57	10	0	0	1	1	0	0.0	0.0	0.1000D 11	
28	58	26	0	0	1	1	0	0.0	0.0	0.1000D 11	
29	58	42	0	0	1	1	0	0.0	0.0	0.1000D 11	
30	59	11	0	0	1	1	0	0.0	0.0	0.1000D 11	
31	59	27	0	0	1	1	0	0.0	0.0	0.1000D 11	
32	59	43	0	0	1	1	0	0.0	0.0	0.1000D 11	
33	60	12	0	0	1	1	0	0.0	0.0	0.1000D 11	
34	60	28	0	0	1	1	0	0.0	0.0	0.1000D 11	
35	60	44	0	0	1	1	0	0.0	0.0	0.1000D 11	
36	60	61	0	0	1	1	0	0.0	0.0	0.1000D 11	
37	61	13	0	0	1	1	0	0.0	0.0	0.1000D 11	
38	61	29	0	0	1	1	0	0.0	0.0	0.1000D 11	
39	61	45	0	0	1	1	0	0.0	0.0	0.1000D 11	
40	62	14	0	0	1	1	0	0.0	0.0	0.1000D 11	
41	62	30	0	0	1	1	0	0.0	0.0	0.1000D 11	
42	62	46	0	0	1	1	0	0.0	0.0	0.1000D 11	

43	63	15	0	0	1	0	0	0	0	0	0.1000D 11
44	63	31	0	0	1	0	0	0	0	0	0.1000D 11
45	63	47	0	0	1	0	0	0	0	0	0.1000D 11
46	64	16	0	0	1	0	0	0	0	0	0.1000D 11
47	64	32	0	0	1	0	0	0	0	0	0.1000D 11
48	64	48	0	0	1	0	0	0	0	0	0.1000D 11

REQUIRED BLANK COMMON FOR THIS STEP= 6388

NODAL LOADS (STATIC) OR MASSES (DYNAMIC)

NODE NUMBER	LOAD CASE	X-AXIS FORCE	Y-AXIS FORCE	Z-AXIS FORCE	X-AXIS MOMENT	Y-AXIS MOMENT	Z-AXIS MOMENT
65	3	2.35000D 02	0.0	0.0	0.0	0.0	0.0
66	3	2.35000D 02	0.0	0.0	0.0	0.0	0.0
67	3	2.35000D 02	0.0	0.0	0.0	0.0	0.0
68	3	2.35000D 02	0.0	0.0	0.0	0.0	0.0
69	3	2.35000D 02	0.0	0.0	0.0	0.0	0.0
70	3	2.35000D 02	0.0	0.0	0.0	0.0	0.0
71	3	2.35000D 02	0.0	0.0	0.0	0.0	0.0
72	3	2.35000D 02	0.0	0.0	0.0	0.0	0.0
73	3	2.35000D 02	0.0	0.0	0.0	0.0	0.0
74	3	2.35000D 02	0.0	0.0	0.0	0.0	0.0
75	3	2.35000D 02	0.0	0.0	0.0	0.0	0.0
76	3	2.35000D 02	0.0	0.0	0.0	0.0	0.0
77	3	2.35000D 02	0.0	0.0	0.0	0.0	0.0
78	3	2.35000D 02	0.0	0.0	0.0	0.0	0.0
79	3	2.35000D 02	0.0	0.0	0.0	0.0	0.0
80	3	2.35000D 02	0.0	0.0	0.0	0.0	0.0
81	3	4.07000D 02	0.0	0.0	0.0	0.0	0.0
82	3	4.07000D 02	0.0	0.0	0.0	0.0	0.0
83	3	4.07000D 02	0.0	0.0	0.0	0.0	0.0
84	3	4.07000D 02	0.0	0.0	0.0	0.0	0.0
85	3	4.07000D 02	0.0	0.0	0.0	0.0	0.0
86	3	4.07000D 02	0.0	0.0	0.0	0.0	0.0
87	3	4.07000D 02	0.0	0.0	0.0	0.0	0.0
88	3	4.07000D 02	0.0	0.0	0.0	0.0	0.0
89	3	4.07000D 02	0.0	0.0	0.0	0.0	0.0
90	3	4.07000D 02	0.0	0.0	0.0	0.0	0.0
91	3	4.07000D 02	0.0	0.0	0.0	0.0	0.0
92	3	4.07000D 02	0.0	0.0	0.0	0.0	0.0
93	3	4.07000D 02	0.0	0.0	0.0	0.0	0.0
94	3	4.07000D 02	0.0	0.0	0.0	0.0	0.0
95	3	4.07000D 02	0.0	0.0	0.0	0.0	0.0
96	3	4.07000D 02	0.0	0.0	0.0	0.0	0.0
97	3	3.58000D 02	0.0	0.0	0.0	0.0	0.0
98	3	3.58000D 02	0.0	0.0	0.0	0.0	0.0
99	3	3.58000D 02	0.0	0.0	0.0	0.0	0.0
100	3	3.58000D 02	0.0	0.0	0.0	0.0	0.0
101	3	3.58000D 02	0.0	0.0	0.0	0.0	0.0
102	3	3.58000D 02	0.0	0.0	0.0	0.0	0.0
103	3	3.58000D 02	0.0	0.0	0.0	0.0	0.0
104	3	3.58000D 02	0.0	0.0	0.0	0.0	0.0
105	3	3.58000D 02	0.0	0.0	0.0	0.0	0.0
106	3	3.58000D 02	0.0	0.0	0.0	0.0	0.0
107	3	3.58000D 02	0.0	0.0	0.0	0.0	0.0
108	3	3.58000D 02	0.0	0.0	0.0	0.0	0.0
109	3	3.58000D 02	0.0	0.0	0.0	0.0	0.0
110	3	3.58000D 02	0.0	0.0	0.0	0.0	0.0
111	3	3.58000D 02	0.0	0.0	0.0	0.0	0.0
112	3	3.58000D 02	0.0	0.0	0.0	0.0	0.0
113	3	3.58000D 02	0.0	0.0	0.0	0.0	0.0
114	3	3.38000D 02	0.0	0.0	0.0	0.0	0.0
115	3	3.38000D 02	0.0	0.0	0.0	0.0	0.0
116	3	3.38000D 02	0.0	0.0	0.0	0.0	0.0
117	3	3.38000D 02	0.0	0.0	0.0	0.0	0.0
118	3	3.38000D 02	0.0	0.0	0.0	0.0	0.0

ALL EQUATIONS HAVE STIFFNESS ATTACHED

STRUCTURE LOAD CASE	ELEMENT A	ELEMENT B	LOAD C	MULTIPLIERS D
1	1.000	0.0	0.864	0.0
2	1.000	0.0	1.000	0.0
3	1.000	0.0	0.932	0.0
4	1.000	1.000	0.864	0.0

STIFFNESS MATRIX PARAMETERS

MINIMUM NON-ZERO DIAGONAL ELEMENTS = 2.031D 05
 MAXIMUM NON-ZERO ELEMENT = 1.425D 10
 MAXIMUM/MINIMUM = 5.52D 04
 AVERAGE DIAGONAL ELEMENT = 1.694D 09
 DENSITY OF THE MATRIX = 9.8 PCT.

REQUIRED BLANK COMMON FOR THIS STEP# 5459

ANEXO NO. 5

RESULTADOS DEL ANALISIS ESTRUCTURAL

(PROGRAMA SAP V-2)

STATIC ANALYSIS

LOAD CASE 2

DISPLACEMENTS/ROTATIONS OF UNRESTRAINED NODES

NODE NUMBER	X- TRANSLATION	Y- TRANSLATION	Z- TRANSLATION	X- ROTATION	Y- ROTATION	Z- ROTATION
49 -3.05006D-11	-5.31499D-06	8.12435D-07	2.40230D-04	2.21347D-14	-8.98343D-09	
50 -3.10877D-07	-5.31499D-06	7.50604D-07	2.21940D-04	2.21347D-14	-9.19404D-05	
51 -5.74457D-07	-5.31499D-06	5.74500D-07	1.69862D-04	2.21347D-14	-1.69875D-04	
52 -7.58562D-07	-5.31499D-06	3.19730D-07	9.19236D-05	2.21347D-14	-2.21347D-04	
53 -8.42355D-07	-5.31499D-06	3.05960D-07	8.21943D-05	2.21347D-14	-2.21347D-04	
54 -7.59604D-07	-5.31499D-06	3.10877D-07	9.19404D-05	2.21347D-14	-2.21347D-04	
55 -5.74500D-07	-5.31499D-06	5.74457D-07	1.69875D-04	2.21347D-14	-1.69862D-04	
56 -3.10934D-07	-5.31499D-06	7.50581D-07	2.21947D-04	2.21347D-14	-9.19236D-05	
57 -3.05006D-11	-5.31499D-06	8.12435D-07	2.40230D-04	2.21347D-14	-8.98343D-09	
58 -3.10877D-07	-5.31499D-06	7.50604D-07	2.21940D-04	2.21347D-14	-9.19404D-05	
59 -5.74457D-07	-5.31499D-06	5.74500D-07	1.69862D-04	2.21347D-14	-1.69875D-04	
60 -7.58562D-07	-5.31499D-06	3.19730D-07	9.19236D-05	2.21347D-14	-2.21347D-04	
61 -8.42355D-07	-5.31499D-06	3.05960D-07	8.21943D-05	2.21347D-14	-2.21347D-04	
62 -7.59604D-07	-5.31499D-06	3.10877D-07	9.19404D-05	2.21347D-14	-2.21347D-04	
63 -5.74500D-07	-5.31499D-06	5.74457D-07	1.69875D-04	2.21347D-14	-1.69862D-04	
64 -3.10934D-07	-5.31499D-06	7.50581D-07	2.21947D-04	2.21347D-14	-9.19236D-05	
65 -4.05860D-06	-1.09264D-01	3.76813D-01	1.73005D-03	1.86952D-09	-4.10227D-10	
66 1.44204D-01	-1.09264D-01	3.48128D-01	1.59835D-03	1.86952D-09	6.62060D-04	
67 2.66450D-01	-1.09264D-01	2.66444D-01	-1.22333D-03	1.86952D-09	1.22333D-03	
68 3.48113D-01	-1.09264D-01	1.41919D-01	-6.62060D-04	1.86952D-09	1.59835D-03	
69 3.68113D-01	-1.09264D-01	1.05298D-01	-4.05298D-04	1.86952D-09	1.59835D-03	
70 3.48128D-01	-1.09264D-01	-1.44204D-01	6.62060D-04	1.86952D-09	1.59835D-03	
71 2.66444D-01	-1.09264D-01	-2.66450D-01	1.22333D-03	1.86952D-09	1.22333D-03	
72 1.44196D-01	-1.09264D-01	3.48131D-01	1.59835D-03	1.86952D-09	6.62060D-04	
73 -4.05860D-06	-1.09264D-01	3.76813D-01	1.73005D-03	1.86952D-09	6.10227D-10	
74 -1.44204D-01	-1.09264D-01	3.48128D-01	1.59835D-03	1.86952D-09	-6.62060D-04	
75 -2.66450D-01	-1.09264D-01	2.66444D-01	1.22333D-03	1.86952D-09	-1.22333D-03	
76 -3.48113D-01	-1.09264D-01	-1.44196D-01	6.62060D-04	1.86952D-09	-1.59835D-03	
77 -3.68113D-01	-1.09264D-01	-1.05298D-01	-4.05298D-04	1.86952D-09	-1.59835D-03	
78 -3.48128D-01	-1.09264D-01	1.44204D-01	-6.62060D-04	1.86952D-09	-1.59835D-03	
79 -2.66444D-01	-1.09264D-01	-2.66450D-01	-1.22333D-03	1.86952D-09	-1.22333D-03	
80 -1.44196D-01	-1.09264D-01	3.48131D-01	-1.59835D-03	1.86952D-09	-6.62060D-04	
81 3.42586D-06	-1.33564D-00	3.76946D-02	2.91835D-03	1.85007D-09	-3.42621D-10	
82 1.44283D-02	-1.33564D-00	3.48240D-02	2.69618D-03	1.85007D-09	1.11680D-03	
83 2.66556D-02	-1.33564D-00	2.66517D-02	2.06357D-03	1.85007D-09	2.06357D-03	
84 3.48266D-02	-1.33564D-00	1.44219D-02	1.11680D-03	1.85007D-09	2.69618D-03	
85 3.76946D-02	-1.33564D-00	3.42266D-02	-3.16680D-04	1.85007D-09	2.91835D-03	
86 3.42586D-02	-1.33564D-00	1.44221D-02	1.11680D-03	1.85007D-09	2.91835D-03	
87 2.66517D-02	-1.33564D-00	-2.66556D-02	-2.06357D-03	1.85007D-09	2.06357D-03	
88 1.44219D-02	-1.33564D-00	-3.48266D-02	2.69618D-03	1.85007D-09	1.11680D-03	
89 -3.42586D-06	-1.33564D-00	-3.76946D-02	2.91835D-03	1.85007D-09	2.46263D-10	
90 -1.44283D-02	-1.33564D-00	-3.48240D-02	2.69618D-03	1.85007D-09	-1.11680D-03	
91 -2.66556D-02	-1.33564D-00	-2.66517D-02	2.06357D-03	1.85007D-09	-2.06357D-03	
92 -3.48266D-02	-1.33564D-00	-1.44219D-02	1.11680D-03	1.85007D-09	-2.69618D-03	
93 -3.76946D-02	-1.33564D-00	-3.42266D-02	3.46263D-04	1.85007D-09	-2.91835D-03	
94 -3.42586D-02	-1.33564D-00	-1.44221D-02	1.11680D-03	1.85007D-09	-2.91835D-03	
95 -2.66517D-02	-1.33564D-00	-2.66556D-02	-2.06357D-03	1.85007D-09	-2.06357D-03	
96 -1.44219D-02	-1.33564D-00	-3.48266D-02	-2.69618D-03	1.85007D-09	-1.11680D-03	
97 2.95082D-06	-1.87603D-00	-2.35613D-01	-7.98564D-04	1.82761D-09	-3.07192D-10	
98 -9.01624D-02	-1.87603D-00	-2.17679D-01	-7.37777D-04	1.82761D-09	3.05597D-06	
99 -1.66601D-01	-1.87603D-00	-1.66605D-01	-5.64670D-04	1.82761D-09	5.64670D-04	
100 -2.17677D-01	-1.87603D-00	-9.01678D-02	-3.05598D-04	1.82761D-09	7.37777D-04	

101	-2.35613D-01	-1.87603D 00	-2.95082D-06	-3.07194D-10	1.82761D-09	7.98564D-04
102	-1.66665D-01	-1.87603D 00	1.66601D-01	5.64670D-04	1.82761D-09	5.64670D-04
104	-9.01678D-02	-1.87603D 00	2.17677D-01	7.37777D-04	1.82761D-09	3.05598D-04
105	-2.95082D-06	-1.87603D 00	2.35613D-01	7.98564D-04	1.82761D-09	3.07196D-10
106	9.01624D-02	-1.87603D 00	2.17679D-01	7.37777D-04	1.82761D-09	3.05597D-04
107	1.66601D-01	-1.87603D 00	1.66605D-01	5.64670D-04	1.82761D-09	5.64670D-04
108	2.17677D-01	-1.87603D 00	9.01678D-02	3.07194D-04	1.82761D-09	7.37777D-04
109	2.35613D-01	-1.87603D 00	2.17677D-02	7.37777D-04	1.82761D-09	7.37777D-04
110	6.66605D-01	-1.87603D 00	-9.01624D-02	-5.05597D-04	1.82761D-09	1.82761D-09
111	1.66605D-01	-1.87603D 00	-1.66601D-01	5.64670D-04	1.82761D-09	5.64670D-04
112	9.01678D-02	-1.87603D 00	-2.17677D-01	-7.37777D-04	1.82761D-09	3.05598D-04
113	2.55101D-06	-1.87999D 00	-2.12808D-01	3.58434D-04	1.80700D-09	2.82479D-10
114	-8.14356D-02	-1.87999D 00	-1.96610D-01	3.31150D-04	1.80700D-09	-1.37167D-01
115	-1.50476D-01	-1.87999D 00	-1.50476D-02	2.53451D-04	1.80700D-09	2.53451D-04
116	-2.12808D-01	-1.87999D 00	-2.55101D-02	-2.82489D-10	1.80700D-09	-3.58434D-04
117	-1.96610D-01	-1.87999D 00	8.14356D-02	-1.37167D-04	1.80700D-09	3.31150D-04
118	-1.50479D-01	-1.87999D 00	1.96608D-01	-2.53451D-04	1.80700D-09	2.53451D-04
119	-1.50479D-01	-1.87999D 00	1.50476D-01	3.31150D-04	1.80700D-09	1.37166D-01
120	-8.14340D-02	-1.87999D 00	2.12808D-01	-3.58434D-04	1.80700D-09	2.82489D-10
122	-8.14356D-02	-1.87999D 00	1.96610D-01	-3.31150D-04	1.80700D-09	1.37166D-01
123	1.50476D-01	-1.87999D 00	1.50476D-02	-2.53451D-04	1.80700D-09	2.53451D-04
124	-9.66605D-01	-1.87999D 00	8.14340D-02	-2.37166D-04	1.80701D-09	3.31150D-04
125	-2.12808D-01	-1.87999D 00	2.55102D-06	2.82489D-10	1.80700D-09	-3.58434D-04
126	1.96610D-01	-1.87999D 00	-8.14356D-02	1.37167D-04	1.80700D-09	3.31150D-04
127	1.50479D-01	-1.87999D 00	-1.50476D-01	2.53451D-04	1.80700D-09	2.53451D-04
128	8.14403D-02	-1.87999D 00	-1.96608D-01	3.31150D-04	1.80700D-09	1.37166D-01
129	-2.55102D-06	-1.87999D 00	2.12808D-01	-3.58434D-04	1.80700D-09	2.82489D-10
130	8.14356D-02	-1.87999D 00	1.96610D-01	-3.31150D-04	1.80700D-09	1.37166D-01
131	-1.50476D-01	-1.87999D 00	1.50476D-02	-2.53451D-04	1.80700D-09	2.53451D-04
132	-5.99621D-02	-1.78461D 00	-3.98612D-01	1.82451D-04	1.79206D-09	2.92449D-04
133	4.88017D-02	-1.78461D 00	-2.24514D-02	-2.70232D-10	1.79206D-09	-3.82104D-04
134	-7.83474D-02	-1.78461D 00	3.24501D-02	-1.58273D-04	1.79206D-09	4.13586D-04
135	-8.34747D-02	-1.78461D 00	3.24501D-02	-1.58273D-04	1.79206D-09	4.13586D-04
136	-5.99654D-02	-1.78461D 00	5.99623D-02	-2.92450D-04	1.79206D-09	-2.92449D-04
137	-3.24543D-02	-1.78461D 00	7.83457D-02	-3.82104D-04	1.79206D-09	-1.58272D-04
138	-2.24514D-06	-1.78461D 00	8.48017D-02	-1.43586D-04	1.79206D-09	2.70234D-10
139	-3.24501D-02	-1.78461D 00	7.83476D-02	-3.82104D-04	1.79206D-09	1.58272D-04
140	-5.99621D-02	-1.78461D 00	5.99623D-02	-2.92450D-04	1.79206D-09	2.92449D-04
141	-4.88017D-02	-1.78461D 00	3.24543D-02	-1.58272D-04	1.79206D-09	3.82104D-04
142	-7.83474D-02	-1.78461D 00	-3.24501D-02	1.58273D-04	1.79206D-09	3.82104D-04
143	-5.99654D-02	-1.78461D 00	-5.99623D-02	2.92450D-04	1.79206D-09	2.92449D-04
144	-3.24543D-02	-1.78461D 00	-7.83457D-02	3.82104D-04	1.79206D-09	1.58272D-04
145	-2.03439D-06	-1.74994D 00	-1.89923D-02	1.16241D-04	1.77727D-09	2.81470D-10
146	-7.26613D-03	-1.74994D 00	-1.31941D-02	1.21949D-04	1.77727D-09	-1.07393D-04
147	-1.74994D-02	-1.74994D 00	-1.31941D-02	2.12949D-05	1.77727D-09	-8.21952D-05
148	-1.75683D-02	-1.74994D 00	-7.26991D-03	4.44834D-05	1.77727D-09	-1.07393D-04
149	-1.89923D-02	-1.74994D 00	-2.03439D-03	-2.61919D-10	1.77727D-09	-1.16241D-04
150	-1.75674D-02	-1.74994D 00	7.26615D-03	-4.44839D-05	1.77727D-09	-1.07393D-04
151	-1.34310D-02	-1.74994D 00	1.34281D-02	-8.21952D-05	1.77727D-09	-8.21949D-05
152	-7.26991D-03	-1.74994D 00	1.75458D-02	-1.07393D-04	1.77727D-09	-4.44834D-05
153	-2.03440D-06	-1.74994D 00	1.89923D-02	-1.16241D-04	1.77727D-09	2.81470D-10
154	7.26613D-03	-1.74994D 00	1.31941D-02	-1.21949D-04	1.77727D-09	4.44834D-05
155	1.72613D-02	-1.74994D 00	1.34110D-02	2.12949D-05	1.77727D-09	8.21952D-05
156	1.75658D-02	-1.74994D 00	7.26991D-03	-4.44834D-05	1.77727D-09	1.07393D-04
157	1.89923D-02	-1.74994D 00	2.03440D-06	2.61919D-10	1.77727D-09	1.16241D-04
158	1.75674D-02	-1.74994D 00	-7.26615D-03	4.44839D-05	1.77727D-09	1.07393D-04
159	1.34310D-02	-1.74994D 00	-1.34281D-02	8.21952D-05	1.77727D-09	8.21949D-05
160	7.26991D-03	-1.74994D 00	-1.75458D-02	1.07393D-04	1.77727D-09	4.44834D-05

161	1.92409D-06	-1.74344D 00	8.22935D-04	-4.07206D-05	4.05072D-09	-3.63251D-15
162	5.16701D-04	-1.74344D 00	7.59557D-04	-3.76210D-05	4.05072D-09	1.55831D-05
163	5.83264D-04	-1.74344D 00	5.80543D-04	-2.87938D-05	4.05072D-09	2.87938D-05
164	7.61029D-04	-1.74344D 00	3.13146D-04	-1.55831D-05	4.05072D-09	3.76210D-05
165	8.22935D-04	-1.74344D 00	1.92409D-04	-8.94722D-16	4.05072D-09	4.05072D-05
166	7.59557D-04	-1.74344D 00	5.13264D-04	-1.55831D-05	4.05072D-09	4.05072D-05
167	5.83264D-04	-1.74344D 00	-5.83264D-04	2.87938D-05	4.05072D-09	2.87938D-05
168	3.13146D-04	-1.74344D 00	-7.61029D-04	3.76210D-05	4.05072D-09	1.55831D-05
169	-1.92409D-06	-1.74344D 00	-8.22935D-04	4.07206D-05	4.05072D-09	4.74589D-15
170	-3.16701D-04	-1.74344D 00	-7.59557D-04	3.76210D-05	4.05072D-09	-1.55831D-05
171	-5.83264D-04	-1.74344D 00	-5.80543D-04	2.87938D-05	4.05072D-09	2.87938D-05
172	-7.61029D-04	-1.74344D 00	-3.13146D-04	1.55831D-05	4.05072D-09	3.76210D-05
173	-8.22935D-04	-1.74344D 00	-1.92409D-06	1.79726D-15	4.05072D-09	4.07206D-05
174	-7.59557D-04	-1.74344D 00	-5.13264D-04	-1.55831D-05	4.05072D-09	-3.76210D-05
175	-5.80543D-04	-1.74344D 00	-7.61029D-04	-2.87938D-05	4.05072D-09	-2.87938D-05
176	-3.13146D-04	-1.74344D 00	7.61029D-04	-3.76210D-05	4.05072D-09	-1.55831D-05

BEAM ELEMENT FORCES AND MOMENTS

BEAM NO.	LOAD NO.	AXIAL R1	SHEAR R2	SHEAR R3	TORSION M1	BENDING M2	BENDING M3	P/A+M2/S2	P/A-M2/S2	P/A+M3/S3	P/A-M3/S3
1	1	4.620D 04	7.095D 03	-1.041D-07	-1.934D-04	3.088D-01	2.099D 06	2.308D 02	2.308D 02	6.355D 02	-1.739D 02
		-4.620D 04	-7.095D 03	1.041D-07	1.934D-04	-3.087D-01	4.032D 06	-2.308D 02	-2.308D 02	5.467D 02	-1.008D 03
1	2	5.315D 04	8.124D 03	-1.192D-07	-2.213D-04	3.535D-01	2.402D 06	2.655D 02	2.655D 02	7.287D 02	-1.977D 02
		-5.315D 04	-8.124D 03	1.192D-07	2.213D-04	-3.534D-01	4.618D 06	-2.655D 02	-2.655D 02	6.250D 02	-1.156D 03
,1	3	4.968D 04	7.609D 03	1.696D 03	-1.000D 02	-7.436D 05	2.250D 06	-6.523D 02	1.149D 03	6.821D 02	-1.858D 02
		-4.968D 04	-7.609D 03	-1.696D 03	-1.000D 02	-7.021D 05	4.325D 06	-1.076D 03	3.798D 02	5.859D 02	-1.082D 03
1	4	2.926D 04	8.966D 03	1.997D 03	2.220D 02	-8.929D 06	7.891D 06	-9.068D 02	1.199D 03	1.668D 03	-1.375D 03
		-2.926D 04	-8.966D 03	-1.997D 03	-2.220D 02	-8.331D 05	-1.425D 05	-1.129D 03	8.363D 02	-1.736D 02	-1.187D 02
2	1	4.620D 04	7.095D 03	-1.040D-07	-1.934D-04	3.088D-01	2.099D 06	2.308D 02	2.308D 02	6.355D 02	-1.739D 02
		-4.620D 04	-7.095D 03	1.040D-07	1.934D-04	-3.087D-01	4.032D 06	-2.308D 02	-2.308D 02	5.467D 02	-1.008D 03
2	2	5.315D 04	8.124D 03	-1.190D-07	-2.213D-04	3.535D-01	2.402D 06	2.655D 02	2.655D 02	7.287D 02	-1.977D 02
		-5.315D 04	-8.124D 03	1.190D-07	2.213D-04	-3.534D-01	4.618D 06	-2.655D 02	-2.655D 02	6.250D 02	-1.156D 03
2	3	4.986D 04	8.568D 03	1.567D 03	9.243D 01	-7.055D 05	3.820D 06	-5.829D 02	1.081D 03	9.856D 02	-4.875D 02
		-4.986D 04	-8.568D 03	-1.567D 03	-9.243D 01	-6.487D 05	3.585D 06	-1.014D 03	5.159D 02	4.422D 02	-9.403D 02
2	4	3.092D 04	8.919D 03	7.652D 02	-2.033D 02	-3.632D 05	8.281D 06	-2.738D 02	5.828D 02	1.751D 03	-1.442D 03
		-3.092D 04	-8.919D 03	-7.652D 02	2.033D 02	-2.981D 05	-5.733D 06	-2.060D 02	1.970D 02	6.650D 02	-4.392D 01
3	1	4.620D 04	7.095D 03	-1.039D-07	-1.934D-04	3.088D-01	2.099D 06	2.308D 02	2.308D 02	6.355D 02	-1.739D 02
		-4.620D 04	-7.095D 03	1.039D-07	1.934D-04	-3.087D-01	4.032D 06	-2.308D 02	-2.308D 02	5.467D 02	-1.008D 03
3	2	5.315D 04	8.124D 03	-1.190D-07	-2.213D-04	3.535D-01	2.402D 06	2.655D 02	2.655D 02	7.287D 02	-1.977D 02
		-5.315D 04	-8.124D 03	1.190D-07	2.213D-04	-3.534D-01	4.618D 06	-2.655D 02	-2.655D 02	6.250D 02	-1.156D 03
3	3	5.001D 04	9.381D 03	1.199D 03	7.074D 01	-5.399D 05	5.150D 06	-3.869D 02	8.866D 02	1.244D 03	-7.432D 02
		-5.001D 04	-9.381D 03	-1.199D 03	-7.074D 01	-4.965D 05	2.957D 06	-8.353D 02	3.356D 02	3.204D 02	-8.200D 02
3	4	3.922D 04	7.552D 03	-1.497D 02	-3.972D 02	3.973D 04	5.293D 06	-2.428D 02	1.491D 02	1.216D 03	-8.246D 02
		-3.922D 04	-7.552D 03	1.497D 02	3.972D 02	8.967D 04	1.233D 06	-9.017D 01	-3.016D 02	4.189D 01	-4.337D 02
4	1	4.620D 04	7.095D 03	-1.040D-07	-1.934D-04	3.088D-01	2.099D 06	2.308D 02	2.308D 02	6.355D 02	-1.739D 02
		-4.620D 04	-7.095D 03	1.040D-07	1.934D-04	-3.087D-01	4.032D 06	-2.308D 02	-2.308D 02	5.467D 02	-1.008D 03
4	2	5.315D 04	8.124D 03	-1.191D-07	-2.213D-04	3.535D-01	2.402D 06	2.655D 02	2.655D 02	7.287D 02	-1.977D 02
		-5.315D 04	-8.124D 03	1.191D-07	2.213D-04	-3.534D-01	4.618D 06	-2.655D 02	-2.655D 02	6.250D 02	-1.156D 03
4	3	5.011D 04	9.925D 03	6.491D 02	3.628D 01	-2.922D 05	6.039D 06	-9.425D 01	5.949D 02	1.415D 03	-9.141D 02
		-5.011D 04	-9.925D 03	-6.491D 02	-3.628D 01	-2.687D 05	2.538D 06	-5.672D 02	6.651D 01	2.390D 02	-7.396D 02
4	4	4.729D 04	5.851D 03	-4.012D 02	-2.898D 02	1.624D 05	1.854D 06	4.277D 02	4.479D 01	5.937D 02	-1.212D 02
		-4.729D 04	-5.851D 03	4.012D 02	2.898D 02	1.844D 05	3.203D 06	-1.881D 01	-4.537D 02	3.813D 02	-8.538D 02

5	1	4.620D 04	7.095D 03	-1.041D-07	-1.934D-04	3.088D-01	2.099D 06	2.308D 02	2.308D 02	6.355D 02	-1.739D 02
		-4.620D 04	-7.095D 03	1.041D-07	1.934D-04	-3.087D-01	4.032D 06	-2.308D 02	-2.308D 02	5.467D 02	-1.008D 03
5	2	5.315D 04	8.124D 03	-1.192D-07	-2.213D-04	3.535D-01	2.402D 06	2.655D 02	2.655D 02	7.287D 02	-1.977D 02
		-5.315D 04	-8.124D 03	1.192D-07	2.213D-04	-3.534D-01	4.618D 06	-2.655D 02	-2.655D 02	6.250D 02	-1.156D 03
5	3	5.011D 04	1.012D 04	-4.111D-03	-3.083D-04	2.782D 00	6.351D 06	2.505D 02	2.505D 02	1.475D 03	-9.741D 02
		-5.011D 04	-1.012D 04	4.111D-03	3.083D-04	7.712D-01	2.390D 06	-2.505D 02	-2.505D 02	2.104D 02	-7.114D 02
5	4	5.106D 04	4.802D 03	-1.813D 02	-9.186D 01	7.626D 04	-8.915D 03	3.450D 02	1.651D 02	2.533D 02	2.568D 02
		-5.106D 04	-4.802D 03	1.813D 02	9.186D 01	8.040D 04	4.158D 06	-1.602D 02	-3.499D 02	5.468D 02	-1.057D 03
6	1	4.620D 04	7.095D 03	-1.042D-07	-1.934D-04	3.088D-01	2.099D 06	2.308D 02	2.308D 02	6.355D 02	-1.739D 02
		-4.620D 04	-7.095D 03	1.042D-07	1.934D-04	-3.087D-01	4.032D 06	-2.308D 02	-2.308D 02	5.467D 02	-1.008D 03
6	2	5.315D 04	8.124D 03	-1.193D-07	-2.213D-04	3.535D-01	2.402D 06	2.655D 02	2.655D 02	7.287D 02	-1.977D 02
		-5.315D 04	-8.124D 03	1.193D-07	2.213D-04	-3.534D-01	4.618D 06	-2.655D 02	-2.655D 02	6.250D 02	-1.156D 03
6	3	5.011D 04	9.925D 03	-6.491D 02	-3.828D 01	2.922D 05	6.039D 06	5.949D 02	-9.426D 01	1.415D 03	-9.141D 02
		-5.011D 04	-9.925D 03	6.491D 02	3.828D 01	2.687D 05	2.538D 06	6.652D 01	-5.672D 02	2.390D 02	-7.396D 02
6	4	5.106D 04	4.802D 03	1.813D 02	9.186D 01	-7.626D 04	-8.915D 03	1.651D 02	3.450D 02	2.533D 02	2.568D 02
		-5.106D 04	-4.802D 03	-1.813D 02	-9.186D 01	-8.040D 04	4.158D 06	-3.499D 02	-1.602D 02	5.468D 02	-1.057D 03
7	1	4.620D 04	7.095D 03	-1.043D-07	-1.934D-04	3.088D-01	2.099D 06	2.308D 02	2.308D 02	6.355D 02	-1.739D 02
		-4.620D 04	-7.095D 03	1.043D-07	1.934D-04	-3.087D-01	4.032D 06	-2.308D 02	-2.308D 02	5.467D 02	-1.008D 03
7	2	5.315D 04	8.124D 03	-1.194D-07	-2.213D-04	3.535D-01	2.402D 06	2.655D 02	2.655D 02	7.287D 02	-1.977D 02
		-5.315D 04	-8.124D 03	1.194D-07	2.213D-04	-3.534D-01	4.618D 06	-2.655D 02	-2.655D 02	6.250D 02	-1.156D 03
7	3	5.001D 04	9.381D 03	-1.199D 03	-7.074D 01	5.399D 05	5.150D 06	8.866D 02	-3.869D 02	1.243D 03	-7.432D 02
		-5.001D 04	-9.381D 03	1.199D 03	7.074D 01	4.965D 05	2.957D 06	3.356D 02	-8.353D 02	3.204D 02	-8.200D 02
7	4	4.729D 04	5.851D 03	4.012D 02	2.898D 02	-1.624D 05	1.854D 06	4.479D 01	4.277D 02	5.937D 02	-1.212D 02
		-4.729D 04	-5.851D 03	-4.012D 02	-2.898D 02	-1.844D 05	3.203D 06	-4.537D 02	-1.881D 01	3.813D 02	-8.538D 02
8	1	4.620D 04	7.095D 03	-1.042D-07	-1.934D-04	3.088D-01	2.099D 06	2.308D 02	2.308D 02	6.355D 02	-1.739D 02
		-4.620D 04	-7.095D 03	1.042D-07	1.934D-04	-3.087D-01	4.032D 06	-2.308D 02	-2.308D 02	5.467D 02	-1.008D 03
8	2	5.315D 04	8.124D 03	-1.192D-07	-2.213D-04	3.535D-01	2.402D 06	2.655D 02	2.655D 02	7.287D 02	-1.977D 02
		-5.315D 04	-8.124D 03	1.192D-07	2.213D-04	-3.534D-01	4.618D 06	-2.655D 02	-2.655D 02	6.250D 02	-1.156D 03
8	3	4.986D 04	8.568D 03	-1.567D 03	-9.243D 01	7.055D 05	3.820D 06	1.081D 03	-5.829D 02	9.856D 02	-4.875D 02
		-4.986D 04	-8.568D 03	1.567D 03	9.243D 01	6.487D 05	3.585D 06	5.159D 02	-1.014D 03	4.422D 02	-9.403D 02
8	4	3.922D 04	7.552D 03	1.497D 02	3.972D 02	-3.973D 04	5.293D 06	1.491D 02	2.428D 02	1.216D 03	-8.246D 02
		-3.922D 04	-7.552D 03	-1.497D 02	-3.972D 02	-8.966D 04	1.233D 06	-3.016D 02	-9.017D 01	4.189D 01	-8.337D 02
9	1	4.620D 04	7.095D 03	-1.039D-07	-1.934D-04	3.088D-01	2.099D 06	2.308D 02	2.308D 02	6.355D 02	-1.739D 02

		-4.620D 04	-7.095D 03	1.039D-07	1.934D-04	-3.087D-01	4.032D 06	-2.308D 02	-2.308D 02	5.467D 02	-1.008D 03		
9	2	5.315D 04	8.124D 03	-1.189D-07	-2.213D-04	3.535D-01	2.402D 06	2.655D 02	2.655D 02	7.287D 02	-1.977D 02		
		-5.315D 04	-8.124D 03	1.189D-07	2.213D-04	-3.534D-01	4.618D 06	-2.655D 02	-2.655D 02	6.250D 02	-1.156D 03		
9	3	4.968D 04	7.609D 03	-1.696D 03	-1.000D 02	7.633D 05	2.250D 06	1.149D 03	-6.523D 02	6.821D 02	-1.858D 02		
		-4.968D 04	-7.609D 03	1.696D 03	1.000D 02	7.021D 05	4.325D 06	5.798D 02	-1.076D 03	5.859D 02	-1.082D 03		
9	4	3.092D 04	8.919D 03	-7.652D 02	2.093D 02	3.632D 05	8.281D 06	5.828D 02	-2.738D 02	1.751D 03	-1.442D 03		
		-3.092D 04	-8.919D 03	7.652D 02	-2.093D 02	2.981D 05	-5.733D 05	1.970D 02	-5.660D 02	-2.650D 02	-4.392D 01		
		1	4.620D 04	7.095D 03	-1.037D-07	-1.934D-04	3.088D-01	2.099D 06	-2.308D 02	-2.308D 02	6.355D 02	-1.739D 02	
		-4.620D 04	-7.095D 03	1.037D-07	1.934D-04	-3.087D-01	4.032D 06	-2.308D 02	-2.308D 02	5.467D 02	-1.008D 03		
10	2	5.315D 04	8.124D 03	-1.187D-07	-2.213D-04	3.535D-01	2.402D 06	2.655D 02	2.655D 02	7.287D 02	-1.977D 02		
		-5.315D 04	-8.124D 03	1.187D-07	2.213D-04	-3.534D-01	4.618D 06	-2.655D 02	-2.655D 02	6.250D 02	-1.156D 03		
10	3	4.950D 04	6.651D 03	-1.567D 03	-9.243D 01	7.055D 05	6.812D 05	1.079D 03	-5.847D 02	3.786D 02	-1.159D 02		
		-4.950D 04	-6.651D 03	1.567D 03	9.243D 01	6.487D 05	5.086D 06	5.177D 02	-1.012D 03	7.296D 02	-1.224D 03		
10	4	2.926D 04	8.966D 03	-1.997D 03	-2.220D 02	8.929D 05	7.891D 06	8.199D 03	-9.066D 02	1.668D 03	-1.375D 03		
		-2.926D 04	-8.966D 03	1.997D 03	2.220D 02	8.331D 05	-1.425D 05	8.363D 02	-1.129D 03	-1.736D 02	-1.187D 02		
		11	1	4.620D 04	7.095D 03	-1.036D-07	-1.934D-04	3.088D-01	2.099D 06	-2.308D 02	-2.308D 02	6.355D 02	-1.739D 02
		-4.620D 04	-7.095D 03	1.036D-07	1.934D-04	-3.087D-01	4.032D 06	-2.308D 02	-2.308D 02	5.467D 02	-1.008D 03		
11	2	5.315D 04	8.124D 03	-1.186D-07	-2.213D-04	3.535D-01	2.402D 06	2.655D 02	2.655D 02	7.287D 02	-1.977D 02		
		-5.315D 04	-8.124D 03	1.186D-07	2.213D-04	-3.534D-01	4.618D 06	-2.655D 02	-2.655D 02	6.250D 02	-1.156D 03		
11	3	4.934D 04	5.838D 03	-1.199D 03	-7.074D 01	5.399D 05	-6.491D 05	8.832D 02	-3.902D 02	1.213D 02	-3.717D 02		
		-4.934D 04	-5.838D 03	1.199D 03	7.074D 01	4.965D 05	5.694D 06	3.390D 02	-8.320D 02	8.514D 02	-1.347D 03		
11	4	3.767D 04	7.231D 03	-2.775D 03	-6.058D 02	1.219D 06	3.224D 06	1.626D 03	-1.249D 03	8.098D 02	-4.334D 02		
		-3.767D 04	-7.231D 03	2.775D 03	6.058D 02	1.179D 06	3.025D 06	1.202D 03	-1.579D 03	3.950D 02	-7.714D 02		
		12	1	4.620D 04	7.095D 03	-1.037D-07	-1.934D-04	3.088D-01	2.099D 06	-2.308D 02	-2.308D 02	6.355D 02	-1.739D 02
		-4.620D 04	-7.095D 03	1.037D-07	1.934D-04	-3.087D-01	4.032D 06	-2.308D 02	-2.308D 02	5.467D 02	-1.008D 03		
12	2	5.315D 04	8.124D 03	-1.187D-07	-2.213D-04	3.535D-01	2.402D 06	2.655D 02	2.655D 02	7.287D 02	-1.977D 02		
		-5.315D 04	-8.124D 03	1.187D-07	2.213D-04	-3.534D-01	4.618D 06	-2.655D 02	-2.655D 02	6.250D 02	-1.156D 03		
12	3	4.924D 04	5.294D 03	-6.491D 02	-3.828D 01	2.922D 05	-1.538D 06	5.906D 02	-9.861D 01	-5.059D 01	-5.426D 02		
		-4.924D 04	-5.294D 03	6.491D 02	3.828D 01	2.687D 05	6.113D 06	7.087D 01	-5.282D 02	9.328D 02	-1.425D 03		
12	4	5.090D 04	4.763D 03	-2.406D 03	-5.966D 02	1.052D 06	-3.510D 06	1.495D 03	-9.861D 02	-4.225D 02	-9.311D 02		
		-5.090D 04	-4.763D 03	2.406D 03	5.966D 02	1.027D 06	7.626D 06	9.571D 02	-1.466D 03	-1.216D 03	-1.725D 03		
		13	1	4.620D 04	7.095D 03	-1.040D-07	-1.934D-04	3.088D-01	2.099D 06	-2.308D 02	-2.308D 02	6.355D 02	-1.739D 02
		-4.620D 04	-7.095D 03	1.040D-07	1.934D-04	-3.087D-01	4.032D 06	-2.308D 02	-2.308D 02	5.467D 02	-1.008D 03		
13	2	5.315D 04	8.124D 03	-1.190D-07	-2.213D-04	3.535D-01	2.402D 06	2.655D 02	2.655D 02	7.287D 02	-1.977D 02		
		-5.315D 04	-8.124D 03	1.190D-07	2.213D-04	-3.534D-01	4.618D 06	-2.655D 02	-2.655D 02	6.250D 02	-1.156D 03		

13	3	4.920D 04	5.104D 03	4.111D-03	-1.064D-04	-2.119D 00	-1.850D 06	2.458D 02	2.458D 02	-1.110D 02	6.026D 02
13	4	5.984D 04	2.888D 03	-9.331D 02	-2.227D 02	4.090D 05	-7.903D 06	7.811D 02	-1.835D 02	-1.225D 03	1.823D 03
13		-5.981D 04	-2.888D 03	9.331D 02	2.227D 02	3.973D 05	1.040D 07	1.698D 02	-7.674D 02	1.706D 03	-2.304D 03
14	1	4.620D 04	7.095D 03	-1.043D-07	-1.934D-04	3.088D-01	2.099D 06	2.308D 02	2.308D 02	6.355D 02	-1.739D 02
14	2	-4.620D 04	-7.095D 03	1.043D-07	1.934D-04	-3.087D-01	4.032D 06	-2.308D 02	2.308D 02	5.467D 02	-1.008D 03
14	2	5.315D 04	8.124D 03	-1.193D-07	-2.213D-04	3.535D-01	2.402D 06	2.655D 02	2.655D 02	7.287D 02	-1.977D 02
14	3	-5.313D 04	-8.124D 03	1.193D-07	2.213D-04	-3.534D-01	4.618D 06	-2.655D 02	2.655D 02	6.250D 02	-1.156D 03
14	3	4.924D 04	5.294D 03	6.491D 02	3.828D 01	-2.922D 05	-1.538D 06	-9.862D 01	5.906D 02	15.059D 01	5.426D 02
14	4	-4.924D 04	-5.294D 03	-6.491D 02	-3.828D 01	-2.687D 05	6.113D 06	-5.628D 02	7.088D 02	9.328D 02	-1.425D 03
14	4	5.981D 04	2.888D 03	9.331D 02	2.227D 02	-4.090D 05	-7.903D 06	> -1.835D 02	7.811D 02	-1.225D 03	1.823D 03
14		-5.981D 04	-2.888D 03	-9.331D 02	-2.227D 02	-3.974D 05	1.040D 07	-7.674D 02	1.698D 02	1.706D 03	-2.304D 03
15	1	4.620D 04	7.095D 03	-1.044D-07	-1.934D-04	3.088D-01	2.099D 06	2.308D 02	2.308D 02	6.355D 02	-1.739D 02
15	2	-4.620D 04	-7.095D 03	1.044D-07	1.934D-04	-3.087D-01	4.032D 06	-2.308D 02	2.308D 02	5.467D 02	-1.008D 03
15	2	5.315D 04	8.124D 03	-1.195D-07	-2.213D-04	3.535D-01	2.402D 06	2.655D 02	2.655D 02	7.287D 02	-1.977D 02
15	3	-5.313D 04	-8.124D 03	1.195D-07	2.213D-04	-3.534D-01	4.618D 06	-2.655D 02	2.655D 02	6.250D 02	-1.156D 03
15	3	4.934D 04	5.838D 03	1.199D 03	7.074D 01	-5.399D 05	-6.491D 05	-3.902D 02	8.832D 02	1.213D 02	3.717D 02
15	4	-4.934D 04	-5.838D 03	-1.199D 03	-7.074D 01	-4.965D 05	5.694D 06	-8.320D 02	8.390D 02	8.514D 02	-1.346D 03
15	4	5.090D 04	4.763D 03	2.406D 03	5.966D 02	-1.052D 06	-3.510D 06	-9.861D 02	1.495D 03	-4.225D 02	9.311D 02
15		-5.090D 04	-4.763D 03	-2.406D 03	-5.966D 02	-1.027D 06	7.626D 06	-1.466D 03	9.571D 02	1.216D 03	-1.725D 03
16	1	4.620D 04	7.095D 03	-1.044D-07	-1.934D-04	3.088D-01	2.099D 06	2.308D 02	2.308D 02	6.355D 02	-1.739D 02
16	2	-4.620D 04	-7.095D 03	1.044D-07	1.934D-04	-3.087D-01	4.032D 06	-2.308D 02	2.308D 02	5.467D 02	-1.008D 03
16	2	5.315D 04	8.124D 03	-1.194D-07	-2.213D-04	3.535D-01	2.402D 06	2.655D 02	2.655D 02	7.287D 02	-1.977D 02
16	3	-5.313D 04	-8.124D 03	1.194D-07	2.213D-04	-3.534D-01	4.618D 06	-2.655D 02	2.655D 02	6.250D 02	-1.156D 03
16	3	4.950D 04	6.651D 03	1.567D 03	9.243D 01	-7.059D 05	6.812D 05	-5.847D 02	1.079D 03	3.786D 02	1.159D 02
16	4	-4.950D 04	-6.651D 03	-1.567D 03	-9.243D 01	-6.487D 05	5.066D 06	-1.012D 03	5.177D 02	7.296D 02	-1.224D 03
16	4	3.767D 04	7.231D 03	2.775D 03	6.058D 02	-1.219D 06	3.224D 06	-1.249D 03	1.626D 03	8.098D 02	-4.334D 02
16		-3.767D 04	-7.231D 03	-2.775D 03	-6.058D 02	-1.179D 06	3.025D 06	-1.579D 03	1.202D 03	3.950D 02	-7.714D 02
17	1	2.064D 04	1.386D 04	2.604D-10	5.799D-06	-1.949D-06	3.428D 06	1.646D 02	1.646D 02	1.126D 03	-7.965D 02
17	2	-2.052D 04	-1.350D 04	-2.604D-10	-5.799D-06	1.850D-06	1.760D 06	-1.637D 02	1.637D 02	3.297D 02	-6.570D 02
17	2	2.348D 04	1.583D 04	2.970D-10	6.639D-06	-2.230D-06	3.919D 06	1.873D 02	1.873D 02	1.286D 03	-9.114D 02
17	3	-2.337D 04	-1.548D 04	-2.970D-10	-6.639D-06	2.117D-06	2.019D 06	-1.864D 02	1.864D 02	3.796D 02	-7.524D 02
17	3	2.206D 04	1.485D 04	-2.686D 02	-7.853D 02	1.029D 05	3.674D 06	4.466D 02	-9.417D 01	1.206D 03	-8.539D 02
17		-2.195D 04	-1.449D 04	2.686D 02	7.853D 02	-1.029D 03	1.889D 06	-1.777D 02	-1.723D 02	3.547D 02	-7.047D 02

17	4	1.710D 04	-6.254D 03	-1.594D 02	-1.115D 03	6.439D 04	-1.151D 06	3.053D 02	-3.266D 01	-1.863D 02	4.590D 02
		-1.698D 04	-2.960D 03	1.594D 02	1.115D 03	-3.932D 03	9.055D 05	-1.457D 02	-1.251D 02	1.184D 02	-3.893D 02
18	1	2.064D 04	1.386D 04	3.158D-10	5.799D-06	-1.965D-06	3.428D 06	1.646D 02	-1.646D 02	1.126D 03	-7.965D 02
		-2.052D 04	-1.350D 04	-3.158D-10	-5.799D-06	1.845D-06	1.760D 06	-1.637D 02	-1.637D 02	3.297D 02	-6.570D 02
18	2	2.348D 04	1.583D 04	3.566D-10	6.638D-06	-2.247D-06	3.919D 06	1.873D 02	-1.873D 02	1.286D 03	-9.114D 02
		-2.337D 04	-1.548D 04	-3.566D-10	-6.638D-06	2.112D-06	2.019D 06	-1.864D 02	-1.864D 02	3.796D 02	-7.524D 02
18	3	2.333D 04	1.446D 04	-2.482D 02	-7.255D 02	9.507D 04	2.877D 06	4.356D 02	-6.350D 01	9.927D 02	-6.206D 02
		-2.321D 04	-1.410D 04	2.482D 02	7.255D 02	-9.510D 02	2.539D 06	-1.876D 02	-1.826D 02	5.266D 02	-8.969D 02
18	4	1.778D 04	-2.666D 03	-7.131D 02	-1.986D 02	2.667D 05	-1.557D 06	8.417D 02	-5.582D 02	-2.947D 02	5.783D 02
		-1.767D 04	-3.888D 03	7.131D 02	1.986D 02	3.778D 03	1.789D 06	-1.310D 02	-1.508D 02	3.607D 02	-6.424D 02
19	1	2.064D 04	1.386D 04	2.595D-10	5.799D-06	-1.952D-06	3.428D 06	1.646D 02	-1.646D 02	1.126D 03	-7.965D 02
		-2.052D 04	-1.350D 04	-2.595D-10	-5.799D-06	1.853D-06	1.760D 06	-1.637D 02	-1.637D 02	3.297D 02	-6.570D 02
19	2	2.348D 04	1.583D 04	2.932D-10	6.638D-06	-2.233D-06	3.919D 06	1.873D 02	-1.873D 02	1.286D 03	-9.114D 02
		-2.337D 04	-1.548D 04	-2.932D-10	-6.638D-06	2.122D-06	2.019D 06	-1.864D 02	-1.864D 02	3.796D 02	-7.524D 02
19	3	2.440D 04	1.413D 04	-1.899D 02	-5.553D 02	7.277D 04	2.202D 06	3.856D 02	-3.621D 00	8.120D 02	-4.288D 02
		-2.429D 04	-1.377D 04	1.899D 02	5.553D 02	-7.278D 02	3.089D 06	-1.956D 02	-1.918D 02	7.624D 02	-1.060D 03
19	4	1.823D 04	7.078D 03	-8.397D 02	-3.238D 02	3.113D 05	5.038D 05	9.624D 02	-6.715D 02	2.867D 02	-4.158D 00
		-1.812D 04	-9.684D 03	8.397D 02	-3.238D 02	7.227D 03	2.675D 06	-1.255D 02	-1.633D 02	6.094D 02	-8.944D 02
20	1	2.064D 04	1.386D 04	1.597D-10	5.799D-06	-1.914D-06	3.428D 06	1.646D 02	-1.646D 02	1.126D 03	-7.965D 02
		-2.052D 04	-1.350D 04	-1.597D-10	-5.799D-06	1.853D-06	1.760D 06	-1.637D 02	-1.637D 02	3.297D 02	-6.570D 02
20	2	2.348D 04	1.583D 04	1.811D-10	6.638D-06	-2.190D-06	3.919D 06	1.873D 02	-1.873D 02	1.286D 03	-9.114D 02
		-2.337D 04	-1.548D 04	-1.811D-10	-6.638D-06	2.121D-06	2.019D 06	-1.864D 02	-1.864D 02	3.796D 02	-7.524D 02
20	3	2.512D 04	1.391D 04	-1.028D 02	-3.005D 02	3.938D 04	1.751D 06	3.037D 02	-9.697D 01	6.913D 02	-2.907D 02
		-2.501D 04	-1.356D 04	1.028D 02	3.005D 02	-3.939D 02	3.457D 06	-2.005D 02	-1.984D 02	7.698D 02	-1.169D 03
20	4	1.860D 04	1.606D 04	-5.289D 02	-2.996D 02	1.952D 05	2.672D 06	6.606D 02	-3.639D 02	8.976D 02	-6.009D 02
		-1.849D 04	-1.305D 04	5.289D 02	-2.996D 02	5.409D 03	3.227D 06	-1.332D 02	-1.616D 02	7.572D 02	-1.032D 03
21	1	2.064D 04	1.386D 04	1.832D-10	5.799D-06	-1.919D-06	3.428D 06	1.646D 02	-1.646D 02	1.126D 03	-7.965D 02
		-2.052D 04	-1.350D 04	-1.832D-10	-5.799D-06	1.850D-06	1.760D 06	-1.637D 02	-1.637D 02	3.297D 02	-6.570D 02
21	2	2.348D 04	1.583D 04	2.059D-10	6.638D-06	-2.195D-06	3.919D 06	1.873D 02	-1.873D 02	1.286D 03	-9.114D 02
		-2.337D 04	-1.548D 04	-2.059D-10	-6.638D-06	2.117D-06	2.019D 06	-1.864D 02	-1.864D 02	3.796D 02	-7.524D 02
21	3	2.537D 04	1.343D 04	-2.725D-04	-4.351D-05	1.030D-01	1.593D 06	2.023D 02	-2.023D 02	6.489D 02	-2.442D 02
		-2.526D 04	-1.348D 04	2.725D-04	4.351D-05	3.233D-04	3.586D 06	-2.014D 02	-2.014D 02	8.040D 02	-1.207D 03
21	4	1.883D 04	1.981D 04	-1.541D 02	-9.340D 01	5.670D 04	3.678D 06	2.990D 02	-1.363D 00	1.181D 03	-8.809D 02
		-1.872D 04	-1.735D 04	1.541D 02	-9.340D 01	1.767D 03	3.370D 06	-1.446D 02	-1.539D 02	7.956D 02	-1.094D 03

35	1	2.339D 04	-4.585D 02	8.312D-11	4.460D-06	-2.668D-06	-1.760D 06	1.866D 02	1.866D 02	-3.068D 02	6.799D 02	
35	2	2.662D 04	-5.567D 02	8.494D-11	5.105D-06	-3.051D-06	-2.019D 06	2.123D 02	2.123D 02	-3.537D 02	7.783D 02	
35	3	2.662D 04	-5.567D 02	8.392D 02	-8.494D-11	-5.105D-06	3.023D-06	1.787D 06	-2.110D 02	-2.110D 02	2.900D 02	-7.120D 02
35	4	2.680D 04	-1.541D 03	3.856D 00	-3.782D 02	8.349D 02	-3.089D 06	2.159D 02	2.115D 02	-6.524D 02	1.080D 03	
35	5	2.663D 04	1.824D 03	-3.856D 00	3.782D 02	-2.117D 03	2.530D 06	-2.180D 02	-2.068D 02	4.969D 02	-9.217D 02	
35	6	2.036D 04	-3.735D 03	3.777D 01	-1.349D 03	-7.093D 03	-2.675D 06	1.438D 02	1.810D 02	-5.875D 02	9.123D 02	
35	7	-2.020D 04	2.153D 03	-3.777D 01	1.349D 03	-5.463D 03	1.696D 06	-1.754D 02	-1.467D 02	3.145D 02	-8.366D 02	
36	1	2.339D 04	-4.585D 02	-3.053D-11	4.459D-06	-2.663D-06	-1.760D 06	1.866D 02	1.866D 02	-3.068D 02	6.799D 02	
36	2	2.662D 04	-5.567D 02	-3.470D-11	5.105D-06	-3.049D-06	-2.019D 06	2.123D 02	2.123D 02	-3.537D 02	7.783D 02	
36	3	2.662D 04	-5.567D 02	8.392D 02	3.470D-11	-5.105D-06	3.061D-06	1.787D 06	-2.110D 02	-2.110D 02	2.900D 02	-7.120D 02
36	4	2.735D 04	-1.858D 03	2.087D 00	-2.047D 02	4.519D 02	-3.457D 06	2.193D 02	2.169D 02	-7.511D 02	1.187D 03	
36	5	2.718D 04	2.141D 03	-2.087D 00	2.047D 02	-1.146D 03	2.793D 06	-2.198D 02	-2.138D 02	5.662D 02	-9.997D 02	
36	6	2.218D 04	1.264D 03	2.651D 01	-9.533D 02	-5.323D 03	-3.227D 06	1.629D 02	1.909D 02	-7.275D 02	1.082D 03	
36	7	-2.201D 04	-5.658D 02	-2.651D 01	9.533D 02	-3.489D 03	3.551D 06	-1.847D 02	-1.864D 02	8.144D 02	-1.165D 03	
37	1	2.339D 04	-4.585D 02	1.065D-10	4.459D-06	-2.662D-06	-1.760D 06	1.866D 02	1.866D 02	-3.068D 02	6.799D 02	
37	2	2.662D 04	-5.567D 02	1.163D-10	5.105D-06	-3.047D-06	-2.019D 06	2.123D 02	2.123D 02	-3.537D 02	7.783D 02	
37	3	2.754D 04	-1.969D 03	2.567D-06	-1.140D-04	-3.059D-04	-3.586D 06	2.196D 02	2.196D 02	-7.858D 02	1.225D 03	
37	4	2.735D 04	-2.252D 03	2.567D-06	1.140D-04	-5.476D-04	2.885D 06	-2.183D 02	-2.183D 02	5.905D 02	-1.027D 03	
37	5	2.305D 04	3.388D 03	8.422D 00	-3.158D 02	-1.737D 03	-3.370D 06	1.792D 02	1.883D 02	-7.610D 02	1.129D 03	
37	6	-2.288D 04	-1.776D 03	-8.422D 00	3.158D 02	1.062D 03	4.228D 06	-1.852D 02	-1.797D 02	1.003D 03	-1.368D 03	
38	1	2.339D 04	-4.585D 02	2.880D-10	4.460D-06	-2.664D-06	-1.760D 06	1.866D 02	1.866D 02	-3.068D 02	6.799D 02	
38	2	2.662D 04	-5.567D 02	3.189D-10	5.106D-06	-3.049D-06	-2.019D 06	2.123D 02	2.123D 02	-3.537D 02	7.783D 02	
38	3	2.735D 04	-1.858D 03	-2.087D 00	2.047D 02	-4.519D 02	-3.457D 06	2.169D 02	2.193D 02	-7.511D 02	1.187D 03	
38	4	2.305D 04	3.388D 03	-8.422D 00	3.158D 02	1.737D 03	-3.370D 06	1.883D 02	1.792D 02	-7.610D 02	1.129D 03	
38	5	-2.288D 04	-1.776D 03	8.422D 00	-3.158D 02	1.062D 03	4.228D 06	-1.797D 02	-1.852D 02	1.003D 03	-1.368D 03	
39	1	2.339D 04	-4.585D 02	1.374D-10	4.459D-06	-2.667D-06	-1.760D 06	1.866D 02	1.866D 02	-3.068D 02	6.799D 02	

52	1	1.408D 04	-3.817D 03	1.941D-10	3.186D-06	-2.781D-06	-1.560D 06	1.123D 02	1.123D 02	-3.251D 02	5.498D 02
52	2	1.597D 04	-4.393D 03	2.207D-10	3.647D-06	-3.183D-06	-1.787D 06	1.274D 02	1.274D 02	-3.736D 02	6.283D 02
52	3	1.656D 04	-5.407D 03	-3.371D 00	6.498D 00	1.166D 03	-2.793D 06	1.353D 02	1.292D 02	-6.507D 02	9.151D 02
52	4	1.415D 04	-3.186D 03	-1.288D 01	-3.758D 02	3.636D 03	-3.531D 06	1.224D 02	1.033D 02	-8.771D 02	1.103D 03
53	1	1.408D 04	-3.817D 03	1.103D-10	3.186D-06	-2.730D-06	-1.560D 06	1.123D 02	1.123D 02	-3.251D 02	5.498D 02
53	2	1.597D 04	-4.393D 03	1.287D-10	3.647D-06	-3.126D-06	-1.787D 06	1.274D 02	1.274D 02	-3.736D 02	6.283D 02
53	3	1.671D 04	-5.514D 03	-1.397D-06	-1.844D-05	5.599D-04	-2.885D 06	1.332D 02	1.332D 02	-6.755D 02	9.420D 02
53	4	1.520D 04	-2.138D 03	-4.082D 00	-1.417D 02	1.113D 03	-4.228D 06	1.242D 02	1.183D 02	-1.064D 03	1.307D 03
54	1	1.408D 04	-3.817D 03	-3.408D-11	3.185D-06	-2.664D-06	-1.560D 06	1.123D 02	1.123D 02	-3.251D 02	5.498D 02
54	2	1.597D 04	-4.393D 03	-3.152D-11	3.646D-06	-3.052D-06	-1.787D 06	1.274D 02	1.274D 02	-3.736D 02	6.283D 02
54	3	1.656D 04	-5.407D 03	-3.371D 00	6.498D 00	-1.166D 03	-2.793D 06	1.292D 02	1.353D 02	-6.507D 02	9.151D 02
54	4	1.520D 04	-2.138D 03	-4.082D 00	-1.417D 02	-1.113D 03	-4.228D 06	1.183D 02	1.242D 02	-1.064D 03	1.307D 03
55	1	1.408D 04	-3.817D 03	1.070D-10	3.185D-06	-2.725D-06	-1.560D 06	1.123D 02	1.123D 02	-3.251D 02	5.498D 02
55	2	1.597D 04	-4.393D 03	1.240D-10	3.647D-06	-3.119D-06	-1.787D 06	1.274D 02	1.274D 02	-3.736D 02	6.283D 02
55	3	1.622D 04	-5.101D 03	6.229D 00	1.201D 01	-2.155D 03	-2.530D 06	1.237D 02	1.350D 02	-5.800D 02	8.386D 02
55	4	1.415D 04	-3.186D 03	1.288D 01	3.758D 02	-3.636D 03	-3.531D 06	1.033D 02	1.224D 02	-8.771D 02	1.103D 03
56	1	1.408D 04	-3.817D 03	8.401D-11	3.185D-06	-2.728D-06	-1.560D 06	1.123D 02	1.123D 02	-3.251D 02	5.498D 02
56	2	1.588D 04	4.067D 03	-8.401D-11	-3.185D-06	2.701D-06	2.507D 05	-1.107D 02	-1.107D 02	-4.039D 01	-1.809D 02

65	1	4.773D 03	-1.207D 03	4.549D-11	1.898D-06	-2.358D-06	-2.507D 05	3.906D 01	3.906D 01	-3.692D 01	1.150D 02
		-4.531D 03	1.413D 03	-4.549D-11	-1.898D-06	2.343D-06	-1.844D 05	-3.708D 01	-3.708D 01	-9.299D 01	1.884D 01
65	2	5.339D 03	-1.394D 03	5.712D-11	2.173D-06	-2.700D-06	-2.860D 05	4.369D 01	4.369D 01	-4.299D 01	1.304D 02
		-5.097D 03	1.599D 03	-5.712D-11	-2.173D-06	2.681D-06	-2.111D 05	-4.171D 01	-4.171D 01	-1.057D 02	2.228D 01
65	3	5.056D 03	-1.300D 03	8.450D-01	-1.271D-01	1.298D 02	-2.683D 05	4.172D 01	4.103D 01	-3.996D 01	1.227D 02
		-4.814D 03	1.506D 03	-8.450D-01	1.271D-01	-4.105D 02	-1.978D 05	-4.047D 01	-3.831D 01	-9.934D 01	2.056D 01
65	4	5.109D 02	-1.692D 03	-6.244D 00	2.434D 02	2.450D 02	3.694D 06	1.061D 00	-2.251D-01	1.120D 03	-1.119D 03
		1.914D 02	-1.301D 03	4.248D 00	-2.434D 02	1.166D 03	-3.759D 06	4.626D 00	-1.494D 00	-1.138D 03	1.141D 03
66	1	4.773D 03	-1.207D 03	2.854D-11	1.898D-06	-2.351D-06	-2.507D 05	3.906D 01	3.906D 01	-3.692D 01	1.150D 02
		-4.531D 03	1.413D 03	-2.854D-11	-1.898D-06	2.342D-06	-1.844D 05	-3.708D 01	-3.708D 01	-9.299D 01	1.884D 01
66	2	5.339D 03	-1.394D 03	6.015D-11	2.173D-06	-2.693D-06	-2.860D 05	4.369D 01	4.369D 01	-4.299D 01	1.304D 02
		-5.097D 03	1.599D 03	-6.015D-11	-2.173D-06	2.680D-06	-2.111D 05	-4.171D 01	-4.171D 01	-1.057D 02	2.228D 01
66	3	5.425D 03	-1.754D 03	7.807D-01	-1.174D-01	1.200D 02	-5.526D 05	4.471D 01	4.408D 01	-1.231D 02	2.119D 02
		-5.183D 03	1.960D 03	-7.807D-01	1.174D-01	-3.793D 02	-6.402D 04	-4.340D 01	-4.141D 01	-6.181D 01	-2.300D 01
66	4	1.036D 03	-2.163D 03	7.529D 00	-3.190D 02	-3.187D 02	2.694D 06	-7.626D 00	9.299D 00	8.299D 02	-8.080D 02
		-7.917D 02	-5.511D 02	-7.529D 00	3.190D 02	-2.182D 03	-2.961D 06	-1.221D 01	-7.515D-01	-9.041D 02	8.911D 02
67	1	4.773D 03	-1.207D 03	4.070D-11	1.898D-06	-2.359D-06	-2.507D 05	3.906D 01	3.906D 01	-3.692D 01	1.150D 02
		-4.531D 03	1.413D 03	-4.070D-11	-1.898D-06	2.345D-06	-1.844D 05	-3.708D 01	-3.708D 01	-9.299D 01	1.884D 01
67	2	5.339D 03	-1.394D 03	6.041D-11	2.173D-06	-2.702D-06	-2.860D 05	4.369D 01	4.369D 01	-4.299D 01	1.304D 02
		-5.097D 03	1.599D 03	-6.041D-11	-2.173D-06	2.682D-06	-2.111D 05	-4.171D 01	-4.171D 01	-1.057D 02	2.228D 01
67	3	5.738D 03	-2.138D 03	5.975D-01	-8.987D-02	9.182D 01	-7.937D 05	4.719D 01	4.671D 01	-1.936D 02	2.875D 02
		-5.495D 03	2.344D 03	-5.975D-01	8.987D-02	-2.903D 02	4.937D 04	-4.573D 01	-4.420D 01	-3.000D 01	-5.993D 01
67	4	3.566D 03	-2.187D 03	1.367D 01	-6.144D 02	-6.046D 02	-6.313D 04	2.759D 01	3.076D 01	-1.004D 01	4.831D 01
		-3.323D 03	1.141D 03	-1.367D 01	6.144D 02	-3.938D 03	-4.896D 05	-3.753D 01	-1.686D 01	-1.756D 02	1.212D 02
68	1	4.773D 03	-1.207D 03	3.799D-11	1.898D-06	-2.384D-06	-2.507D 05	3.906D 01	3.906D 01	-3.692D 01	1.150D 02
		-4.531D 03	1.413D 03	-3.799D-11	-1.898D-06	2.372D-06	-1.844D 05	-3.708D 01	-3.708D 01	-9.299D 01	1.884D 01
68	2	5.339D 03	-1.394D 03	4.527D-11	2.172D-06	-2.730D-06	-2.860D 05	4.369D 01	4.369D 01	-4.299D 01	1.304D 02
		-5.097D 03	1.599D 03	-4.527D-11	-2.172D-06	2.715D-06	-2.111D 05	-4.171D 01	-4.171D 01	-1.057D 02	2.228D 01
68	3	5.946D 03	-2.395D 03	3.234D-01	-4.864D-02	4.769D 01	-9.548D 05	4.879D 01	4.853D 01	-2.408D 02	3.381D 02
		-5.704D 03	2.601D 03	-3.234D-01	4.864D-02	-1.571D 02	1.251D 05	-4.708D 01	-4.626D 01	-8.740D 00	-8.461D 01
68	4	5.869D 03	-2.138D 03	1.172D 01	-5.284D 02	-5.144D 02	-2.374D 06	4.668D 01	4.938D 01	-6.716D 02	7.676D 02
		-5.627D 03	2.623D 03	-1.172D 01	5.284D 02	-3.379D 03	-1.503D 06	-5.491D 01	-3.717D 01	4.339D 02	-5.260D 02
69	1	4.773D 03	-1.207D 03	5.121D-11	1.898D-06	-2.359D-06	-2.507D 05	3.906D 01	3.906D 01	-3.692D 01	1.150D 02

73	3	5.056D 03	-1.300D 03	-8.4500D-01	1.271D-01	-1.298D 02	-2.683D 05	4.103D 01	4.172D 01	-3.996D 01	1.227D 02
73	4	1.034D 03	-2.163D 03	-7.529D 00	3.190D 02	3.187D 02	2.694D 06	9.299D 00	7.626D 00	8.249D 02	-8.080D 02
73		-7.917D 02	-5.511D 02	7.529D 00	-3.190D 02	2.182D 03	-2.961D 06	-7.515D-01	-1.221D 01	-9.041D 02	8.911D 02
74	1	4.773D 03	-1.207D 03	5.869D-11	1.898D-06	-2.362D-06	-2.507D 05	3.906D 01	3.906D 01	-3.692D 01	1.150D 02
74		-4.531D 03	1.413D 03	-5.869D-11	-1.898D-06	2.343D-06	-1.844D 05	-3.708D 01	-3.708D 01	-9.299D 01	1.884D 01
74	2	5.339D 03	-1.394D 03	6.938D-11	2.173D-06	-2.705D-06	-2.860D 05	4.369D 01	4.369D 01	-4.299D 01	1.304D 02
74		-5.097D 03	1.599D 03	-6.938D-11	-2.173D-06	2.682D-06	-2.111D 05	-4.171D 01	-4.171D 01	-1.057D 02	2.228D 01
74	3	4.688D 03	-8.469D 02	-7.807D-01	-1.174D-01	-1.200D 02	1.502D 04	3.804D 01	3.867D 01	4.321D 01	3.355D 01
74		-4.445D 03	1.053D 03	7.807D-01	-1.174D-01	3.793D 02	-3.315D 05	-3.538D 01	-3.737D 01	-1.369D 02	6.412D 01
74	4	5.109D 01	-1.692D 03	4.248D 00	-2.434D 02	-2.450D 02	3.694D 06	-2.251D-01	1.061D 00	1.120D 03	-1.119D 03
74		1.914D 02	-1.301D 03	-4.248D 00	2.434D 02	-1.166D 03	-3.759D 06	-1.494D 00	4.626D 00	-1.138D 03	1.141D 03
75	1	4.773D 03	-1.207D 03	6.995D-11	1.898D-06	-2.367D-06	-2.507D 05	3.906D 01	3.906D 01	-3.692D 01	1.150D 02
75		-4.531D 03	1.413D 03	-6.995D-11	-1.898D-06	2.344D-06	-1.844D 05	-3.708D 01	-3.708D 01	-9.299D 01	1.884D 01
75	2	5.339D 03	-1.394D 03	7.974D-11	2.173D-06	-2.710D-06	-2.860D 05	4.369D 01	4.369D 01	-4.299D 01	1.304D 02
75		-5.097D 03	1.599D 03	-7.974D-11	-2.173D-06	2.684D-06	-2.111D 05	-4.171D 01	-4.171D 01	-1.057D 02	2.228D 01
75	3	4.375D 03	-4.626D 02	-5.975D-01	8.987D-02	-9.182D 01	2.571D 05	3.556D 01	3.604D 01	1.137D 02	-4.212D 01
75		-4.133D 03	6.685D 02	5.975D-01	-8.987D-02	2.903D 02	-5.449D 05	-3.306D 01	-3.458D 01	-1.010D 02	1.010D 02
75	4	2.168D 03	-9.217D 02	1.410D 01	-7.094D 02	-7.139D 02	2.040D 06	1.586D 01	1.961D 01	6.362D 02	-6.080D 02
75		-1.925D 03	-5.397D 02	-1.410D 01	7.094D 02	-3.969D 03	-2.104D 06	-2.617D 01	-5.335D 00	-6.535D 02	6.220D 02
76	1	4.773D 03	-1.207D 03	7.449D-11	1.898D-06	-2.405D-06	-2.507D 05	3.906D 01	3.906D 01	-3.692D 01	1.150D 02
76		-4.531D 03	1.413D 03	-7.449D-11	-1.898D-06	2.380D-06	-1.844D 05	-3.708D 01	-3.708D 01	-9.299D 01	1.884D 01
76	2	5.339D 03	-1.394D 03	8.714D-11	2.172D-06	-2.753D-06	-2.860D 05	4.369D 01	4.369D 01	-4.299D 01	1.304D 02
76		-5.097D 03	1.599D 03	-8.714D-11	-2.172D-06	2.724D-06	-2.111D 05	-4.171D 01	-4.171D 01	-1.057D 02	2.228D 01
76	3	4.166D 03	-2.058D 02	-3.234D-01	4.864D-02	-4.969D 01	4.181D 05	3.396D 01	3.422D 01	1.608D 02	-9.265D 01
76		-3.926D 03	4.117D 02	3.234D-01	-4.864D-02	1.571D 02	-5.207D 05	-3.170D 01	-3.252D 01	-1.899D 02	1.257D 02
76	4	5.209D 03	-1.861D 01	1.468D 01	-7.339D 02	-7.445D 02	-1.305D 06	4.067D 01	4.458D 01	-3.531D 02	4.383D 02
76		-4.967D 03	1.337D 03	-1.468D 01	7.339D 02	-4.198D 03	1.080D 06	-5.166D 01	-2.962D 01	2.868D 02	-3.681D 02
77	1	4.773D 03	-1.207D 03	9.136D-11	1.898D-06	-2.359D-06	-2.507D 05	3.906D 01	3.906D 01	-3.692D 01	1.150D 02
77		-4.531D 03	1.413D 03	-9.136D-11	-1.898D-06	2.365D-06	-1.844D 05	-3.708D 01	-3.708D 01	-9.299D 01	1.884D 01
77	2	5.339D 03	-1.394D 03	5.077D-11	2.172D-06	-2.701D-06	-2.860D 05	4.369D 01	4.369D 01	-4.299D 01	1.304D 02
77		-5.097D 03	1.599D 03	-5.077D-11	-2.172D-06	2.684D-06	-2.111D 05	-4.171D 01	-4.171D 01	-1.057D 02	2.228D 01
77	3	4.093D 03	-1.156D 02	1.995D-07	2.180D-06	-6.690D-05	4.747D 05	3.349D 01	3.369D 01	1.774D 02	-1.104D 02
77		-3.851D 03	3.216D 02	-1.995D-07	-2.180D-06	6.333D-07	-5.473D 05	-3.151D 01	-3.151D 01	-1.974D 02	1.344D 02

77	4	7.756D 03	4.758D 02	6.167D 00	-3.013D 02	-3.102D 02	-3.312D 06	6.265D 01	6.427D 01	-9.406D 02	-1.067D 03
		-7.513D 03	2.371D 03	-6.167D 00	3.013D 02	-1.738D 03	2.998D 06	-6.604D 01	-5.691D 01	8.472D 02	-9.701D 02
78	1	4.773D 03	-1.207D 03	-9.284D-11	1.897D-06	-2.309D-06	-2.507D 05	3.906D 01	3.906D 01	-3.692D 01	1.150D 02
		-4.531D 03	1.413D 03	9.284D-11	-1.897D-06	2.309D-06	-1.844D 05	-3.708D 01	-3.708D 01	-9.299D 01	1.884D 01
78	2	5.339D 03	-1.394D 03	-1.004D-10	2.172D-06	-2.665D-06	-2.860D 05	4.369D 01	4.369D 01	-4.299D 01	1.304D 02
		-5.097D 03	1.599D 03	1.004D-10	-2.172D-06	2.665D-06	-2.111D 05	-4.171D 01	-4.171D 01	-1.057D 02	2.228D 01
78	3	4.166D 03	-2.058D 02	-3.234D-01	-4.864D-02	4.969D 01	4.181D 05	3.422D 01	3.396D 01	1.608D 02	-9.245D 01
		-3.924D 03	4.117D 02	-3.234D-01	4.864D-02	-1.571D 02	-5.207D 05	-3.252D 01	-3.170D 01	-1.899D 02	1.257D 02
78	4	7.756D 03	4.758D 02	-6.167D 00	3.013D 02	3.102D 02	-3.312D 06	6.427D 01	6.265D 01	*9.406D 02	-1.067D 03
		-7.513D 03	2.371D 03	6.167D 00	-3.013D 02	1.738D 03	2.998D 06	-5.691D 01	-6.604D 01	8.472D 02	-9.701D 02
79	1	4.773D 03	-1.207D 03	-2.034D-11	1.897D-06	-2.338D-06	-2.507D 05	3.906D 01	3.906D 01	-3.692D 01	1.150D 02
		-4.531D 03	1.413D 03	2.034D-11	-1.897D-06	2.338D-06	-1.844D 05	-3.708D 01	-3.708D 01	-9.299D 01	1.884D 01
79	2	5.339D 03	-1.394D 03	-2.040D-11	2.172D-06	-2.677D-06	-2.860D 05	4.369D 01	4.369D 01	-4.299D 01	1.304D 02
		-5.097D 03	1.599D 03	2.040D-11	-2.172D-06	2.677D-06	-2.111D 05	-4.171D 01	-4.171D 01	-1.057D 02	2.228D 01
79	3	4.375D 03	-4.628D 02	5.975D-01	-8.982D-02	9.183D 01	2.571D 05	3.604D 01	3.556D 01	1.137D 02	-4.212D 01
		-4.135D 03	6.685D 02	-5.975D-01	8.982D-02	-2.903D 02	-4.449D 05	-3.458D 01	-3.306D 01	-1.687D 02	1.010D 02
79	4	5.209D 03	-1.861D 01	-1.488D 01	7.339D 02	7.495D 02	-1.103D 06	4.458D 01	4.067D 01	-3.531D 02	4.383D 02
		-4.967D 03	1.337D 03	1.488D 01	-7.339D 02	4.198D 03	1.080D 06	-2.962D 01	2.868D 02	-3.681D 02	1.230D 02
80	1	4.773D 03	-1.207D 03	1.201D-10	1.898D-06	-2.390D-06	-2.507D 05	3.906D 01	3.906D 01	-3.692D 01	1.150D 02
		-4.531D 03	1.413D 03	-1.201D-10	-1.898D-06	2.390D-06	-1.844D 05	-3.708D 01	-3.708D 01	-9.299D 01	1.884D 01
80	2	5.339D 03	-1.394D 03	1.535D-10	2.173D-06	-2.739D-06	-2.860D 05	4.369D 01	4.369D 01	-4.299D 01	1.304D 02
		-5.097D 03	1.599D 03	-1.535D-10	-2.173D-06	2.688D-06	-2.111D 05	-4.171D 01	-4.171D 01	-1.057D 02	2.228D 01
80	3	4.688D 03	-8.469D 02	7.807D-01	-1.174D-01	1.200D 02	1.602D 04	3.867D 01	3.804D 01	4.321D 01	3.350D 01
		-4.445D 03	1.053D 03	-7.807D-01	1.174D-01	-3.793D 02	-3.151D 05	-3.737D 01	-3.538D 01	-1.369D 02	6.412D 01
80	4	2.168D 03	-9.217D 02	-1.410D 01	7.099D 02	7.139D 02	2.040D 06	1.961D 01	1.586D 01	6.362D 02	-6.098D 02
		-1.925D 03	-5.397D 02	1.410D 01	-7.099D 02	3.969D 03	-2.104D 06	-5.335D 00	-2.617D 01	-6.535D 02	6.220D 02
81	1	1.115D 03	-4.437D 02	-3.279D-11	7.986D-07	-1.442D-06	1.844D 05	1.149D 01	1.149D 01	1.036D 02	-8.065D 01
		-8.965D 02	-3.178D 02	-3.279D-11	7.986D-07	-1.442D-06	1.844D 05	-9.235D 00	-9.235D 00	-3.839D 01	1.992D 01
81	2	1.194D 03	5.001D 02	4.292D-11	9.141D-07	-1.652D-06	2.111D 05	1.233D 01	1.233D 01	1.177D 02	-9.314D 01
		-9.755D 02	-3.743D 02	-4.292D-11	-9.141D-07	1.652D-06	-6.633D 04	-1.005D 01	-1.005D 01	-4.318D 01	2.308D 01
81	3	1.155D 03	4.719D 02	-2.342D 00	6.678D 01	4.120D 02	1.978D 05	1.334D 01	1.045D 01	1.107D 02	-8.689D 01
		-9.366D 02	-3.461D 02	2.342D 00	-6.678D 01	3.635D 02	-6.235D 04	-8.367D 00	-1.092D 01	-4.079D 01	2.150D 01
81	4	-2.634D 03	3.161D 03	2.812D 00	4.636D 01	-1.206D 03	3.759D 06	-3.137D 01	-2.290D 01	1.850D 03	-1.905D 03
		2.853D 03	-5.677D 03	-2.812D 00	-4.636D 01	2.750D 02	-2.296D 06	3.035D 01	2.842D 01	-1.117D 03	1.176D 03

95	1	1.115D 03	4.437D 02	2.320D-11	7.986D-07	-1.441D-06	1.844D 05	1.149D 01	1.149D 01	1.036D 02	-8.065D 01
95	2	1.194D 03	5.001D 02	3.641D-11	9.141D-07	-1.651D-06	2.111D 05	1.230D 01	1.230D 01	1.177D 02	-9.314D 01
95	3	-9.755D 02	-3.743D 02	-3.641D-11	-9.141D-07	1.639D-06	-6.633D 04	-1.005D 01	-1.005D 01	-4.318D 01	2.308D 01
95	4	8.496D 02	-1.019D 03	-1.656D 00	-4.722D 01	2.913D 02	4.449D 05	9.775D 00	7.731D 00	2.310D 02	-2.135D 02
95	5	1.980D 03	-3.163D 02	1.278D 01	2.000D 01	-4.306D 03	-1.080D 06	5.291D 00	3.551D 01	-5.192D 02	5.600D 02
95	6	-1.762D 03	1.359D 03	-1.278D 01	-2.000D 01	7.489D 01	8.028D 05	-1.789D 01	-1.841D 01	3.829D 02	-4.192D 02
96	1	1.115D 03	4.437D 02	-3.265D-11	7.985D-07	-1.436D-06	1.844D 05	-1.149D 01	1.149D 01	1.036D 02	-8.065D 01
96	2	1.194D 03	5.001D 02	-1.667D-11	9.141D-07	-1.644D-06	2.111D 05	1.230D 01	1.230D 01	1.177D 02	-9.314D 01
96	3	-9.755D 02	-3.743D 02	1.667D-11	-9.141D-07	1.653D-06	-6.633D 04	-1.005D 01	-1.005D 01	-4.318D 01	2.308D 01
96	4	8.495D 02	7.679D 02	-2.164D 00	6.169D 01	3.806D 02	3.315D 05	1.153D 01	8.858D 00	1.758D 02	-1.554D 02
96	5	-7.710D 02	-6.421D 02	2.164D 00	-6.169D 01	3.558D 02	-9.804D 04	-6.764D 00	-9.121D 00	-5.693D 01	4.105D 01
96	6	-6.866D 02	2.050D 03	1.184D 01	3.396D 01	-6.076D 03	2.104D 06	-2.153D 01	7.241D 00	1.064D 03	-1.058D 03
96	7	9.032D 02	-3.302D 03	-1.184D 01	-3.396D 01	1.538D 02	-1.218D 06	9.844D 00	8.765D 00	-5.990D 02	6.176D 02
97	1	2.682D 02	2.138D 02	-2.114D-11	0.0	7.115D-09	5.837D 04	2.956D 00	2.956D 00	3.535D 01	-2.944D 01
97	2	2.601D 02	2.374D 02	-2.402D-11	0.0	8.085D-09	6.633D 04	2.867D 00	2.867D 00	3.968D 01	-3.394D 01
97	3	-3.454D 01	-1.567D 02	2.402D-11	0.0	0.0	0.0	-3.807D-01	-3.807D-01	-3.807D-01	-3.807D-01
97	4	2.661D 02	2.256D 02	1.089D 00	0.0	-3.665D 02	6.235D 04	1.626D 00	4.197D 00	3.751D 01	-3.169D 01
97	5	-3.859D 01	-1.448D 02	-1.089D 00	0.0	0.0	0.0	-4.253D-01	-4.253D-01	-4.253D-01	-4.253D-01
97	6	-2.341D 03	5.783D 03	8.567D-01	0.0	-2.884D 02	2.296D 06	-2.682D 01	-2.479D 01	1.248D 03	-1.300D 03
97	7	2.567D 03	-7.856D 03	-8.567D-01	0.0	0.0	0.0	2.829D 01	2.829D 01	2.829D 01	2.829D 01
98	1	2.682D 02	2.138D 02	-2.667D-11	0.0	8.978D-09	5.837D 04	2.956D 00	2.956D 00	3.535D 01	-2.944D 01
98	2	2.601D 02	2.374D 02	-3.047D-11	0.0	1.026D-08	6.633D 04	2.867D 00	2.867D 00	3.968D 01	-3.394D 01
98	3	3.004D 02	1.195D 02	1.006D 00	0.0	-3.386D 02	2.663D 04	2.124D 00	4.500D 00	1.809D 01	-1.147D 01
98	4	-1.719D 03	4.512D 03	1.062D 00	0.0	-3.573D 02	1.837D 06	-2.020D 01	-1.769D 01	1.000D 03	-1.038D 03
98	5	1.944D 03	-6.400D 03	-1.062D 00	0.0	0.0	0.0	2.143D 01	2.143D 01	2.143D 01	2.143D 01
99	1	2.682D 02	2.138D 02	-2.639D-11	0.0	8.884D-09	5.837D 04	2.956D 00	2.956D 00	3.535D 01	-2.944D 01

112	1	2.682D 02	2.138D 02	2.447D-11	0.0	-8.239D-09	5.837D 04	-2.956D 00	2.956D 00	3.535D 01	-2.946D 01
112	2	2.601D 02	2.374D 02	2.980D-11	0.0	-1.003D-08	6.633D 04	2.867D 00	2.867D 00	3.968D 01	-3.394D 01
112	3	2.644D 02	2.317D 02	1.006D 00	0.0	-3.386D 02	9.808D 04	1.323D 00	3.699D 00	5.674D 01	-5.191D 01
112	4	8.442D 02	3.096D 03	4.146D-01	0.0	-1.396D 02	1.218D 06	-9.795D 00	-8.816D 00	6.665D 02	-6.851D 02
		1.070D 03	3.139D 03	-4.146D-01	0.0	0.0	0.0	1.179D 01	1.179D 01	1.179D 01	1.179D 01
113	1	-2.871D 02	1.378D-09	4.170D 01	4.931D-10	8.496D-09	6.272D-07	-2.974D 00	-2.974D 00	-2.974D 00	-2.974D 00
		2.871D 02	-1.378D-09	4.170D 01	-4.931D-10	-1.282D-08	-3.718D-07	2.974D 00	2.974D 00	2.974D 00	2.974D 00
113	2	-3.512D 02	1.579D-09	4.170D 01	5.734D-10	2.732D-09	7.229D-07	-3.638D 00	-3.638D 00	-3.638D 00	-3.638D 00
		3.512D 02	-1.579D-09	4.170D 01	-5.734D-10	-2.198D-08	-4.303D-07	3.638D 00	3.638D 00	3.638D 00	3.638D 00
113	3	-2.442D 02	1.879D-01	4.170D 01	1.699D-08	-1.155D-07	5.772D-07	-2.530D 00	-2.530D 00	-2.530D 00	-2.530D 00
		2.442D 02	-1.879D-01	4.170D 01	-1.699D-08	1.676D-08	-3.482D 01	2.530D 00	2.530D 00	2.481D 00	2.579D 00
113	4	-5.718D 03	-1.503D 03	6.302D 01	-3.384D 03	3.295D 04	-3.059D 06	1.668D 00	1.168D 02	-4.243D 03	4.362D 03
		5.718D 03	1.503D 03	2.308D 01	3.386D 03	2.950D 04	2.780D 06	-7.697D 00	-1.108D 02	3.851D 03	-3.970D 03
114	1	-2.871D 02	2.521D-09	4.170D 01	6.557D-09	1.357D-08	3.718D-07	-2.974D 00	-2.974D 00	-2.974D 00	-2.974D 00
		2.871D 02	-2.521D-09	4.170D 01	-6.557D-09	1.651D-08	9.543D-08	2.974D 00	2.974D 00	2.974D 00	2.974D 00
114	2	-3.512D 02	2.912D-09	4.170D 01	7.500D-09	1.572D-08	4.302D-07	-3.638D 00	-3.638D 00	-3.638D 00	-3.638D 00
		3.512D 02	-2.912D-09	4.170D 01	-7.500D-09	1.757D-08	1.094D-07	3.638D 00	3.638D 00	3.638D 00	3.638D 00
114	3	-1.057D 02	1.593D-01	4.170D 01	6.798D-09	-1.281D-08	3.482D 01	-1.095D 00	-1.095D 00	-1.046D 00	-1.146D 00
		1.057D 02	-1.593D-01	4.170D 01	-6.798D-09	2.887D-08	-6.433D 01	1.095D 00	1.095D 00	1.095D 00	1.186D 00
114	4	3.405D 03	-1.013D 04	2.095D 02	-1.442D 04	-2.596D 04	-2.780D 06	1.008D 01	8.062D 01	-3.875D 03	3.946D 03
		3.405D 03	1.013D 04	-1.261D 02	1.442D 04	-5.137D 03	9.024D 05	-4.424D 01	-2.630D 01	1.234D 03	-1.305D 03
115	1	-2.871D 02	2.016D-09	4.170D 01	-3.234D-11	-1.672D-08	-9.558D-08	-2.974D 00	-2.974D 00	-2.974D 00	-2.974D 00
		2.871D 02	-2.016D-09	4.170D 01	3.234D-11	2.277D-09	4.693D-07	2.974D 00	2.974D 00	2.974D 00	2.974D 00
115	2	-3.512D 02	2.323D-09	4.170D 01	4.462D-11	-1.709D-08	-1.095D-07	-3.638D 00	-3.638D 00	-3.638D 00	-3.638D 00
		3.512D 02	-2.323D-09	4.170D 01	-4.462D-11	1.165D-09	5.400D-07	3.638D 00	3.638D 00	3.638D 00	3.638D 00
115	3	2.660D-01	-1.064D-01	4.170D 01	1.585D-08	2.538D-08	6.433D 01	2.756D-03	2.756D-03	9.323D-02	-8.772D-02
		2.660D-01	1.064D-01	4.170D 01	-1.585D-08	7.637D-08	-8.405D 01	-2.756D-03	-2.756D-03	-1.210D-01	1.153D-01
115	4	-9.438D 02	-1.173D 04	7.559D 01	-1.135D 04	1.026D 04	-9.024D 05	8.153D 01	-2.771D 01	-1.279D 03	1.259D 03
		9.438D 02	1.173D 04	7.812D 00	1.135D 04	-1.654D 04	-1.272D 06	-1.913D 01	3.868D 01	-1.779D 03	1.799D 03
116	1	-2.871D 02	5.403D-10	4.170D 01	-1.204D-09	9.039D-10	-4.695D-07	-2.974D 00	-2.974D 00	-2.974D 00	-2.974D 00
		2.871D 02	-5.403D-10	4.170D 01	1.204D-09	-6.182D-09	5.697D-07	2.974D 00	2.974D 00	2.974D 00	2.974D 00

		4.262D 04	1.132D 04	8.362D 03	-8.675D-04	9.217D 05	-1.356D 06	7.126D 01	-2.112D 01	-1.651D 02	2.153D 02
129	2	-4.871D 04	1.309D 04	9.674D 03	9.930D-04	-1.067D 06	1.569D 06	-8.213D 01	2.483D 01	1.914D 02	-2.487D 02
		4.871D 04	1.309D 04	9.674D 03	-9.930D-04	1.067D 06	-1.569D 06	8.213D 01	-2.483D 01	-1.914D 02	2.487D 02
129	3	-4.628D 04	1.146D 04	8.092D 03	-1.184D 04	-7.220D 05	1.193D 06	-6.346D 01	8.958D 00	1.409D 02	-1.954D 02
		4.628D 04	1.295D 04	9.949D 03	1.154D 04	1.394D 06	-1.738D 06	9.709D 01	-4.264D 01	-2.167D 02	2.711D 02
129	4	-4.132D 04	1.056D 04	7.920D 03	-2.691D 03	-1.760D 06	1.056D 06	-1.125D 02	6.387D 01	1.239D 02	-1.725D 02
		4.132D 04	1.208D 04	8.805D 03	2.691D 03	2.081D 06	-1.609D 06	1.286D 02	-7.996D 01	-2.034D 02	2.500D 02
130	1	-4.262D 04	1.132D 04	8.362D 03	8.675D-04	-9.217D 05	1.356D 06	-7.126D 01	2.112D 01	1.651D 02	-2.153D 02
		4.262D 04	1.132D 04	8.362D 03	-8.675D-04	9.217D 05	-1.356D 06	7.126D 01	-2.112D 01	-1.651D 02	2.153D 02
130	2	-4.871D 04	1.309D 04	9.674D 03	9.930D-04	-1.067D 06	1.569D 06	-8.213D 01	2.483D 01	1.914D 02	-2.487D 02
		4.871D 04	1.309D 04	9.674D 03	-9.930D-04	1.067D 06	-1.569D 06	8.213D 01	-2.483D 01	-1.914D 02	2.487D 02
130	3	-4.742D 04	1.157D 04	8.233D 03	-9.780D 03	-8.968D 05	1.251D 06	-7.253D 01	1.675D 01	1.477D 02	-2.034D 02
		4.742D 04	1.284D 04	9.803D 03	9.780D 03	1.461D 06	-1.709D 06	11.011D 02	-4.530D 01	-2.118D 02	2.676D 02
130	4	-4.166D 04	1.078D 04	9.437D 03	-2.948D 04	-1.929D 06	1.178D 06	-1.212D 02	7.218D 01	1.408D 02	-1.895D 02
		4.166D 04	1.185D 04	7.287D 03	-2.948D 04	1.149D 06	-1.566D 06	8.209D 01	-3.308D 01	-1.952D 02	2.442D 02
131	1	-4.262D 04	1.132D 04	8.362D 03	8.675D-04	-9.217D 05	1.356D 06	-7.126D 01	2.112D 01	1.651D 02	-2.153D 02
		4.262D 04	1.132D 04	8.362D 03	-8.675D-04	9.217D 05	-1.356D 06	7.126D 01	-2.112D 01	-1.651D 02	2.153D 02
131	2	-4.871D 04	1.309D 04	9.674D 03	9.930D-04	-1.067D 06	1.569D 06	-8.213D 01	2.483D 01	1.914D 02	-2.487D 02
		4.871D 04	1.309D 04	9.674D 03	-9.930D-04	1.067D 06	-1.569D 06	8.213D 01	-2.483D 01	-1.914D 02	2.487D 02
131	3	-4.829D 04	1.178D 04	8.939D 03	-6.535D 03	-1.075D 06	1.336D 06	-8.229D 01	2.548D 01	1.590D 02	-2.458D 02
		4.829D 04	1.263D 04	9.543D 03	6.535D 03	1.436D 06	-1.642D 06	1.016D 02	-4.456D 01	-2.019D 02	2.587D 02
131	4	-4.102D 04	1.113D 04	9.429D 03	5.238D 04	-1.336D 06	1.333D 06	-9.109D 01	4.283D 01	1.629D 02	-2.112D 02
		4.102D 04	1.151D 04	7.296D 03	-5.238D 04	5.622D 05	-1.470D 06	5.230D 01	-4.045D 00	-1.821D 02	2.304D 02
132	1	-4.262D 04	1.132D 04	8.362D 03	8.675D-04	-9.217D 05	1.356D 06	-7.126D 01	2.112D 01	1.651D 02	-2.153D 02
		4.262D 04	1.132D 04	8.362D 03	-8.675D-04	9.217D 05	-1.356D 06	7.126D 01	-2.112D 01	-1.651D 02	2.153D 02
132	2	-4.871D 04	1.309D 04	9.674D 03	9.930D-04	-1.067D 06	1.569D 06	-8.213D 01	2.483D 01	1.914D 02	-2.487D 02
		4.871D 04	1.309D 04	9.674D 03	-9.930D-04	1.067D 06	-1.569D 06	8.213D 01	-2.483D 01	-1.914D 02	2.487D 02
132	3	-4.876D 04	1.206D 04	8.834D 03	-2.295D 03	-1.248D 06	1.440D 06	-9.120D 01	3.384D 01	1.733D 02	-2.307D 02
		4.876D 04	1.235D 04	9.202D 03	2.295D 03	1.381D 06	-1.547D 06	9.799D 01	-4.054D 01	-1.884D 02	2.458D 02
132	4	-4.027D 04	1.134D 04	8.735D 03	1.673D 04	-7.861D 05	1.403D 06	-6.308D 01	1.571D 01	1.732D 02	-2.206D 02
		4.027D 04	1.129D 04	7.989D 03	-1.673D 04	5.153D 05	-1.384D 06	4.951D 01	-2.134D 00	-1.705D 02	2.178D 02
133	1	-4.262D 04	1.132D 04	8.362D 03	8.675D-04	-9.217D 05	1.356D 06	-7.126D 01	2.112D 01	1.651D 02	-2.153D 02
		4.262D 04	1.132D 04	8.362D 03	-8.675D-04	9.217D 05	-1.356D 06	7.126D 01	-2.112D 01	-1.651D 02	2.153D 02
133	2	-4.871D 04	1.309D 04	9.674D 03	9.930D-04	-1.067D 06	1.569D 06	-8.213D 01	2.483D 01	1.914D 02	-2.487D 02
		4.871D 04	1.309D 04	9.674D 03	-9.930D-04	1.067D 06	-1.569D 06	8.213D 01	-2.483D 01	-1.914D 02	2.487D 02

137	4	-4.132D 04	1.208D 04	8.805D 03	2.691D 03	-2.081D 06	1.609D 06	-1.286D 02	7.996D 01	-2.014D 02	-2.500D 02
		4.132D 04	1.056D 04	7.920D 03	-2.691D 03	1.760D 06	-1.056D 06	1.125D 02	-6.387D 01	-1.239D 02	1.725D 02
138	1	-4.262D 04	1.132D 04	8.362D 03	8.675D-04	-9.217D 05	1.356D 06	-7.126D 01	2.112D 01	1.651D 02	-2.153D 02
		4.262D 04	1.132D 04	8.362D 03	-8.675D-04	9.217D 05	-1.356D 06	7.126D 01	-2.112D 01	-1.651D 02	2.153D 02
138	2	-4.871D 04	1.309D 04	9.674D 03	9.930D-04	-1.067D 06	1.569D 06	-8.213D 01	2.483D 01	1.914D 02	-2.487D 02
		4.871D 04	1.309D 04	9.674D 03	-9.930D-04	1.067D 06	-1.569D 06	8.213D 01	-2.483D 01	-1.914D 02	2.487D 02
138	3	-4.391D 04	1.284D 04	9.803D 03	9.780D 03	-1.098D 06	1.673D 06	-8.086D 01	2.920D 01	2.089D 02	-2.606D 02
		4.391D 04	1.157D 04	8.233D 03	-9.780D 03	5.283D 05	-1.216D 06	5.230D 01	-6.459D-01	-1.447D 02	1.964D 02
138'	4	-3.949D 04	1.219D 04	1.048D 04	4.351D 04	-2.429D 06	1.630D 06	-1.449D 02	9.847D 01	-2.054D 02	-2.515D 02
		3.949D 04	1.045D 04	6.247D 03	-4.351D 04	8.933D 05	-9.975D 05	6.800D 01	-2.154D 01	-1.167D 02	1.632D 02
139	1	-4.262D 04	1.132D 04	8.362D 03	8.675D-04	-9.217D 05	1.356D 06	-7.126D 01	2.112D 01	1.651D 02	-2.153D 02
		4.262D 04	1.132D 04	8.362D 03	-8.675D-04	9.217D 05	-1.356D 06	7.126D 01	-2.112D 01	-1.651D 02	2.153D 02
139	2	-4.871D 04	1.309D 04	9.674D 03	9.930D-04	-1.067D 06	1.569D 06	-8.213D 01	2.483D 01	1.914D 02	-2.487D 02
		4.871D 04	1.309D 04	9.674D 03	-9.930D-04	1.067D 06	-1.569D 06	8.213D 01	-2.483D 01	-1.914D 02	2.487D 02
139	3	-4.303D 04	1.263D 04	9.563D 03	6.535D 03	-9.136D 05	1.589D 06	-7.110D 01	2.047D 01	1.975D 02	-2.482D 02
		4.303D 04	1.178D 04	8.493D 03	-6.535D 03	5.328D 05	-1.283D 06	5.201D 01	-1.386D 00	-1.547D 02	2.053D 02
139	4	-3.661D 04	1.200D 04	1.163D 04	6.420D 04	-1.928D 06	1.583D 06	-1.182D 02	7.510D 01	-2.005D 02	-2.436D 02
		3.661D 04	1.063D 04	5.094D 03	-6.420D 04	4.435D 05	-1.084D 06	6.905D-01	4.376D 01	-1.306D 02	1.736D 02
140	1	-4.262D 04	1.132D 04	8.362D 03	8.675D-04	-9.217D 05	1.356D 06	-7.126D 01	2.112D 01	1.651D 02	-2.153D 02
		4.262D 04	1.132D 04	8.362D 03	-8.675D-04	9.217D 05	-1.356D 06	7.126D 01	-2.112D 01	-1.651D 02	2.153D 02
140	2	-4.871D 04	1.309D 04	9.674D 03	9.930D-04	-1.067D 06	1.569D 06	-8.213D 01	2.483D 01	1.914D 02	-2.487D 02
		4.871D 04	1.309D 04	9.674D 03	-9.930D-04	1.067D 06	-1.569D 06	8.213D 01	-2.483D 01	-1.914D 02	2.487D 02
140	3	-4.256D 04	1.235D 04	9.202D 03	2.295D 03	-7.613D 05	1.485D 06	-6.219D 01	1.211D 01	1.832D 02	-2.333D 02
		4.256D 04	1.206D 04	8.834D 03	-2.295D 03	6.076D 05	-1.377D 06	5.549D 01	-5.413D 00	-1.682D 02	2.182D 02
140	4	-3.400D 04	1.184D 04	1.003D 04	4.073D 04	-6.794D 05	1.540D 06	-4.403D 01	4.022D 00	1.960D 02	-2.360D 02
		3.400D 04	1.079D 04	6.696D 03	-4.073D 04	7.297D 05	-1.160D 06	-1.656D-01	5.657D 01	-1.427D 02	1.827D 02
141	1	-4.262D 04	1.132D 04	8.362D 03	8.675D-04	-9.217D 05	1.356D 06	-7.126D 01	2.112D 01	1.651D 02	-2.153D 02
		4.262D 04	1.132D 04	8.362D 03	-8.675D-04	9.217D 05	-1.356D 06	7.126D 01	-2.112D 01	-1.651D 02	2.153D 02
141	2	-4.871D 04	1.309D 04	9.674D 03	9.930D-04	-1.067D 06	1.569D 06	-8.213D 01	2.483D 01	1.914D 02	-2.487D 02
		4.871D 04	1.309D 04	9.674D 03	-9.930D-04	1.067D 06	-1.569D 06	8.213D 01	-2.483D 01	-1.914D 02	2.487D 02
141	3	-4.256D 04	1.206D 04	8.834D 03	2.295D 03	-6.076D 05	1.377D 06	-5.549D 01	5.413D 00	1.682D 02	-2.182D 02
		4.256D 04	1.235D 04	9.202D 03	-2.295D 03	7.414D 05	-1.485D 06	6.219D 01	-1.211D 01	-1.832D 02	2.333D 02
141	4	-3.297D 04	1.132D 04	8.362D 03	1.040D-02	3.746D 05	1.342D 06	-6.241D-01	-3.817D 01	1.688D 02	-2.076D 02
		3.297D 04	1.132D 04	8.362D 03	-1.040D-02	-3.746D 05	-1.342D 06	6.242D-01	3.817D 01	-1.688D 02	2.076D 02

155	1	-3.564D 03	4.181D 03	1.057D-16	2.289D-06	0.0	0.0	-4.721D 01	-4.721D 01	-4.721D 01	-4.721D 01
155	2	-3.991D 03	4.837D 03	-1.209D-16	2.620D-06	0.0	0.0	-5.287D 01	-5.287D 01	-5.287D 01	-5.287D 01
155	3	-4.066D 03	4.509D 03	8.309D-15	-2.881D 00	0.0	0.0	-5.387D 01	-5.387D 01	-5.387D 01	-5.387D 01
155	4	-3.197D 03	4.181D 03	-1.287D-13	-1.393D 02	0.0	0.0	-4.235D 01	-4.235D 01	-4.235D 01	-4.235D 01
156	1	-3.564D 03	4.181D 03	-8.255D-17	2.289D-06	0.0	0.0	-4.721D 01	-4.721D 01	-4.721D 01	-4.721D 01
156	2	-3.991D 03	4.837D 03	-9.445D-17	2.620D-06	0.0	0.0	-5.287D 01	-5.287D 01	-5.287D 01	-5.287D 01
156	3	-4.118D 03	4.509D 03	3.786D-15	-1.012D 00	0.0	0.0	-5.455D 01	-5.455D 01	-5.455D 01	-5.455D 01
156	4	-3.781D 03	4.181D 03	-8.521D-14	8.499D 01	0.0	0.0	-5.009D 01	-5.009D 01	-5.009D 01	-5.009D 01
157	1	-3.564D 03	4.181D 03	-8.255D-17	2.289D-06	0.0	0.0	-4.721D 01	-4.721D 01	-4.721D 01	-4.721D 01
157	2	-3.991D 03	4.837D 03	-9.445D-17	2.620D-06	0.0	0.0	-5.287D 01	-5.287D 01	-5.287D 01	-5.287D 01
157	3	-4.118D 03	4.509D 03	3.905D-15	-1.012D 00	0.0	0.0	-5.455D 01	-5.455D 01	-5.455D 01	-5.455D 01
157	4	-3.991D 03	4.181D 03	-1.917D-16	3.754D-05	0.0	0.0	-5.287D 01	-5.287D 01	-5.287D 01	-5.287D 01
158	1	-3.564D 03	4.181D 03	-8.255D-17	2.289D-06	0.0	0.0	-4.721D 01	-4.721D 01	-4.721D 01	-4.721D 01
158	2	-3.991D 03	4.837D 03	-9.445D-17	2.620D-06	0.0	0.0	-5.287D 01	-5.287D 01	-5.287D 01	-5.287D 01
158	3	-4.066D 03	4.509D 03	1.102D-14	-2.881D 00	0.0	0.0	-5.387D 01	-5.387D 01	-5.387D 01	-5.387D 01
158	4	-3.781D 03	4.181D 03	-8.496D-14	-8.499D 01	0.0	0.0	-5.009D 01	-5.009D 01	-5.009D 01	-5.009D 01
159	1	-3.564D 03	4.181D 03	1.057D-16	2.289D-06	0.0	0.0	-4.721D 01	-4.721D 01	-4.721D 01	-4.721D 01

235

172	1	2.692D 04	2.961D 03	1.017D-15	2.514D-06	0.0	0.0	3.567D 02	3.567D 02	3.567D 02	3.567D 02
172	2	3.088D 04	3.402D 03	1.160D-15	2.878D-06	0.0	0.0	4.091D 02	4.091D 02	4.091D 02	4.091D 02
172	3	-3.088D 04	3.402D 03	-1.160D-15	-2.878D-06	0.0	0.0	-4.091D 02	-4.091D 02	-4.091D 02	-4.091D 02
172	4	2.795D 04	3.172D 03	8.070D-15	-5.742D 00	0.0	0.0	3.703D 02	3.703D 02	3.703D 02	3.703D 02
172	5	-2.795D 04	3.172D 03	-8.070D-15	5.742D 00	0.0	0.0	-3.703D 02	-3.703D 02	-3.703D 02	-3.703D 02
172	6	2.344D 04	2.961D 03	-6.630D-14	1.290D 02	0.0	0.0	3.105D 02	3.105D 02	3.105D 02	3.105D 02
172	7	-2.344D 04	2.961D 03	6.630D-14	-1.290D 02	0.0	0.0	-3.105D 02	-3.105D 02	-3.105D 02	-3.105D 02
173	1	2.692D 04	2.961D 03	1.017D-15	2.514D-06	0.0	0.0	3.567D 02	3.567D 02	3.567D 02	3.567D 02
173	2	-2.692D 04	2.961D 03	-1.017D-15	-2.514D-06	0.0	0.0	-3.567D 02	-3.567D 02	-3.567D 02	-3.567D 02
173	3	3.088D 04	3.402D 03	1.160D-15	2.878D-06	0.0	0.0	4.091D 02	4.091D 02	4.091D 02	4.091D 02
173	4	-3.088D 04	3.402D 03	-1.160D-15	-2.878D-06	0.0	0.0	-4.091D 02	-4.091D 02	-4.091D 02	-4.091D 02
173	5	2.795D 04	3.172D 03	1.487D-14	5.742D 00	0.0	0.0	3.703D 02	3.703D 02	3.703D 02	3.703D 02
173	6	-2.795D 04	3.172D 03	-1.487D-14	-5.742D 00	0.0	0.0	-3.703D 02	-3.703D 02	-3.703D 02	-3.703D 02
173	7	2.344D 04	2.961D 03	1.062D-15	1.136D-05	0.0	0.0	3.108D 02	3.108D 02	3.108D 02	3.108D 02
173	8	-2.344D 04	2.961D 03	-1.062D-15	-1.136D-05	0.0	0.0	-3.108D 02	-3.108D 02	-3.108D 02	-3.108D 02
174	1	2.692D 04	2.961D 03	1.017D-15	2.514D-06	0.0	0.0	3.567D 02	3.567D 02	3.567D 02	3.567D 02
174	2	-2.692D 04	2.961D 03	-1.017D-15	-2.514D-06	0.0	0.0	-3.567D 02	-3.567D 02	-3.567D 02	-3.567D 02
174	3	3.088D 04	3.402D 03	1.160D-15	2.878D-06	0.0	0.0	4.091D 02	4.091D 02	4.091D 02	4.091D 02
174	4	-3.088D 04	3.402D 03	-1.160D-15	-2.878D-06	0.0	0.0	-4.091D 02	-4.091D 02	-4.091D 02	-4.091D 02
174	5	2.810D 04	3.172D 03	4.016D-14	1.633D 01	0.0	0.0	3.722D 02	3.722D 02	3.722D 02	3.722D 02
174	6	-2.810D 04	3.172D 03	-4.016D-14	-1.633D 01	0.0	0.0	-3.722D 02	-3.722D 02	-3.722D 02	-3.722D 02
174	7	2.344D 04	2.961D 03	6.918D-14	-1.290D 02	0.0	0.0	3.105D 02	3.105D 02	3.105D 02	3.105D 02
174	8	-2.344D 04	2.961D 03	-6.918D-14	1.290D 02	0.0	0.0	-3.105D 02	-3.105D 02	-3.105D 02	-3.105D 02
175	1	2.692D 04	2.961D 03	1.017D-15	2.514D-06	0.0	0.0	3.567D 02	3.567D 02	3.567D 02	3.567D 02
175	2	-2.692D 04	2.961D 03	-1.017D-15	-2.514D-06	0.0	0.0	-3.567D 02	-3.567D 02	-3.567D 02	-3.567D 02
175	3	3.088D 04	3.402D 03	1.160D-15	2.878D-06	0.0	0.0	4.091D 02	4.091D 02	4.091D 02	4.091D 02
175	4	-3.088D 04	3.402D 03	-1.160D-15	-2.878D-06	0.0	0.0	-4.091D 02	-4.091D 02	-4.091D 02	-4.091D 02
175	5	2.836D 04	3.172D 03	-1.808D-14	2.447D 01	0.0	0.0	3.757D 02	3.757D 02	3.757D 02	3.757D 02
175	6	-2.836D 04	3.172D 03	1.808D-14	-2.447D 01	0.0	0.0	-3.757D 02	-3.757D 02	-3.757D 02	-3.757D 02
175	7	2.339D 04	2.961D 03	1.038D-13	-1.962D 02	0.0	0.0	3.099D 02	3.099D 02	3.099D 02	3.099D 02
175	8	-2.339D 04	2.961D 03	-1.038D-13	1.962D 02	0.0	0.0	-3.099D 02	-3.099D 02	-3.099D 02	-3.099D 02
176	1	2.692D 04	2.961D 03	1.017D-15	2.514D-06	0.0	0.0	3.567D 02	3.567D 02	3.567D 02	3.567D 02
176	2	-2.692D 04	2.961D 03	-1.017D-15	-2.514D-06	0.0	0.0	-3.567D 02	-3.567D 02	-3.567D 02	-3.567D 02

185	1	3.087D 04	2.000D 03	-5.272D-16	2.928D-06	0.0	0.0	4.089D 02	4.089D 02	4.089D 02	4.089D 02
	2	-3.087D 04	2.000D 03	5.272D-16	-2.928D-06	0.0	0.0	-4.089D 02	-4.089D 02	-4.089D 02	-4.089D 02
185	2	3.533D 04	2.313D 03	-6.069D-16	3.352D-06	0.0	0.0	4.681D 02	4.681D 02	4.681D 02	4.681D 02
	3	-3.533D 04	2.313D 03	6.069D-16	-3.352D-06	0.0	0.0	-4.681D 02	-4.681D 02	-4.681D 02	-4.681D 02
185	3	3.293D 04	2.157D 03	3.403D-13	-2.583D 01	0.0	0.0	4.363D 02	4.363D 02	4.363D 02	4.363D 02
	4	-3.293D 04	2.157D 03	-3.403D-13	2.583D 01	0.0	0.0	-4.363D 02	-4.363D 02	-4.363D 02	-4.363D 02
185	4	2.696D 04	2.000D 03	3.527D-13	-3.923D 01	0.0	0.0	3.572D 02	3.572D 02	3.572D 02	3.572D 02
	5	-2.696D 04	2.000D 03	-3.527D-13	3.923D 01	0.0	0.0	-3.572D 02	-3.572D 02	-3.572D 02	-3.572D 02
186	1	3.087D 04	2.000D 03	-5.271D-16	2.928D-06	0.0	0.0	4.089D 02	4.089D 02	4.089D 02	4.089D 02
	2	-3.087D 04	2.000D 03	5.271D-16	-2.928D-06	0.0	0.0	-4.089D 02	-4.089D 02	-4.089D 02	-4.089D 02
186	2	3.533D 04	2.313D 03	-6.068D-16	3.352D-06	0.0	0.0	4.681D 02	4.681D 02	4.681D 02	4.681D 02
	3	-3.533D 04	2.313D 03	6.068D-16	-3.352D-06	0.0	0.0	-4.681D 02	-4.681D 02	-4.681D 02	-4.681D 02
186	3	3.262D 04	2.157D 03	7.423D-14	-2.190D 01	0.0	0.0	4.322D 02	4.322D 02	4.322D 02	4.322D 02
	4	-3.262D 04	2.157D 03	-7.423D-14	2.190D 01	0.0	0.0	-4.322D 02	-4.322D 02	-4.322D 02	-4.322D 02
186	4	2.697D 04	2.000D 03	1.431D-13	1.135D 02	0.0	0.0	3.572D 02	3.572D 02	3.572D 02	3.572D 02
	5	-2.697D 04	2.000D 03	-1.431D-13	-1.135D 02	0.0	0.0	-3.572D 02	-3.572D 02	-3.572D 02	-3.572D 02
187	1	3.087D 04	2.000D 03	-1.146D-15	2.928D-06	0.0	0.0	4.089D 02	4.089D 02	4.089D 02	4.089D 02
	2	-3.087D 04	2.000D 03	1.146D-15	-2.928D-06	0.0	0.0	-4.089D 02	-4.089D 02	-4.089D 02	-4.089D 02
187	2	3.533D 04	2.313D 03	-1.319D-15	3.352D-06	0.0	0.0	4.681D 02	4.681D 02	4.681D 02	4.681D 02
	3	-3.533D 04	2.313D 03	1.319D-15	-3.352D-06	0.0	0.0	-4.681D 02	-4.681D 02	-4.681D 02	-4.681D 02
187	3	3.239D 04	2.157D 03	1.747D-14	-1.463D 01	0.0	0.0	4.290D 02	4.290D 02	4.290D 02	4.290D 02
	4	-3.239D 04	2.157D 03	-1.747D-14	1.463D 01	0.0	0.0	-4.290D 02	-4.290D 02	-4.290D 02	-4.290D 02
187	4	2.695D 04	2.000D 03	1.036D-13	1.942D 02	0.0	0.0	3.569D 02	3.569D 02	3.569D 02	3.569D 02
	5	-2.695D 04	2.000D 03	-1.036D-13	-1.942D 02	0.0	0.0	-3.569D 02	-3.569D 02	-3.569D 02	-3.569D 02
188	1	3.087D 04	2.000D 03	-5.272D-16	2.928D-06	0.0	0.0	4.089D 02	4.089D 02	4.089D 02	4.089D 02
	2	-3.087D 04	2.000D 03	5.272D-16	-2.928D-06	0.0	0.0	-4.089D 02	-4.089D 02	-4.089D 02	-4.089D 02
188	2	3.533D 04	2.313D 03	-6.069D-16	3.352D-06	0.0	0.0	4.681D 02	4.681D 02	4.681D 02	4.681D 02
	3	-3.533D 04	2.313D 03	6.069D-16	-3.352D-06	0.0	0.0	-4.681D 02	-4.681D 02	-4.681D 02	-4.681D 02
188	3	3.226D 04	2.157D 03	6.739D-14	-5.138D 00	0.0	0.0	4.273D 02	4.273D 02	4.273D 02	4.273D 02
	4	-3.226D 04	2.157D 03	-6.739D-14	5.138D 00	0.0	0.0	-4.273D 02	-4.273D 02	-4.273D 02	-4.273D 02
188	4	2.692D 04	2.000D 03	3.071D-13	1.359D 02	0.0	0.0	3.566D 02	3.566D 02	3.566D 02	3.566D 02
	5	-2.692D 04	2.000D 03	-3.071D-13	-1.359D 02	0.0	0.0	-3.566D 02	-3.566D 02	-3.566D 02	-3.566D 02
189	1	3.087D 04	2.000D 03	-5.272D-16	2.928D-06	0.0	0.0	4.089D 02	4.089D 02	4.089D 02	4.089D 02

		-3.087D 04	2.000D 03	5.272D-16	-2.928D-06	0.0	0.0	-4.089D 02	-4.089D 02	-4.089D 02	-4.089D 02
189	2	3.553D 04	2.313D 03	-6.069D-16	3.352D-06	0.0	0.0	4.681D 02	4.681D 02	4.681D 02	4.681D 02
		-3.553D 04	2.313D 03	6.069D-16	-3.352D-06	0.0	0.0	-4.681D 02	-4.681D 02	-4.681D 02	-4.681D 02
189	3	3.226D 04	2.157D 03	-6.821D-14	5.138D 00	0.0	0.0	4.273D 02	4.273D 02	4.273D 02	4.273D 02
		-3.226D 04	2.157D 03	6.821D-14	-5.138D 00	0.0	0.0	-4.273D 02	-4.273D 02	-4.273D 02	-4.273D 02
189	4	2.691D 04	2.000D 03	-7.005D-16	1.140D-05	0.0	0.0	3.565D 02	3.565D 02	3.565D 02	3.565D 02
		-2.691D 04	2.000D 03	7.005D-16	-1.140D-05	0.0	0.0	-3.565D 02	-3.565D 02	-3.565D 02	-3.565D 02
190	1	3.087D 04	2.000D 03	-4.885D-16	2.928D-06	0.0	0.0	4.089D 02	4.089D 02	4.089D 02	4.089D 02
		-3.087D 04	2.000D 03	4.885D-16	-2.928D-06	0.0	0.0	-4.089D 02	-4.089D 02	-4.089D 02	-4.089D 02
190	2	3.553D 04	2.313D 03	-5.624D-16	3.352D-06	0.0	0.0	4.681D 02	4.681D 02	4.681D 02	4.681D 02
		-3.553D 04	2.313D 03	5.624D-16	-3.352D-06	0.0	0.0	-4.681D 02	-4.681D 02	-4.681D 02	-4.681D 02
190	3	3.239D 04	2.157D 03	-1.664D-13	1.463D 01	0.0	0.0	4.290D 02	4.290D 02	4.290D 02	4.290D 02
		-3.239D 04	2.157D 03	1.664D-13	-1.463D 01	0.0	0.0	-4.290D 02	-4.290D 02	-4.290D 02	-4.290D 02
190	4	2.692D 04	2.000D 03	-2.660D-13	-1.359D 02	0.0	0.0	3.566D 02	3.566D 02	3.566D 02	3.566D 02
		-2.692D 04	2.000D 03	2.660D-13	1.359D 02	0.0	0.0	-3.566D 02	-3.566D 02	-3.566D 02	-3.566D 02
191	1	3.087D 04	2.000D 03	-1.146D-15	2.928D-06	0.0	0.0	4.089D 02	4.089D 02	4.089D 02	4.089D 02
		-3.087D 04	2.000D 03	1.146D-15	-2.928D-06	0.0	0.0	-4.089D 02	-4.089D 02	-4.089D 02	-4.089D 02
191	2	3.553D 04	2.313D 03	-1.319D-15	3.352D-06	0.0	0.0	4.681D 02	4.681D 02	4.681D 02	4.681D 02
		-3.553D 04	2.313D 03	1.319D-15	-3.352D-06	0.0	0.0	-4.681D 02	-4.681D 02	-4.681D 02	-4.681D 02
191	3	3.262D 04	2.157D 03	-2.860D-14	2.190D 01	0.0	0.0	4.322D 02	4.322D 02	4.322D 02	4.322D 02
		-3.262D 04	2.157D 03	2.860D-14	-2.190D 01	0.0	0.0	-4.322D 02	-4.322D 02	-4.322D 02	-4.322D 02
191	4	2.695D 04	2.000D 03	-1.051D-13	-1.942D 02	0.0	0.0	3.569D 02	3.569D 02	3.569D 02	3.569D 02
		-2.695D 04	2.000D 03	1.051D-13	1.942D 02	0.0	0.0	-3.569D 02	-3.569D 02	-3.569D 02	-3.569D 02
192	1	3.087D 04	2.000D 03	-5.537D-16	2.928D-06	0.0	0.0	4.089D 02	4.089D 02	4.089D 02	4.089D 02
		-3.087D 04	2.000D 03	5.537D-16	-2.928D-06	0.0	0.0	-4.089D 02	-4.089D 02	-4.089D 02	-4.089D 02
192	2	3.553D 04	2.313D 03	-6.374D-16	3.352D-06	0.0	0.0	4.681D 02	4.681D 02	4.681D 02	4.681D 02
		-3.553D 04	2.313D 03	6.374D-16	-3.352D-06	0.0	0.0	-4.681D 02	-4.681D 02	-4.681D 02	-4.681D 02
192	3	3.293D 04	2.157D 03	-1.733D-13	2.583D 01	0.0	0.0	4.363D 02	4.363D 02	4.363D 02	4.363D 02
		-3.293D 04	2.157D 03	1.733D-13	-2.583D 01	0.0	0.0	-4.363D 02	-4.363D 02	-4.363D 02	-4.363D 02
192	4	2.697D 04	2.000D 03	-2.630D-13	-1.135D 02	0.0	0.0	3.572D 02	3.572D 02	3.572D 02	3.572D 02
		-2.697D 04	2.000D 03	2.630D-13	1.135D 02	0.0	0.0	-3.572D 02	-3.572D 02	-3.572D 02	-3.572D 02
193	1	1.479D 04	1.234D 03	-9.993D-17	3.496D-06	0.0	0.0	2.092D 02	2.092D 02	2.092D 02	2.092D 02
		-1.479D 04	1.234D 03	9.993D-17	-3.496D-06	0.0	0.0	-2.092D 02	-2.092D 02	-2.092D 02	-2.092D 02
193	2	1.689D 04	1.428D 03	-1.145D-16	4.002D-06	0.0	0.0	2.390D 02	2.390D 02	2.390D 02	2.390D 02
		-1.689D 04	1.428D 03	1.145D-16	-4.002D-06	0.0	0.0	-2.390D 02	-2.390D 02	-2.390D 02	-2.390D 02

202	1	1.479D 04	1.234D 03	-9.985D-17	3.496D-06	0.0	0.0	2.092D 02	2.092D 02	2.092D 02	2.092D 02
202	2	1.689D 04	1.428D 03	-1.144D-16	4.002D-06	0.0	0.0	2.390D 02	2.390D 02	2.390D 02	2.390D 02
202	3	1.537D 04	1.331D 03	-3.707D-13	-1.897D 01	0.0	0.0	-2.175D 02	-2.175D 02	-2.175D 02	-2.175D 02
202	4	1.252D 04	1.234D 03	9.105D-13	1.008D 02	0.0	0.0	1.771D 02	1.771D 02	1.771D 02	1.771D 02
202		-1.479D 04	1.234D 03	-9.105D-13	-1.008D 02	0.0	0.0	-1.771D 02	-1.771D 02	-1.771D 02	-1.771D 02
203	1	1.479D 04	1.234D 03	-9.988D-17	3.496D-06	0.0	0.0	2.092D 02	2.092D 02	2.092D 02	2.092D 02
203	2	1.689D 04	1.428D 03	-1.144D-16	4.002D-06	0.0	0.0	2.390D 02	2.390D 02	2.390D 02	2.390D 02
203	3	1.514D 04	1.331D 03	-3.497D-13	-1.268D 01	0.0	0.0	-2.142D 02	-2.142D 02	-2.142D 02	-2.142D 02
203	4	1.255D 04	1.234D 03	9.144D-12	1.439D 02	0.0	0.0	1.775D 02	1.775D 02	1.775D 02	1.775D 02
203		-1.479D 04	1.234D 03	-9.144D-12	-1.439D 02	0.0	0.0	-1.775D 02	-1.775D 02	-1.775D 02	-1.775D 02
204	1	1.479D 04	1.234D 03	-7.342D-16	3.496D-06	0.0	0.0	2.092D 02	2.092D 02	2.092D 02	2.092D 02
204	2	1.689D 04	1.428D 03	-8.612D-16	4.002D-06	0.0	0.0	2.390D 02	2.390D 02	2.390D 02	2.390D 02
204	3	1.501D 04	1.331D 03	-1.500D-13	-4.452D 00	0.0	0.0	-2.124D 02	-2.124D 02	-2.124D 02	-2.124D 02
204	4	1.257D 04	1.234D 03	9.678D-13	1.176D 02	0.0	0.0	1.779D 02	1.779D 02	1.779D 02	1.779D 02
204		-1.479D 04	1.234D 03	-9.678D-13	-1.176D 02	0.0	0.0	-1.779D 02	-1.779D 02	-1.779D 02	-1.779D 02
205	1	1.479D 04	1.234D 03	-9.985D-17	3.496D-06	0.0	0.0	2.092D 02	2.092D 02	2.092D 02	2.092D 02
205	2	1.689D 04	1.428D 03	-1.144D-16	4.002D-06	0.0	0.0	2.390D 02	2.390D 02	2.390D 02	2.390D 02
205	3	1.501D 04	1.331D 03	-8.709D-14	4.452D 00	0.0	0.0	-2.124D 02	-2.124D 02	-2.124D 02	-2.124D 02
205	4	1.259D 04	1.234D 03	-1.599D-16	1.345D-05	0.0	0.0	1.780D 02	1.780D 02	1.780D 02	1.780D 02
205		-1.479D 04	1.234D 03	1.599D-16	-1.345D-05	0.0	0.0	-1.780D 02	-1.780D 02	-1.780D 02	-1.780D 02
206	1	1.479D 04	1.234D 03	-9.988D-17	3.496D-06	0.0	0.0	2.092D 02	2.092D 02	2.092D 02	2.092D 02
206	2	1.689D 04	1.428D 03	-9.988D-17	-3.496D-06	0.0	0.0	-2.092D 02	-2.092D 02	-2.092D 02	-2.092D 02

		-3.954D 03	7.160D 02	-2.929D-16	-4.210D-06	0.0	0.0	-6.000D 01	-6.000D 01	-6.000D 01	-6.000D 01
219	2	4.500D 03	8.283D 02	3.347D-16	4.819D-06	0.0	0.0	6.829D 01	6.829D 01	6.829D 01	6.829D 01
		-4.500D 03	8.283D 02	-3.347D-16	-4.819D-06	0.0	0.0	-6.829D 01	-6.829D 01	-6.829D 01	-6.829D 01
219	3	3.587D 03	7.721D 02	4.614D-13	-4.828D 00	0.0	0.0	5.444D 01	5.444D 01	5.444D 01	5.444D 01
		-3.587D 03	7.721D 02	-4.614D-13	4.828D 00	0.0	0.0	-5.444D 01	-5.444D 01	-5.444D 01	-5.444D 01
219	4	2.934D 03	7.160D 02	1.909D-12	-8.655D 01	0.0	0.0	4.453D 01	4.453D 01	4.453D 01	4.453D 01
		-2.934D 03	7.160D 02	-1.909D-12	8.655D 01	0.0	0.0	-4.453D 01	-4.453D 01	-4.453D 01	-4.453D 01
220	1	3.954D 03	7.160D 02	3.205D-17	4.210D-06	0.0	0.0	6.000D 01	6.000D 01	6.000D 01	6.000D 01
		-3.954D 03	7.160D 02	-3.205D-17	-4.210D-06	0.0	0.0	-6.000D 01	-6.000D 01	-6.000D 01	-6.000D 01
220	2	4.500D 03	8.283D 02	3.663D-17	4.819D-06	0.0	0.0	6.829D 01	6.829D 01	6.829D 01	6.829D 01
		-4.500D 03	8.283D 02	-3.663D-17	-4.819D-06	0.0	0.0	-6.829D 01	-6.829D 01	-6.829D 01	-6.829D 01
220	3	3.472D 03	7.721D 02	2.116D-13	-1.695D 00	0.0	0.0	5.269D 01	5.269D 01	5.269D 01	5.269D 01
		-3.472D 03	7.721D 02	-2.116D-13	1.695D 00	0.0	0.0	-5.269D 01	-5.269D 01	-5.269D 01	-5.269D 01
220	4	2.921D 03	7.160D 02	1.972D-12	-1.421D 01	0.0	0.0	4.433D 01	4.433D 01	4.433D 01	4.433D 01
		-2.921D 03	7.160D 02	-1.972D-12	1.421D 01	0.0	0.0	-4.433D 01	-4.433D 01	-4.433D 01	-4.433D 01
221	1	3.954D 03	7.160D 02	3.201D-17	4.210D-06	0.0	0.0	6.000D 01	6.000D 01	6.000D 01	6.000D 01
		-3.954D 03	7.160D 02	-3.201D-17	-4.210D-06	0.0	0.0	-6.000D 01	-6.000D 01	-6.000D 01	-6.000D 01
221	2	4.500D 03	8.283D 02	3.659D-17	4.819D-06	0.0	0.0	6.829D 01	6.829D 01	6.829D 01	6.829D 01
		-4.500D 03	8.283D 02	-3.659D-17	-4.819D-06	0.0	0.0	-6.829D 01	-6.829D 01	-6.829D 01	-6.829D 01
221	3	3.472D 03	7.721D 02	-3.061D-13	1.695D 00	0.0	0.0	5.269D 01	5.269D 01	5.269D 01	5.269D 01
		-3.472D 03	7.721D 02	3.061D-13	-1.695D 00	0.0	0.0	-5.269D 01	-5.269D 01	-5.269D 01	-5.269D 01
221	4	2.916D 03	7.160D 02	3.757D-16	-1.633D-05	0.0	0.0	4.425D 01	4.425D 01	4.425D 01	4.425D 01
		-2.916D 03	7.160D 02	-3.757D-16	1.633D-05	0.0	0.0	-4.425D 01	-4.425D 01	-4.425D 01	-4.425D 01
222	1	3.954D 03	7.160D 02	-2.286D-16	4.210D-06	0.0	0.0	6.000D 01	6.000D 01	6.000D 01	6.000D 01
		-3.954D 03	7.160D 02	2.286D-16	-4.210D-06	0.0	0.0	-6.000D 01	-6.000D 01	-6.000D 01	-6.000D 01
222	2	4.500D 03	8.283D 02	-2.613D-16	4.819D-06	0.0	0.0	6.829D 01	6.829D 01	6.829D 01	6.829D 01
		-4.500D 03	8.283D 02	2.613D-16	-4.819D-06	0.0	0.0	-6.829D 01	-6.829D 01	-6.829D 01	-6.829D 01
222	3	3.587D 03	7.721D 02	-2.867D-13	4.828D 00	0.0	0.0	5.444D 01	5.444D 01	5.444D 01	5.444D 01
		-3.587D 03	7.721D 02	2.867D-13	-4.828D 00	0.0	0.0	-5.444D 01	-5.444D 01	-5.444D 01	-5.444D 01
222	4	2.921D 03	7.160D 02	-1.098D-12	1.421D 01	0.0	0.0	4.433D 01	4.433D 01	4.433D 01	4.433D 01
		-2.921D 03	7.160D 02	1.098D-12	-1.421D 01	0.0	0.0	-4.433D 01	-4.433D 01	-4.433D 01	-4.433D 01
223	1	3.954D 03	7.160D 02	2.929D-16	4.210D-06	0.0	0.0	6.000D 01	6.000D 01	6.000D 01	6.000D 01
		-3.954D 03	7.160D 02	-2.929D-16	-4.210D-06	0.0	0.0	-6.000D 01	-6.000D 01	-6.000D 01	-6.000D 01
223	2	4.500D 03	8.283D 02	3.347D-16	4.819D-06	0.0	0.0	6.829D 01	6.829D 01	6.829D 01	6.829D 01
		-4.500D 03	8.283D 02	-3.347D-16	-4.819D-06	0.0	0.0	-6.829D 01	-6.829D 01	-6.829D 01	-6.829D 01

B I B L I O G R A F I A

- Joseph E. Bowles, " Diseño de Acero Estructural ", México, Ed. Limusa, 1984, 606 p.p.
- Comisión Federal de Electricidad, Instituto de Investigaciones Electricas, " Manual de Diseño de Obras Civiles ".
- M. en C. Enrique Martínez Romero, "Estructuras de grandes claros en construcción compuesta ", Memorias del -- Primer Simposio Internacional de Estructuras de Acero, México 1984, Pag. M1-M15.
- Mc Garraugh, J.B. and Baldwin, J.W., " Lightweight Concrete on Steel Composite Beams ", AISC, Eng. Journal. - Vol. 8 No. 3, July 1971. .
- Porter, M.L. and Eckberg C.E., " Design Recomendations for Steel Deck Floor Slabs ", Journal of the Str. Div . ASCE, Nov. 1976.